

การศึกษาคุณสมบัติของคอนกรีตที่ผสมเจ้าปาน์มน้ำมัน

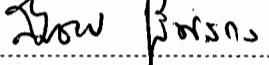
นายธิรสิทธิ์ แซ่ดิ้ง วศ.บ. (วิศวกรรมโยธา)

วิทยานิพนธ์นี้เป็นส่วนหนึ่งของการศึกษาตามหลักสูตร
ปริญญาวิศวกรรมศาสตรมหาบัณฑิต สาขาวิชาวิศวกรรมโยธา
คณะวิศวกรรมศาสตร์
มหาวิทยาลัยเทคโนโลยีพระจอมเกล้าธนบุรี
พ.ศ. 2547

คณะกรรมการสอบวิทยานิพนธ์


(รศ.ดร.ชัย ชาตรพิทักษ์กุล)

ประธานกรรมการวิทยานิพนธ์


(ศ.ดร.สมชาย ชูชีพสกุล)

กรรมการ


(รศ.ดร.ปริญญา จินดาประเสริฐ)

กรรมการ

ISBN 974-183-911-1

ลิขสิทธิ์ของมหาวิทยาลัยเทคโนโลยีพระจอมเกล้าธนบุรี

สำเนาหนังสือ

มหาวิทยาลัยเทคโนโลยีพระจอมเกล้าธนบุรี

หัวข้อวิทยานิพนธ์	การศึกษาคุณสมบัติของคอนกรีตที่ผสมเด้าป่าล์มน้ำมัน
หน่วยกิต	12
ผู้เขียน	นายธิรสิทธิ์ แซ่ติง
อาจารย์ที่ปรึกษา	รศ.ดร.ชัย ชาตรพิทักษ์กุล รศ.ดร.ไกรภูมิ เกียรติโภนล
หลักสูตร	วิศวกรรมศาสตรมหาบัณฑิต
สาขาวิชา	วิศวกรรมโยธา
ภาควิชา	วิศวกรรมโยธา
คณะ	วิศวกรรมศาสตร์
พ.ศ.	2547

บทคัดย่อ

งานวิจัยนี้เป็นการพัฒนาเด้าป่าล์มน้ำมันมาใช้เป็นวัสดุปอชโซ้งานในงานคอนกรีต โดยใช้เด้าป่าล์มน้ำมันที่ได้จากโรงงานโดยตรง (ขนาดใหญ่) และเด้าป่าล์มน้ำมันที่ปรับปรุงคุณภาพโดยการบดให้มีความละเอียดจนถึงขนาดต่ำกว่ามาตรฐานเบอร์ 325 ร้อยละ 15-20 (ขนาดละเอียดปานกลาง) และน้อยกว่าร้อยละ 5 (ขนาดละเอียดมาก) โดยนำหัวนัก งานนั้นแทนที่ปูนซีเมนต์ปอร์ตแลนด์ประเภทที่ 1 ด้วยเด้าป่าล์มน้ำมันทั้ง 3 ขนาดความละเอียดในอัตราส่วนร้อยละ 10, 20, 30 และ 40 โดยนำหัวนักวัสดุประสานปรับปริมาณน้ำของคอนกรีตเพื่อให้มีค่าอุบตัวระหว่าง 5 ถึง 10 ซม. ทำการทดสอบระยะเวลาการก่อตัวของคอนกรีตสด ส่วนกำลังอัดของคอนกรีตใช้ตัวอย่างคอนกรีตฐานะบอกขนาด 10×20 ซม. โดยแบ่งออกเป็น 2 กลุ่ม คือ กลุ่มแรกบ่มในน้ำประปา ทดสอบกำลังอัดที่อายุ 3, 7, 14, 28, 60, 90, 180, 270 และ 360 วัน และกลุ่มที่ 2 แช่ในสารละลายน้ำกันซึ่งมีค่าอุบตัวระหว่าง 5 ถึง 10 ซม. ทดสอบกำลังอัดที่อายุ 60, 90, 180, 270 และ 360 วัน นอกจากนี้ทดสอบการขยายตัวของแท่งคอนกรีตขนาด $7.5 \times 7.5 \times 28.5$ ซม. เมื่อแช่ในสารละลายน้ำกันซึ่งมีค่าอุบตัวระหว่าง 5 ถึง 10 ซม. โดยนำหัวนัก เป็นเวลา 364 วัน

ผลการวิจัยพบว่าการแทนที่ปูนซีเมนต์ด้วยเด้าป่าล์มน้ำมันทำให้เวลาการก่อตัวทั้งระยะเริ่มต้นและระยะสุดท้ายของคอนกรีตนานขึ้นและนานมากยิ่งขึ้นเมื่อเพิ่มอัตราการแทนที่สูงขึ้น ส่วนการบดเด้าป่าล์มน้ำมันให้มีความละเอียดสูงขึ้นทำให้ระยะเวลาการก่อตัวของคอนกรีตลดลงเมื่อเปรียบเทียบกับการใช้เด้าป่าล์มน้ำมันที่หยาบกว่า ในด้านกำลังอัดของคอนกรีตที่บ่มในน้ำประปา พบร่วมกันว่าคอนกรีตที่ผสมเด้าป่าล์มน้ำมันก่อนบดทุกส่วนผสมมีกำลังอัดต่ำกว่าคอนกรีตควบคุมที่ทำด้วยปูนซีเมนต์ปอร์ตแลนด์ประเภทที่ 1 และการแทนที่มากยิ่งขึ้นกำลังอัดยิ่งมีค่าลดลง ส่วนกำลังอัดของคอนกรีตที่ผสมเด้าป่าล์มน้ำมันก่อนบดทุกส่วนผสมมีกำลังอัดต่ำกว่าคอนกรีตควบคุมที่ทำด้วยปูนซีเมนต์ปอร์ตแลนด์ประเภทที่ 1 และการแทนที่มากยิ่งขึ้นกำลังอัดยิ่งมีค่าลดลง

น้ำมันหลังบดสูงกว่าค่อนกริตที่ผสมถ้าปาล์มน้ำมันก่อนบดมาก ซึ่งการแทนที่ถ้าปาล์มน้ำมันขนาด
ละเอียดปานกลางและขนาดละเอียดมากในอัตราส่วนร้อยละ 10 และ 20 โดยนำหนักวัสดุประสาน
ตามลำดับ ที่อายุ 90 วัน สามารถทำให้กำลังอัดของค่อนกริตสูงกว่าค่อนกริตควบคุมที่ทำด้วย
ปูนซีเมนต์ปอร์ตแลนด์ประเภทที่ 1 สำหรับกำลังอัดของค่อนกริตที่มีส่วนผสมเดียวกันเมื่อเทียบใน
สารละลายแมกนีเซียมชัลเฟต พ布ว่ามีการพัฒนากำลังอัดเพิ่มขึ้นจนถึงอายุ 270 วัน หลังจากนั้นกำลังอัด
ของค่อนกริตเริ่มมีค่าลดลง ซึ่งการแทนที่ถ้าปาล์มน้ำมันทุกความละเอียดในปริมาณสูง (ร้อยละ 40) มี
การลดลงของกำลังอัดค่อนข้างมาก อย่างไรก็ตามค่อนกริตที่ผสมถ้าปาล์มน้ำมันขนาดละเอียดมาก
แทนที่ปูนซีเมนต์ปอร์ตแลนด์ประเภทที่ 1 ในอัตราส่วนร้อยละ 10 ยังคงมีกำลังอัดสูงกว่าค่อนกริต
ควบคุมที่ทำด้วยปูนซีเมนต์ปอร์ตแลนด์ประเภทที่ 5 แม้ว่าจะในสารละลายแมกนีเซียมชัลเฟตเป็น
เวลา 360 วัน

ส่วนการขยายตัวของค่อนกริตเนื่องจากสารละลายแมกนีเซียมชัลเฟต พ布ว่าถ้าปาล์มน้ำมันที่มีความ
ละเอียดสูงทำให้แห้งค่อนกริตมีค่าการขยายตัวต่ำกว่าถ้าปาล์มน้ำมันที่มีความละเอียดต่ำ และการ
แทนที่ในอัตราส่วนที่สูงขึ้นการขยายตัวมีแนวโน้มลดลง โดยแห้งค่อนกริตที่ผสมถ้าปาล์มน้ำมัน
ขนาดละเอียดมากทุกอัตราการแทนที่มีการขยายตัวที่อายุ 364 วัน ต่ำกว่าค่อนกริตควบคุมที่ทำด้วย
ปูนซีเมนต์ปอร์ตแลนด์ประเภทที่ 1 ซึ่งการแทนที่ร้อยละ 40 การขยายตัวมีค่าต่ำกว่าค่อนกริตควบคุม
ที่ทำด้วยปูนซีเมนต์ปอร์ตแลนด์ประเภทที่ 5 โดยผิวดวงแห้งค่อนกริตยังไม่เกิดการสึกกร่อน มีเพียง
บริเวณขอบและมุมเท่านั้นที่เกิดการหลุดร่อนของเนื้อค่อนกริตเพียงเล็กน้อย

คำสำคัญ : ถ้าปาล์มน้ำมัน / วัสดุปอชโซล่า / ระยะเวลาการก่อตัว / กำลังอัด / การขยายตัว / ค่อนกริต

Thesis Title A Study of Properties of Concrete Mixed with Palm Oil Fuel Ash
Thesis Credits 12
Candidate Mr. Tirasit Saeting
Thesis Advisors Assoc. Prof. Dr. Chai Jaturapitakkul
 Assoc. Prof. Dr. Kraiwood Kiattikomol
Program Master of Engineering
Field of Study Civil Engineering
Department Civil Engineering
Faculty Engineering
B.E. 2547

Abstract

This research intends to develop the Palm Oil Fuel Ash (POFA) as a pozzolanic material for making concrete. Original POFA (Coarse POFA) from palm oil mills was ground to improve the quality until the particle sizes retained on a sieve No. 325 were 15-20 (fine POFA) and less than 5 percent (very fine POFA) by weight. Then, Portland cement type I was partially replaced by ground or unground POFA at the rate of 10, 20, 30 to 40 percent by weight of binder to produce concretes. The mixing water was adjusted to obtain slump of concretes between 5-10 cm. Setting times of fresh concrete were investigated. Compressive strengths of concretes were determined by using cylindrical concrete of 10x20 cm. All concretes were separated into 2 groups, the first group was cured in water and tested for the compressive strength at the ages of 3, 7, 14, 28, 60, 90, 180, 270, and 360 days. The second group was immersed in 5 percent of magnesium sulfate solution and was tested to determine the compressive strength at the ages of 60, 90, 180, 270 and 360 days. Concrete bars of 7.5x7.5x28.5 cm containing POFA immersed in 5 percent of magnesium sulfate solution were tested for expansion until 364 days.

The results revealed that the initial and final setting times of concretes mixed with POFA were increased with the increase of POFA replacement. After grinding, the use of ground POFA reduced setting time as compared to that of unground POFA. Concretes mixed with original POFA had the compressive strength lower than that of Portland cement type I concrete and decreased as the increase of POFA replacement. However, the concretes mixed with fine and very fine POFA at 10

and 20 percent, respectively gave the compressive strength as high as that of Portland cement type I concrete at the age of 90 days. For concretes immersed in magnesium sulfate solution, the compressive strengths of all concretes were as high as those of concretes cured in water and reduced after 360 days. The strength loss of POFA concretes in magnesium sulfate solution was increased with the increase of POFA replacement. However, the compressive strength of concrete mixed with 10 percent of very fine POFA was higher than that of Portland cement type V concrete although it was immersed in magnesium sulfate solution for 360 days.

The expansions of concrete bars containing high fineness POFA were less than those of concrete bars containing low fineness POFA and decreased as the increase of POFA replacement. The expansions of all concrete bars containing very fine POFA at the age of 364 days were less than that of concrete bar made from Portland cement type I. Additionally, at 40 percent replacement of high fineness of POFA, the expansion was less than that of concrete bar made from Portland cement type V. The POFA concrete bars showed less corrosion, with only small spalling at the edge of samples.

Keywords : Palm Oil Fuel Ash / Pozzolanic Material / Setting Time / Compressive Strength / Expansion / Concrete

กิตติกรรมประกาศ

งานวิจัยนี้สามารถสำเร็จฉล่วงไปได้ด้วยคี ผู้วิจัยต้องขอขอบคุณ รศ.ดร.ชัย ชาตรพิทักษ์กุล ประธานกรรมการวิทยานิพนธ์ และอาจารย์ที่ปรึกษา ที่ให้ความรู้ ให้คำปรึกษาและคำแนะนำในการวิจัยตลอดมา ขอขอบคุณ รศ.ดร.ไกรรุณี เกียรติโภมล อาจารย์ที่ปรึกษาร่วม และขอขอบคุณกรรมการสอบทุกท่าน ได้แก่ ศ.ดร.สมชาย ชูชีพสกุล และ รศ.ดร.ปริญญา จินดาประเสริฐ ที่สละเวลาอันมีค่ามาสอบวิทยานิพนธ์

ขอขอบคุณสำนักงานกองทุนสนับสนุนการวิจัย (สกอ.) ภายใต้โครงการทุนวิจัยองค์ความรู้ใหม่ที่เป็นพื้นฐานต่อการพัฒนา (วุฒิเมธิวิจัย สกอ.) ประจำปี 2545 ที่สนับสนุนเงินทุนสำหรับการวิจัย และขอขอบคุณบริษัท ชุมพรอุดสาครรัตน์ จำกัด (มหาชน) ซึ่งเป็นผู้สนับสนุนตัวอย่างเดียวที่ไม่ได้นำมันเพื่อใช้ในการศึกษาวิจัยนี้ ดูดท้ายนี้ผู้วิจัยขอขอบคุณผู้ที่เกี่ยวข้องกับงานวิจัยนี้ทุกท่านที่ไม่ได้อ่านมาในที่นี้และหวังเป็นอย่างยิ่งว่าผลงานวิจัยชิ้นนี้จะเป็นประโยชน์ช่วยเสริมสร้างความรู้ และความเข้าใจ ตลอดจนส่งเสริมการนำดำเนินการนำไปใช้ในงานคونกรีตต่อไป

สารบัญ

หน้า

บทคัดย่อภาษาไทย	๑
บทคัดย่อภาษาอังกฤษ	๒
กิตติกรรมประกาศ	๓
สารบัญ	๔
รายการตาราง	๘
รายการรูปประกอบ	๙

บทที่

1. บทนำ	1
1.1 ความเป็นมา	1
1.2 วัตถุประสงค์	2
1.3 ขอบเขตของการศึกษา	3
1.4 เนื้อหาของวิทยานิพนธ์	4
2. งานวิจัยที่เกี่ยวข้อง	5
2.1 วัสดุปอชโซลาน	5
2.2 ปฏิกริยาปอชโซลาน	6
2.3 เถ้าป่าลืมน้ำมัน	7
2.4 กระบวนการกัดกร่อนเนื้องจากชัลเฟต	9
2.5 แนวทางการป้องกันการทำลายเนื้องจากชัลเฟต	11
2.6 งานวิจัยที่ผ่านมา	12
3. วิธีการทดสอบ	14
3.1 วัสดุที่ใช้ในการทดสอบ	14
3.2 เครื่องมือและอุปกรณ์ที่ใช้ในการทดสอบ	14
3.3 วิธีการศึกษา	15

4. ผลการทดสอบและการวิเคราะห์ผล	23
4.1 คุณสมบัติทางกายภาพของวัสดุ	23
4.2 คุณสมบัติทางเคมีของวัสดุ	28
4.3 อัตราส่วนน้ำต่อวัสดุประสานของคอนกรีต	30
4.4 ระยะเวลาการก่อตัวของคอนกรีต	31
4.5 กำลังอัดของคอนกรีตที่บ่มในน้ำประจำ	33
4.6 กำลังอัดของคอนกรีตที่แข็งในสารละลายแมกนีเซียมซัลเฟต	44
4.7 เปรียบเทียบกำลังอัดของคอนกรีตที่บ่มในน้ำประจำ และที่แข็งในสารละลายแมกนีเซียมซัลเฟต	53
4.8 การขยายตัวของเท่งคอนกรีต	62
5. สรุปผลการทดสอบ และข้อเสนอแนะ	72
5.1 สรุปผลการทดสอบ	72
5.2 ข้อเสนอแนะ	73
เอกสารอ้างอิง	75
ภาคผนวก	83
ก ตารางและรูปแสดงการคำนวณพื้นที่ผิวจำเพาะด้วยวิธีของเบลน	83
ข ตารางและรูปแสดงการทดสอบหาระยะเวลาการก่อตัวของคอนกรีต	85
ค ผลการทดสอบกำลังอัดของคอนกรีต	100
ง ผลการทดสอบการขยายตัวของเท่งคอนกรีต	129
ประวัติผู้วิจัย	144

รายการตาราง

ตาราง	หน้า
2.1 การแบ่งประเภทของวัสดุปูอชโคลานตามมาตรฐาน ASTM C 618	6
2.2 เกณฑ์กำหนดในการออกแบบคอนกรีตเสริมเหล็กที่สัมผัสกับสารละลายซัลเฟต	12
3.1 อัตราส่วนผสม อัตราส่วนน้ำต่อวัสดุประสาน และค่าญูบตัวของคอนกรีตที่ใช้ในการศึกษา	18
4.1 ความถ่วงจำเพาะ ความละเอียด และขนาดอนุภาคเฉลี่ยของวัสดุ	27
4.2 องค์ประกอบทางเคมีของวัสดุ	29
4.3 อัตราส่วนน้ำต่อวัสดุประสาน ค่าญูบตัว และระยะเวลาการก่อตัวของคอนกรีต	32
4.4 กำลังอัดและร้อยละกำลังอัดของคอนกรีตที่บ่มในน้ำประปา	34
4.5 กำลังอัดและร้อยละกำลังอัดของคอนกรีตที่แข็งในสารละลายแมกนีเซียมซัลเฟต	45
4.6 ค่าผลต่างกำลังอัดและค่าแฟกเตอร์การเสื่อมกำลังเนื่องจากสารละลายแมกนีเซียมซัลเฟต	54
4.7 ผลการทดสอบการขยายตัวของแท่งคอนกรีตที่แข็งในสารละลายแมกนีเซียมซัลเฟต ความเข้มข้นร้อยละ 5 โดยนำหัก เป็นเวลา 364 วัน	63
ก.1 ผลการทดสอบหาพื้นที่ผิวจำเพาะด้วยวิธี Blaine Air Permeability ของปูนซีเมนต์ ปอร์ตแลนด์ประเภทที่ 1, ประเภทที่ 5 และถ้าปั๊มน้ำมัน	84
ข.1 การทดสอบหาระยะเวลาการก่อตัวของคอนกรีต CT1	86
ข.2 การทดสอบหาระยะเวลาการก่อตัวของคอนกรีต CT5	87
ข.3 การทดสอบหาระยะเวลาการก่อตัวของคอนกรีต OP10	88
ข.4 การทดสอบหาระยะเวลาการก่อตัวของคอนกรีต OP20	89
ข.5 การทดสอบหาระยะเวลาการก่อตัวของคอนกรีต OP30	90
ข.6 การทดสอบหาระยะเวลาการก่อตัวของคอนกรีต OP40	91
ข.7 การทดสอบหาระยะเวลาการก่อตัวของคอนกรีต G1P10	92
ข.8 การทดสอบหาระยะเวลาการก่อตัวของคอนกรีต G1P20	93
ข.9 การทดสอบหาระยะเวลาการก่อตัวของคอนกรีต G1P30	94
ข.10 การทดสอบหาระยะเวลาการก่อตัวของคอนกรีต G1P40	95
ข.11 การทดสอบหาระยะเวลาการก่อตัวของคอนกรีต G2P10	96
ข.12 การทดสอบหาระยะเวลาการก่อตัวของคอนกรีต G2P20	97
ข.13 การทดสอบหาระยะเวลาการก่อตัวของคอนกรีต G2P30	98
ข.14 การทดสอบหาระยะเวลาการก่อตัวของคอนกรีต G2P40	99

ค.24 ผลการทดสอบกำลังอัดของคอนกรีต G1P40S ที่แข็งในสารละลายแมกนีเซียมซัลเฟต ความเข้มข้นร้อยละ 5 โดยน้ำหนัก	124
ค.25 ผลการทดสอบกำลังอัดของคอนกรีต G2P10S ที่แข็งในสารละลายแมกนีเซียมซัลเฟต ความเข้มข้นร้อยละ 5 โดยน้ำหนัก	125
ค.26 ผลการทดสอบกำลังอัดของคอนกรีต G2P20S ที่แข็งในสารละลายแมกนีเซียมซัลเฟต ความเข้มข้นร้อยละ 5 โดยน้ำหนัก	126
ค.27 ผลการทดสอบกำลังอัดของคอนกรีต G2P30S ที่แข็งในสารละลายแมกนีเซียมซัลเฟต ความเข้มข้นร้อยละ 5 โดยน้ำหนัก	127
ค.28 ผลการทดสอบกำลังอัดของคอนกรีต G2P40S ที่แข็งในสารละลายแมกนีเซียมซัลเฟต ความเข้มข้นร้อยละ 5 โดยน้ำหนัก	128
๔.1 ผลการทดสอบการขยายตัวของแท่งคอนกรีตควบคุม CT1	130
๔.2 ผลการทดสอบการขยายตัวของแท่งคอนกรีตควบคุม CT5	131
๔.3 ผลการทดสอบการขยายตัวของแท่งคอนกรีต OP10	132
๔.4 ผลการทดสอบการขยายตัวของแท่งคอนกรีต OP20	133
๔.5 ผลการทดสอบการขยายตัวของแท่งคอนกรีต OP30	134
๔.6 ผลการทดสอบการขยายตัวของแท่งคอนกรีต OP40	135
๔.7 ผลการทดสอบการขยายตัวของแท่งคอนกรีต G1P10	136
๔.8 ผลการทดสอบการขยายตัวของแท่งคอนกรีต G1P20	137
๔.9 ผลการทดสอบการขยายตัวของแท่งคอนกรีต G1P30	138
๔.10 ผลการทดสอบการขยายตัวของแท่งคอนกรีต G1P40	139
๔.11 ผลการทดสอบการขยายตัวของแท่งคอนกรีต G2P10	140
๔.12 ผลการทดสอบการขยายตัวของแท่งคอนกรีต G2P20	141
๔.13 ผลการทดสอบการขยายตัวของแท่งคอนกรีต G2P30	142
๔.14 ผลการทดสอบการขยายตัวของแท่งคอนกรีต G2P40	143

รายการรูปประกอบ

รูป	หน้า
2.1 กองเส้นไขจากทะลายปาล์มและผลปาล์ม	7
2.2 กองกะลาปาล์ม	8
2.3 กองถ้าปาล์มน้ำมันหลังจากการเผา	8
3.1 อุปกรณ์ทดสอบระยะเวลาการก่อตัวของคอนกรีต ตามมาตรฐาน ASTM C 403	17
3.2 แบบหล่อและตัวอย่างแท่งคอนกรีตสำหรับทดสอบการขยายตัว	21
3.3 เครื่องวัดการขยายตัวของคอนกรีต (Length Comparator) ตามมาตรฐาน ASTM C 490	21
4.1 สีและลักษณะทั่วไปของปูนซีเมนต์ปอร์ตแลนด์ประเภทที่ 1 และประเภทที่ 5 และถ้าปาล์มน้ำมัน	24
4.2 ภาพขยายอนุภาคปูนซีเมนต์ปอร์ตแลนด์ประเภทที่ 1	25
4.3 ภาพขยายอนุภาคปูนซีเมนต์ปอร์ตแลนด์ประเภทที่ 5	25
4.4 ภาพขยายอนุภาคถ้าปาล์มน้ำมัน OP	25
4.5 ภาพขยายอนุภาคถ้าปาล์มน้ำมัน G1P	25
4.6 ภาพขยายอนุภาคถ้าปาล์มน้ำมัน G2P	25
4.7 การกระจายอนุภาคของปูนซีเมนต์ปอร์ตแลนด์ประเภทที่ 1, ประเภทที่ 5 และถ้าปาล์มน้ำมัน	28
4.8 ความสัมพันธ์ระหว่างกำลังอัดกับอายุบ่มในน้ำประปาของคอนกรีต ที่ผสมถ้าปาล์มน้ำมัน OP	39
4.9 ความสัมพันธ์ระหว่างร้อยละกำลังอัดกับอายุบ่มในน้ำประปาของคอนกรีต ที่ผสมถ้าปาล์มน้ำมัน OP	39
4.10 ความสัมพันธ์ระหว่างกำลังอัดกับอายุบ่มในน้ำประปาของคอนกรีต ที่ผสมถ้าปาล์มน้ำมัน G1P	40
4.11 ความสัมพันธ์ระหว่างร้อยละกำลังอัดกับอายุบ่มในน้ำประปาของคอนกรีต ที่ผสมถ้าปาล์มน้ำมัน G1P	40
4.12 ความสัมพันธ์ระหว่างกำลังอัดกับอายุบ่มในน้ำประปาของคอนกรีต ที่ผสมถ้าปาล์มน้ำมัน G2P	41
4.13 ความสัมพันธ์ระหว่างร้อยละกำลังอัดกับอายุบ่มในน้ำประปาของคอนกรีต ที่ผสมถ้าปาล์มน้ำมัน G2P	41

4.14 ความสัมพันธ์ระหว่างปริมาณการแทนที่กับกำลังอัดที่อายุต่างๆ ของคอนกรีต ที่ทดสอบแล้วน้ำมัน OP	42
4.15 ความสัมพันธ์ระหว่างปริมาณการแทนที่กับกำลังอัดที่อายุต่างๆ ของคอนกรีต ที่ทดสอบแล้วน้ำมัน G1P	43
4.16 ความสัมพันธ์ระหว่างปริมาณการแทนที่กับกำลังอัดที่อายุต่างๆ ของคอนกรีต ที่ทดสอบแล้วน้ำมัน G2P	43
4.17 ความสัมพันธ์ระหว่างกำลังอัดกับเวลาที่ใช้ในสารละลายแมกนีเซียมชัลเฟต ของคอนกรีตควบคุม CT1S และ CT5S	49
4.18 คอนกรีตควบคุม CT1S และ CT5S ที่ใช้ในสารละลายแมกนีเซียมชัลเฟต เป็นเวลา 360 วัน	49
4.19 ความสัมพันธ์ระหว่างกำลังอัดกับเวลาที่ใช้ในสารละลายแมกนีเซียมชัลเฟต ของคอนกรีตที่ทดสอบแล้วน้ำมัน OP	50
4.20 คอนกรีตที่ทดสอบแล้วน้ำมัน OP ที่ใช้ในสารละลายแมกนีเซียมชัลเฟต เป็นเวลา 360 วัน	50
4.21 ความสัมพันธ์ระหว่างกำลังอัดกับเวลาที่ใช้ในสารละลายแมกนีเซียมชัลเฟต ของคอนกรีตที่ทดสอบแล้วน้ำมัน G1P	51
4.22 คอนกรีตที่ทดสอบแล้วน้ำมัน G1P ที่ใช้ในสารละลายแมกนีเซียมชัลเฟต เป็นเวลา 360 วัน	51
4.23 ความสัมพันธ์ระหว่างกำลังอัดกับเวลาที่ใช้ในสารละลายแมกนีเซียมชัลเฟต ของคอนกรีตที่ทดสอบแล้วน้ำมัน G2P	52
4.24 คอนกรีตที่ทดสอบแล้วน้ำมัน G2P ที่ใช้ในสารละลายแมกนีเซียมชัลเฟต เป็นเวลา 360 วัน	52
4.25 เปรียบเทียบกำลังอัดของคอนกรีตควบคุม CT1 และ CT5 ที่บ่มในน้ำประปาและใช้ในสารละลายแมกนีเซียมชัลเฟต	58
4.26 เปรียบเทียบกำลังอัดของคอนกรีตที่ทดสอบแล้วน้ำมัน OP ที่บ่มในน้ำประปาและใช้ในสารละลายแมกนีเซียมชัลเฟต	59
4.27 เปรียบเทียบกำลังอัดของคอนกรีตที่ทดสอบแล้วน้ำมัน G1P ที่บ่มในน้ำประปาและใช้ในสารละลายแมกนีเซียมชัลเฟต	60
4.28 เปรียบเทียบกำลังอัดของคอนกรีตที่ทดสอบแล้วน้ำมัน G2P ที่บ่มในน้ำประปาและใช้ในสารละลายแมกนีเซียมชัลเฟต	61
4.29 ความสัมพันธ์ระหว่างการขยายตัวกับเวลาที่ใช้ในสารละลายแมกนีเซียมชัลเฟต ของแท่งคอนกรีตควบคุม CT1 และ CT5	67

4.30 แท่งคอนกรีตควบคุม CT1 และ CT5 ที่แข็งในสารละลายน้ำกันซึมชั้ลเฟต เป็นเวลา 364 วัน	67
4.31 ความสัมพันธ์ระหว่างการขยายตัวกับเวลาที่แข็งในสารละลายน้ำกันซึมชั้ลเฟต ของแท่งคอนกรีตที่ผสมถ้าปั๊มน้ำมัน OP	68
4.32 แท่งคอนกรีตที่ผสมถ้าปั๊มน้ำมัน OP ที่แข็งในสารละลายน้ำกันซึมชั้ลเฟต เป็นเวลา 364 วัน	68
4.33 ความสัมพันธ์ระหว่างการขยายตัวกับเวลาที่แข็งในสารละลายน้ำกันซึมชั้ลเฟต ของแท่งคอนกรีตที่ผสมถ้าปั๊มน้ำมัน G1P	69
4.34 แท่งคอนกรีตที่ผสมถ้าปั๊มน้ำมัน G1P ที่แข็งในสารละลายน้ำกันซึมชั้ลเฟต เป็นเวลา 364 วัน	69
4.35 ความสัมพันธ์ระหว่างการขยายตัวกับเวลาที่แข็งในสารละลายน้ำกันซึมชั้ลเฟต ของแท่งคอนกรีตที่ผสมถ้าปั๊มน้ำมัน G2P	70
4.36 แท่งคอนกรีตที่ผสมถ้าปั๊มน้ำมัน G2P ที่แข็งในสารละลายน้ำกันซึมชั้ลเฟต เป็นเวลา 364 วัน	70
4.37 เปรียบเทียบการขยายตัวของแท่งคอนกรีตควบคุมกับแท่งคอนกรีตที่ผสมถ้าปั๊มน้ำมัน ที่แข็งในสารละลายน้ำกันซึมชั้ลเฟต	71
ก.1 การหาค่าคงที่ k_1 ในการวัดพื้นที่ผิวจำเพาะของ Blaine ของปูนซีเมนต์ปอร์ตแลนด์ ประเภทที่ 1, ประเภทที่ 5 และถ้าปั๊มน้ำมัน	84
ก.1 ความสัมพันธ์ระหว่างแรงต้านทานกับเวลาหลังการผสมของคอนกรีตควบคุม CT1	86
ก.2 ความสัมพันธ์ระหว่างแรงต้านทานกับเวลาหลังการผสมของคอนกรีตควบคุม CT5	87
ก.3 ความสัมพันธ์ระหว่างแรงต้านทานกับเวลาหลังการผสมของคอนกรีต OP10	88
ก.4 ความสัมพันธ์ระหว่างแรงต้านทานกับเวลาหลังการผสมของคอนกรีต OP20	89
ก.5 ความสัมพันธ์ระหว่างแรงต้านทานกับเวลาหลังการผสมของคอนกรีต OP30	90
ก.6 ความสัมพันธ์ระหว่างแรงต้านทานกับเวลาหลังการผสมของคอนกรีต OP40	91
ก.7 ความสัมพันธ์ระหว่างแรงต้านทานกับเวลาหลังการผสมของคอนกรีต G1P10	92
ก.8 ความสัมพันธ์ระหว่างแรงต้านทานกับเวลาหลังการผสมของคอนกรีต G1P20	93
ก.9 ความสัมพันธ์ระหว่างแรงต้านทานกับเวลาหลังการผสมของคอนกรีต G1P30	94
ก.10 ความสัมพันธ์ระหว่างแรงต้านทานกับเวลาหลังการผสมของคอนกรีต G1P40	95
ก.11 ความสัมพันธ์ระหว่างแรงต้านทานกับเวลาหลังการผสมของคอนกรีต G2P10	96
ก.12 ความสัมพันธ์ระหว่างแรงต้านทานกับเวลาหลังการผสมของคอนกรีต G2P20	97
ก.13 ความสัมพันธ์ระหว่างแรงต้านทานกับเวลาหลังการผสมของคอนกรีต G2P30	98
ก.14 ความสัมพันธ์ระหว่างแรงต้านทานกับเวลาหลังการผสมของคอนกรีต G2P40	99

บทที่ 1 บทนำ

ในบทนี้เป็นการกล่าวถึงความเป็นมาของเก้าป้าล้มน้ำมัน, วัตถุประสงค์ของการศึกษา, ขอบเขตของการศึกษา และแนวทางในการศึกษาของการทำวิจัยนี้

1.1 ความเป็นมา

จากสถานการณ์ในปัจจุบันมีความต้องการใช้พลังงานซึ่งเป็นปัจจัยพื้นฐานที่สำคัญต่อการพัฒนาประเทศในปริมาณมาก ทำให้ต้องพึ่งพาพลังงานจากต่างประเทศประมาณร้อยละ 60 ของความต้องการพลังงานเชิงพาณิชย์ทั้งหมด และเนื่องจากราคาน้ำมันมีการปรับตัวสูงขึ้นอย่างต่อเนื่อง อีกทั้งความต้องการเสริมสร้างความมั่นคงทางด้านพลังงานของประเทศ รวมถึงความต้องการลดมลพิษ เพื่อให้สั่งแวดล้อมดีขึ้น ทำให้มีหลายหน่วยงานได้ทำการวิจัยและพัฒนาการใช้พลังงานภายในประเทศ ซึ่งได้แก่ ไบโอดีเซล และพลังงานชีวนิรภัย เป็นต้น โดยไบโอดีเซลเป็นการนำน้ำมันจากพืชหรือสัตว์มาใช้ผสมน้ำมันดีเซลในสัดส่วนต่างๆ เพื่อทดแทนการนำเข้าน้ำมันดีเซล ส่วนพลังงานชีวนิรภัยเป็นการนำวัสดุเหลือทิ้งจากการเกษตรมาใช้เป็นเชื้อเพลิงในการผลิตกระแสไฟฟ้า

ปาล์มน้ำมันเป็นพืชที่มีผลผลิต คุณภาพ และราคาต้นทุนคิว่าพืชน้ำมันชนิดอื่น จึงเหมาะสมในการนำมาผลิตไบโอดีเซล แต่ในการผลิตต้องคำนึงถึงปริมาณและความต้องการใช้น้ำมันในการบริโภค และในอุตสาหกรรมด้วย โดยในปี 2545 ประเทศไทยมีผลผลิตปาล์มน้ำมัน 4 ล้านตัน หรือน้ำมันปาล์มน้ำมัน 68000 ตันต่อเดือน ตลาดมีความต้องการใช้ 55000 ตันต่อเดือน [1] จะเหลือน้ำมันปาล์มน้ำมันที่นำมาผลิตเป็นไบโอดีเซล ในเชิงพาณิชย์ไม่นานกัก แม้ว่าจะมีการปลูกปาล์มน้ำมันเพิ่มขึ้นทุกปี ซึ่งจากการคาดการณ์ของสำนักงานเศรษฐกิจการเกษตร กระทรวงเกษตรและสหกรณ์ [2] ในปี 2547 ประเทศไทยมีพื้นที่ปลูกปาล์มน้ำมัน 1.87 ล้านไร่ ผลผลิตประมาณ 5.23 ล้านตัน แต่ยังคงไม่เพียงพอต่อความต้องการของโรงงานผลิตไบโอดีเซล ดังนั้นรัฐบาลจึงมีการส่งเสริมให้มีการปลูกปาล์มน้ำมันเพิ่มขึ้น โดยมีเป้าหมายขยายพื้นที่ปลูกปาล์มน้ำมันให้ได้ 10 ล้านไร่ภายในปี 2572 และมีผลผลิต 25.88 ล้านตัน โดยในช่วง 5 ปีแรก ปลูกเพิ่มกว่า 3 ล้านไร่ [3] และสนับสนุนการจัดตั้งอุตสาหกรรมต่อเนื่องและอุตสาหกรรมที่ใช้วัสดุเหลือใช้จากอุตสาหกรรมปาล์มน้ำมันและน้ำมันปาล์มน้ำมัน

หลังจากสืบสานกระบวนการสกัดน้ำมันปาล์มน้ำมันจากปาล์มน้ำมัน แยกเป็นทะเลป่าล้ม เปลือกปาล์มน้ำมัน และกะลาปาล์มน้ำมันซึ่งเป็นวัสดุเหลือทิ้ง โดยในอนาคตจะมีปริมาณเพิ่มขึ้นอย่างมาก ดังนั้นจึงต้องหาวิธีการจัดการกับวัสดุเหลือทิ้งดังกล่าว ซึ่งในปัจจุบันได้มีการนำเอาวัสดุเหลือทิ้งดังกล่าวมาใช้เป็นเชื้อเพลิงชีวนิรภัยในการผลิตกระแสไฟฟ้า โดยใช้กากปาล์มน้ำมันไปเผาเพื่อเป็นเชื้อเพลิงให้กับหม้อกานิด

โอน้ำในการผลิตกระแทกไฟฟ้า ซึ่งมีปริมาณประมาณ 3.29 ล้านตันในปี 2547 อย่างไรก็ตามหลังจาก การเพาบองเหลือถ้าปาล์มน้ำมันที่มีปริมาณสูงถึง 0.17 ล้านตัน (หรือประมาณร้อยละ 5 โดยน้ำหนัก ของกาปาล์มน) เถ้าปาล์มน้ำมันที่เกิดขึ้นมีการนำมาใช้ประโยชน์อย่างมากเมื่อเทียบกับปริมาณที่เพิ่มขึ้น ในแต่ละปี บางส่วนนำไปใช้เป็นปุ๋ย แต่ส่วนใหญ่ต้องนำไปทิ้ง ทำให้ต้องเสียค่าใช้จ่ายในการกำจัด การขนส่ง รวมถึงการจัดหาสถานที่ในการทิ้ง และเนื่องจากเถ้าปาล์มน้ำมันมีลักษณะเป็นผงฝุ่น น้ำหนักเบา สามารถพุ่งกระจายได้ง่าย จึงทำให้เกิดความเสี่ยงต่อสิ่งแวดล้อม ดังนั้นหากสามารถนำเถ้าปาล์มน้ำมันมาใช้ประโยชน์ก็สามารถลดปัญหาดังกล่าวได้ เช่นเดียวกับการใช้เถ้าถ่านหินจากแม่เมaje จังหวัดลำปาง ซึ่งในอดีตเคยเป็นวัสดุเหลือทิ้งที่สร้างปัญหาให้กับสภาวะแวดล้อม แต่ตอนมาได้มีการ วิจัยและพัฒนาอย่างต่อเนื่องจนสามารถนำมาใช้เป็นวัสดุปูชื้อelan ในงานคอนกรีตได้ดี และจาก การศึกษาเบื้องต้นพบว่าเถ้าปาล์มน้ำมันพบว่ามีออกไซด์ของซิลิกาสูง และมีศักยภาพเพียงพอสามารถ นำมาใช้เป็นวัสดุปูชื้อelan ได้เช่นกัน [4] ทำให้มีแนวคิดถึงการศึกษาการนำเถ้าปาล์มน้ำมันมาใช้ ประโยชน์เป็นวัสดุปูชื้อelan ในงานคอนกรีต เพื่อเป็นการลดปริมาณการใช้ปูนซีเมนต์และเป็นการ นำวัสดุเหลือทิ้งดังกล่าวมาทำให้เกิดประโยชน์ซึ่งจะส่งผลดีต่อทั้งทางด้านเศรษฐกิจและสิ่งแวดล้อม ในอนาคตอีกด้วย

1.2 วัตถุประสงค์

- เพื่อศึกษาระยะเวลาการก่อตัวของคอนกรีตเมื่อใช้เถ้าปาล์มน้ำมันผสมแทนที่บางส่วนใน ปูนซีเมนต์ปอร์ตแลนด์ประเภทที่ 1
- เพื่อศึกษาดำเนินอัคของคอนกรีตที่ผสมเถ้าปาล์มน้ำมันแทนที่บางส่วนในปูนซีเมนต์ปอร์ตแลนด์ ประเภทที่ 1 เมื่อบ่มในน้ำประปาและแช่ในสารละลายนมกนีเซียมชัลเฟต ความเข้มข้นร้อยละ 5 โดยน้ำหนัก
- เพื่อศึกษาการต้านทานการกัดกร่อนและการขยายตัวของคอนกรีตที่ผสมเถ้าปาล์มน้ำมันแทนที่ บางส่วนในปูนซีเมนต์ปอร์ตแลนด์ประเภทที่ 1 เมื่อแช่ในสารละลายนมกนีเซียมชัลเฟต ความเข้มข้น ร้อยละ 5 โดยน้ำหนัก
- เพื่อศึกษาผลของการความละเอียดและปริมาณการแทนที่ของเถ้าปาล์มน้ำมันเมื่อใช้ผสมแทนที่ บางส่วนในปูนซีเมนต์ปอร์ตแลนด์ประเภทที่ 1 ในการต้านทานชัลเฟตและให้กำลังอัคของคอนกรีต

1.3 ขอบเขตของการศึกษา

การศึกษาเริ่มจากการนำถ้าปาล์มน้ำมันที่นำมาจากโรงงานผลิตน้ำมันปาล์มาร่อนผ่านตะแกรงมาตรฐานเบอร์ 16 หลังจากนั้นทำการปรับปรุงคุณภาพของถ้าปาล์มน้ำมันที่ผ่านตะแกรงมาตรฐานเบอร์ 16 โดยการบดให้มีความละเอียดมากขึ้นอีก 2 ขนาด คือ ขนาดอนุภาคที่ค้างบนตะแกรงเบอร์ 325 ในช่วงร้อยละ 15-20 และน้อยกว่าร้อยละ 5 โดยนำหัวนัก รวมขนาดที่ไม่ได้บดเป็น 3 ขนาด แล้วจึงทำการตรวจสอบคุณสมบัติทางกายภาพของถ้าปาล์มน้ำมันแต่ละขนาด ได้แก่ ลักษณะรูปร่าง ความละเอียด การกระจายตัวของอนุภาค และค่าความถ่วงจำเพาะ รวมถึงองค์ประกอบทางเคมี

ทดสอบระยะเวลาการก่อตัวของคอนกรีตที่ใช้ปูนซีเมนต์ปอร์ตแลนด์ประเภทที่ 1 และประเภทที่ 5 เป็นวัสดุประสานเพียงอย่างเดียว และคอนกรีตที่ผสมถ้าปาล์มน้ำมันที่มีความละเอียดต่างกัน 3 ขนาด แทนที่ปูนซีเมนต์ปอร์ตแลนด์ประเภทที่ 1 ในอัตราส่วนร้อยละ 10, 20, 30 และ 40 โดยนำหัวนักวัดคุณภาพ

ทดสอบกำลังอัดของคอนกรีตโดยใช้ตัวอย่างคอนกรีตรูปทรงกระบอกขนาดเส้นผ่านศูนย์กลาง 10 ซม. สูง 20 ซม. ออกแบบกำลังอัดของคอนกรีตควบคุมที่ใช้ปูนซีเมนต์ปอร์ตแลนด์ประเภทที่ 1 เป็นวัสดุประสานเพียงอย่างเดียว ที่อายุ 28 วัน เท่ากับ $310 \text{ กก}/\text{ซม}^2$ และมีค่าการยุบตัวระหว่าง 5 ถึง 10 ซม. และปรับปริมาณน้ำในส่วนผสมของคอนกรีตที่ผสมถ้าปาล์มน้ำมันเพื่อให้มีค่าการยุบตัวระหว่าง 5 ถึง 10 ซม. เมื่อหล่อคอนกรีตเสร็จแล้วทำการทดสอบแบบที่อายุ 1 วัน แบ่งตัวอย่างออกเป็น 2 กลุ่ม โดยกลุ่มแรก บ่มในน้ำสะอาดตลอดเวลา ทดสอบกำลังอัดของคอนกรีต ที่อายุ 3, 7, 14, 28, 60, 90, 180, 270 และ 360 วัน ตามลำดับ กลุ่มที่ 2 แช่ในสารละลายแมgnีเซียมซัลเฟตความเข้มข้นร้อยละ 5 โดยนำหัวนัก เริ่มทดสอบกำลังอัดที่อายุ 60, 90, 180, 270 และ 360 วัน ตามลำดับ และทำการศึกษาผลของความละเอียด และการแทนที่ของถ้าปาล์มน้ำมันในการต้านทานการกัดกร่อนเนื่องจากสารละลายแมgnีเซียมซัลเฟตในรูปของค่าผลต่างกำลังอัด (Difference of Compressive Strength) ของคอนกรีต และค่าแฟกเตอร์เสื่อมกำลัง (Sulfate Deterioration Factor : SDF) ซึ่งเป็นค่าร้อยละของผลต่างกำลังอัดของตัวอย่าง คอนกรีตที่มีส่วนผสมเดียวกันเมื่อบ่มในน้ำประปา กับที่แช่ในสารละลายแมgnีเซียมซัลเฟต

การศึกษาการขยายตัวของคอนกรีต ใช้ตัวอย่างแท่งคอนกรีตขนาด $7.5 \times 7.5 \times 28.5$ ซม. โดยใช้อัตราส่วนผสมและปริมาณน้ำเช่นเดียวกับการทดสอบระยะเวลาการก่อตัวและการทดสอบกำลังอัดของคอนกรีต หลังจากหล่อแท่งตัวอย่างคอนกรีตครบ 1 วัน ทำการทดสอบแบบและวัดค่าความยาวเริ่มต้น หลังจากนั้นจึงนำไปแช่ในสารละลายแมgnีเซียมซัลเฟตความเข้มข้นร้อยละ 5 โดยนำหัวนัก และทำการวัดค่าการขยายตัวของแท่งตัวอย่างคอนกรีตทุก 14 วัน จนถึง 364 วัน

1.4 เนื้อหาของวิทยานิพนธ์

บทที่ 2 กล่าวถึงวัสดุปอชโซลาน ปฏิกริยาปอชโซลาน กระบวนการกัดกร่อนเนื่องจากชัลเฟต และแนวทางการป้องกันการทำลายเนื่องจากชัลเฟต ตลอดจนงานวิจัยที่ผ่านมาเกี่ยวกับการใช้ถ้าปาล์ม น้ำมันในงานคอนกรีต

บทที่ 3 กล่าวถึงวิธีการทดสอบตามมาตรฐานต่างๆ ซึ่งประกอบด้วย วัสดุและอุปกรณ์ที่ใช้ในการศึกษา การเตรียมตัวอย่างถ้าปาล์มน้ำมัน การทดสอบคุณสมบัติจำเพาะของวัสดุ รวมทั้งวิธีการทดสอบ ระยะเวลาการก่อตัวของคอนกรีตสด และวิธีการทดสอบกำลังอัดของคอนกรีต ตลอดจนวิธีการทดสอบการต้านทานการกัดกร่อนและการขยายตัวของคอนกรีตเนื่องจากสารละลายแมกนีเซียมชัลเฟต

บทที่ 4 กล่าวถึงผลการทดสอบและการวิเคราะห์ผลการทดสอบ ได้แก่ คุณสมบัติทางกายภาพและทางเคมีของวัสดุ ระยะเวลาการก่อตัวของคอนกรีตสด กำลังอัดของคอนกรีตที่บ่มในน้ำประปาและแร่ ในสารละลายแมกนีเซียมชัลเฟต การต้านทานการกัดกร่อนและการขยายตัวของคอนกรีตเนื่องจากสารละลายแมกนีเซียมชัลเฟต

บทที่ 5 เป็นการสรุปผลการทดสอบและข้อเสนอแนะเกี่ยวกับงานวิจัยที่น่าสนใจและเป็นประโยชน์ สำหรับการพัฒนาและการนำไปใช้ในงานคอนกรีตต่อไป

บทที่ 2 งานวิจัยที่เกี่ยวข้อง

ในบทนี้เป็นการกล่าวถึงวัสดุปูชโซลาน ปฏิกิริยาปูชโซลาน เถ้าป่าลมน้ำมัน กระบวนการกัดกร่อนเนื่องจากซัลเฟต และแนวทางการป้องกันการทำลายเนื่องจากซัลเฟต ตลอดจนงานวิจัยที่ผ่านมาที่เกี่ยวกับการใช้เถ้าป่าลมน้ำมันในงานคอนกรีต

2.1 วัสดุปูชโซลาน

มาตรฐาน ASTM C 618 [5] ให้คำจำกัดความของ “วัสดุปูชโซลาน” (Pozzolanic Materials) ไว้ว่า วัสดุปูชโซลานเป็นวัสดุที่มีซิลิกา (Siliceous) หรือซิลิกาและอลูминิอา (Siliceous and Aluminous) เป็นองค์ประกอบหลัก โดยทั่วไปแล้ววัสดุปูชโซลานจะไม่มีคุณสมบัติในการยึดประสาน แต่ถ้าวัสดุปูชโซลานมีความละเอียดมากพอและมีน้ำหนืดความซึ้งที่เพียงพอ จะสามารถทำปฏิกิริยากับแคลเซียมไฮดรอกไซด์ ($\text{Ca}(\text{OH}_2)$) ที่อุณหภูมิปกติ ทำให้ได้สารประกอบที่มีคุณสมบัติในการยึดประสานเรียกว่าปฏิกิริยาที่เกิดขึ้นนี้ว่าปฏิกิริยาปูชโซลาน (Pozzolanic Reaction) วัสดุปูชโซลานที่รู้จักกันทั่วไปได้แก่ วัสดุปูชโซลานธรรมชาติ (Natural Pozzolan) ซึ่งเกิดจากการกระบวนการตามธรรมชาติ เช่น เถ้าภูเขาไฟ และดินขาว (Metakaolin) เป็นต้น และวัสดุปูชโซลานสังเคราะห์ (Artificial Pozzolan) ซึ่งส่วนใหญ่เป็นวัสดุพอลอยไดที่เกิดจากการผลิตในงานอุตสาหกรรม เช่น ซิลิกาฟูม เถ้าถ่านหิน เถ้าแกลบ และตะกรันเตาถุงเหล็ก เป็นต้น [6]

วัสดุปูชโซลานตามมาตรฐาน ASTM C 618 [5] แบ่งออกเป็น 3 ประเภท ได้แก่ ประเภท F, ประเภท C และประเภท N โดยแบ่งจากคุณสมบัติทางค้านเคมีเป็นหลัก ดังแสดงในตารางที่ 2.1 วัสดุปูชโซลานประเภท F โดยปกติมาก ได้จากการเผาถ่านหินประเภทแอนทาร์ไซท์ (Antharcite) หรือบิทูมินัส (Bituminous) และมักจะมีแคลเซียมออกไซด์ (CaO) ต่ำกว่าร้อยละ 10 ประเภท C โดยปกติได้จากการเผาถ่านหินประเภท lithocainite (Lignite) หรือสัน-บิทูมินัส (subbituminous) และมักจะมีแคลเซียมออกไซด์ (CaO) สูงกว่าร้อยละ 10 ส่วนประเภท N เป็นวัสดุปูชโซลานตามธรรมชาติที่สามารถนำมาใช้ได้โดยตรง หรือนำมาผ่านกระบวนการเผาจนมีคุณสมบัติตามที่ต้องการก่อน

ปัจจุบันวัสดุปูชโซลานนิยมนำมาใช้ในงานคอนกรีตในรูปของการแทนที่บางส่วนในปูนซีเมนต์เนื่องจากวัสดุปูชโซลานช่วยปรับปรุงคุณภาพของคอนกรีตให้ดีขึ้นทั้งในด้านการรับกำลังอัด ความทนทานต่อสารเคมีจำพวกกรดหรือซัลเฟต และสามารถลดต้นทุนในการผลิตคอนกรีต ส่งผลให้ค่าใช้จ่ายในการก่อสร้างลดลง เมื่อเทียบกับวัสดุปูชโซลานมีราคาถูกกว่าปูนซีเมนต์ วัสดุปูชโซลานแต่ละ

ชนิดอาจส่งผลดีต่อคอนกรีตแตกต่างกันขึ้นอยู่กับคุณสมบัติเฉพาะตัว โดยองค์ประกอบทางแร่ธาตุที่อยู่ในรูปไม่เป็นผลึกและความลักษณะของวัสดุปอชโซลาน คือ ปัจจัยหลักที่ทำให้เกิดปฏิกิริยาปอชโซลานได้ดี [7]

ตารางที่ 2.1 การแบ่งประเภทของวัสดุปอชโซลานตามมาตรฐาน ASTM C 618 [5]

คุณสมบัติ	ประเภท F	ประเภท C	ประเภท N
$\text{SiO}_2 + \text{Al}_2\text{O}_3 + \text{Fe}_2\text{O}_3$, น้อยที่สุดร้อยละ	70.0	50.0	70.0
SO_3 , มากที่สุดร้อยละ	5.0	5.0	4.0
ปริมาณความชื้น, มากที่สุดร้อยละ	3.0	3.0	3.0
การสูญเสียเนื่องจากการเผาไหม้, มากที่สุดร้อยละ	6.0	6.0	10.0
ดัชนีกำลังที่อายุ 7 หรือ 28 วัน, น้อยที่สุดร้อยละ	75.0	75.0	75.0

2.2 ปฏิกิริยาปอชโซลาน

เมื่อปูนซีเมนต์ผสมกับน้ำทำให้เกิดปฏิกิริยาไฮเดรชัน (Hydration Reaction) ซึ่งเป็นปฏิกิริยาที่ decay ความร้อนออกม่า และมีผลิตภัณฑ์จากปฏิกิริยาที่สำคัญ คือ แคลเซียมซิลิกेट ไฮเดรต ($3\text{CaO}\cdot 2\text{SiO}_2\cdot 3\text{H}_2\text{O}$ หรือ C-S-H), แคลเซียมไฮดรอกไซด์ ($\text{Ca}(\text{OH})_2$) และแคลเซียมอลูมิเนต ไฮเดรต ($3\text{CaO}\cdot \text{Al}_2\text{O}_3\cdot 6\text{H}_2\text{O}$ หรือ C-A-H) ดังแสดงในสมการที่ (2.1) ถึง (2.3)



ปฏิกิริยาปอชโซลาน (Pozzolanic Reaction) เป็นปฏิกิริยาที่เกิดขึ้นภายหลังจากการทำปฏิกิริยาไฮเดรชันของปูนซีเมนต์กับน้ำ โดยใช้แคลเซียมไฮดรอกไซด์ ($\text{Ca}(\text{OH})_2$) ที่เกิดจากสมการที่ (2.1) และ (2.2) เป็นสารตัวต้นทำปฏิกิริยาร่วมกับซิลิกาออกไซด์ (SiO_2) และอลูมินาออกไซด์ (Al_2O_3) ที่มีอยู่ในวัสดุปอชโซลาน ผลที่ได้จากปฏิกิริยาปอชโซลานนี้ คือ แคลเซียมซิลิกेट ไฮเดรต (C-S-H) และแคลเซียมอลูมิเนต ไฮเดรต (C-A-H) ดังสมการที่ (2.4) และ (2.5)



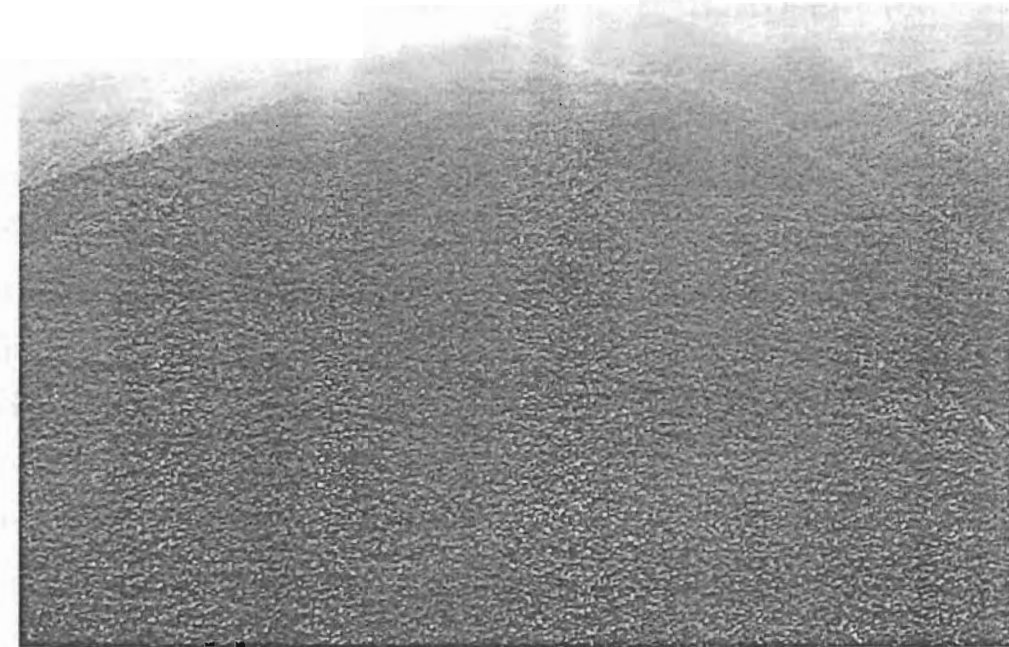
ค่า x, y และ z ในสมการที่ (2.4) และ (2.5) เป็นค่าที่แบร์ไปตามชนิดของแคลเซียมซิลิกेट ไชเดรต (C-S-H) และแคลเซียมอลูมิเนต ไชเดรต (C-A-H) ซึ่งทั้ง C-S-H และ C-A-H ที่เกิดจากปฏิกิริยาปอชโซลานนี้ทำให้กำลังอัดของคอนกรีตเพิ่มขึ้น และลดช่องว่างระหว่างอนุภาคของปูนซีเมนต์ลง ทำให้คอนกรีตมีเนื้อแน่นขึ้น โดยปฏิกิริยาปอชโซลานนี้จะเริ่มเกิดขึ้นเมื่ออายุประมาณ 7 วัน [8] และทำปฏิกิริยาต่อไปแม้ว่าคอนกรีตมีอายุมากกว่า 3 ปีครึ่งก็ตาม [9]

2.3 เถ้าป้าล์มน้ำมัน

หลังจากสิ้นสุดกระบวนการสกัดน้ำมันป้าล์มจะเหลือเศษป้าล์ม แยกเป็นทะลายป้าล์ม เปลือกป้าล์ม และกระดาป้าล์ม ซึ่งเป็นชีวมวลที่สามารถใช้เป็นเชื้อเพลิงได้ โดยก่อนการนำเศษป้าล์มไปใช้เป็นเชื้อเพลิงชีวมวล จะนำทะลายป้าล์มและเปลือกป้าล์มไปผ่านกระบวนการตีให้เป็นเส้นใย เพื่อให้เกิดการเผาไหม้ที่ดีขึ้น จากนั้นจึงนำเส้นใยและกระดาป้าล์ม (รูปที่ 2.1 และ 2.2) ไปเผาเป็นเชื้อเพลิงในการผลิตกระแสไฟฟ้า โดยใช้เทคโนโลยีการเผาไหม้ระบบฟลูอิดไซด์เบด (Fluidized Bed Combustion, FBC) อุณหภูมิที่ใช้ในการเผาไหม้ประมาณ $700-1000^{\circ}\text{C}$ หลังจากการเผาไหม้เหลือเถ้าป้าล์มน้ำมันในปริมาณมาก (รูปที่ 2.3) ซึ่งมีลักษณะเป็นผงผุ่น น้ำหนักเบา สามารถพุ่งกระจายได้ง่าย จึงทำให้เกิดปัญหาในการกำจัดทิ้ง ทั้งด้านการขนส่งและการจัดสถานที่ในการทิ้ง นอกจากนั้นยังทำให้เกิดมลภาวะต่อสิ่งแวดล้อมอีกด้วย



รูปที่ 2.1 กองเส้นใยจากทะลายป้าล์มและผลป้าล์ม



รูปที่ 2.2 กองกระลาปาลีม



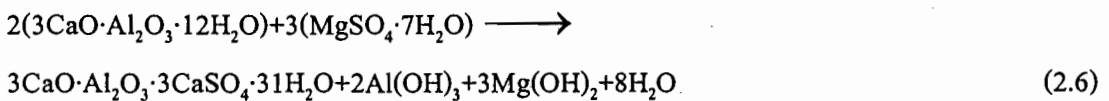
รูปที่ 2.3 กองเดือปalaปัลมน้ำมันหลังจากการเผา

2.4 กระบวนการกัดกร่อนเนื่องจากซัลเฟต

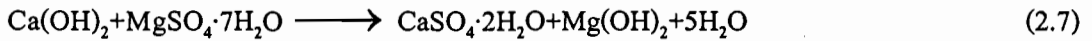
ซัลเฟตมีอยู่ทั่วไปตามธรรมชาติทั้งในดินและในน้ำทะเล โดยอาจเกิดจากสารอินทรีย์ที่ผุเน่าซึ่งจะก่อให้เกิดก๊าซไฮโดรเจนโซลไฟค์ เมื่อก๊าซนี้ทำปฏิกิริยากับออกซิเจนในอากาศจะกลายเป็นกรดกำมะถันหรือกรดซัลฟูริก (H_2SO_4) และแปรสภาพเป็นซัลเฟตในที่สุด [10] อำนวยการทำลายของซัลเฟตต่อคอมกริตขึ้นอยู่กับความเข้มข้นของซัลเฟตและความชื้น การทำลายของซัลเฟตจะไม่แสดงออกเมื่อคอมกริตอยู่ในสภาพแห้ง แต่จะมีอำนาจรุนแรงขึ้นเมื่อคอมกริตเปียกชื้น และรุนแรงมากในการณ์ที่อยู่ในสภาพเปียกและแห้งสลับกัน สารละลายซัลเฟตจะซึมผ่านเข้าไปในช่องว่างของเนื้อคอมกริตและทำปฏิกิริยากับสารประกอบเคมีที่ได้จากปฏิกิริยาไฮเดรชันของปูนซีเมนต์ ทำให้เกิดการขยายตัวและแตกร้าวน ไม่สามารถรับกำลังได้

ในน้ำทะเลพบว่าความเสียหายของคอมกริตเกิดขึ้นโดยการกัดกร่อนทางเคมีและการกัดเซาะทางธรรมชาติ สารเคมีส่วนใหญ่ที่กัดกร่อนคอมกริตโดยตรงและรุนแรงคือ แมกนีเซียมซัลเฟต ($MgSO_4$) [11, 12, 13] ส่วนเกลือเกง ($NaCl$) กับเกลือโปดัสเซียมคลอไรด์ (KCl) ซึ่งพบมากในน้ำทะเล เช่นกัน มีผลต่ocomgrit ค่อนข้างน้อย [14] แต่จะทำให้เหล็กเสริมในคอมกริตเป็นสนิมได้ง่าย หากคอมกริตมีค่าการซึมผ่าน (Permeability) สูง ในน้ำไดคิดที่มีแคลเซียมซัลเฟตหรือบิปชั่น ($CaSO_4 \cdot 2H_2O$) มักจะมีซัลเฟตปนอยู่เสมอ โดยทั่วไปแล้วดินจะมีซัลเฟตอยู่เล็กน้อยคือประมาณร้อยละ 0.01-0.05 ของน้ำหนัก แต่จะมีค่าเพิ่มสูงมากขึ้นเนื่องจากการใช้ปูนเคมีและปูนธรรมชาติ

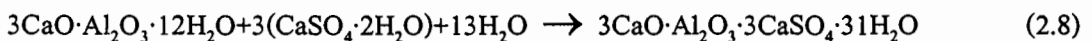
แคลเซียมซิลิเกต ไฮเครต ($C-S-H$), แคลเซียมไฮดรอกไซด์ ($Ca(OH)_2$) และแคลเซียมอลูมิเนต ไฮเครต ($C-A-H$) ที่เกิดจากปฏิกิริยาไฮเดรชันระหว่างปูนซีเมนต์กับน้ำ เป็นสารประกอบที่ทำปฏิกิริยากับสารละลายแมกนีเซียมซัลเฟต ($MgSO_4$) ซึ่งจะเกิดสารประกอบที่ส่งผลทำลายต่ocomgrit โดยมีกลไกของการทำลายดังนี้ สารละลายแมกนีเซียมซัลเฟต ($MgSO_4$) ทำปฏิกิริยากับแคลเซียมอลูมิเนต ไฮเครต ($C-A-H$) ได้สารประกอบ คือ แคลเซียมซัลโฟอลูมิเนต ($3CaO \cdot Al_2O_3 \cdot 3CaSO_4 \cdot 31H_2O$) หรือ Ettringite แมกนีเซียมไฮดรอกไซด์ ($3Mg(OH)_2$) หรือ Brucite และอลูมิเนียมไฮดรอกไซด์ ($2Al(OH)_3$) ซึ่งแสดงตามสมการที่ (2.6) [13]



แมกนีเซียมซัลเฟต ($MgSO_4$) ยังทำปฏิกิริยากับแคลเซียมไฮดรอกไซด์ ($Ca(OH)_2$) เกิดเป็นแคลเซียมซัลเฟต ($CaSO_4$) หรือยิบชั่ม (Gypsum) ตามสมการที่ (2.7)



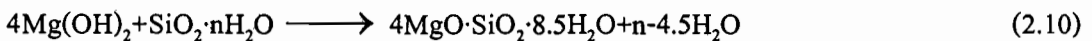
แคลเซียมซัลเฟต ($CaSO_4$) หรือยิบชั่ม (Gypsum) ที่ได้จากสมการที่ (2.7) ทำปฏิกิริยากับแคลเซียมอุฐมิเนต ไฮเครต (C-A-H) ได้เป็น แคลเซียมซัลโฟอุฐมิเนต หรือ Ettringite ดังสมการที่ (2.8)



นอกจากนี้แมกนีเซียมซัลเฟต ($MgSO_4$) ทำปฏิกิริยากับแคลเซียมซิลิเกต ไฮเครต (C-S-H) ได้สารประกอบใหม่ คือ แคลเซียมซัลเฟต ($CaSO_4$) หรือยิบชั่ม แมกนีเซียมไฮดรอกไซด์ ($Mg(OH)_2$) หรือ Brucite และซิลิกาเจล ($SiO_2 \cdot nH_2O$) ดังสมการที่ (2.9)



แคลเซียมซัลเฟต ($CaSO_4$) หรือยิบชั่ม ที่เกิดขึ้นในสมการที่ (2.9) ยังทำปฏิกิริยากับแคลเซียมอุฐมิเนต ไฮเครต ได้เป็นแคลเซียมซัลโฟอุฐมิเนต หรือ Ettringite ตามสมการ (2.8) ได้อีก ในที่สุดแมกนีเซียมไฮดรอกไซด์ หรือ Brucite ซึ่งเกิดตามปฏิกิริยาในสมการที่ (2.6), (2.7) และ (2.9) ทำปฏิกิริยากับซิลิกาเจล เกิดเป็นแมกนีเซียมซิลิเกต ไฮเครต ($4MgO \cdot SiO_2 \cdot 8.5H_2O$ หรือ M-S-H) ดังสมการที่ (2.10)



จากปฏิกิริยาที่เกิดขึ้นข้างต้นมีการทำปฏิกิริยาหลายครั้งซ้ำแล้วซ้ำอีก โดยแคลเซียมซัลโฟอุฐมิเนต หรือ Ettringite ซึ่งเกิดตามสมการที่ (2.6) และ (2.8) มีการเปลี่ยนแปลงปริมาณเพิ่มมากขึ้น ทำให้เกิดแรงดันภายใน ส่งผลให้เนื้อของคอนกรีตเกิดการแตกร้าว นอกจากนี้การถลวยตัวของแคลเซียมอุฐมิเนต ไฮเครต (C-A-H) ซึ่งเป็นสารประกอบที่มีคุณสมบัติในการขัดประสาณและให้กำลังอัดแก่ คอนกรีตไปเป็นแมกนีเซียมซิลิเกต ไฮเครต (M-S-H) ซึ่งเป็นสารสีขาวผุนที่ไม่มีคุณสมบัติในการขัดประสาณแทน จึงทำให้คุณสมบัติการรับกำลังของคอนกรีตลดลง

2.5 แนวทางการป้องกันการทำลายเนื่องจากซัลเฟต

การทำลายของสารละลายนี่เชื่อมชัลเฟตบนอกจากทำให้คอนกรีตเกิดการขยายตัวแล้วขังทำให้คอนกรีตเกิดการเสื่อมกำลัง ซึ่งแนวทางในการป้องกันและบรรเทาความรุนแรงอาจทำได้ดังต่อไปนี้ [15]

1. การเลือกใช้ปูนซีเมนต์ที่มีปริมาณ C_3A ต่ำ เป็นการลด $C-A-H$ และเมื่อ $C-A-H$ ลดลงก็จะทำให้ Ettringite และ $M-S-H$ เกิดน้อยลงด้วย ดังนั้นการทำลายของชัลเฟตจึงลดลง เช่น ปูนซีเมนต์ปอร์ตแลนด์ประเภทที่ 5 นอกจากนี้การใช้ปูนซีเมนต์ที่มีปริมาณ C_3S หรืออัตราส่วนของ C_3S/C_2S ต่ำ สามารถทำให้ต้านทานชัลเฟตได้ดีขึ้น [16, 17, 18]
2. การลดอัตราส่วนน้ำต่อปูนซีเมนต์ เพื่อให้คอนกรีตมีความทึบน้ำสูง ซึ่งทำได้โดยการเพิ่มปริมาณปูนซีเมนต์โดยคงที่ปริมาณน้ำ การลดปริมาณน้ำโดยคงที่ปริมาณปูนซีเมนต์ หรือทั้งการเพิ่มปริมาณปูนซีเมนต์และลดปริมาณน้ำ ก็จะทำให้อัตราส่วนน้ำต่อปูนซีเมนต์ลดลง แต่การเพิ่มปริมาณปูนซีเมนต์มีผลทำให้การทำลายจากชัลเฟตสูงขึ้น เนื่องจากปริมาณของ $Ca(OH)_2$ และ $C-A-H$ ที่เพิ่มขึ้นจากปฏิกิริยาไฮเดรชันของปูนซีเมนต์ ดังนั้นการลดอัตราส่วนน้ำต่อปูนซีเมนต์ที่ให้ผลดี คือการลดปริมาณน้ำลง ซึ่งจะเป็นการทำให้ความพูนของคอนกรีตลดลงและส่งผลให้เกิดการซึมผ่านของชัลเฟตได้ยากขึ้นด้วย [19]
3. การใช้สารผสมเพิ่มที่มีคุณสมบัติเป็นวัสดุปอชโซลาน ซึ่งหลักของการป้องกันการกัดกร่อนโดยการใช้วัสดุปอชโซลาน คือ SiO_2 ในวัสดุปอชโซลานทำปฏิกิริยากับ $Ca(OH)_2$ เกิดเป็น $C-S-H$ ทำให้ปริมาณ $Ca(OH)_2$ ลดน้อยลง ดังนั้น $Ca(OH)_2$ ที่จะไปทำปฏิกิริยากับชัลเฟตอิโอน (SO_4^{2-}) ของ $MgSO_4$ ซึ่งเกิดเป็นยิปซั่ม และ Ettringite ที่ทำลายคอนกรีตลดน้อยลงด้วย นอกจากนี้วัสดุปอชโซลานที่มีความละเอียดสูงยังทำหน้าที่เป็นวัสดุอุดช่องว่าง (Filler) ภายในคอนกรีต ทำให้เนื้อคอนกรีตแน่นขึ้น จึงลดการซึมผ่านของสารละลายนี่ชัลเฟตที่จะเข้าไปทำอันตรายภายในเนื้อคอนกรีต

ในบางกรณีการป้องกันความเสียหายจากการทำลายโดยชัลเฟตที่รุนแรงโดยการใช้ปูนซีเมนต์ปอร์ตแลนด์ประเภทที่ 5 แต่เพียงอย่างเดียวอาจไม่เพียงพอในสภาวะที่ชัลเฟตนี่มีความเข้มข้นอยู่ในระดับรุนแรงมาก หากใช้สารปอชโซลานบ่วงคู่กันไปด้วย จะเป็นการช่วยทำให้คอนกรีตมีความต้านทานต่อการทำลายของชัลเฟตได้ดียิ่งขึ้น ตารางที่ 2.2 แสดงให้เห็นถึงเกณฑ์กำหนดของสมาคมวิศวกรรมสถานแห่งประเทศไทย [20] สำหรับการออกแบบคอนกรีตเสริมเหล็กในสภาวะแวดล้อมของชัลเฟต ออกเป็น 4 ระดับ

ตารางที่ 2.2 เกณฑ์กำหนดในการออกแบบคอนกรีตเสริมเหล็กที่สัมผัสกับสารละลายชั้ลเฟต [20]

สภาพการ สัมผัสกับ สารละลาย ชัลเฟต	ปริมาณชัลเฟต ที่ละลายน้ำได้ ในดิน (ร้อยละ โดยน้ำหนัก)	ปริมาณชัลเฟต ในน้ำ (หนึ่งใน ล้านส่วน)	ประเภทของ ปูนซีเมนต์	คอนกรีต มวลรวมปกติ	คอนกรีต มวลรวมเบา
				ค่าสูงสุดของ อัตราส่วนน้ำ ต่อปูนซีเมนต์ โดยน้ำหนัก*	ค่าต่ำสุดของ กำลังอัด* (กก/ซม. ²)
น้อยมาก	0.00-0.10	0-150	-	-	-
ปานกลาง ⁺	0.10-0.20	150-1,500	2, 1**	0.50	250
รุนแรง	0.20-2.00	1,500-10,000	5	0.45	300
รุนแรงมาก	มากกว่า 2.00	มากกว่า 10,000	5 ผสมวัสดุ ปอชโซลัน ⁺⁺	0.45	300

* ในกรณีที่ต้องการคอนกรีตที่ซึมผ่านได้น้อยหรือเพื่อป้องกันสนิมในเหล็กเสริม ให้ใช้อัตราส่วนน้ำต่อปูนซีเมนต์ที่ต่ำกว่า หรือกำลังอัดที่สูงกว่า

** ปูนซีเมนต์ประเภทที่ 1 ชนิดพิเศษซึ่งสามารถทนชัลเฟตได้ปานกลาง

+ น้ำทะเล

++ วัสดุปอชโซลันที่นำมาผสมกับคอนกรีตที่ใช้ปูนซีเมนต์ประเภทที่ 5 ต้องตรวจสอบก่อนว่าสามารถเพิ่มความต้านทานชัลเฟตในสภาพรุนแรงได้จริง

2.6 งานวิจัยที่ผ่านมา

การศึกษาวิจัยเกี่ยวกับการนำถ้าปาล์มน้ำมันมาใช้ประโยชน์ในงานคอนกรีตเริ่มขึ้นในปี ค.ศ. 1990 โดย Tay [21] ได้ศึกษาการใช้ถ้าปาล์มน้ำมันแทนที่ปูนซีเมนต์ในคอนกรีตในอัตราร้อยละ 10 ถึง 50 โดยน้ำหนักวัสดุประสาน พบร่วมหาถ้าปาล์มน้ำมันมีคุณสมบัติเป็นวัสดุปอชโซลันต่ำ โดยการใช้แทนที่มากกว่าร้อยละ 10 ทำให้คอนกรีตมีกำลังอัดต่ำกว่าคอนกรีตที่ไม่มีถ้าปาล์มน้ำมันเป็นส่วนผสม ทั้งนี้เนื่องจากถ้าปาล์มน้ำมันที่นำมาใช้มีขนาดอนุภาคใหญ่ นอกจากนี้คอนกรีตที่ผสมถ้าปาล์มน้ำมันยังมีความหนาแน่นน้อยกว่าและการดูดซึมน้ำมากกว่าคอนกรีตที่ไม่มีถ้าปาล์มน้ำมันเป็นส่วนผสมด้วย [22]

ต่อมาในปี ค.ศ. 1996 Hussin และ Awal [23] นักวิจัยชาวมาเลเซีย ได้ศึกษาการนำถ้าปาล์มน้ำมันมาใช้เป็นวัสดุปอชโซลัน โดยบดถ้าปาล์มน้ำมันให้มีความละเอียดมากกว่าปูนซีเมนต์ และใช้แทนที่ในอัตราส่วนร้อยละ 10 ถึง 60 โดยน้ำหนักวัสดุประสาน พบร่วว่าคอนกรีตที่ผสมถ้าปาล์มน้ำมันในอัตราส่วนร้อยละ 30 ให้กำลังอัดสูงที่สุดเมื่อเทียบกับอัตราการแทนที่อื่นๆ โดยในช่วงอาบุก่อน 28 วัน มีการพัฒนากำลังอัดต่ำกว่าคอนกรีตที่ไม่มีถ้าปาล์มน้ำมันเป็นส่วนผสม หลังจากนั้นกำลังอัดมี

การพัฒนาที่ดีขึ้น นอกจากนี้ค่อนกรีตที่ผสมถ้าปัลมน้ำมันมีคุณสมบัติด้านท่านการกัดกร่อนเนื่องจากสารละลายกรดไฮดรอกอโลริกได้ศึกว่าค่อนกรีตที่มีปูนซีเมนต์เป็นวัสดุประสานเพียงอย่างเดียว [24] และในปี ค.ศ. 1999 Awal และ Hussin [25] ได้ศึกษาค่อนกรีตที่แซ่ในน้ำทะเลโดยใช้ถ้าปัลมน้ำมันแทนที่ปูนซีเมนต์ในอัตราเรือยละ 30 พ布ว่าค่อนกรีตที่ผสมถ้าปัลมน้ำมันมีการพัฒนากำลังอัดสูงกว่าค่อนกรีตที่ใช้ปูนซีเมนต์เป็นวัสดุประสานเพียงอย่างเดียว แม้ว่าแซ่ในน้ำทะเลเป็นเวลา 2 ปี และจากการวิจัยของ Ishida และคณะ [26] ได้ศึกษาเกี่ยวกับการหดตัวของค่อนกรีตที่ใช้ถ้าปัลมน้ำมันเป็นส่วนผสมในค่อนกรีต โดยบ่มแห่งค่อนกรีตในน้ำเป็นเวลา 7 วัน งานนี้บ่มในอุณหภูมิห้องจนถึงอายุ 91 วัน พ布ว่าแห่งค่อนกรีตที่ผสมถ้าปัลมน้ำมันเรือยละ 30 มีค่าการหดตัวน้อยกว่าแห่งค่อนกรีตที่ใช้ปูนซีเมนต์เป็นวัสดุประสานเพียงอย่างเดียว

สำหรับในประเทศไทย จกรพล กลั่นนั่นคง และคณะ [4] ได้ทำการศึกษาศักยภาพของถ้าปัลมน้ำมันในการใช้เป็นวัสดุปอช โซล่า พ布ว่าถ้าปัลมน้ำมันมีซิลิกาเป็นองค์ประกอบหลักมากกว่าร้อยละ 70 และมีศักยภาพเพียงพอสามารถนำมาใช้เป็นวัสดุปอช โซล่า ได้หากมีความละเอียดสูง เช่นเดียวกับการศึกษาของ สุรพันธ์ สุคันธปรีย์ และคณะ [27] พ布ว่ามอร์ตาร์ที่ผสมถ้าปัลมน้ำมันที่มีความละเอียดสูงแทนที่ปูนซีเมนต์ในอัตราส่วนไม่เกินเรือยละ 20 มีค่าดัชนีกำลังอัดที่อายุ 7 และ 28 วัน สูงกว่าร้อยละ 75 ซึ่งสอดคล้องกับการศึกษาของ วีระชาติ ดังจิรภัทร [28] พ布ว่าถ้าปัลมน้ำมันมีปริมาณของซิลิกาสูงถึงร้อยละ 65.3 และมีคุณสมบัติเป็นวัสดุปอช โซล่าที่คิดเมื่อมีความละเอียดสูง โดยมอร์ตาร์ที่ผสมถ้าปัลมน้ำมันที่บดละเอียดมากมีค่าดัชนีกำลังที่อายุ 7 และ 28 วัน สูงกว่าร้อยละ 90 และจากการใช้ถ้าปัลมน้ำมันในการทำค่อนกรีตกำลังสูงของ วันชัย สะตะ และคณะ [29] พ布ว่าค่อนกรีตที่ผสมถ้าปัลมน้ำมันในอัตราส่วนเรือยละ 10 ถึง 30 ให้กำลังอัดเมื่อเทียบกับค่อนกรีตควบคุมคิดเป็นเรือยละ 100 ถึง 113 โดยการแทนที่เรือยละ 20 มีแนวโน้มให้กำลังอัดสูงสุด

จากการวิจัยข้างต้นเห็นได้ว่าการศึกษาการใช้ถ้าปัลมน้ำมันในงานค่อนกรีตเป็นเพียงการศึกษาเริ่มต้นเท่านั้น โดยผลการวิจัยแสดงให้เห็นถึงศักยภาพของถ้าปัลมน้ำมันว่าสามารถนำมาใช้เป็นวัสดุปอช โซล่าในงานค่อนกรีตได้ หากมีการปรับปรุงคุณภาพให้มีความละเอียดเพิ่มขึ้นเสียก่อน แต่อย่างไรก็ตามการศึกษาถึงผลกระบวนการของความละเอียดและปริมาณการแทนที่ของถ้าปัลมน้ำมันต่อคุณสมบัติในด้านระบบการก่อตัวของค่อนกรีตสด การรับกำลังอัด รวมถึงการด้านท่านการกัดกร่อนและการขยายตัวเนื่องจากชลเพตของค่อนกรีตยังมีการศึกษาน้อยมากโดยเฉพาะในประเทศไทย จึงเป็นแนวคิดของการทำวิจัยครั้งนี้เพื่อเป็นประโยชน์ในการพัฒนาการใช้ถ้าปัลมน้ำมันในงานค่อนกรีตให้เป็นที่รู้จักมากขึ้น

บทที่ 3 วิธีการทดสอบ

ในบทนี้เป็นการกล่าวถึงวิธีการทดสอบตามมาตรฐานต่างๆ ซึ่งประกอบด้วย วัสดุและอุปกรณ์ที่ใช้ในการศึกษา การเตรียมตัวอย่างถ้าปัลมน้ำมัน การทดสอบคุณสมบัติจำเพาะของวัสดุ รวมทั้งวิธีการทดสอบระยะเวลาการก่อตัวของคอนกรีตสด วิธีการทดสอบกำลังอัดของคอนกรีต ตลอดจนวิธีการทดสอบการต้านทานการกัดกร่อนและการขยายตัวของคอนกรีตนื้องจากสารละลายแมกนีเซียมซัลเฟต

3.1 วัสดุที่ใช้ในการทดสอบ

วัสดุหลักที่ใช้ในการทดสอบประกอบด้วย

1. ปูนซีเมนต์ปอร์ตแลนด์ประเภทที่ 1 และประเภทที่ 5 ตามมาตรฐาน มอก. 15-2532 [30]
2. วัสดุปูชโซล่าที่ใช้ในการศึกษานี้คือ เถ้าปัลมน้ำมัน จากบริษัท ชุมพรอุตสาหกรรมน้ำมันปัลมน้ำมัน กัก (มหาชน) จังหวัดชุมพร
3. ทรายสำหรับทำคอนกรีตเป็นทรายเม็ดน้ำสีขาวสะอาดร่อนผ่านตะแกรงมาตรฐานเบอร์ 4 ถ้าง่ำกว่า 100 มีค่าโมดูลัสความละเอียดและค่าร้อยละการคุณซึ่งน้ำเท่ากับ 2.68 และ 0.63 ตามลำดับ
4. หินย่อยสะจากน้ำตก 20 มม. ($3/4$ นิ้ว) และมีการคุณซึ่งน้ำร้อยละ 0.47
5. น้ำประปา
6. แมกนีเซียมซัลเฟตชนิด Commercial Grade

3.2 เครื่องมือและอุปกรณ์ที่ใช้ในการทดสอบ

1. เครื่องถ่ายภาพกำลังสูง (Scanning Electron Microscope)
2. เครื่องวิเคราะห์ขนาดอนุภาค (Particle Size Analyzer Microtrac II)
3. เครื่องวิเคราะห์องค์ประกอบทางเคมี (X-Ray Fluorescence)
4. เครื่องบด (Grinding Machine)
5. ขวดทดลองมาตรฐานเลอแซฟท์ลีเยร์ (Le Chatelier)
6. อุปกรณ์ทดสอบหาพื้นที่ผิวจำเพาะของเบลน (Blaine Air Permeability)
7. ตะแกรงวิเคราะห์ขนาด
8. เครื่องซั่งน้ำหนักไฟฟ้า
9. ตู้อบปรับอุณหภูมิ
10. เครื่องและอุปกรณ์ทดสอบคอนกรีต

11. แบบหล่อคอนกรีตสำหรับทดสอบกำลังอัดรูปทรงกรวยขนาดเส้นผ่าศูนย์กลาง 10 ซม. สูง 20 ซม.
และแบบหล่อตัวอย่างสำหรับทดสอบการขยายตัวของคอนกรีตขนาด $7.5 \times 7.5 \times 28.5$ ซม.
12. ชุดทดสอบการบุบตัวของคอนกรีต
13. อุปกรณ์ทดสอบระยะเวลาการก่อตัวของคอนกรีต
14. เครื่องทดสอบกำลังอัด
15. อุปกรณ์วัดการบีดหดตัวของคอนกรีต (Compressometer)
16. เครื่องวัดการขยายตัวของคอนกรีต (Length Comparator)

3.3 วิธีการศึกษา

วิธีการศึกษาสามารถแบ่งเป็นขั้นตอนต่างๆ ได้ ดังนี้

3.3.1 การเตรียมตัวอย่างถ้าปัลมน้ำมัน

ถ้าปัลมน้ำมันที่ใช้ในการศึกษานี้นำมาจาก บริษัท ชุมพรอุตสาหกรรมน้ำมันปัลมน้ำมัน จำกัด (มหาชน) จังหวัดชุมพร ซึ่งเป็นโรงงานผลิตน้ำมันปัลมน้ำมันปัลมน้ำมันที่ใช้ในการเผาในระบบฟลูอิดไซด์เบด (Fluidized Bed Combustion, FBC) อุณหภูมิที่ใช้ในการเผาใหม่ประมาณ $700-1000^{\circ}\text{C}$ ถ้าปัลมน้ำมันที่ใช้ในการศึกษานี้มี 3 ขนาด โดยเริ่มน้ำหนักถ้าปัลมน้ำมันที่ได้จากการโรงงานโดยตรงมาร่อนผ่านตะแกรงมาตรฐานเบอร์ 16 เพื่อแยกสิ่งเจือปนที่มีอนุภาคขนาดใหญ่เนื่องจากการเผาใหม่ที่ไม่สมบูรณ์ออก (มีประมาณร้อยละ 15 โดยน้ำหนัก) ก็จะได้ถ้าปัลมน้ำมันขนาดใหญ่ (ใช้สัญลักษณ์ OP) จากนั้นนำถ้าปัลมน้ำมันที่ผ่านตะแกรงมาตรฐานเบอร์ 16 มาปรับปรุงคุณภาพโดยการบดด้วยเครื่องบด (Grinding Machine) ให้มีความละเอียดปานกลาง ซึ่งกำหนดให้มีขนาดอนุภาคค้างบนตะแกรงมาตรฐานเบอร์ 325 อยู่ในช่วงร้อยละ 15-20 โดยน้ำหนัก (ใช้สัญลักษณ์ G1P) และบดให้มีความละเอียดมากจนมีขนาดอนุภาคค้างบนตะแกรงมาตรฐานเบอร์ 325 น้อยกว่าร้อยละ 5 โดยน้ำหนัก (ใช้สัญลักษณ์ G2P)

3.3.2 การทดสอบคุณสมบัติจำเพาะของวัสดุที่ใช้ในการวิจัย

3.3.2.1 การถ่ายภาพขยายกำลังสูงของปูนซีเมนต์ปอร์ตแลนด์ประเภทที่ 1, ประเภทที่ 5 และถ้าปัลมน้ำมันด้วยเครื่อง Scanning Electron Microscope (SEM) เพื่อศึกษาลักษณะรูปร่างของวัสดุที่ใช้ในการศึกษา

3.3.2.2 วิเคราะห์องค์ประกอบทางเคมีของปูนซีเมนต์ปอร์ตแลนด์ประเภทที่ 1, ประเภทที่ 5 และถ้าปานัม น้ำมันด้วยเครื่อง X-Ray Fluorescence (XRF)

3.3.2.3 การวิเคราะห์การกระจายอนุภาค (Particle Size Distribution) ของปูนซีเมนต์ปอร์ตแลนด์ประเภทที่ 1, ประเภทที่ 5 และถ้าปานัม น้ำมัน โดยทดสอบด้วยเครื่อง Particle Size Analyzer Microtrac II (Standard Range Analyzer: Model 7997-10: Size 0.7 to 700 microns) ซึ่งใช้แสงเดเชอร์เป็นตัววัดการกระจายตัวและขนาดเฉลี่ยของอนุภาค

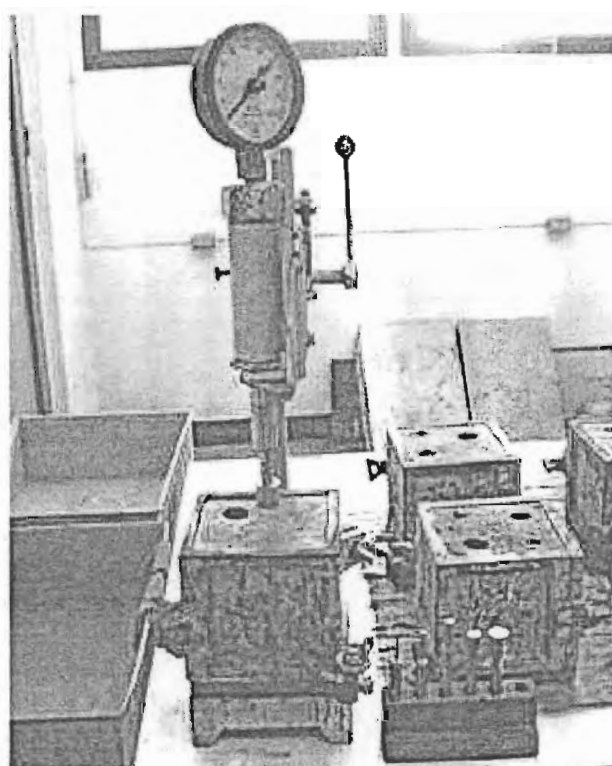
3.3.2.4 การทดสอบความถ่วงจำเพาะของปูนซีเมนต์ปอร์ตแลนด์ประเภทที่ 1, ประเภทที่ 5 และถ้าปานัม น้ำมัน โดยใช้ขัตทดสอบมาตรฐานเลอชาร์เตียร์ (Le Chatelier) ตามมาตรฐาน ASTM C 188 [31] ซึ่งค่าความถ่วงจำเพาะเป็นอัตราส่วนระหว่างน้ำหนักของวัสดุต่อน้ำหนักของเหลวที่มีปริมาตรเท่ากับวัสดุนั้น โดยการทดสอบนี้ใช้น้ำมันก้าดเป็นของเหลวที่ใช้ในการทดสอบ เนื่องจากไม่ทำปฏิกิริยา กับวัสดุทดสอบ

3.3.2.5 การทดสอบความละเอียดของปูนซีเมนต์ปอร์ตแลนด์ประเภทที่ 1, ประเภทที่ 5 และถ้าปานัม น้ำมัน โดยวิธี Blaine Air Permeability ตามมาตรฐาน ASTM C 204 [32] ซึ่งเป็นการเปรียบเทียบพื้นที่ผิวจำเพาะ (Specific Surface Area) ของตัวอย่างที่ทดสอบกับตัวอย่างปูนซีเมนต์มาตรฐานที่ทราบค่าพื้นที่ผิวจำเพาะแล้ว ด้วยการวัดระยะเวลาที่อากาศไหลผ่านวัสดุตัวอย่างในหลอดแก้วนานอมิเตอร์ (Manometer) ซึ่งตัวอย่างที่มีความละเอียดสูงระยะเวลาที่อากาศไหลผ่านจะนานกว่าตัวอย่างที่มีความละเอียดต่ำ ค่าที่ทดสอบได้จะอยู่ในรูปพื้นที่ผิวของวัสดุต่อน้ำหนัก (cm^2/g)

3.3.2.6 การทดสอบหาปริมาณอนุภาคที่ค้างบนตะแกรงเบอร์ 325 (ขนาดช่องเปิด 45 ไมครอน) ของปูนซีเมนต์ปอร์ตแลนด์ประเภทที่ 1, ประเภทที่ 5 และถ้าปานัม น้ำมัน โดยวิธี Wet Sieve Analysis ตาม มาตรฐาน ASTM C 430 [33] ซึ่งทำโดยการเอาตัวอย่างมาทำการร่อนผ่านตะแกรงแบบเปียกโดยใช้น้ำ เมื่อน้ำไปอ่อนแห้งจะได้น้ำหนักส่วนที่ค้างบนตะแกรง

3.3.3 การทดสอบระยะเวลาการก่อตัวของคอนกรีต

รูปที่ 3.1 แสดงอุปกรณ์ทดสอบระยะเวลาการก่อตัวของคอนกรีตตามมาตรฐาน ASTM C 403 [34] การทดสอบระยะเวลาการก่อตัวของคอนกรีตเป็นการทดสอบหาความด้านทานการกัดของมอร์ตาร์ที่ได้จากการร่อนคอนกรีตผ่านตะแกรงมาตรฐานเบอร์ 4 โดยมีระยะเวลาที่สำคัญอยู่ 2 ช่วง คือ ระยะเวลาการก่อตัวเริ่มต้น (Initial Setting Time) เป็นระยะเวลาที่บอกให้ทราบว่าภายในช่วงเวลาดังกล่าวคอนกรีตยังสามารถที่จะผสม เท อัดแน่น และแต่งผิวได้ และระยะเวลาการก่อตัวสุดท้าย (Final Setting Time) เป็นระยะเวลาที่คอนกรีตเริ่มเข้าสู่สภาพการแข็งตัวและเริ่มพัฒนากำลังอัด โดยทำการทดสอบคอนกรีตควบคุมที่ใช้ปุ่นซีเมนต์ปอร์ตแลนด์ประเภทที่ 1 และประเภทที่ 5 เป็นวัสดุประสานเพียงอย่างเดียว และคอนกรีตที่ผสมถ้าปั๊มน้ำมันที่มีความละเอียดต่างกัน 3 ขนาด แทนที่ปุ่นซีเมนต์ปอร์ตแลนด์ประเภทที่ 1 ในอัตราส่วนร้อยละ 10, 20, 30 และ 40 โดยนำหันกวัสดุประสานโดยอัตราส่วนผสมของคอนกรีตที่ใช้ในการศึกษาแสดงในตารางที่ 3.1



รูปที่ 3.1 อุปกรณ์ทดสอบระยะเวลาการก่อตัวของคอนกรีต ตามมาตรฐาน ASTM C 403 [34]

ตารางที่ 3.1 อัตราส่วนผสม อัตราส่วนน้ำต่อวัสดุประสาน และค่าขุ่นตัวของคอนกรีตที่ใช้ในการศึกษา

Mixes	Mix Proportion (kg/m ³)					W/B	Slump (cm)
	Cement	POFA	Water	Sand	Coarse Aggregate		
CT1	300	0	210	915	1080	0.70	6.5
CT5	300	0	210	915	1080	0.70	6.5
OP10	270	30	216	900	1065	0.72	6.5
OP20	240	60	231	875	1035	0.77	6.0
OP30	210	90	261	830	980	0.87	8.0
OP40	180	120	285	795	940	0.95	8.0
G1P10	270	30	216	900	1065	0.72	8.0
G1P20	240	60	219	895	1055	0.73	7.5
G1P30	210	90	219	890	1050	0.73	7.0
G1P40	180	120	222	880	1040	0.74	7.0
G2P10	270	30	204	920	1085	0.68	5.5
G2P20	240	60	210	905	1070	0.70	6.0
G2P30	210	90	213	900	1060	0.71	6.0
G2P40	180	120	216	890	1050	0.72	6.0

3.3.4 การทดสอบกำลังอัดและความคงทนต่อการกัดกร่อนเนื่องจากสารละลายแมกนีเซียมซัลเฟตของคอนกรีต

ทำการทดสอบกำลังอัดของคอนกรีตตามมาตรฐาน ASTM C 39 [35] โดยใช้ตัวอย่างคอนกรีตรูปทรงกระบอกขนาดเส้นผ่านศูนย์กลาง 10 ซม. สูง 20 ซม. ตามมาตรฐาน ASTM C 192 [36] ออกแบบกำลังอัดของคอนกรีตควบคุมที่ทำด้วยปูนซีเมนต์ปอร์ตแลนด์ประเภทที่ 1 ที่อายุ 28 วัน เท่ากับ 310 กก./ซม.² และมีค่าขุบตัวระหว่าง 5 ถึง 10 ซม. และปรับปริมาณน้ำของคอนกรีตที่ผสม เถ้าปัลมน้ำมันเพื่อให้มีค่าขุบตัวระหว่าง 5 ถึง 10 ซม. ซึ่งเป็นค่าความสามารถเท่าได้ของคอนกรีตสำหรับงานหัวไว้ ทดสอบค่าขุบตัวตามมาตรฐาน ASTM C 143 [37] ในการทดสอบกำลังอัดใช้ตัวอย่างคอนกรีตอย่างละ 3 ตัวอย่าง เมื่อหล่อคอนกรีตเสร็จแล้วทำการทดสอบแบบที่อายุ 1 วัน แบ่งตัวอย่างออกเป็น 2 กลุ่ม โดยกลุ่มแรกบ่มในน้ำประปาตลอดเวลา ทดสอบกำลังอัดที่อายุ 3, 7, 14, 28, 60, 90, 180, 270 และ 360 วัน ตามลำดับ และกลุ่มที่ 2 แช่ในสารละลายแมกนีเซียมซัลเฟต ความเข้มข้นร้อยละ 5 โดยน้ำหนักเริ่มทดสอบกำลังอัดที่อายุ 60, 90, 180, 270 และ 360 วัน ตามลำดับ ทำการศึกษาผลการแทนที่และความละเอียดของถ้าปัลมน้ำมันในการด้านทานการกัดกร่อนเนื่องจากสารละลายแมกนีเซียมซัลเฟตในรูปของค่าผลต่างกำลังอัด (Difference of Compressive Strength) ของคอนกรีตตามสมการที่ (3.1) และค่าแฟกเตอร์เสื่อมกำลัง (Sulfate Deterioration Factor : SDF) ซึ่งเป็นค่าร้อยละของผลต่างกำลังอัดของตัวอย่างคอนกรีตที่มีส่วนผสมเดียวกันที่บ่มในน้ำกับแช่ในสารละลายแมกนีเซียมซัลเฟต ตามสมการที่ (3.2)

ค่าผลต่างกำลังอัดของคอนกรีต (กก./ซม.²)

$$\text{Difference of Compressive Strength} = W - S \quad (3.1)$$

ค่าแฟกเตอร์เสื่อมกำลังเนื่องจากสารละลายแมกนีเซียมซัลเฟต (%)

$$\text{Sulfate Deterioration Factor : SDF} = \frac{W - S}{W} \quad (3.2)$$

เมื่อ W = กำลังอัดของคอนกรีตที่บ่มในน้ำประปาตลอดเวลา

S = กำลังอัดของคอนกรีตที่แช่ในสารละลายแมกนีเซียมซัลเฟต

3.3.5 การทดสอบการขยายตัวของคอนกรีต

การศึกษาการขยายตัวของคอนกรีต ใช้แท่งตัวอย่างคอนกรีตขนาด $7.5 \times 7.5 \times 28.5$ ซม. ตามมาตรฐาน ASTM C 157 [38] (รูปที่ 3.2) โดยใช้อัตราส่วนผสมและปริมาณน้ำเช่นเดียวกับการทดสอบระยะเวลาการก่อตัวและการทดสอบกำลังอัดของคอนกรีต โดยใช้แท่งตัวอย่างคอนกรีตอัตราส่วนละ 2 ตัวอย่าง หลังจากหล่อตัวอย่างครบ 1 วัน ทำการถอดแบบและวัดค่าความยาวเริ่มต้นของแท่งตัวอย่างคอนกรีต โดยใช้เครื่องมือวัดการขยายตัวของคอนกรีต (Length Comparator) ดังแสดงในรูปที่ 3.3 หลังจากนั้น จึงนำตัวอย่างไปแข็งในสารละลายแมกนีเซียมซัลเฟต ความเข้มข้นร้อยละ 5 โดยน้ำหนัก และทำการวัดการขยายตัวของตัวอย่างคอนกรีตทุก 14 วัน จนถึง 364 วัน โดยสามารถคำนวณหาค่าการขยายตัวของแท่งตัวอย่างคอนกรีตได้จากสมการที่ (3.3)

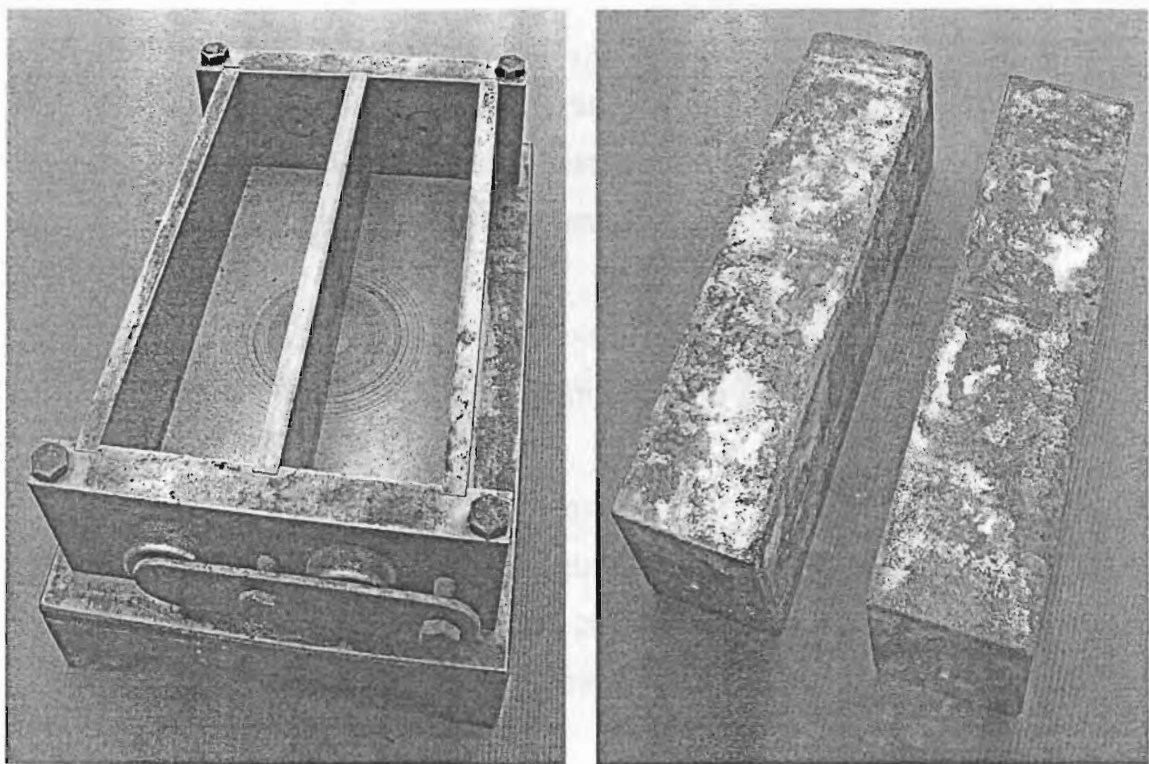
$$\Delta L = \frac{(L_x - L_i)}{G} \times 100 \quad (3.3)$$

เมื่อ ΔL = ร้อยละการขยายตัวของแท่งตัวอย่างคอนกรีต

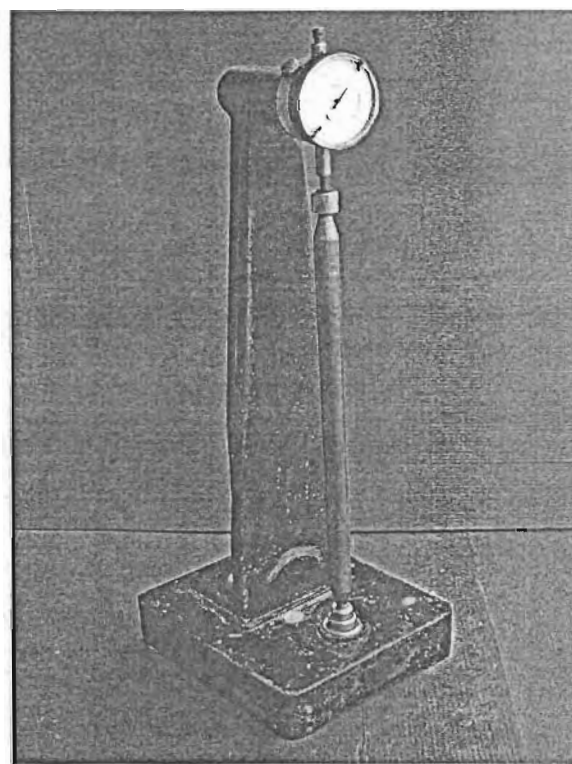
L_x = ค่าการวัดที่เวลาใดๆ

L_i = ค่าการวัดเริ่มต้นที่วัดครั้งแรกหลังจากการถอดแบบ

G = ค่าความยาวของแท่งตัวอย่างคอนกรีตหลังจากหักความยาวของสลักเกลียวที่ฝังภายในออกแล้ว



รูปที่ 3.2 แบบหล่อและตัวอย่างแท่งคอนกรีตสำหรับทดสอบการขยายตัว



รูปที่ 3.3 เครื่องวัดการขยายตัวของคอนกรีต (Length Comparator) ตามมาตรฐาน ASTM C 490 [38]

3.3.6 สัญลักษณ์ที่ใช้ในการศึกษา

CT {1, 5} {W, S} หมายถึง ตัวอย่างคอนกรีตควบคุมที่ใช้ปูนซีเมนต์ปอร์ตแลนด์ประเภทที่ 1 (CT1) และประเภทที่ 5 (CT5) เป็นวัสดุประสานเพียงอย่างเดียว โดยบ่ำในน้ำประปา (W) และบ่ำในสารละลายแมกนีเซียมชัลเฟต์ (S) ความเข้มข้นร้อยละ 5 โดยน้ำหนัก

{O, G1, G2} {P} {10, 20, 30, 40} {W, S} หมายถึง ตัวอย่างถ้าปั๊มน้ำมันที่มีความละเอียดและอัตราการแทนที่ในปูนซีเมนต์ปอร์ตแลนด์ประเภทที่ 1 ต่างๆ กัน โดยมีความหมายของสัญลักษณ์ดังนี้

{O, G1, G2} หมายถึง ขนาดความละเอียดของถ้าปั๊มน้ำมัน โดย {O} คือ ขนาดใหญ่ที่ไม่ได้ปรับปรุงคุณภาพ {G1} คือ ขนาดละเอียดปานกลางที่ผ่านการปรับปรุงคุณภาพโดยการบดให้มีอนุภาคค้างบนตะแกรงเบอร์ 325 ร้อยละ 15 - 20 โดยน้ำหนัก และ {G2} คือ ขนาดละเอียดมาก มีอนุภาคค้างบนตะแกรงเบอร์ 325 น้อยกว่าร้อยละ 5 โดยน้ำหนัก

{P} หมายถึง เถ้าปั๊มน้ำมันที่ใช้ในการศึกษานี้

{10, 20, 30, 40} หมายถึง ปริมาณการแทนที่ของถ้าปั๊มน้ำมันในปูนซีเมนต์ปอร์ตแลนด์ประเภทที่ 1 ในอัตราร้อยละ 10, 20, 30 และ 40 โดยน้ำหนักวัสดุประสาน ตามลำดับ

{W, S} หมายถึง กลุ่มของคอนกรีตที่ใช้ในการทดสอบ โดย {W} คือ คอนกรีตที่บ่ำในน้ำประปา และ {S} คือ คอนกรีตที่บ่ำในสารละลายแมกนีเซียมชัลเฟต์ ความเข้มข้นร้อยละ 5 โดยน้ำหนัก

ตัวอย่างการใช้สัญลักษณ์

CT1W หมายถึง ตัวอย่างคอนกรีตควบคุมที่ใช้ปูนซีเมนต์ปอร์ตแลนด์ประเภทที่ 1 เป็นวัสดุประสานเพียงอย่างเดียว โดยบ่ำในน้ำประปา

G1P10S หมายถึง ตัวอย่างคอนกรีตที่ผสมถ้าปั๊มน้ำมันขนาดละเอียดปานกลาง (มีปริมาณอนุภาคค้างบนตะแกรงเบอร์ 325 ร้อยละ 15 - 20 โดยน้ำหนัก) แทนที่ปูนซีเมนต์ปอร์ตแลนด์ประเภทที่ 1 ในอัตราร้อยละ 10 โดยแซ่ในสารละลายแมกนีเซียมชัลเฟต์ ความเข้มข้นร้อยละ 5 โดยน้ำหนัก

G2P40W หมายถึง ตัวอย่างคอนกรีตที่ผสมถ้าปั๊มน้ำมันขนาดละเอียดมาก (มีปริมาณอนุภาคค้างบนตะแกรงเบอร์ 325 น้อยกว่าร้อยละ 5 โดยน้ำหนัก) แทนที่ปูนซีเมนต์ปอร์ตแลนด์ประเภทที่ 1 ในอัตราร้อยละ 40 โดยบ่ำในน้ำประปา

บทที่ 4 ผลการทดสอบและการวิเคราะห์ผล

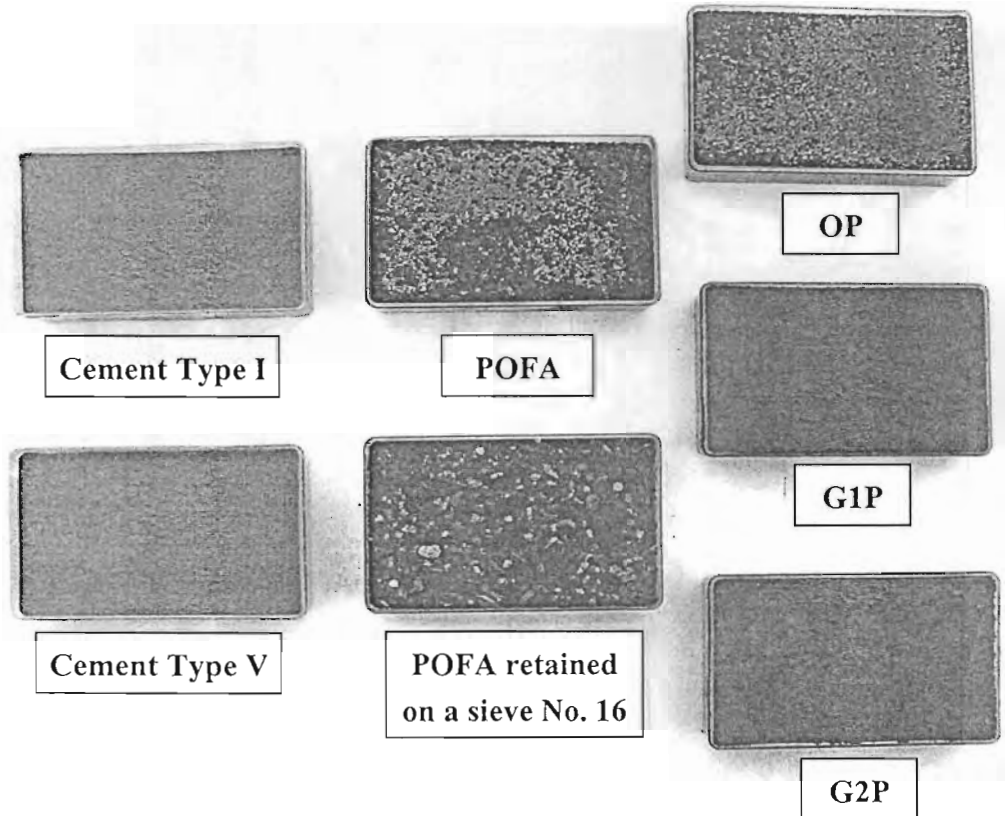
ในบทนี้กล่าวถึงผลการทดสอบและการวิเคราะห์ผลการทดสอบของงานวิจัยนี้ ซึ่งประกอบด้วย คุณสมบัติทางกายภาพและทางเคมีของวัสดุที่นำมาเป็นส่วนผสมในคอนกรีต และผลกระทบที่เกิดกับ คอนกรีตเมื่อใช้ถ่านปลาลงน้ำมันพาราфинที่บางส่วนในปูนซีเมนต์ปอร์ตแลนด์ประเภทที่ 1 ได้แก่ ระยะเวลาการก่อตัวของคอนกรีตลด กำลังอัดของคอนกรีตที่บ่มในน้ำประปาและแซในสารละลาย แมกนีเซียมชัลเฟต การต้านทานการกัดกร่อนและการขยายตัวของคอนกรีตเนื่องจากสารละลาย แมกนีเซียมชัลเฟต

4.1 คุณสมบัติทางกายภาพของวัสดุ

คุณสมบัติทางกายภาพของปูนซีเมนต์ปอร์ตแลนด์ประเภทที่ 1, ประเภทที่ 5 และถ่านปลาลงน้ำมัน ประกอบด้วย สีและลักษณะทั่วไป ลักษณะรูปร่างของอนุภาค ความถ่วงจำเพาะ การกระจายอนุภาค และความละเอียด ซึ่งคุณสมบัติทางกายภาพของวัสดุต่างๆ เหล่านี้ส่วนส่งผลต่อคุณสมบัติทั้งทางค้าน การพัฒนาがらงและความคงทนของคอนกรีต

4.1.1 สีและลักษณะทั่วไป

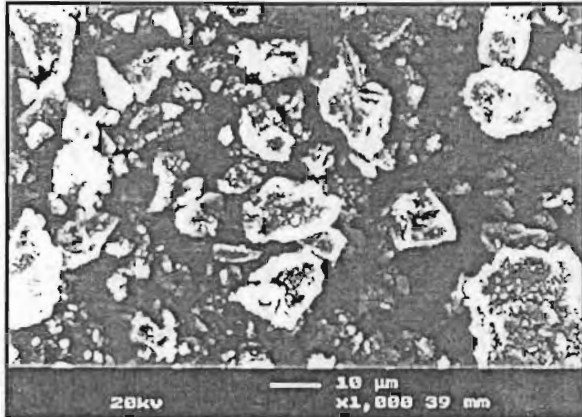
รูปที่ 4.1 แสดงสีและลักษณะทั่วไปของปูนซีเมนต์ปอร์ตแลนด์ประเภทที่ 1, ประเภทที่ 5 และถ่านปลาลงน้ำมัน พบว่าปูนซีเมนต์ปอร์ตแลนด์ประเภทที่ 1 และประเภทที่ 5 มีสีเทาอ่อน ซึ่งเกิดจากออกไซด์ของ เหล็ก โดยปูนซีเมนต์ปอร์ตแลนด์ประเภทที่ 5 จะมีสีเทาเข้มกว่าเล็กน้อย เนื่องจากมีปริมาณเหล็ก ออกไซด์ที่มากกว่า [39] ส่วนถ่านปลาลงน้ำมันที่นำมาจากโรงงานโดยตรงมีลักษณะค่อนข้างหยาบ และมี บางส่วนที่เผาไหม้ไม่หมดปะปน จึงนำมาร่อนผ่านตะแกรงมาตรฐานเบอร์ 16 ก่อนนำไปปรับปรุง ความละเอียดโดยการบด สีของถ่านปลาลงน้ำมันก่อนบด (OP) มีสีเทาออกดำและบางส่วนมีลักษณะเป็น เม็ดสีดำปะปนสามารถมองเห็นได้ด้วยตาเปล่า ทำให้ไม่เป็นเนื้อเดียวกัน ส่วนที่เป็นเม็ดสีดำมีลักษณะ คล้ายถ่านหรือคาร์บอนซึ่งน่าจะเกิดจากการเผาไหม้ที่ไม่สมบูรณ์ แต่หลังจากบดให้มีความละเอียด เพิ่มขึ้น สีของถ่านปลาลงน้ำมัน G1P และ G2P มีสีดำและดำมากยิ่งขึ้นตามความละเอียดที่เพิ่มขึ้น เนื่องจากส่วนที่เป็นเม็ดสีดำได้ถูกบดรวมกับถ่านปลาลงน้ำมัน ทำให้ถ่านปลาลงน้ำมันหลังบดเป็นเนื้อ เดียวกัน และมีสีเข้มขึ้น



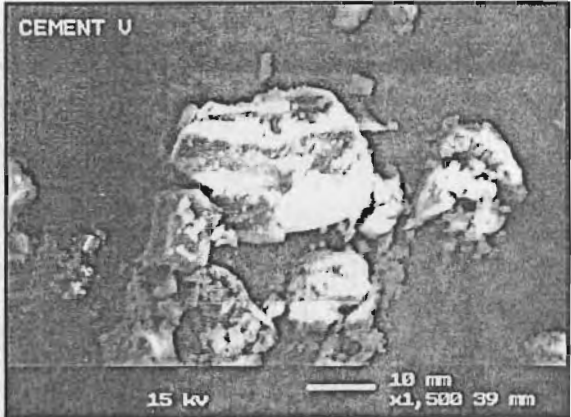
รูปที่ 4.1 สีและลักษณะหัวไปของปูนซีเมนต์ปอร์ตแลนด์ประเภทที่ 1, ประเภทที่ 5 และถ้าปาล์มน้ำมัน

4.1.2 ลักษณะรูปร่างของอนุภาค

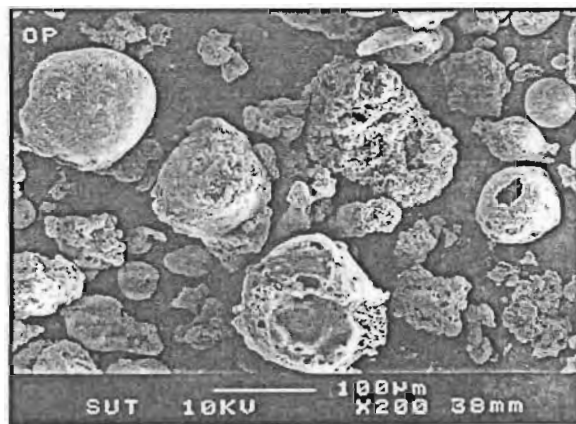
จากรูปที่ 4.2 ถึง 4.6 แสดงให้เห็นถึงความแตกต่างของอนุภาคปูนซีเมนต์ปอร์ตแลนด์ประเภทที่ 1, ประเภทที่ 5 และถ้าปาล์มน้ำมัน ซึ่งถ่ายด้วยเครื่อง Scanning Electron Microscope (SEM) ที่กำลังขยายต่างๆ กัน โดยรูปที่ 4.2 และ 4.3 จะเห็นได้ว่าปูนซีเมนต์ประเภทที่ 1 และประเภทที่ 5 มีลักษณะรูปร่างคล้ายกัน คือ ผิวขรุขระ เนื้อแน่น เป็นเหลี่ยมนูน และมีรูปร่างไม่แน่นอน รูปที่ 4.4 แสดงภาพถ่ายขยายอนุภาคของถ้าปาล์มน้ำมันก้อนบด (OP) พบว่าถ้าปาล์มน้ำมัน OP มีขนาดอนุภาคใหญ่ บางส่วน มีรูปร่างกลมมน เป็นโพรงอากาศ ความพรุนสูง และมีขนาดไม่สม่ำเสมอ ส่วนถ้าปาล์มน้ำมันหลังบดทั้ง G1P และ G2P ในรูปที่ 4.5 และ 4.6 มีลักษณะอนุภาคคล้ายกัน คือ อนุภาคมีขนาดและความพรุนลดลง เป็นเหลี่ยมนูน และมีรูปร่างไม่แน่นอน เช่นเดียวกับปูนซีเมนต์ปอร์ตแลนด์ แต่อนุภาคบางส่วนของถ้าปาล์มน้ำมัน G1P บังคงมีความพรุนปะปนอยู่เนื่องจากการบดที่ไม่ทั่วถึง ส่วนถ้าปาล์มน้ำมัน G2P อนุภาคมีความพรุนค่อนข้างน้อยและมีอนุภาคขนาดเล็กกระจายปะปนอยู่มากกว่าถ้าปาล์มน้ำมัน G1P



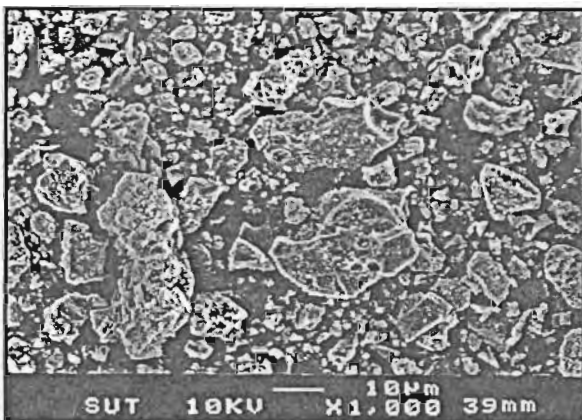
รูปที่ 4.2 ภาพขยายอนุภาคปูนซีเมนต์
ปอร์ตแคลนด์ประเภทที่ 1



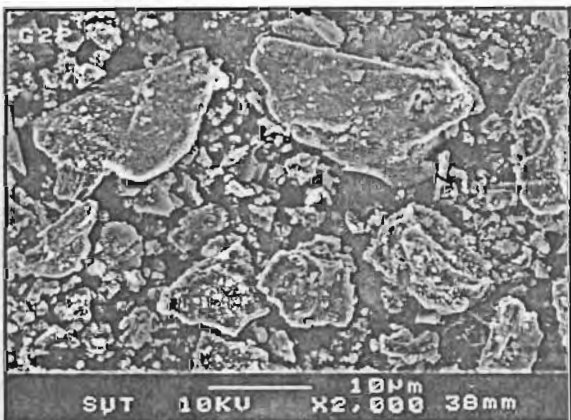
รูปที่ 4.3 ภาพขยายอนุภาคปูนซีเมนต์
ปอร์ตแคลนด์ประเภทที่ 5



รูปที่ 4.4 ภาพขยายอนุภาคเล้าปาล์มน้ำมัน OP



รูปที่ 4.5 ภาพขยายอนุภาคเล้าปาล์มน้ำมัน G1P



รูปที่ 4.6 ภาพขยายอนุภาคเล้าปาล์มน้ำมัน G2P

4.1.3 ความถ่วงจำเพาะของวัสดุ

เมื่อพิจารณาค่าความถ่วงจำเพาะของวัสดุ ดังแสดงในตารางที่ 4.1 พบว่าปูนซีเมนต์ปอร์ตแลนด์ ประเภทที่ 5 มีค่าความถ่วงจำเพาะสูงกว่าปูนซีเมนต์ปอร์ตแลนด์ประเภทที่ 1 เล็กน้อย คือเท่ากับ 3.17 และ 3.14 ตามลำดับ ส่วนถ้าปาล์มน้ำมัน OP มีค่าความถ่วงจำเพาะเท่ากับ 1.89 และมีค่าเพิ่มขึ้นเป็น 2.36 และ 2.43 สำหรับถ้าปาล์มน้ำมัน G1P และ G2P ตามลำดับ เนื่องจากได้ทำการบดถ้าปาล์มน้ำมันให้มีความละเอียดเพิ่มขึ้นทำให้ค่าความถ่วงจำเพาะมีค่าสูงขึ้น ทั้งนี้เป็นเพราะว่าอนุภาคของถ้าปาล์มน้ำมันก่อนบดมีขนาดใหญ่และมีความพรุนสูง (เห็นได้จากการทดสอบถ่ายขยายอนุภาคในรูปที่ 4.4) เมื่อผ่านการบดแล้วทำให้อนุภาคที่มีขนาดใหญ่และมีความพรุนแตกออกเป็นอนุภาคที่มีขนาดเล็ก ความพรุนจึงลดลง ความถ่วงจำเพาะจึงมีค่าเพิ่มขึ้น [40] ซึ่งสอดคล้องกับการศึกษาที่ผ่านมาของ Jaturapitakkul และ Cheerarot [41] ที่พบว่าการบดไม่เพียงแต่ลดขนาดอนุภาคของวัสดุ แต่ยังสามารถลดความพรุนได้ด้วย

4.1.4 ความถ่วงเฉียดของวัสดุ

เมื่อพิจารณาความถ่วงเฉียดของวัสดุ โดยการหาปริมาณอนุภาคที่ค้างบนตะแกรงมาตรฐานเบอร์ 325 (ขนาดช่องเปิด 45 ไมครอน) และการหาพื้นที่ผิวจำเพาะด้วยวิธีของเบลน ดังแสดงในตารางที่ 4.1 พบว่าถ้าปาล์มน้ำมัน OP มีปริมาณอนุภาคที่ค้างบนตะแกรงมาตรฐานเบอร์ 325 เท่ากับร้อยละ 94.4 ซึ่งมีค่าสูงกว่าที่มาตรฐาน ASTM C 618 [5] กำหนดไว้ คือ ไม่เกินร้อยละ 34 แต่มีการทำการบดให้มีขนาดอนุภาคเล็กลง ทำให้ถ้าปาล์มน้ำมัน G1P และ G2P มีปริมาณอนุภาคที่ค้างบนตะแกรงมาตรฐานเบอร์ 325 ลดลงเหลือร้อยละ 19.5 และ 1.0 ตามลำดับ สำหรับการหาพื้นที่ผิวจำเพาะด้วยวิธีของเบลน พบว่าจากความถ่วงเฉียดที่สูงของปูนซีเมนต์ปอร์ตแลนด์ประเภทที่ 5 ทำให้มีพื้นที่ผิวจำเพาะเท่ากับ 4,440 ซม²/ก ซึ่งสูงกว่าปูนซีเมนต์ปอร์ตแลนด์ประเภทที่ 1 ที่มีพื้นที่ผิวจำเพาะเท่ากับ 3,630 ซม²/ก ในขณะที่ถ้าปาล์มน้ำมัน G1P และ G2P มีพื้นที่ผิวจำเพาะเท่ากับ 8,380 และ 10,460 ซม²/ก ตามลำดับ ซึ่งมีค่าสูงกว่าปูนซีเมนต์ทั้ง 2 ประเภทมาก และมีค่าเพิ่มขึ้นเมื่อมีความถ่วงเฉียดสูงขึ้น แสดงให้เห็นว่า เมื่อทำการบดถ้าปาล์มน้ำมันให้มีความถ่วงเฉียดเพิ่มขึ้น นอกจากสามารถลดขนาดอนุภาคแล้วยังสามารถเพิ่มพื้นที่ผิวของวัสดุได้อีกด้วย ส่วนถ้าปาล์มน้ำมัน OP เนื่องจากมีอนุภาคที่ใหญ่และความพรุนสูง ทำให้อากาศไหลผ่านช่องว่างระหว่างอนุภาคได้อย่างรวดเร็ว จึงไม่เหมาะสมที่จะทำการหาพื้นที่ผิวจำเพาะด้วยวิธีของเบลน

สังเกตว่าถ้าปาล์มน้ำมันหลังบดทั้ง G1P และ G2P มีค่าความถ่วงจำเพาะต่ำกว่าปูนซีเมนต์ปอร์ตแลนด์ทั้ง 2 ประเภท แต่กลับมีค่าพื้นที่ผิวจำเพาะสูงกว่ามาก ที่เป็นเช่นนี้เนื่องจากอนุภาคของถ้าปาล์มน้ำมันหลังบดทั้ง G1P และ G2P ยังมีความพรุนเหลืออยู่ (เห็นได้จากการทดสอบถ่ายขยายอนุภาคในรูปที่ 4.5 และ 4.6) ดังนั้นพื้นที่ผิวที่เกิดขึ้นอาจรวมถึงพื้นที่ผิวที่เกิดจากความพรุนภายในอนุภาคของถ้าปาล์มน้ำมัน ซึ่ง

แตกต่างจากอนุภาคของปูนซีเมนต์ที่มีเนื้อแน่น (เห็นได้จากการถ่ายข่ายอนุภาคในรูปที่ 4.2 และ 4.3) ค่าพื้นที่ผิวที่เกิดขึ้นจึงเป็นพื้นที่ผิวโดยรอบของอนุภาค ด้วยสาเหตุนี้ถ้าปาล์มน้ำมันหลังบดทั้ง 2 ความละเอียด จึงมีค่าพื้นที่ผิวจำเพาะสูงกว่าปูนซีเมนต์ปอร์ตแลนด์ทั้ง 2 ประเภท

ตารางที่ 4.1 ความถ่วงจำเพาะ ความละเอียด และขนาดอนุภาคเฉลี่ยของวัสดุ

Sample	Specific Gravity	Retained on Sieve No. 325 (%)	Blaine Fineness (cm ² /g)	Median Particle Size, d ₅₀ (micron)
Cement Type I	3.14	N/A	3,630	14.7
Cement Type V	3.17	N/A	4,440	7.5
OP	1.89	94.4	N/A	183.0
G1P	2.36	19.5	8,380	15.9
G2P	2.43	1.0	10,460	7.4

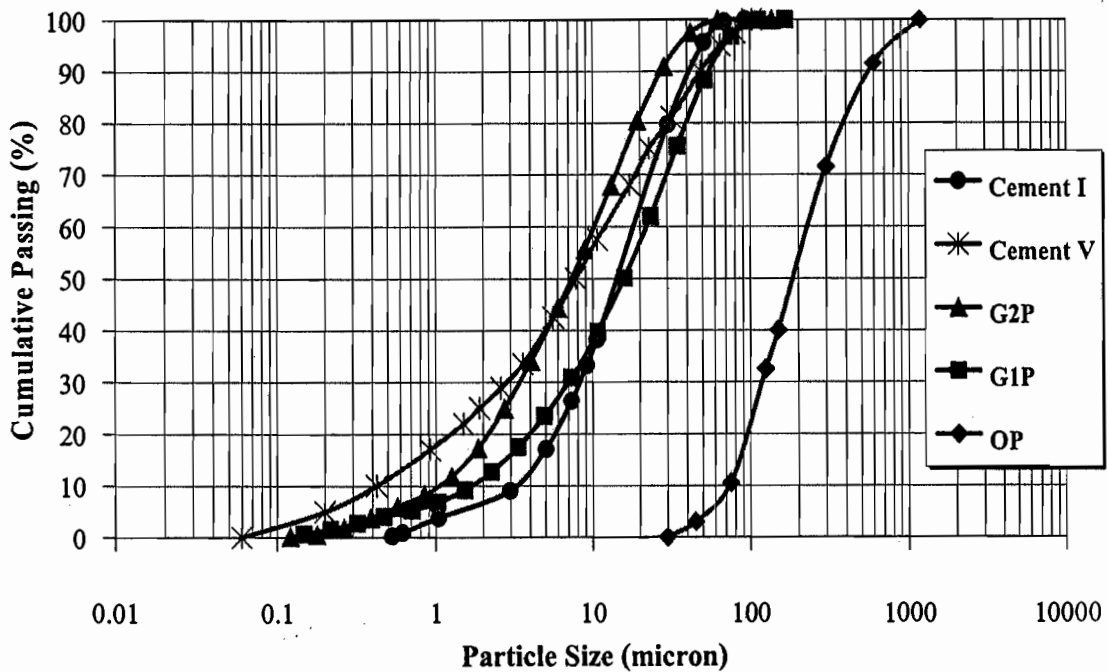
หมายเหตุ : N/A = Not Applied

4.1.5 การกระจายอนุภาคของวัสดุ

รูปที่ 4.7 แสดงการกระจายอนุภาคของปูนซีเมนต์ปอร์ตแลนด์ประเภทที่ 1, ประเภทที่ 5 และถ้าปาล์มน้ำมัน พนว่าปูนซีเมนต์ปอร์ตแลนด์ประเภทที่ 1 มีการกระจายตัวของอนุภาคร้อยละ 80 อยู่ในช่วง 3 ถึง 40 ไมครอน และมีขนาดอนุภาคเฉลี่ยเท่ากับ 14.7 ไมครอน (จากตารางที่ 4.1) ในขณะที่ปูนซีเมนต์ปอร์ตแลนด์ประเภทที่ 5 มีการกระจายตัวของอนุภาคร้อยละ 80 อยู่ในช่วง 0.3 ถึง 50 ไมครอน ซึ่งมีความแตกต่างระหว่างอนุภาคขนาดเล็กกับขนาดใหญ่ค่อนข้างสูง แต่อย่างไรก็ตามขนาดอนุภาคเฉลี่ยของปูนซีเมนต์ปอร์ตแลนด์ประเภทที่ 5 ยังมีขนาดอนุภาคเล็กกว่าปูนซีเมนต์ปอร์ตแลนด์ประเภทที่ 1 คือ มีค่าเท่ากับ 7.5 ไมครอน

ส่วนถ้าปาล์มน้ำมันก้อนบด (OP) มีการกระจายตัวของอนุภาคขนาดใหญ่มากกว่าปูนซีเมนต์ปอร์ตแลนด์ทั้ง 2 ประเภท เนื่องจากเห็นได้จากการถ่ายภาพการกระจายตัวที่มีลักษณะค่อนไปทางด้านขวา โดยมีการกระจายตัวของอนุภาคร้อยละ 80 อยู่ในช่วง 75 ถึง 580 ไมครอน และเมื่อพิจารณาขนาดอนุภาคเฉลี่ย พนว่าถ้าปาล์มน้ำมัน OP มีขนาดเท่ากับ 183 ไมครอน ซึ่งใหญ่กว่าปูนซีเมนต์ทั้งสองประเภทมาก ส่วนถ้าปาล์มน้ำมัน G1P มีการกระจายตัวของอนุภาคร้อยละ 80 อยู่ในช่วง 2 ถึง 56 ไมครอน และมีขนาดอนุภาคเฉลี่ยเท่ากับ 15.9 ไมครอน ถ้าปาล์มน้ำมัน G2P มีการกระจายตัวของอนุภาคร้อยละ 80 อยู่ในช่วง 1 ถึง 28 ไมครอน และมีขนาดอนุภาคเฉลี่ยเท่ากับ 7.4 ไมครอน จะเห็นได้ว่าหลังจากการ

ปรับปรุงคุณภาพโดยการบดให้มีอนุภาคเล็กลง ทำให้การกระจายตัวของอนุภาคและขนาดอนุภาคเฉลี่ยของถ้าปาล์มน้ำมันมีความใกล้เคียงกับปูนซีเมนต์ปอร์ตแลนด์ทั้ง 2 ประเภทมากขึ้น



รูปที่ 4.7 การกระจายอนุภาคของปูนซีเมนต์ปอร์ตแลนด์ประเภทที่ 1, ประเภทที่ 5 และถ้าปาล์มน้ำมัน

4.2 คุณสมบัติทางเคมีของวัสดุ

ตารางที่ 4.2 แสดงองค์ประกอบทางเคมีของปูนซีเมนต์ปอร์ตแลนด์ประเภทที่ 1, ประเภทที่ 5 และถ้าปาล์มน้ำมันบดละเอียดมาก (G2P) พบร่วมกับปูนซีเมนต์ปอร์ตแลนด์ประเภทที่ 1 และประเภทที่ 5 มี CaO เป็นองค์ประกอบหลักร้อยละ 65.41 และ 62.43 ตามลำดับ โดยปูนซีเมนต์ทั้ง 2 ประเภทมี MgO ไม่เกินร้อยละ 6, ค่าการสูญเสียน้ำหนักเนื่องจากการเผา (LOI) มีไม่เกินร้อยละ 3 และมี SO₃ ไม่เกินร้อยละ 3.5 และ 2.5 สำหรับปูนซีเมนต์ปอร์ตแลนด์ประเภทที่ 1 และประเภทที่ 5 ตามลำดับ เห็นได้ว่า ปูนซีเมนต์ทั้ง 2 ประเภทมีค่าอยู่ในเกณฑ์ตามที่มาตรฐาน ASTM C 150 [42] กำหนดไว้ และเมื่อพิจารณาประกลุบเคมีหลักของปูนซีเมนต์ ซึ่งคำนวณตามสมการของ Bogue [42] พบร่วมกับ C₃A ในปูนซีเมนต์ปอร์ตแลนด์ประเภทที่ 1 มีปริมาณเท่ากับร้อยละ 6.84 ในขณะที่ปูนซีเมนต์ปอร์ตแลนด์ประเภทที่ 5 ไม่มีเลย สำหรับปริมาณ C₂S และ C₄S ในปูนซีเมนต์ปอร์ตแลนด์ประเภทที่ 1 มีค่าเท่ากับร้อยละ 62.86 และ 12.50 ตามลำดับ ส่วนปูนซีเมนต์ปอร์ตแลนด์ประเภทที่ 5 มีค่าเท่ากับร้อยละ 51.22 และ 24.87 ตามลำดับ เห็นได้ว่าปริมาณ C₂S ในปูนซีเมนต์ปอร์ตแลนด์ประเภทที่ 1 มีค่าสูงกว่าประเภทที่ 5 มากแต่ปูนซีเมนต์ปอร์ตแลนด์ประเภทที่ 1 มีปริมาณ C₂S ต่ำกว่าประเภทที่ 5 ถึง 1 เท่าตัว

สำหรับถ้าปาล์มน้ำมัน (G2P) มี SiO_2 เป็นองค์ประกอบหลักเท่ากับร้อยละ 57.71 มี Al_2O_3 และ Fe_2O_3 เท่ากับร้อยละ 4.56 และ 3.30 ตามลำดับ โดยมีผลรวมของ SiO_2 , Al_2O_3 และ Fe_2O_3 เท่ากับร้อยละ 65.57 และมีปริมาณ SO_3 ร้อยละ 0.25 ส่วนค่าการสูญเสียน้ำหนักเนื่องจากการเผา (LOI) มีเท่ากับร้อยละ 10.52 เมื่อพิจารณาองค์ประกอบทางเคมีตามมาตรฐาน ASTM C 618 [5] แล้ว ไม่สามารถจัดให้เป็นวัสดุปูช้โซล่า Class N เนื่องจากผลรวมของ SiO_2 , Al_2O_3 และ Fe_2O_3 มีปริมาณไม่ถึงร้อยละ 70 และปริมาณ LOI มีเกินร้อยละ 10

เมื่อพิจารณาเปรียบเทียบกับองค์ประกอบทางเคมีของถ้าปาล์มน้ำมันจากงานศึกษาวิจัยที่ผ่านมาพบว่า ถ้าปาล์มน้ำมันแต่ละแห่งมีองค์ประกอบทางเคมีแตกต่างกัน โดย จกรพล กลั่นนั่นคง และคณะ [4] มีปริมาณ SiO_2 , Al_2O_3 และ Fe_2O_3 เท่ากับร้อยละ 76.65, 0.77 และ 2.26 ตามลำดับ และยังแตกต่างจากงานศึกษาของ วีระชาติ ตั้งจริภัทร [28] ที่มีปริมาณ SiO_2 , Al_2O_3 และ Fe_2O_3 เท่ากับร้อยละ 65.30, 2.56 และ 1.98 ตามลำดับ ทั้งนี้อาจเนื่องมาจากปัจจัยต่างๆ ที่ไม่เหมือนกัน เช่น พันธุ์ของต้นปาล์มน้ำมัน อัตราส่วนผสมของการปาล์มน้ำมัน อุณหภูมิและวิธีที่ใช้ในการเผา เป็นต้น

ตารางที่ 4.2 องค์ประกอบทางเคมีของวัสดุ

Chemical Composition (%)	Cement Type I	Cement Type V	POFA (G2P)
Silicon Dioxide (SiO_2)	20.90	22.15	57.71
Aluminium Oxide (Al_2O_3)	4.76	3.51	4.56
Iron Oxide (Fe_2O_3)	3.41	5.57	3.30
Calcium Oxide (CaO)	65.41	62.43	6.55
Magnesium Oxide (MgO)	1.25	0.99	4.23
Sodium Oxide (Na_2O)	0.24	0.06	0.50
Potassium Oxide (K_2O)	0.35	0.17	8.27
Sulfur Trioxide (SO_3)	2.71	1.07	0.25
Loss On Ignition (LOI)	0.99	1.69	10.52
Tricalcium Silicates (C_3S)	62.86	51.22	-
Dicalcium Silicates (C_2S)	12.50	24.87	-
Tricalcium Aluminate (C_3A)	6.84	0.00	-
Tetracalcium Aluminoferrite (C_4AF)	10.38	16.95	-

สำหรับสาเหตุที่วิเคราะห์องค์ประกอบทางเคมีของถ้าปาล์มน้ำมัน G2P และไม่วิเคราะห์ของถ้าปาล์มน้ำมัน OP และ G1P เพราะการศึกษาที่ผ่านมาพบว่าการปรับปรุงคุณภาพโดยการบด ไม่ทำให้คุณสมบัติทางเคมีของถ้าปาล์มน้ำมันเปลี่ยนแปลงมากนัก [29]

4.3 อัตราส่วนน้ำต่อวัสดุประสานของคอนกรีต

อัตราส่วนน้ำต่อวัสดุประสานของคอนกรีตควบคุม CT1, CT5 และคอนกรีตที่ผสมถ้าปาล์มน้ำมันทั้ง 3 ขนาดความละเอียดแทนที่ปูนซีเมนต์ปอร์ตแลนด์ประเภทที่ 1 ในอัตราส่วนร้อยละ 10, 20, 30 และ 40 โดยน้ำหนักวัสดุประสาน แสดงในตารางที่ 4.3 โดยออกแบบคอนกรีตควบคุมให้มีค่าญบตัวระหว่าง 5 ถึง 10 ซม. ในส่วนคอนกรีตที่ผสมถ้าปาล์มน้ำมันใช้วิธีการปรับปริมาณน้ำเพื่อให้มีค่าญบตัวอยู่ในช่วงระหว่าง 5 ถึง 10 ซม. พบว่าคอนกรีตควบคุม CT1 และ CT5 มีอัตราส่วนน้ำต่อวัสดุประสานเท่ากัน คือ 0.70 ส่วนคอนกรีตที่ผสมถ้าปาล์มน้ำมันเกือบทุกอัตราส่วนผสมมีอัตราส่วนน้ำต่อวัสดุประสานมากกว่าคอนกรีตควบคุม CT1 นอกจากคอนกรีต G2P10 เท่านั้นที่มีอัตราส่วนน้ำต่อวัสดุประสานน้อยกว่าคอนกรีตควบคุม CT1 คือมีค่าเท่ากับ 0.68 โดยคอนกรีต OP10, OP20, OP30 และ OP40 มีอัตราส่วนน้ำต่อวัสดุประสานเท่ากับ 0.72, 0.77, 0.87 และ 0.95 ตามลำดับ จะเห็นได้ว่าการผสมถ้าปาล์มน้ำมัน OP ทำให้อัตราส่วนน้ำต่อวัสดุประสานสูงขึ้น และเมื่อเพิ่มอัตราการแทนที่ขึ้นอีกจะยิ่งทำให้อัตราส่วนน้ำต่อวัสดุประสานสูงขึ้น โดยเฉพาะที่อัตราการแทนที่ร้อยละ 30 และ 40 ทั้งนี้เนื่องจากอนุภาคของถ้าปาล์มน้ำมัน OP มีขนาดใหญ่ เป็นโพรงอากาศ และมีความพруนสูง จึงทำให้เกิดการคัดซึมน้ำมาก

คอนกรีต G1P10, G1P20, G1P30 และ G1P40 มีอัตราส่วนน้ำต่อวัสดุประสานเท่ากับ 0.72, 0.73, 0.73 และ 0.74 ตามลำดับ ซึ่งมีค่าลดลงจากคอนกรีตที่ผสมถ้าปาล์มน้ำมัน OP ในอัตราการแทนที่เดียวกัน ในขณะที่คอนกรีต G2P10, G2P20, G2P30 และ G2P40 มีอัตราส่วนน้ำต่อวัสดุประสานเท่ากับ 0.68, 0.70, 0.71 และ 0.72 ตามลำดับ แสดงให้เห็นว่าการนำถ้าปาล์มน้ำมันมาบดให้มีความละเอียดเพิ่มขึ้น สามารถลดอัตราส่วนน้ำต่อวัสดุประสานของคอนกรีตลงได้ เนื่องจากการบดคนจากทำให้อนุภาคขนาดใหญ่แตกออกเป็นอนุภาคขนาดเล็กแล้ว ยังเป็นการทำลายโพรงอากาศและความพรุนที่อยู่ในถ้าปาล์มน้ำมันให้มีขนาดเล็กลงด้วย สังเกตได้จากค่าความถ่วงจำเพาะที่มีค่าเพิ่มขึ้นหลังจากทำการบด เมื่อโพรงอากาศและความพรุนของอนุภาคลดลง การคัดซึมน้ำจึงลดลง ซึ่งสอดคล้องกับงานวิจัยที่ผ่านมาของ ชัย ชาตรพิทักษ์กุล และคณะ [43] และ วีรชาติ ตั้งจิรภัทร [28] ที่พบว่าการบดวัสดุปอชโซลามให้มีความละเอียดเพิ่มขึ้น สามารถลดปริมาณน้ำที่ใช้ในการผสมลงได้ อย่างไรก็ตามการแทนที่ถ้าปาล์มน้ำมันที่บดขนาดละเอียดมากในอัตราส่วนที่สูงขึ้นยังคงมีแนวโน้มทำให้อัตราส่วนน้ำต่อวัสดุประสานเพิ่มขึ้น ซึ่งอัตราส่วนน้ำต่อวัสดุประสานที่เพิ่มขึ้นนี้ส่งผลโดยตรงต่อกำลังอัดของคอนกรีตตามกฎของ Abrams [44] นอกจากนี้คอนกรีตที่มีอัตราส่วนน้ำต่อวัสดุประสานสูง ยังทำให้ความพรุนหรือซ่องว่างในเนื้อคอนกรีตมีแนวโน้มสูงขึ้นด้วย ส่งผลให้ความด้านทานการซึมผ่านลดลง [19]

4.4 ระยะเวลาการก่อตัวของคอนกรีต

ระยะเวลาการก่อตัวของคอนกรีตควบคุม CT1, CT5 และคอนกรีตที่ผสมเต้าป้าล้มน้ำมันทั้ง 3 ขนาด ความละเอียดเท่านั้นที่ปูนซีเมนต์ปอร์ตแลนด์ประเภทที่ 1 ในอัตราส่วนร้อยละ 10, 20, 30 และ 40 โดย น้ำหนักวัสดุประสาน แสดงในตารางที่ 4.3 พบว่า คอนกรีตควบคุม CT1 มีระยะเวลาการก่อตัวเริ่มต้น เท่ากับ 4 ชั่วโมง 10 นาที และมีระยะเวลาการก่อตัวสุดท้ายเท่ากับ 6 ชั่วโมง 30 นาที ส่วนคอนกรีต ควบคุม CT5 มีระยะเวลาการก่อตัวเริ่มต้นเท่ากับ 6 ชั่วโมง และมีระยะเวลาการก่อตัวสุดท้ายเท่ากับ 8 ชั่วโมง 45 นาที เห็นได้ว่าคอนกรีตควบคุม CT1 มีระยะเวลาการก่อตัวเร็วกว่าคอนกรีตควบคุม CT5 ทั้งระยะเวลาเริ่มต้นและระยะเวลาท้าย เมื่อจากปริมาณ C₃S และ C₃A ซึ่งเป็นองค์ประกอบหลักที่ทำให้เกิด การก่อตัวในปูนซีเมนต์ปอร์ตแลนด์ประเภทที่ 1 มีมากกว่าในปูนซีเมนต์ปอร์ตแลนด์ประเภทที่ 5 ระยะเวลาการก่อตัวของคอนกรีตควบคุม CT1 จึงเร็วกว่าคอนกรีตควบคุม CT5

คอนกรีตที่ผสมเต้าป้าล้มน้ำมันทั้งก้อนและหลังบดทุกอัตราส่วนผสมมีระยะเวลาการก่อตัวทั้งระยะ เริ่มต้นและระยะสุดท้ายนานกว่าคอนกรีตควบคุม CT1 และมีแนวโน้มนานขึ้นเมื่อเพิ่มอัตราการแทนที่ มากขึ้น โดยคอนกรีต OP10, OP20, OP30 และ OP40 มีระยะเวลาการก่อตัวเริ่มต้นเท่ากับ 4 ชั่วโมง 40 นาที, 5 ชั่วโมง, 5 ชั่วโมง 50 นาที และ 6 ชั่วโมง 50 นาที ตามลำดับ และมีระยะเวลาการก่อตัวสุดท้าย เท่ากับ 7 ชั่วโมง 30 นาที, 8 ชั่วโมง 30 นาที, 10 ชั่วโมง 30 นาที และ 12 ชั่วโมง 20 นาที ตามลำดับ เห็นได้ว่าการเพิ่มอัตราการแทนที่ปูนซีเมนต์ด้วยเต้าป้าล้มน้ำมัน OP ในปริมาณที่สูงขึ้น ทำให้ ระยะเวลาการก่อตัวของคอนกรีตนานมากขึ้น ทั้งนี้เนื่องจากการเพิ่มอัตราการแทนที่ปูนซีเมนต์ สูงขึ้น ทำให้ C₃S และ C₃A มีปริมาณลดลง นอกจากนี้อนุภาคของเต้าป้าล้มน้ำมันที่มีรูพรุนสูง จึงเกิด การคุกซึมนานมาก ทำให้อัตราส่วนน้ำต่อวัสดุประสานเพิ่มขึ้น จึงส่งผลให้ระยะเวลาการก่อตัวของ คอนกรีตนานขึ้น ซึ่งสอดคล้องกับงานวิจัยของ Tay [21] ที่พบว่าเต้าป้าล้มน้ำมันทำให้ระยะเวลาการก่อตัว มีค่าเพิ่มขึ้น และยิ่งเพิ่มน้ำก็มากขึ้นหากใช้แทนที่ในอัตราส่วนที่สูงขึ้น

คอนกรีตที่ผสมเต้าป้าล้มน้ำมันหลังบดทั้ง G1P และ G2P ในอัตราส่วนร้อยละ 10 ถึง 40 โดยน้ำหนัก วัสดุประสาน มีระยะเวลาการก่อตัวเริ่มต้นอยู่ในช่วง 4 ชั่วโมง 35 นาที ถึง 5 ชั่วโมง 10 นาที และ 4 ชั่วโมง 25 นาที ถึง 5 ชั่วโมง 10 นาที ตามลำดับ และมีระยะเวลาการก่อตัวสุดท้ายอยู่ในช่วง 6 ชั่วโมง 40 นาที ถึง 7 ชั่วโมง 45 นาที และ 6 ชั่วโมง 35 นาที ถึง 7 ชั่วโมง 40 นาที ตามลำดับ ซึ่งมีค่า ลดลงจากคอนกรีตที่ผสมเต้าป้าล้มน้ำมัน OP มาก แสดงว่าการปรับปรุงคุณภาพของเต้าป้าล้มน้ำมัน โดยการบดให้มีความละเอียดมากขึ้น ทำให้ระยะเวลาการก่อตัวทั้งระยะเริ่มต้นและระยะสุดท้ายของ คอนกรีตเร็วขึ้น เนื่องจากการบดเต้าป้าล้มน้ำมันให้มีความละเอียดมากขึ้นสามารถลดรูพรุนที่คุกซึม

น้ำให้น้อยลง และขนาดอนุภาคที่เล็กลงทำให้มีพื้นที่ผิวจำเพาะเพิ่มมากขึ้น ทำให้สามารถทำปฏิกิริยาได้เร็วและดีกว่าถ้าปัลมน้ำมันที่มีอนุภาคขนาดใหญ่ อย่างไรก็ตามการบดถ้าปัลมน้ำมันให้มีความละเอียดมากขึ้น ยังคงทำให้คุณคริตมีระยะเวลาการก่อตัวนานขึ้นทั้งระยะเริ่มต้นและระยะสุดท้ายหากใช้แทนที่ในอัตราส่วนที่สูงขึ้น เนื่องจากปริมาณ C_3S และ C_3A ที่ลดลงและแม้ว่าจะทำการบดถ้าปัลมน้ำมันให้มีความละเอียดสูงขึ้น แต่ถ้าปัลมน้ำมันยังคงมีความพรุนของเหลืออยู่ในอนุภาค จึงทำให้คุณคริตที่ผสมถ้าปัลมน้ำมันมีอัตราส่วนน้ำต่อวัสดุประสานสูงขึ้นตามการแทนที่ที่เพิ่มขึ้น ส่งผลให้คุณคริตมีระยะเวลาการก่อตัวนานขึ้น ส่วนการบดถ้าปัลมน้ำมันให้มีความละเอียดมากกว่าปูนซีเมนต์ยังไม่สามารถลดระยะเวลาการก่อตัวให้ออกไปในระดับเดียวกับคุณคริตควบคุม CT1 นอกจากนี้ยังพบว่าคุณคริตที่ผสมถ้าปัลมน้ำมันที่มีความละเอียดเพิ่มขึ้นจาก G1P เป็น G2P ในอัตราส่วนผสมเดียวกัน ยังคงมีระยะเวลาการก่อตัวทั้งระยะเริ่มต้นและระยะสุดท้ายที่ใกล้เคียงกัน

ตารางที่ 4.3 อัตราส่วนน้ำต่อวัสดุประสาน ค่าญบตัว และระยะเวลาการก่อตัวของคุณคริต

Mixes	W / B	Slump (cm)	Setting Time (hr:min)	
			Initial	Final
CT1	0.70	6.5	4:10	6:30
CT5	0.70	6.5	6:00	8:45
OP10	0.72	6.5	4:40	7:30
OP20	0.77	6.0	5:00	8:30
OP30	0.87	8.0	5:50	10:30
OP40	0.95	8.0	6:50	12:20
G1P10	0.72	8.0	4:35	6:40
G1P20	0.73	7.5	4:40	7:05
G1P30	0.73	7.0	4:55	7:25
G1P40	0.74	7.0	5:10	7:45
G2P10	0.68	5.5	4:25	6:35
G2P20	0.70	6.0	4:35	7:00
G2P30	0.71	6.0	4:50	7:25
G2P40	0.72	6.0	5:10	7:40

4.5 กำลังอัดของคอนกรีตที่บ่มในน้ำประปา

ตารางที่ 4.4 แสดงผลการทดสอบกำลังอัดและร้อยละกำลังอัดของคอนกรีตเมื่อบ่มในน้ำประปา ซึ่งประกอบด้วยคอนกรีตควบคุม CT1W ซึ่งใช้ปูนซีเมนต์ปอร์ตแลนด์ประเภทที่ 1 เป็นวัสดุประสานเพียงอย่างเดียว โดยออกแบบกำลังอัดที่อายุ 28 วัน เท่ากับ 310 กก./ซม.² และมีค่าขุบตัวระหว่าง 5 ถึง 10 ซม. คอนกรีตควบคุม CT5W ซึ่งใช้ปูนซีเมนต์ปอร์ตแลนด์ประเภทที่ 5 เป็นวัสดุประสานเพียงอย่างเดียว และคอนกรีตที่แทนที่ปูนซีเมนต์ปอร์ตแลนด์ประเภทที่ 1 ด้วยเล้าปลาล็มน้ำมัน OP, G1P และ G2P ในอัตราร้อยละ 10, 20, 30 และ 40 โดยนำเสนอค่าขุบตัวระหว่าง 5 ถึง 10 ซม.

4.5.1 กำลังอัดของคอนกรีตควบคุม CT1W และ CT5W

จากผลการทดสอบกำลังอัดและร้อยละกำลังอัดของคอนกรีตควบคุม CT1W และ CT5W เมื่อบ่มในน้ำประปา ในตารางที่ 4.4 พบว่า กำลังอัดของคอนกรีตควบคุม CT1W ที่อายุ 3, 7, 14, 28 และ 60 วัน มีค่าเท่ากับ 178, 235, 280, 319 และ 362 กก./ซม.² ตามลำดับ หลังจากนั้นที่อายุ 90, 180, 270 และ 360 วัน กำลังอัดยังคงมีการพัฒนาขึ้นอย่างต่อเนื่อง โดยมีค่าเท่ากับ 371, 385, 392 และ 397 กก./ซม.² ตามลำดับ ส่วนกำลังอัดของคอนกรีตควบคุม CT5W ที่อายุ 3, 7, 14 และ 28 วัน มีค่าเท่ากับ 122, 183, 252 และ 316 กก./ซม.² ตามลำดับ ซึ่งมีการพัฒนาของกำลังอัดต่ำกว่าคอนกรีตควบคุม CT1W แต่หลังจากที่อายุ 28 วัน ไปแล้ว กำลังอัดมีการพัฒนาเพิ่มขึ้นอย่างรวดเร็วจนมีค่าสูงกว่าคอนกรีตควบคุม CT1W โดยที่อายุ 60, 90, 180, 270 และ 360 วัน คอนกรีตควบคุม CT5W มีค่ากำลังอัดเท่ากับ 373, 394, 415, 423 และ 429 กก./ซม.² ตามลำดับ หรือคิดเป็นร้อยละ 103 ถึง 108 ของคอนกรีตควบคุม CT1W สังเกตได้ว่า ในช่วงอายุต้นของคอนกรีตควบคุม CT5W มีการพัฒนาของกำลังอัดต่ำกว่าคอนกรีตควบคุม CT1W มาก โดยเฉพาะที่อายุ 3 วัน กำลังอัดของคอนกรีตควบคุม CT5W มีค่าเพียงร้อยละ 69 ของคอนกรีตควบคุม CT1W เท่านั้น แม้ว่าปูนซีเมนต์ปอร์ตแลนด์ประเภทที่ 5 มีความละเอียดมากกว่าประเภทที่ 1 กีตาน ที่เป็นเช่นนี้เนื่องจากองค์ประกอบทางเคมีของปูนซีเมนต์ปอร์ตแลนด์ประเภทที่ 5 มีปริมาณ C₃S น้อยกว่าปูนซีเมนต์ปอร์ตแลนด์ประเภทที่ 1 ถึงร้อยละ 11.4 ทำให้กำลังอัดในช่วงอายุต้นของคอนกรีตควบคุม CT5W มีค่าต่ำ แต่ปริมาณ C₂S ของปูนซีเมนต์ปอร์ตแลนด์ประเภทที่ 5 ที่มีปริมาณสูงกว่าปูนซีเมนต์ปอร์ตแลนด์ประเภทที่ 1 ถึง 2 เท่า จึงส่งผลให้กำลังอัดของคอนกรีตควบคุม CT5W ในช่วงอายุปลายสามารถพัฒนาให้มีค่าสูงกว่าคอนกรีตควบคุม CT1W ได้ ซึ่งสอดคล้องกับการศึกษาที่ผ่านมาของวีรชาติ ตั้งจิรภัทร [28] และประกาศ ทองประไพร [45]

ตารางที่ 4.4 กำลังอัดและร้อยละกำลังอัดของคอนกรีตที่บ่มในน้ำประปา

Mixes	W/B	Slump (cm)	Compressive Strength (ksc)								
			Normalized Compressive Strength (%)								
			3 days	7 days	14 days	28 days	60 days	90 days	180 days	270 days	360 days
CT1W	0.70	6.5	178 <i>100</i>	235 <i>100</i>	280 <i>100</i>	319 <i>100</i>	362 <i>100</i>	371 <i>100</i>	385 <i>100</i>	392 <i>100</i>	397 <i>100</i>
CT5W	0.70	6.5	122 <i>69</i>	183 <i>78</i>	252 <i>90</i>	316 <i>99</i>	373 <i>103</i>	394 <i>106</i>	415 <i>108</i>	423 <i>108</i>	429 <i>108</i>
OP10W	0.72	6.5	127 <i>72</i>	175 <i>74</i>	214 <i>76</i>	245 <i>77</i>	281 <i>78</i>	292 <i>79</i>	308 <i>80</i>	310 <i>79</i>	320 <i>81</i>
OP20W	0.77	6.0	109 <i>61</i>	150 <i>64</i>	185 <i>66</i>	212 <i>66</i>	247 <i>68</i>	255 <i>69</i>	266 <i>69</i>	270 <i>69</i>	270 <i>68</i>
OP30W	0.87	8.0	80 <i>45</i>	108 <i>46</i>	127 <i>45</i>	150 <i>47</i>	174 <i>48</i>	188 <i>51</i>	193 <i>50</i>	197 <i>50</i>	202 <i>51</i>
OP40W	0.95	8.0	42 <i>24</i>	54 <i>23</i>	76 <i>27</i>	99 <i>31</i>	108 <i>30</i>	115 <i>31</i>	118 <i>31</i>	120 <i>31</i>	118 <i>30</i>
G1P10W	0.72	8.0	158 <i>89</i>	224 <i>95</i>	264 <i>94</i>	301 <i>94</i>	350 <i>97</i>	376 <i>101</i>	390 <i>101</i>	397 <i>101</i>	402 <i>101</i>
G1P20W	0.73	7.5	140 <i>79</i>	191 <i>81</i>	226 <i>81</i>	269 <i>84</i>	316 <i>87</i>	334 <i>90</i>	347 <i>90</i>	356 <i>91</i>	359 <i>90</i>
G1P30W	0.73	7.0	121 <i>68</i>	172 <i>73</i>	209 <i>74</i>	238 <i>75</i>	285 <i>79</i>	295 <i>80</i>	302 <i>78</i>	307 <i>78</i>	308 <i>78</i>
G1P40W	0.74	7.0	118 <i>66</i>	155 <i>66</i>	187 <i>67</i>	226 <i>71</i>	267 <i>74</i>	270 <i>73</i>	277 <i>72</i>	281 <i>72</i>	286 <i>72</i>
G2P10W	0.68	5.5	176 <i>99</i>	239 <i>102</i>	285 <i>102</i>	319 <i>100</i>	374 <i>103</i>	390 <i>105</i>	400 <i>104</i>	411 <i>105</i>	419 <i>106</i>
G2P20W	0.70	6.0	170 <i>96</i>	230 <i>98</i>	275 <i>98</i>	316 <i>99</i>	370 <i>102</i>	386 <i>104</i>	395 <i>103</i>	405 <i>103</i>	408 <i>103</i>
G2P30W	0.71	6.0	150 <i>84</i>	209 <i>89</i>	248 <i>88</i>	301 <i>94</i>	356 <i>98</i>	368 <i>99</i>	376 <i>98</i>	381 <i>97</i>	388 <i>98</i>
G2P40W	0.72	6.0	117 <i>66</i>	182 <i>77</i>	237 <i>85</i>	275 <i>86</i>	317 <i>88</i>	322 <i>87</i>	330 <i>86</i>	337 <i>86</i>	340 <i>86</i>

หมายเหตุ : ส่วนที่เร่งขยายผิวคอนกรีตที่ผสมเด็กปั้มน้ำมีกำลังอัดเท่ากับหรือมากกว่าคอนกรีตควบคุม CT1W

4.5.2 กำลังอัดและร้อยละกำลังอัดของคอนกรีตที่ผสมถ้าปั๊มน้ำมัน OP

ความสัมพันธ์ระหว่างกำลังอัดและร้อยละกำลังอัดกับอายุการบ่มในน้ำประปาของคอนกรีตที่ใช้ถ้าปั๊มน้ำมันก่อนบด (OP) ผสมแทนที่ปูนซีเมนต์ปอร์ตแลนด์ประเภทที่ 1 ในอัตราส่วนร้อยละ 10, 20, 30 และ 40 โดยน้ำหนักวัสดุประสาน แสดงดังในรูปที่ 4.8 และ 4.9 ตามลำดับ พบว่าคอนกรีตที่มีส่วนผสมของถ้าปั๊มน้ำมัน OP ทุกอัตราการแทนที่มีการพัฒนากำลังอัดที่ต่ำ และการแทนที่ในอัตราส่วนที่สูงขึ้นยิ่งทำให้กำลังอัดมีค่าต่ำลง โดยมีค่าต่ำกว่าคอนกรีตควบคุม CT1W ทุกอายุการทดสอบ

ที่อายุ 3 วัน คอนกรีต OP10W, OP20W, OP30W และ OP40W มีค่ากำลังอัดเท่ากับ 127, 109, 80 และ 42 กก./ซม.² หรือคิดเป็นเพียงร้อยละ 72, 61, 45 และ 24 ของคอนกรีตควบคุม CT1W ตามลำดับ และมีค่าเพิ่มเป็น 175, 150, 108 และ 54 กก./ซม.² หรือเท่ากับร้อยละ 74, 64, 46 และ 23 ของคอนกรีตควบคุม CT1W ตามลำดับ เมื่อมีอายุเพิ่มเป็น 7 วัน ที่อายุ 28 วัน กำลังอัดมีค่าเท่ากับ 245, 212, 150 และ 99 กก./ซม.² หรือเท่ากับร้อยละ 77, 66, 47 และ 31 ของคอนกรีตควบคุม CT1W ตามลำดับ และที่อายุ 60 วัน กำลังอัดมีค่าเพิ่มเป็น 281, 247, 174 และ 108 กก./ซม.² หรือคิดเป็นร้อยละ 78, 68, 48 และ 30 ของคอนกรีตควบคุม CT1W ตามลำดับ หลังจากนั้นในช่วงอายุปลายกำลังอัดของคอนกรีตมีการพัฒนาเพิ่มขึ้นอย่างมาก โดยที่อายุ 90 วัน คอนกรีต OP10W, OP20W, OP30W และ OP40W มีค่ากำลังอัดเท่ากับ 292, 255, 188 และ 115 กก./ซม.² หรือเท่ากับร้อยละ 79, 69, 51 และ 31 ของคอนกรีตควบคุม CT1W ตามลำดับ และมีค่าเพิ่มขึ้นเป็น 308, 266, 193 และ 118 กก./ซม.² หรือเท่ากับร้อยละ 80, 69, 50 และ 31 ของคอนกรีตควบคุม CT1W ตามลำดับ ที่อายุ 180 วัน หลังจากนั้นที่อายุ 270 ถึง 360 วัน กำลังอัดมีค่าเทียบคงที่ โดยที่อายุ 360 วัน คอนกรีต OP10W, OP20W, OP30W และ OP40W มีค่ากำลังอัดเท่ากับ 320, 270, 202 และ 118 กก./ซม.² หรือเท่ากับร้อยละ 81, 68, 51 และ 30 ของคอนกรีตควบคุม CT1W ตามลำดับ

เห็นได้ว่าผลของการทดสอบนี้ ยังไม่มีคอนกรีตที่ผสมถ้าปั๊มน้ำมัน OP ในอัตราส่วนผสมใด ที่มีการพัฒนากำลังอัดให้มีค่าสูงกว่าคอนกรีตควบคุม CT1W ได้ และมีแนวโน้มเป็นเช่นนี้ตลอดไป เหตุที่เป็นเช่นนี้ เพราะว่าถ้าปั๊มน้ำมัน OP มีขนาดอนุภาคใหญ่ จึงทำปฏิกิริยาปอชโซลานได้น้อย เมื่อนำมาแทนที่ในปูนซีเมนต์ กำลังอัดที่ได้จากปฏิกิริยาปอชโซลานจึงไม่สามารถลดเชิงกำลังอัดที่ลดลงเนื่องจากการลดปริมาณปูนซีเมนต์ และเนื่องจากการดูดซึมน้ำของถ้าปั๊มน้ำมัน OP ท่อนุภาคมีความพรุนสูง เมื่อนำมาทดสอบในคอนกรีตจึงทำให้อัตราส่วนน้ำต่อวัสดุประสานของคอนกรีตสูงขึ้น ซึ่งการที่คอนกรีตมีอัตราส่วนน้ำต่อวัสดุประสานเพิ่มขึ้น ทำให้กำลังอัดมีค่าต่ำลงตามกฎของ Abrams [44] จากอนุภาคที่ใหญ่และมีความพรุนสูงของถ้าปั๊มน้ำมัน OP นี้ การใช้แทนที่ปูนซีเมนต์ในอัตราส่วนที่สูง จึงทำให้กำลังอัดของคอนกรีตมีค่าต่ำลงอย่างมาก ดังนั้นถ้าปั๊มน้ำมัน OP จึงไม่เหมาะสมที่จะใช้เป็นวัสดุปอชโซลานในงานคอนกรีต

4.5.3 กำลังอัดและร้อยละกำลังอัดของคอนกรีตที่ผสมเต้าป่าล์มน้ำมัน G1P

รูปที่ 4.10 และ 4.11 แสดงความสัมพันธ์ระหว่างกำลังอัดและร้อยละกำลังอัดกับอายุการบ่มในน้ำประปาของคอนกรีตที่ใช้เต้าป่าล์มน้ำมัน G1P เป็นส่วนผสม พบว่าเมื่อเปรียบเทียบกับคอนกรีตที่ผสมเต้าป่าล์มน้ำมัน OP ที่อัตราการแทนที่เดียวกัน คอนกรีตที่ผสมเต้าป่าล์มน้ำมัน G1P มีกำลังอัดสูงกว่ามากในทุกอายุการทดสอบ โดยเฉพาะที่อัตราการแทนที่สูง โดยคอนกรีต G1P10W, G1P20W, G1P30W และ G1P40W ที่อายุ 3 และ 7 วัน มีค่ากำลังอัดเท่ากับ 158, 140, 121, 118 และ 224, 191, 172, 155 กก./ซม.² หรือคิดเป็นร้อยละ 89, 79, 68, 66 และ 95, 81, 73, 66 ของคอนกรีตควบคุม CT1W ตามลำดับ เนื่องจากให้ค่ากำลังอัดขั้นต่ำคงมีค่าลดลงเมื่อแทนที่เต้าป่าล์มน้ำมัน G1P ในอัตราส่วนที่สูงขึ้น จากร้อยละ 10 เป็นร้อยละ 20, 30 และ 40 โดยน้ำหนักวัสดุประสาน แต่มีอัตราการลดลงของกำลังอัดน้อยกว่าของคอนกรีตที่ผสมเต้าป่าล์มน้ำมัน OP และเมื่อพิจารณาที่อายุ 28 และ 60 วัน กำลังอัดมีค่าเท่ากับ 301, 269, 238, 226 และ 350, 316, 285, 267 กก./ซม.² หรือคิดเป็นร้อยละ 94, 84, 75, 71 และ 97, 87, 79, 74 ของคอนกรีตควบคุม CT1W ตามลำดับ พบว่าคอนกรีตขั้นต่ำมีการพัฒนากำลังอัดสูงขึ้นอย่างต่อเนื่อง โดยที่อายุ 90 วัน กำลังอัดมีค่าเพิ่มเป็น 376, 334, 295 และ 270 กก./ซม.² หรือคิดเป็นร้อยละ 101, 90, 80 และ 73 ของคอนกรีตควบคุม CT1W ตามลำดับ เนื่องจากให้ค่ากำลังอัดสูงกว่าคอนกรีตควบคุม CT1W โดยมีกำลังอัดเท่ากับ 390, 397 และ 402 กก./ซม.² หรือคิดเป็นร้อยละ 101, 101 และ 101 ของคอนกรีตควบคุม CT1W ตามลำดับ ส่วนอัตราการแทนที่ร้อยละ 20 กำลังขั้นต่ำอยู่ในเกณฑ์ที่ดี คือสูงกว่าร้อยละ 90 ของคอนกรีตควบคุม CT1W โดยคอนกรีต G1P20W ที่อายุ 180, 270 และ 360 วัน มีกำลังอัดเท่ากับ 374, 356 และ 359 กก./ซม.² หรือคิดเป็นร้อยละ 90, 91 และ 90 ของคอนกรีตควบคุม CT1W ตามลำดับ ส่วนคอนกรีต G1P30W และ G1P40W ที่อายุเดียวกันมีกำลังอัดเท่ากับ 302, 307, 308 และ 277, 281, 286 กก./ซม.² หรือคิดเป็นร้อยละ 78, 78, 78 และ 72, 72, 72 ของคอนกรีตควบคุม CT1W ตามลำดับ

4.5.4 กำลังอัดและร้อยละกำลังอัดของคอนกรีตที่ผสมเต้าป่าล์มน้ำมัน G2P

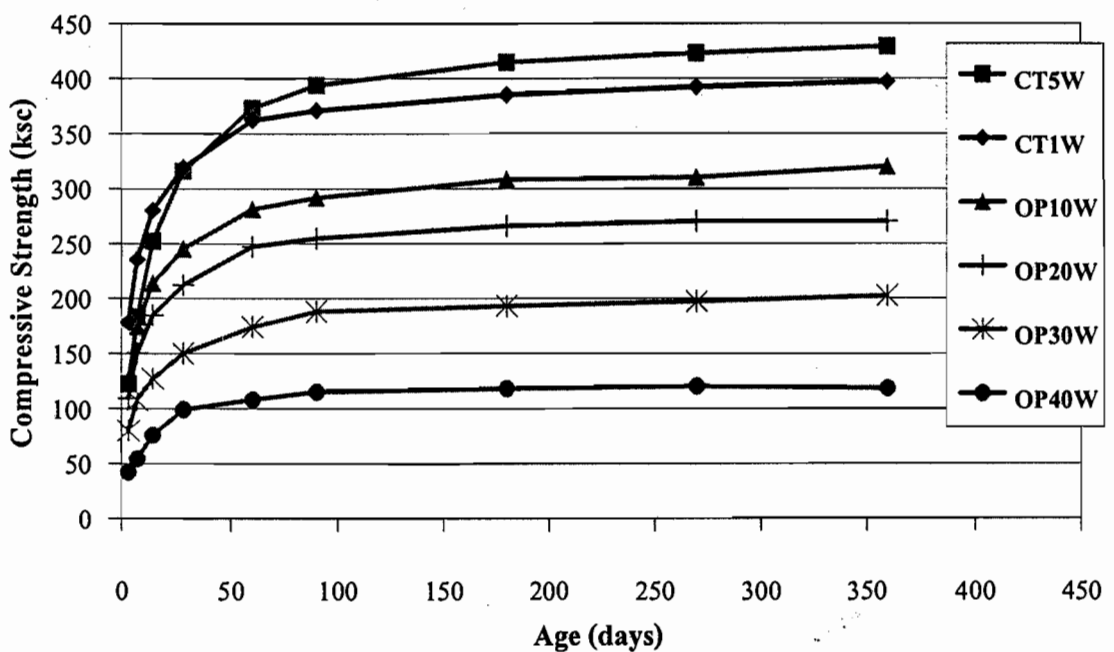
สำหรับเต้าป่าล์มน้ำมัน G2P ซึ่งบดละเอียดมากจนมีอนุภาคตั้งบนตะแกรงมาตรฐานเบอร์ 325 เพียงร้อยละ 1 ได้แสดงความสัมพันธ์ระหว่างกำลังอัดและร้อยละกำลังอัดกับอายุการทดสอบในรูปที่ 4.12 และ 4.13 ตามลำดับ พบว่าที่อัตราส่วนการแทนที่เดียวกัน คอนกรีตที่ผสมเต้าป่าล์มน้ำมัน G2P มีกำลังอัดสูงขึ้นกว่าคอนกรีตที่ผสมเต้าป่าล์มน้ำมัน G1P โดยที่อัตราส่วนการแทนที่ร้อยละ 10 และ 20 มีค่ากำลังอัดมากกว่าร้อยละ 90 ของคอนกรีตควบคุม CT1W ตั้งแต่ที่อายุ 3 วัน และมีค่ากำลังอัดสูงกว่าคอนกรีตควบคุม CT1W ที่อายุ 7 และ 60 วัน ตามลำดับ ส่วนการแทนที่ร้อยละ 30 กำลังอัดมีค่าสูงกว่า

ร้อยละ 90 ของคอนกรีตควบคุม CT1W ที่อายุ 28 วัน โดยคอนกรีต G2P10W, G2P20W, G2P30W และ G2P40W ที่อายุ 3 และ 7 วัน มีกำลังอัดเท่ากับ 176, 170, 150, 117 และ 239, 230, 209, 182 กก./ซม.² หรือเท่ากับร้อยละ 99, 96, 84, 66 และ 102, 98, 89, 77 ของคอนกรีตควบคุม CT1W ตามลำดับ สังเกตว่าอัตราส่วนการแทนที่ร้อยละ 10 ยังคงเป็นอัตราส่วนผสมเดียวกับความสามารถพัฒนากำลังอัดได้สูงกว่าคอนกรีตควบคุม CT1W และที่อัตราส่วนการแทนที่ร้อยละ 40 ของคอนกรีต G2P40W ลดลงจากที่อายุ 3 วันไปแล้ว มีการพัฒนากำลังอัดที่คึกคักกว่าของคอนกรีต G1P40W มาก ส่วนที่อายุ 14 และ 28 วัน กำลังอัดมีค่าเท่ากับ 285, 275, 248, 237 และ 319, 316, 301, 275 กก./ซม.² หรือเท่ากับร้อยละ 102, 98, 88, 85 และ 100, 99, 94, 86 ของคอนกรีตควบคุม CT1W ตามลำดับ พบว่าที่อายุ 28 วัน ค่าร้อยละกำลังอัดเมื่อเทียบกับคอนกรีตควบคุม CT1W ของคอนกรีต G2P10 มีค่าลดลงจากที่อายุ 14 วัน ที่เป็นเช่นนี้อาจเนื่องมาจากการของถ้าป้าล์มน้ำมัน G2P ที่เล็กกว่าของปูนซีเมนต์ปอร์ตแลนด์ประเภทที่ 1 สามารถแทรกเข้าไปในช่วงว่างต่างๆ ของคอนกรีตทำให้คอนกรีตเกิดการอัดแน่น ในช่วงอายุต้นๆ กำลังอัดจึงมีค่าสูงกว่าคอนกรีตควบคุม CT1W [29]

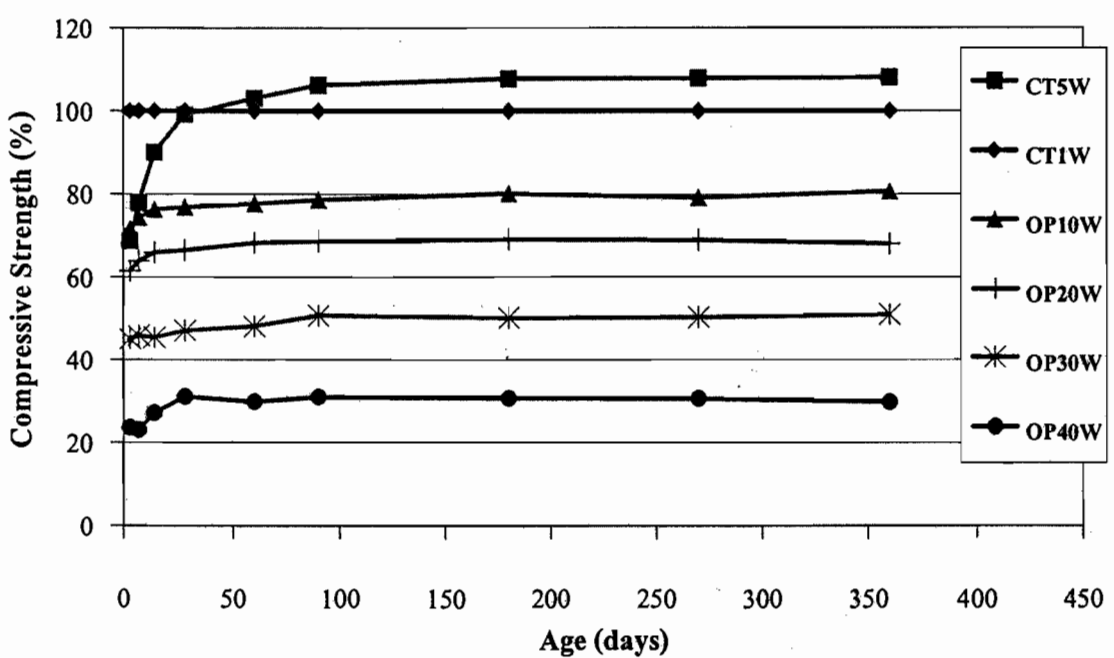
เมื่อพิจารณาที่อายุ 60 และ 90 วัน คอนกรีต G2P10W, G2P20W, G2P30W และ G2P40W มีกำลังอัดเท่ากับ 374, 370, 356, 317 และ 390, 386, 368, 322 กก./ซม.² หรือคิดเป็นร้อยละ 103, 102, 98, 88 และ 105, 104, 99, 87 ของคอนกรีตควบคุม CT1W ตามลำดับ จะเห็นได้ว่าคอนกรีตยังมีการพัฒนากำลังอัดสูงขึ้น โดยคอนกรีต G2P20W สามารถพัฒนากำลังอัดจนมีค่าสูงกว่าคอนกรีตควบคุม CT1W ได้ที่อายุ 60 วัน จากนั้นในช่วงอายุปลายกำลังอัดของคอนกรีตยังมีการพัฒนาขึ้นอย่างต่อเนื่อง โดยที่อายุ 180, 270 และ 360 วัน คอนกรีต G2P10W และ G2P20W ยังคงมีกำลังอัดสูงกว่าคอนกรีตควบคุม CT1W คือมีค่าเท่ากับ 400, 411, 419 และ 395, 405, 408 กก./ซม.² หรือคิดเป็นร้อยละ 104, 105, 106 และ 103, 103, 103 ของคอนกรีตควบคุม CT1W ตามลำดับ ส่วนคอนกรีต G2P30W ที่อายุเดียวกันกำลังอัดมีค่าใกล้เคียงกับคอนกรีตควบคุม CT1W โดยมีค่าเท่ากับ 376, 381 และ 388 กก./ซม.² หรือเท่ากับร้อยละ 98, 97 และ 98 ของคอนกรีตควบคุม CT1W ตามลำดับ

ความละเอียดของถ้าป้าล์มน้ำมันเป็นปัจจัยสำคัญที่ส่งผลโดยตรงต่อการพัฒนากำลังอัดของคอนกรีตให้คืบขึ้น เนื่องจากความละเอียดที่เพิ่มขึ้นทำให้ปฏิกิริยาปอชโซลานเกิดได้เร็วและคีบขึ้น นอกจากนี้ความละเอียดที่เพิ่มขึ้นของถ้าป้าล์มน้ำมันยังสามารถเข้าไปแทรกในช่องว่างต่างๆ ของคอนกรีตได้คีบขึ้นทำให้คอนกรีตเกิดการอัดแน่น สังเกตได้จากความหนาแน่น (Density) ของคอนกรีตที่ผสมถ้าป้าล์มน้ำมัน G2P มีค่าสูงกว่าคอนกรีตที่ผสมถ้าป้าล์มน้ำมัน G1P และ OP ตามลำดับ จากตารางในภาคผนวก ค คอนกรีต G2P40W มีค่าความหนาแน่นเฉลี่ยเท่ากับ 2347 กก./ม³ ส่วนคอนกรีต G1P40W

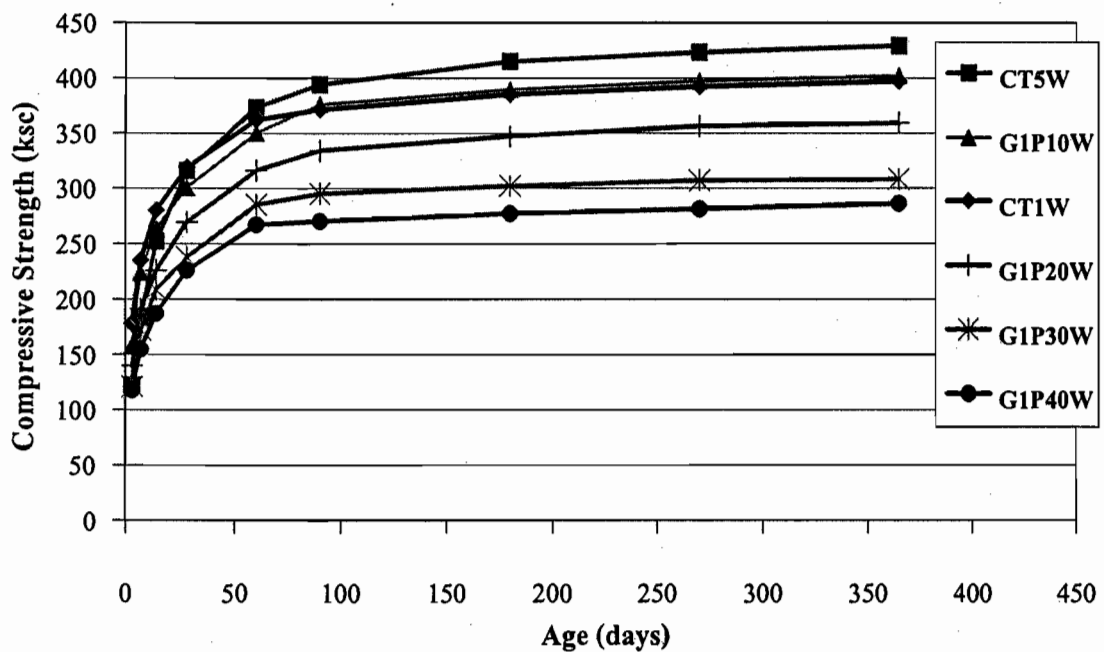
และ OP40W มีค่าความหนาแน่นเฉลี่ยเท่ากับ 2338 และ 2241 กก/m^3 ตามลำดับ ค่าความหนาแน่นที่เพิ่มขึ้นจากการอัดแน่นของถ้าปัลมน้ำมันที่มีความละเอียดสูงนี้ จึงทำให้คอนกรีตมีกำลังอัดสูงขึ้น ซึ่งการอัดแน่นของคอนกรีตยังส่งผลให้สามารถต้านทานการซึมผ่านจากสารละลายต่างๆ ได้ดีขึ้นอีกด้วย แต่อย่างไรก็ตามการเพิ่มอัตราการแทนที่ในปริมาณที่สูงขึ้น ส่งผลให้คอนกรีตมีกำลังอัดต่ำลง เนื่องจากการดูดน้ำของถ้าปัลมน้ำมันทำให้อัตราส่วนน้ำต่อวัสดุปะ万事สูงขึ้น และอัตราการแทนที่สูงทำให้ปริมาณปูนซีเมนต์ลดลงมาก ปริมาณ Ca(OH)_2 จึงเกิดขึ้นน้อย ดังนั้นกำลังอัดที่เกิดจากปฏิกิริยาปูนโซลานจึงอาจไม่สามารถชดเชยกำลังขัดที่ลดลงเนื่องจากการลดปริมาณของปูนซีเมนต์ได้



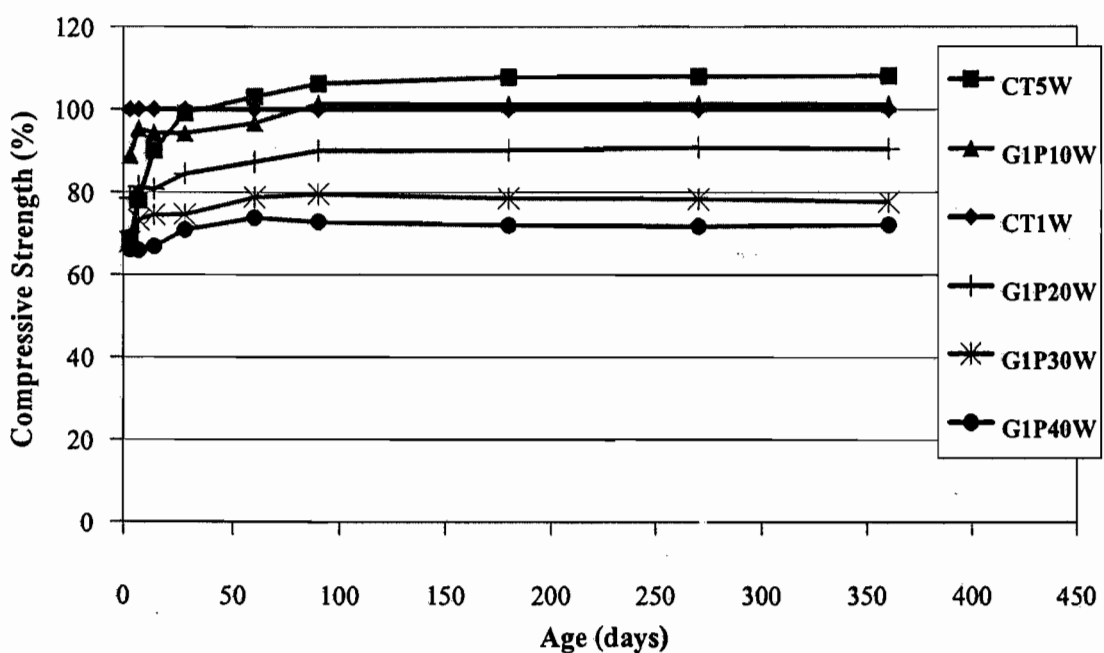
รูปที่ 4.8 ความสัมพันธ์ระหว่างกำลังอัดกับอายุบ่มในน้ำประปา
ของคอนกรีตที่ผสมเต้าป่าล้มน้ำมัน OP



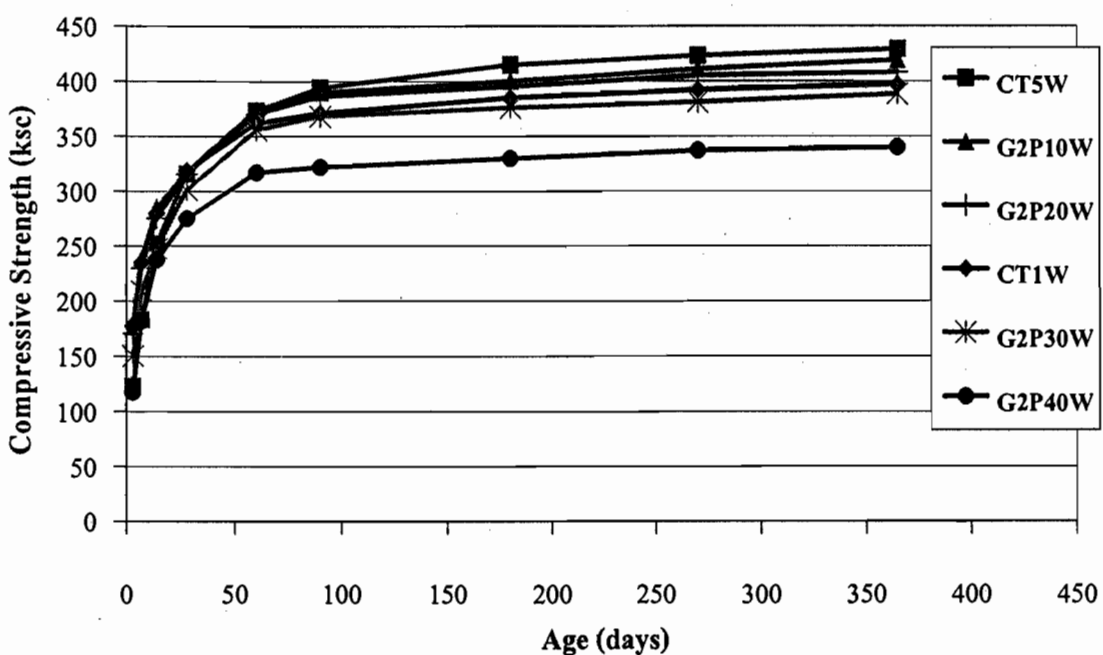
รูปที่ 4.9 ความสัมพันธ์ระหว่างร้อยละกำลังอัดกับอายุบ่มในน้ำประปา
ของคอนกรีตที่ผสมเต้าป่าล้มน้ำมัน OP



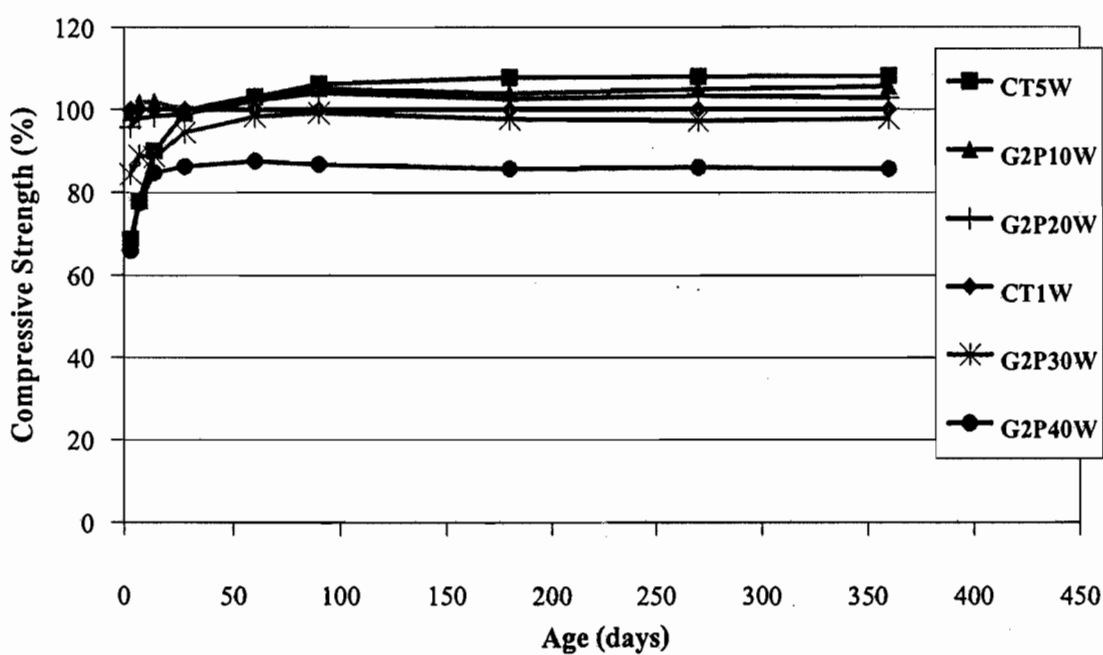
รูปที่ 4.10 ความสัมพันธ์ระหว่างกำลังอัดกับอายุบ่มในน้ำประปา
ของคอนกรีตที่ผสมเต้าป่าล้มน้ำมัน G1P



รูปที่ 4.11 ความสัมพันธ์ระหว่างร้อยละกำลังอัดกับอายุบ่มในน้ำประปา
ของคอนกรีตที่ผสมเต้าป่าล้มน้ำมัน G1P

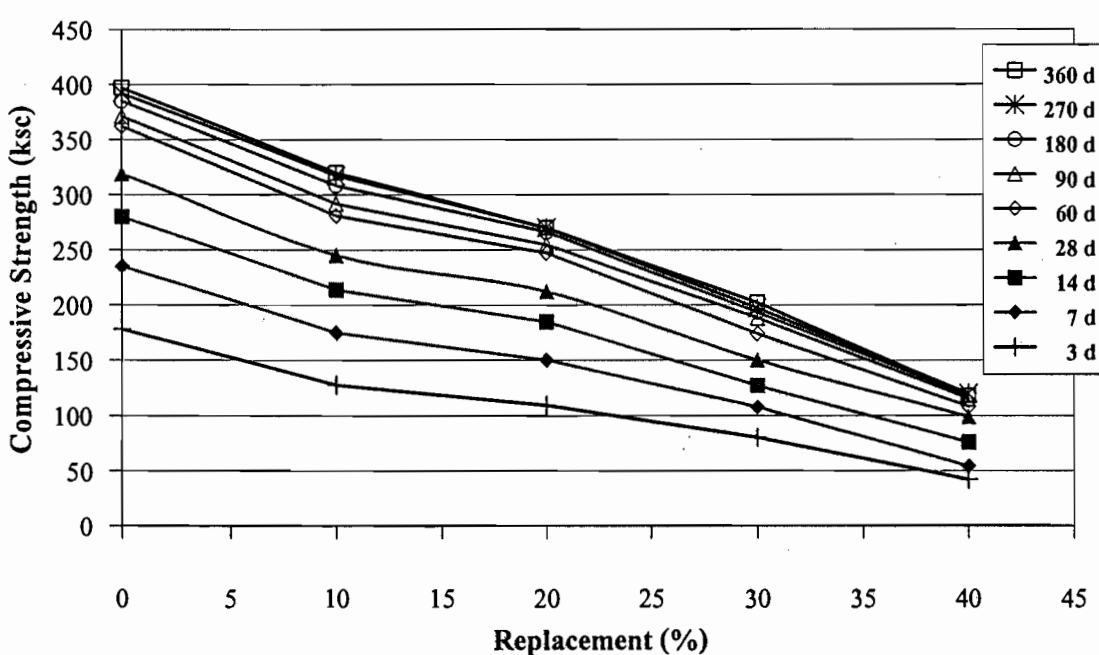


รูปที่ 4.12 ความสัมพันธ์ระหว่างกำลังอัดกับอายุบ่มในน้ำประปา
ของคอนกรีตที่ผสมเต้าป่าล์มน้ำมัน G2P

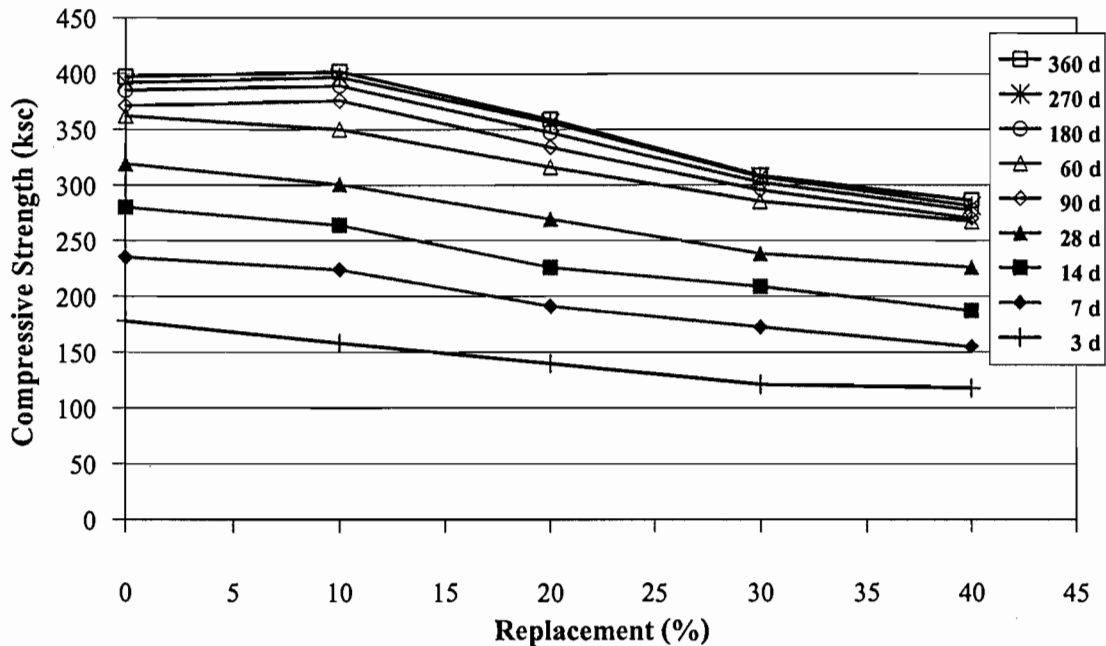


รูปที่ 4.13 ความสัมพันธ์ระหว่างร้อยละกำลังอัดกับอายุบ่มในน้ำประปา
ของคอนกรีตที่ผสมเต้าป่าล์มน้ำมัน G2P

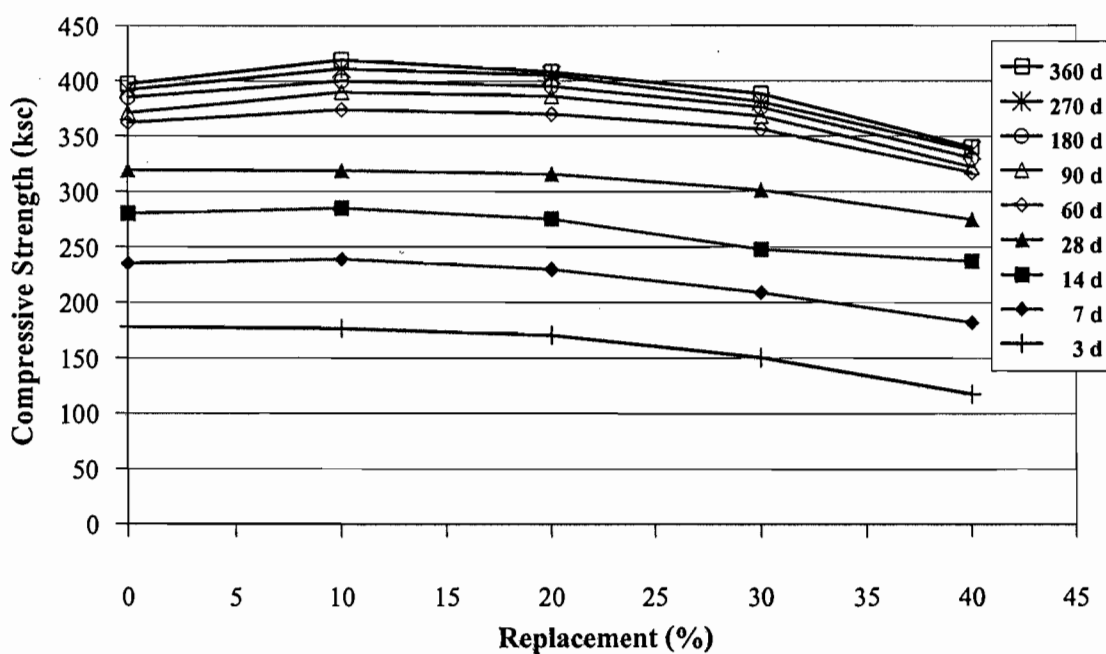
4.5.5 ความสัมพันธ์ระหว่างปริมาณการแทนที่ถ้าปะลំនោមันและกำลังอัดของคอนกรีต เมื่อพิจารณาความสัมพันธ์ระหว่างปริมาณการแทนที่กับกำลังอัดที่อายุต่างๆ ของคอนกรีตซึ่งแทนที่ด้วยถ้าปะลំនោមันทั้ง 3 ขนาดความละเอียดในอัตราส่วนร้อยละ 0 ถึง 40 โดยนำหนักวัสดุประมาณดังแสดงในรูปที่ 4.14 ถึง 4.16 พบว่าคอนกรีตที่ผสมถ้าปะลំนោมัน OP ทุกอัตราส่วนผสมและทุกอายุ การทดสอบมีกำลังอัดต่ำกว่าคอนกรีตที่ไม่ผสมถ้าปะลំนោมัน (CT1W) และมีค่าลดลงเมื่อเพิ่มอัตราการแทนที่สูงขึ้น โดยกำลังอัดมีอัตราการลดลงอย่างรวดเร็ว สังเกตได้จากเส้นกราฟที่มีความชันมาก ดังแสดงในรูปที่ 4.14 ส่วนคอนกรีตที่ผสมถ้าปะลំนោมัน G1P และ G2P ในรูปที่ 4.15 และ 4.16 พบว่าคอนกรีตมีการพัฒนากำลังอัดดีขึ้นกว่าคอนกรีตที่ผสมถ้าปะลំนោมัน OP มาก โดยในช่วงอายุต้น คอนกรีตมีการพัฒนากำลังอัดสูงขึ้นอย่างต่อเนื่อง สังเกตจากเส้นกราฟของแต่ละอายุที่มีระยะห่างมากกว่าเส้นกราฟของคอนกรีตที่ผสมถ้าปะลំนោมัน OP ซึ่งที่การแทนที่ร้อยละ 10 ของถ้าปะลំนោมันทั้ง G1P และ G2P เป็นอัตราส่วนที่มีกำลังอัดสูงสุด โดยมีค่าสูงกว่าคอนกรีตที่ไม่ผสมถ้าปะลំนោมัน (CT1W) ที่อายุ 90 และ 7 วัน ตามลำดับ และกำลังอัดมีค่าลดลงเมื่อเพิ่มอัตราการแทนที่สูงขึ้น อย่างไรก็ตามการแทนที่ร้อยละ 20 และ 30 ของถ้าปะลំนោมัน G1P และ G2P ตามลำดับ คอนกรีตยังคงมีกำลังอัดใกล้เคียงกับคอนกรีตที่ไม่ผสมถ้าปะลំนោมัน (CT1W)



รูปที่ 4.14 ความสัมพันธ์ระหว่างปริมาณการแทนที่กับกำลังอัดที่อายุต่างๆ ของคอนกรีต ที่ผสมถ้าปะลំនោมัน OP



รูปที่ 4.15 ความสัมพันธ์ระหว่างปริมาณการแทนที่กับกำลังอัดที่อายุต่างๆ ของคอนกรีต
ที่ผสมถ่านปาล์มน้ำมัน G1P



รูปที่ 4.16 ความสัมพันธ์ระหว่างปริมาณการแทนที่กับกำลังอัดที่อายุต่างๆ ของคอนกรีต
ที่ผสมถ่านปาล์มน้ำมัน G2P

4.6 กำลังอัดของคอนกรีตที่แข็งในสารละลายแมกนีเซียมชัลเฟต

ตารางที่ 4.5 แสดงผลการทดสอบกำลังอัดของคอนกรีตที่แข็งในสารละลายแมกนีเซียมชัลเฟต ความเข้มข้นร้อยละ 5 โดยนำหนักซึ่งตัวอย่างคอนกรีตที่ใช้ในการทดสอบนี้เป็นคอนกรีตที่มีอัตราส่วนผสมและปริมาณน้ำเช่นเดียวกับตัวอย่างคอนกรีตที่บ่มในน้ำประปา โดยเริ่มทำการทดสอบ กำลังอัดที่อายุ 60 วัน จนถึง 360 วัน

4.6.1 กำลังอัดของคอนกรีตควบคุม CT1S และ CT5S

จากความสัมพันธ์ระหว่างกำลังอัดกับเวลาที่แข็งในสารละลายแมกนีเซียมชัลเฟตของคอนกรีตควบคุม CT1S และ CT5S ในรูปที่ 4.17 พบว่าที่อายุ 60 ถึง 180 วันของการทดสอบ คอนกรีตควบคุมทั้งสองนี้ การพัฒนากำลังอัดเพิ่มขึ้นอย่างต่อเนื่อง โดยคอนกรีตควบคุม CT5S มีกำลังอัดสูงกว่าคอนกรีตควบคุม CT1S ทุกอายุการทดสอบ ที่เป็นเช่นนี้ เพราะว่าปูนซีเมนต์ปอร์ตแลนด์ประเภทที่ 5 มี C_2S ซึ่งเป็นองค์ประกอบที่ทำให้เกิดการพัฒนากำลังอัดในช่วงอายุปลายในปริมาณที่สูงกว่าปูนซีเมนต์ปอร์ตแลนด์ประเภทที่ 1 โดยคอนกรีตควบคุม CT1S ที่อายุ 60, 90 และ 180 วัน มีกำลังอัดเท่ากับ 359, 376 และ 393 กก./ซม.² ตามลำดับ ส่วนคอนกรีตควบคุม CT5S ที่อายุเดียวกัน มีกำลังอัดเท่ากับ 375, 399 และ 431 กก./ซม.² หลังจากนั้นที่อายุ 270 วัน กำลังอัดของคอนกรีตควบคุม CT1S เริ่มน้ำค่าลดลง ในขณะที่ คอนกรีต CT5S ยังคงมีกำลังอัดเพิ่มขึ้นอีกเล็กน้อย โดยคอนกรีตควบคุม CT1S และ CT5S ที่อายุ 270 วัน มีกำลังอัดเท่ากับ 390 และ 432 กก./ซม.² ตามลำดับ และเมื่อพิจารณาที่อายุ 360 วัน พบว่ากำลังอัดของ คอนกรีตควบคุม CT1S มีค่าลดลงเหลือ 385 กก./ซม.² ซึ่งลดลงจากที่อายุ 180 วัน เท่ากับ 8 กก./ซม.² ค่ากำลังอัดที่ลดลงอย่างต่อเนื่องนี้อาจเป็นสารละลายแมกนีเซียมชัลเฟตได้ซึมเข้าไปในคอนกรีต และทำลาย C-S-H ทำให้กำลังอัดมีค่าลดลง ส่วนคอนกรีตควบคุม CT5S ที่อายุ 360 วัน มีกำลังอัดเท่ากับ 427 กก./ซม.² ซึ่งมีค่าลดลงจากที่อายุ 270 วันเพียงเล็กน้อย

สังเกตได้ว่าคอนกรีตควบคุม CT5S มีกำลังอัดที่ลดลงน้อยกว่าและมีอัตราการลดลงของกำลังอัด ช้ากว่าคอนกรีตควบคุม CT1S แสดงให้เห็นว่าคอนกรีตควบคุมที่ใช้ปูนซีเมนต์ปอร์ตแลนด์ประเภทที่ 5 เป็นวัสดุประสาน มีความต้านทานสารละลายแมกนีเซียมชัลเฟตได้ดีกว่าคอนกรีตควบคุมที่ใช้ปูนซีเมนต์ปอร์ตแลนด์ประเภทที่ 1 เป็นวัสดุประสาน ซึ่งให้ผลสอดคล้องกับการศึกษาที่ผ่านมาของ วีรชาติ ตั้งจริภัทร [28], ปราการ ทองประไพ [45] และพิชญา ธีระนิตร [46] ที่เป็นเช่นนี้เนื่องจากองค์ประกอบทางเคมีของปูนซีเมนต์ปอร์ตแลนด์ประเภทที่ 1 ที่มาจากจะมี C_3A ที่ส่งผลต่อการกัดกร่อนของชัลเฟตในปริมาณที่มากกว่าแล้ว ซึ่งมีอัตราส่วนของ C_3S/C_2S สูงกว่าปูนซีเมนต์ปอร์ตแลนด์ประเภทที่ 5 ถึง 2 เท่า ซึ่งปูนซีเมนต์ที่มีปริมาณ C_3S มากหรือน้อยอัตราส่วนของ C_3S/C_2S สูง ส่งผลให้เกิดการกัดกร่อนเนื่องจากชัลเฟตได้ง่ายกว่าปูนซีเมนต์ที่มีปริมาณ C_3S น้อยหรือน้อยอัตราส่วน C_3S/C_2S ตาม [16, 17, 18]

ตารางที่ 4.5 กำลังอัดและร้อยละกำลังอัดของคอนกรีตที่แข็งในสารละลายน้ำกันเชื้อราชั้นเฟต

Mixes	W/B	Slump (cm)	Compressive Strength (ksc)				
			Normalized Compressive Strength (%)				
			60 days	90 days	180 days	270 days	360 days
CT1S	0.70	6.5	359 100	376 100	393 100	390 100	385 100
CT5S	0.70	6.5	375 104	399 106	431 110	432 111	427 111
OP10S	0.72	6.5	278 77	300 80	325 83	332 85	340 88
OP20S	0.77	6.0	244 68	265 70	286 73	289 74	287 75
OP30S	0.87	8.0	177 49	190 51	206 52	213 55	212 55
OP40S	0.95	8.0	113 31	121 32	131 33	133 34	123 32
G1P10S	0.72	8.0	347 97	380 101	403 103	413 106	410 106
G1P20S	0.73	7.5	317 88	341 91	370 94	377 97	366 95
G1P30S	0.73	7.0	288 80	306 81	330 84	333 85	315 82
G1P40S	0.74	7.0	269 75	281 75	302 77	308 79	289 75
G2P10S	0.68	5.5	383 107	408 109	440 112	449 115	431 112
G2P20S	0.70	6.0	377 105	398 106	429 109	433 111	414 108
G2P30S	0.71	6.0	361 101	380 101	407 104	413 106	394 102
G2P40S	0.72	6.0	321 89	339 90	358 91	366 94	342 89

หมายเหตุ : ส่วนที่แรเงาหมายถึงคอนกรีตที่สมเก้าปีแล้วมีกำลังอัดเท่ากับหรือมากกว่าคอนกรีตควบคุม CT1S

4.6.2 กำลังอัดและร้อยละกำลังอัดของคอนกรีตที่ผสมถ้าปั๊มน้ำมัน OP

จากความสัมพันธ์ระหว่างกำลังอัดกับเวลาที่ใช้ในสารละลายแมกนีเซียมซัลเฟตของคอนกรีตที่ผสมถ้าปั๊มน้ำมัน OP ในรูปที่ 4.19 พบร่วมกันที่มีส่วนผสมของถ้าปั๊มน้ำมัน OP ทุกอัตราการแทนที่มีการพัฒนากำลังอัดต่ำ และการแทนที่ในอัตราส่วนที่สูงขึ้นยิ่งทำให้กำลังอัดมีค่าต่ำลง โดยมีค่าต่ำกว่าคอนกรีตควบคุม CT1S และ CTSS ตลอดอายุการทดสอบเช่นเดียวกับคอนกรีตที่ผสมถ้าปั๊มน้ำมัน OP ที่บ่มในน้ำประปา โดยคอนกรีต OP10S, OP20S, OP30S และ OP40S ที่อายุ 60 และ 90 วัน มีกำลังอัดเท่ากับ 278, 244, 177, 113 และ 300, 265, 190, 121 กก./ซม.² และมีค่าเพิ่มขึ้นเป็น 325, 286, 206 และ 131 กก./ซม.² ที่อายุ 180 วัน หลังจากนั้นกำลังอัดของคอนกรีตที่ผสมถ้าปั๊มน้ำมัน OP ทุกอัตราส่วนผสมเริ่มน้ำค้างที่ โดยที่อายุ 270 วัน คอนกรีตมีกำลังอัดเท่ากับ 332, 289, 213 และ 133 กก./ซม.² และเมื่อพิจารณาที่อายุ 360 วัน พบร่วมกันที่กำลังอัดของถังคงมีค่าเพิ่มขึ้น โดยคอนกรีต OP10S ที่อายุ 360 วัน มีกำลังอัดเท่ากับ 340 กก./ซม.² ส่วนอัตราการแทนที่อื่นๆ มีค่ากำลังอัดลดลงเล็กน้อย โดยคอนกรีต OP20S, OP30S และ OP40S ที่อายุ 360 วัน มีกำลังอัดเท่ากับ 287, 212 และ 123 กก./ซม.² ตามลำดับ ซึ่งลดลงจากที่อายุ 270 วัน เท่ากับ 2, 1 และ 10 กก./ซม.² ตามลำดับ

เห็นได้ว่าที่อัตราส่วนการแทนที่ร้อยละ 10 กำลังอัดของคอนกรีตยังไม่ลดลง ส่วนการแทนที่ร้อยละ 20, 30 และ 40 กำลังอัดของคอนกรีตมีค่าลดลงเพียงเล็กน้อย ซึ่งกำลังอัดที่ลดลงนี้ยังไม่สามารถออกได้ว่าเกิดจากผลกระทบของสารละลายแมกนีเซียมซัลเฟต และเมื่อพิจารณารูปที่ 4.20 พบร่วมกันตัวอย่างคอนกรีตยังคงอยู่ในสภาพที่สมบูรณ์ มีเพียงคราบสีขาวเคลือบอยู่ที่ผิว เช่นเดียวกับก้อนตัวอย่างคอนกรีตควบคุม CT1S และ CTSS (รูปที่ 4.18) ซึ่งคราบสีขาวที่เคลือบอยู่ที่ผิวนี้คือ แมกนีเซียมไครอไซด์ ($Mg(OH)_2$) หรือ Brucite และแคลเซียมซัลเฟต ($CaSO_4$) หรือ บิชั่ม (Gypsum) ที่เกิดจากการทำปฏิกิริยาของสารละลายแมกนีเซียมซัลเฟต ($MgSO_4$) กับแคลเซียมไครอไซด์ ($Ca(OH)_2$) [47, 48]

4.6.3 กำลังอัดและร้อยละกำลังอัดของคอนกรีตที่ผสมถ้าปั๊มน้ำมัน G1P

รูปที่ 4.21 แสดงความสัมพันธ์ระหว่างกำลังอัดกับเวลาที่ใช้ในสารละลายแมกนีเซียมซัลเฟตของคอนกรีตที่ผสมถ้าปั๊มน้ำมัน G1P พบร่วมกับที่อายุ 60 วัน กำลังอัดของคอนกรีตที่ผสมถ้าปั๊มน้ำมัน G1P ในทุกอัตราส่วนการแทนที่มีค่าต่ำกว่าคอนกรีตควบคุมทั้ง 2 ประเภท โดยมีค่าเท่ากับ 347, 317, 288 และ 269 กก./ซม.² สำหรับคอนกรีต G1P10S, G1P20S, G1P30S และ G1P40S ตามลำดับ ต่อมาที่อายุ 90 และ 180 วัน คอนกรีตมีการพัฒนากำลังอัดเพิ่มขึ้นเป็น 380, 341, 306, 281 และ 403, 370, 330, 302 กก./ซม.² ตามลำดับ สังเกตได้ว่าที่อัตราส่วนการแทนที่ร้อยละ 10 เป็นส่วนผสมเดียวที่มีค่ากำลังอัดสูงกว่าคอนกรีตควบคุม CT1S ส่วนการแทนที่อื่นๆ กำลังอัดมีค่าลดลงตามอัตราการแทนที่ที่เพิ่มขึ้นเนื่องจากถ้าปั๊มน้ำมัน G1P เมื่อว่าจะผ่านการบดให้มีความละเอียดสูงขึ้นแล้ว แต่ยังคงมีความพรุน

หลงเหลืออยู่ในอนุภาค จึงทำให้อัตราส่วนน้ำต่อวัสดุประสานสูงขึ้นเมื่อมีการเพิ่มการแทนที่ กำลังอัด จึงมีค่าลดลง และที่อายุ 270 วัน กำลังอัดของคอนกรีตที่ผสมถ้าปานั้นมี G1P ทุกอัตราส่วนผสม มีค่าเพิ่มขึ้นเล็กน้อย คือเท่ากับ 413, 377, 333 และ 308 กก./ซม.² ตามลำดับ แต่หลังจากนั้นกำลังอัดของ คอนกรีตเริ่มน้ำค่าลดลง โดยที่อายุ 360 วัน คอนกรีต G1P10S, G1P20S, G1P30S และ G1P40S มีค่า กำลังอัดเท่ากับ 410, 366, 315 และ 289 กก./ซม.² ตามลำดับ ซึ่งลดลงจากที่อายุ 270 วัน เท่ากับ 3, 11, 18 และ 19 กก./ซม.² ตามลำดับ เมื่อว่าคอนกรีตที่ผสมถ้าปานั้นมี G1P ทุกอัตราส่วนการแทนที่มีกำลังอัด ลดลงที่อายุ 360 วัน แต่คอนกรีต G1P10S ยังคงมีค่ากำลังอัดที่สูงกว่าคอนกรีตควบคุม CT1S เท่ากับ ร้อยละ 6 และเมื่อเปรียบเทียบกับคอนกรีตควบคุม CTSS พบว่าคอนกรีตที่ผสมถ้าปานั้นมี G1P ทุก อัตราส่วนผสมมีกำลังอัดต่างกว่าคอนกรีตควบคุม CTSS ในทุกอายุการทดสอบ และเมื่อพิจารณาภายนอก ตัวอย่างคอนกรีตที่ผสมถ้าปานั้นมี G1P จากชุดที่ 4.22 พบว่าก้อนตัวอย่างคอนกรีตมี Brucite และ ไขบชั้น เคลือบอยู่ที่ผิวเป็นคราบสีขาว เช่นเดียวกับก้อนตัวอย่างคอนกรีตที่ผสมถ้าปานั้นมี OP และ ยังคงอยู่ในสภาพที่ดี มีเพียงบริเวณขอบเท่านั้นที่เกิดการหลุดร่อนของเนื้อคอนกรีตเพียงเล็กน้อย

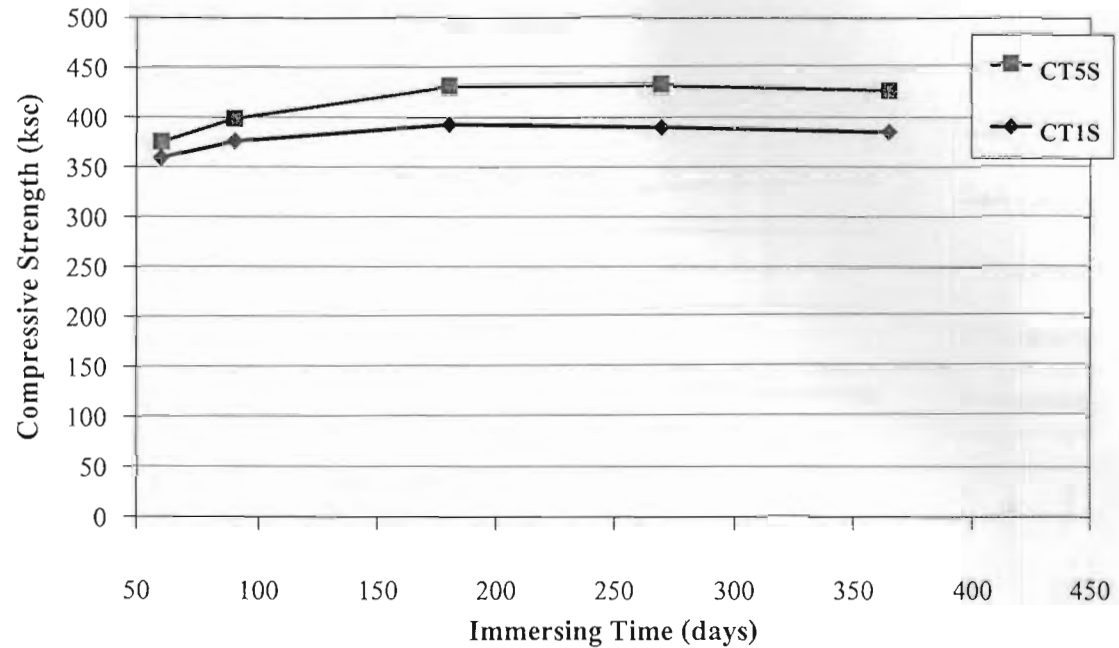
4.6.4 กำลังอัดและร้อยละกำลังอัดของคอนกรีตที่ผสมถ้าปานั้นมี G2P

ความสัมพันธ์ระหว่างกำลังอัดกับเวลาที่ใช้ในสารละลายแมกนีเซียมชัลเฟตของคอนกรีตที่ผสมถ้าปานั้นมี G2P แสดงในรูปที่ 4.23 พบว่าคอนกรีตที่ผสมถ้าปานั้นมี G2P ในอัตราส่วนร้อยละ 10, 20 และ 30 โดยน้ำหนักวัสดุประสาน มีกำลังอัดสูงกว่าคอนกรีตควบคุม CT1S ตลอดอายุการใช้ใน สารละลายแมกนีเซียมชัลเฟต โดยที่อายุ 60, 90, 180 และ 270 วัน คอนกรีต G2P10S และ G2P20S มี กำลังอัดเท่ากับ 383, 408, 440, 449 และ 377, 398, 429, 433 กก./ซม.² ตามลำดับ ส่วนคอนกรีต G2P30S และ G2P40S ที่อายุเดียวกันมีกำลังอัดเท่ากับ 361, 380, 407, 413 และ 321, 339, 358, 366 กก./ซม.² ตามลำดับ เห็นได้ว่าคอนกรีตที่ผสมถ้าปานั้นมี G2P ทุกอัตราส่วนผสม สามารถพัฒนากำลังอัด ให้สูงขึ้นได้อย่างต่อเนื่องแม้ว่าจะใช้ในสารละลายแมกนีเซียมชัลเฟต ซึ่งในช่วงอายุนี้เมื่อเปรียบเทียบกับ คอนกรีตควบคุม CT1S พบว่ากำลังอัดของคอนกรีตควบคุม CT1S มีการพัฒนาที่น้อยกว่า และมีค่า ลดลงหลังจากที่อายุ 180 วัน ไปแล้ว นอกจากนี้เมื่อเปรียบเทียบกับคอนกรีตควบคุม CTSS เห็นได้ว่า คอนกรีต G2P10S และ G2P20S มีกำลังอัดที่สูงกว่าและใกล้เคียงกับคอนกรีตควบคุม CTSS ตามลำดับ และเมื่ออายุการใช้ในสารละลายแมกนีเซียมชัลเฟตเพิ่มเป็น 360 วัน พบว่าคอนกรีตที่ผสมถ้าปานั้nm น้ำมัน C2P ทุกอัตราส่วนผสมมีกำลังอัดลดลง โดยคอนกรีต G2P10S, G2P20S, G2P30S และ G2P40S ที่อายุ 360 วัน มีกำลังอัดเท่ากับ 431, 414, 394 และ 342 กก./ซม.² ตามลำดับ ซึ่งลดลงจากที่ อายุ 270 วันเท่ากับ 18, 19, 19 และ 24 กก./ซม.² ตามลำดับ แต่คอนกรีต G2P10S ยังคงมีกำลังอัดที่สูง กว่าคอนกรีตควบคุม CTSS และจากชุดที่ 4.24 จะเห็นว่าก้อนตัวอย่างคอนกรีตที่ผสมถ้าปานั้nm น้ำมัน G2P เกิดการหลุดร่อนของเนื้อคอนกรีตเฉพาะที่บริเวณขอบเท่านั้น ซึ่งไม่รุนแรงมากนักหากพิจารณา

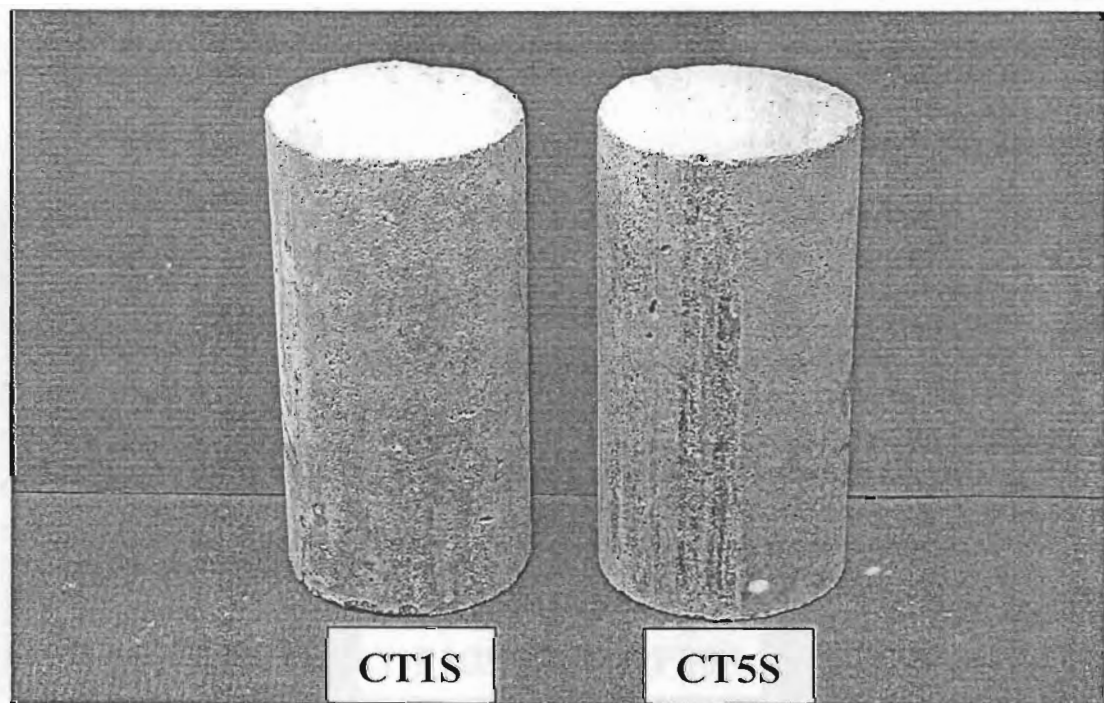
โดยรวมแล้วก้อนตัวอย่างคอนกรีตยังอยู่ในสภาพที่ดี โดยมี Brucite และขิบชั่น เคลือบที่ผิวของก้อนตัวอย่างคอนกรีต เช่นเดียวกับก้อนตัวอย่างคอนกรีตที่ผสมถ้าปัลมน้ำมัน OP และ G1P

จากการทดสอบกำลังอัดของคอนกรีตที่ใช้ถ้าปัลมน้ำมัน OP, G1P และ G2P แทนที่ปูนซีเมนต์ ปอร์ตแลนด์ประเภทที่ 1 ในอัตราส่วนร้อยละ 10 ถึง 40 โดยน้ำหนักวัสดุประมาณ และแฟร์ในสารละลายแมกนีเซียมชัลเฟต ความเข้มข้นร้อยละ 5 โดยน้ำหนัก เป็นเวลา 360 วัน พบว่ากำลังอัดของคอนกรีตที่ผสมถ้าปัลมน้ำมันทั้ง 3 ขนาดความละเอียด มีการพัฒนาขึ้นอย่างต่อเนื่องแม้จะในสารละลายแมกนีเซียมชัลเฟต แต่หลังจากที่อายุ 180 วัน กำลังอัดเริ่มมีค่าคงที่หรือมีการเปลี่ยนแปลงน้อยมาก และมีค่าลดลงหลังจากที่อายุ 270 วันไปแล้ว โดยกำลังอัดของคอนกรีตที่ผสมถ้าปัลมน้ำมัน OP และ G1P ในอัตราส่วนร้อยละ 10, 20, 30 และ 40 ที่อายุ 360 วัน มีค่าลดลงจากที่อายุ 270 วัน เท่ากับ -8, 2, 1, 10 และ 3, 11, 18, 19 กก./ซม.² ตามลำดับ และเท่ากับ 18, 19, 19, 24 กก./ซม.² ตามลำดับ สำหรับคอนกรีตที่ผสมถ้าปัลมน้ำมัน G2P จากค่ากำลังอัดที่ลดลงนี้เห็นได้ว่าการเพิ่มอัตราส่วนการแทนที่ของถ้าปัลมน้ำมันให้สูงขึ้น โดยเฉพาะการแทนที่ในปริมาณที่สูงถึงร้อยละ 40 มีแนวโน้มทำให้เกิดการกัดกร่อนเนื่องจากสารละลายแมกนีเซียมชัลเฟตสูงขึ้น ที่เป็นเช่นนี้เป็นเพราะว่าอนุภาคของถ้าปัลมน้ำมันมีความพรุนสูง แม้ว่าจะผ่านการบดให้มีความละเอียดสูงขึ้นแล้ว แต่ถ้าปัลมน้ำมันยังคงมีความพรุนหลงเหลืออยู่ในอนุภาค จึงทำให้คอนกรีตที่ผสมถ้าปัลมน้ำมันมีอัตราส่วนน้ำต่อวัสดุประมาณสูงขึ้นตามการแทนที่ที่เพิ่มขึ้น ส่งผลให้คอนกรีตมีความหนาแน่นต่ำมีรูพรุนมาก ซึ่งทำให้เกิดการซึมผ่านของน้ำสูง เมื่อคอนกรีตมีการซึมผ่านของน้ำสูงจะทำให้เกิดการกัดกร่อนเนื่องจากสารละลายแมกนีเซียมชัลเฟตสูงขึ้นด้วย [49]

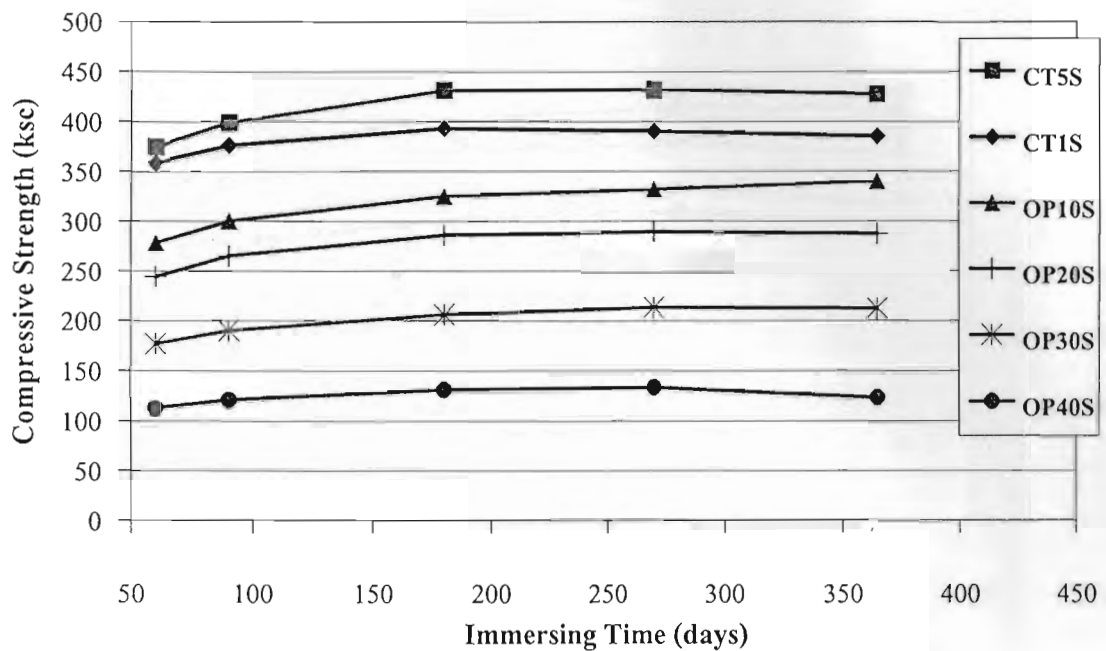
อีกเหตุผลหนึ่งก็คือการแทนที่ถ้าปัลมน้ำมันในปริมาณที่สูงทำให้เกิด C-S-H จากปฏิกิริยาปูชโซลานเพิ่มขึ้น แต่ C-S-H ที่เกิดจากปฏิกิริยาปูชโซลานมีโครงสร้างที่แข็งแรงน้อยกว่าและมีความไวต่อการทำปฏิกิริยากับแมกนีเซียมชัลเฟตมากกว่า C-S-H ที่เกิดจากปฏิกิริยาไไซเดรชัน [50, 51, 52] และจากสาเหตุนี้ยังส่งผลให้คอนกรีตที่ผสมถ้าปัลมน้ำมันที่มีความละเอียดสูงมีแนวโน้มทำให้กำลังอัดลดลง และเกิดการกัดกร่อนเนื่องจากสารละลายแมกนีเซียมชัลเฟตมากกว่าคอนกรีตที่ผสมถ้าปัลมน้ำมันที่มีความละเอียดต่ำ เพราะว่าถ้าปัลมน้ำมันที่มีความละเอียดสูงทำให้ C-S-H จากปฏิกิริยาปูชโซลานเกิดได้เร็วและมากกว่าถ้าปัลมน้ำมันที่มีความละเอียดต่ำ ดังนั้นจึงทำปฏิกิริยากับแมกนีเซียมชัลเฟตได้มากขึ้น ส่งผลให้เกิด M-S-H มากขึ้นตามไปด้วย ซึ่ง M-S-H ที่เกิดขึ้นนี้เป็นสารสีขาวนุ่มที่ไม่มีคุณสมบัติในการยึดประสาน [48, 51, 53] จึงทำให้คอนกรีตมีกำลังอัดลดลงและเกิดการทำลายร่องของเนื้อคอนกรีต โดยการทำลายร่องของเนื้อคอนกรีตเกิดขึ้นเพียงเล็กน้อยและนักเกิดที่บริเวณขอบของก้อนตัวอย่างคอนกรีต เนื่องจากบริเวณขอบเป็นส่วนที่มีความหนาต่ำสุด สารละลายแมกนีเซียมชัลเฟต จึงซึมผ่านเข้าไปในเนื้อคอนกรีตได้ง่าย การหดตัวร่องส่วนใหญ่จึงเกิดขึ้นที่บริเวณดังกล่าว



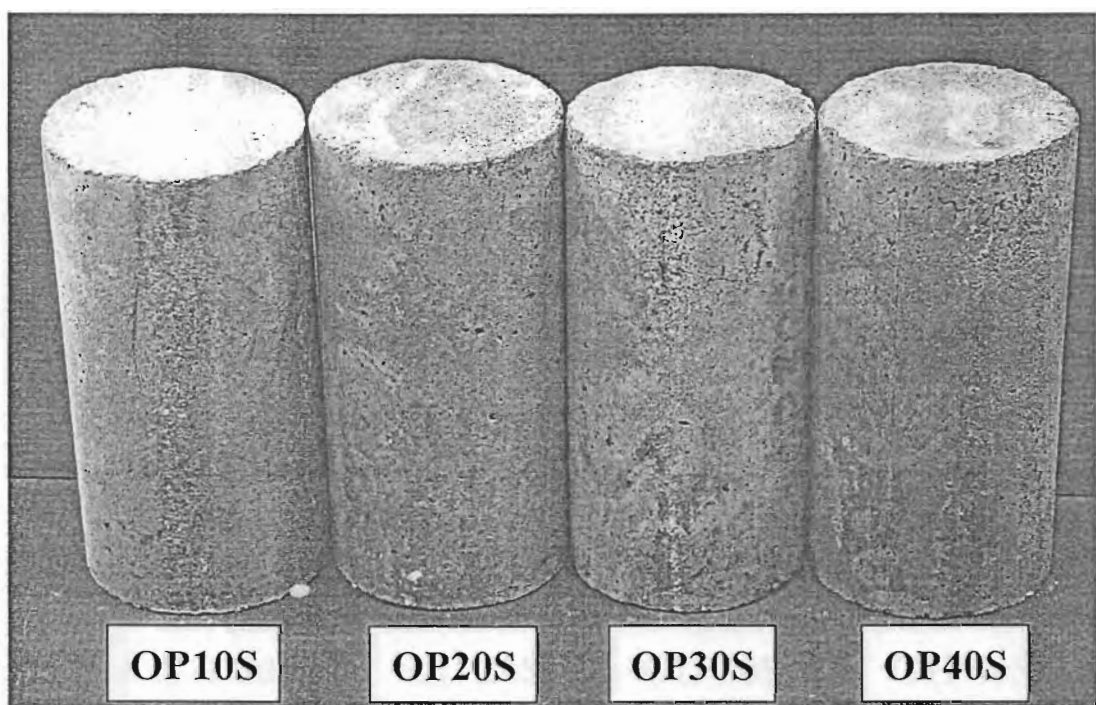
รูปที่ 4.17 ความสัมพันธ์ระหว่างกำลังอัดกับเวลาที่แช่ในสารละลายแมกนีเซียมซัลเฟตของคอนกรีตควบคุม CT1S และ CT5S



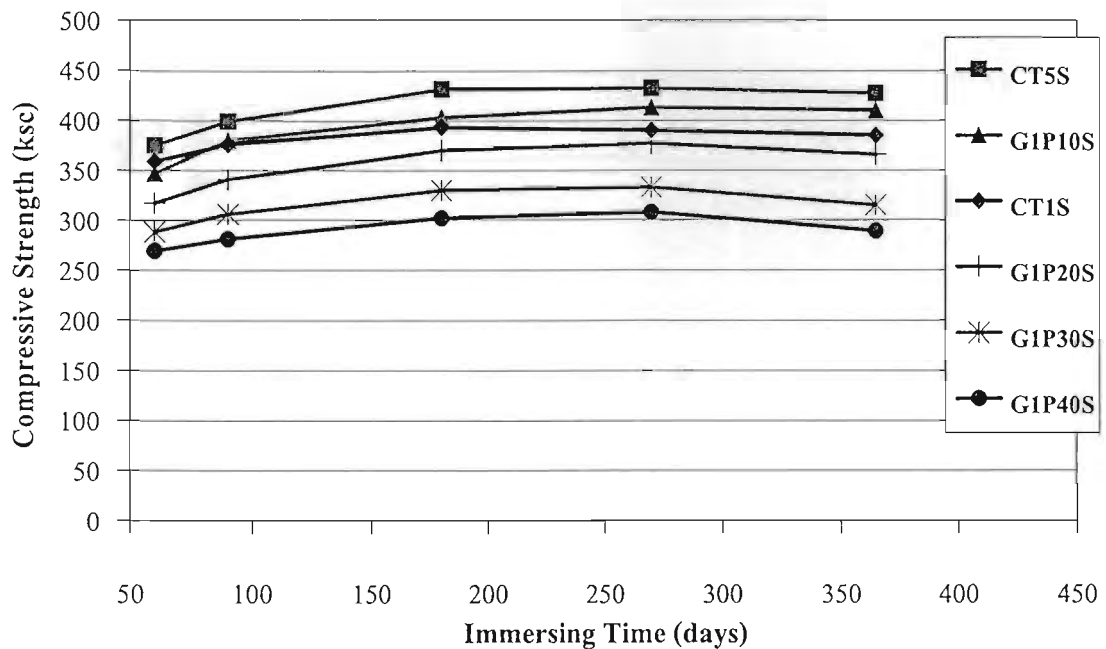
รูปที่ 4.18 คอนกรีตควบคุม CT1S และ CT5S ที่แช่ในสารละลายแมกนีเซียมซัลเฟตเป็นเวลา 360 วัน



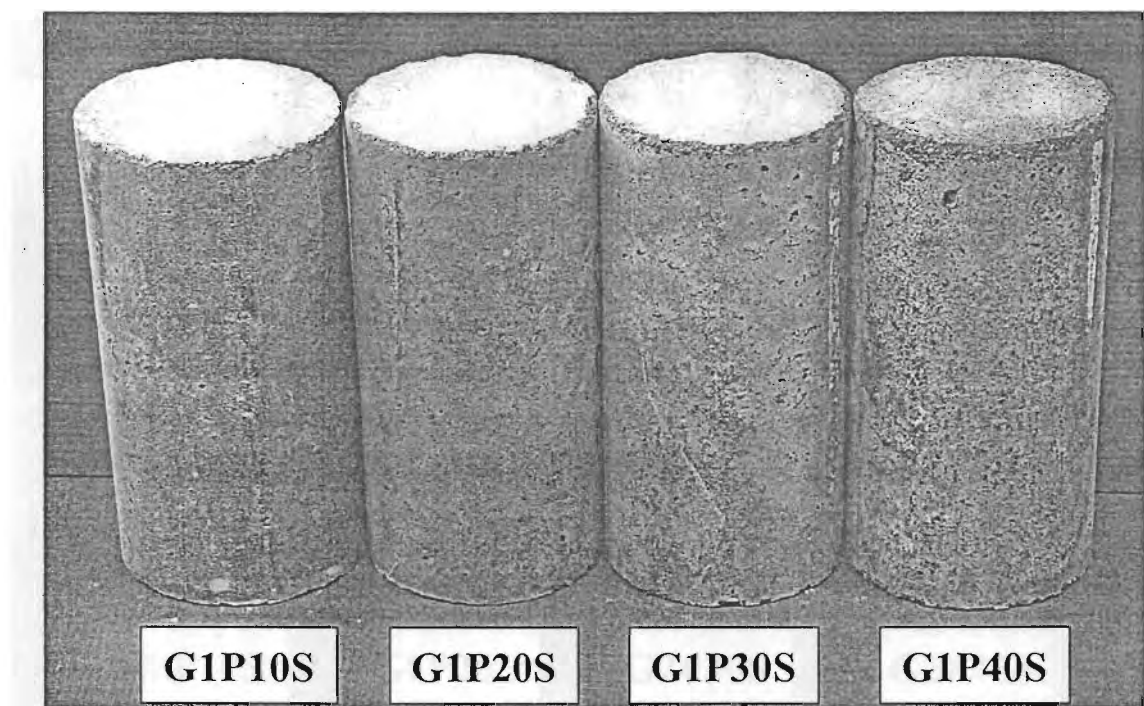
รูปที่ 4.19 ความสัมพันธ์ระหว่างกำลังอัดกับเวลาที่แช่ในสารละลายแมgnีเซียมซัลเฟตของคอนกรีตที่ผสมถ้าปอล์ฟิน้ำมัน OP



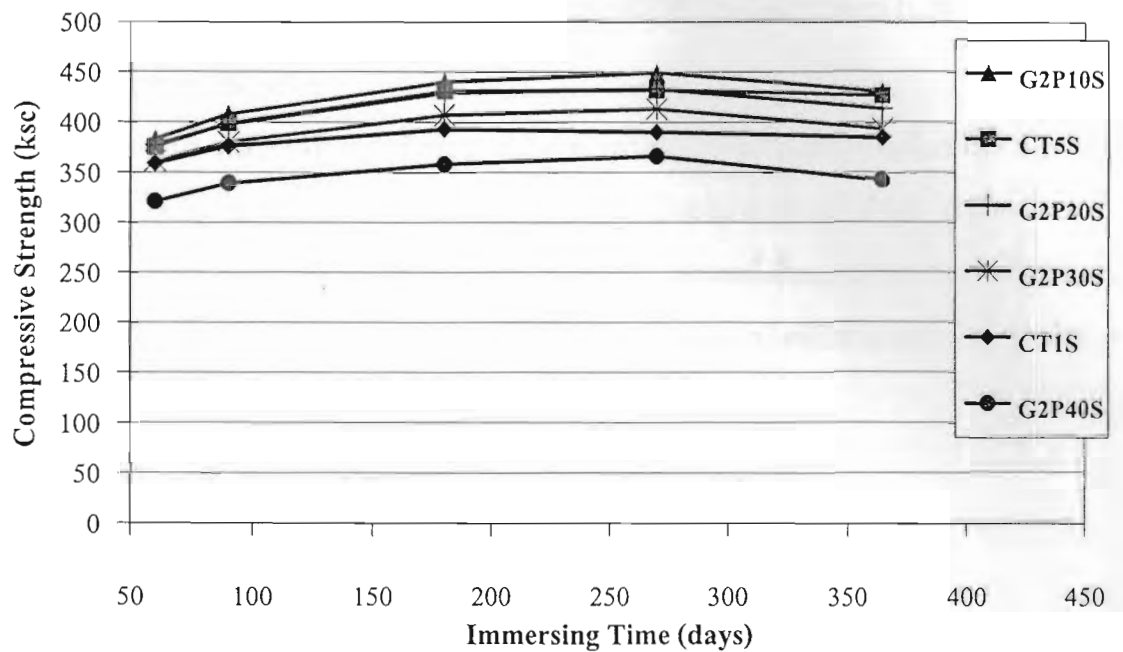
รูปที่ 4.20 คอนกรีตที่ผสมถ้าปอล์ฟิน้ำมัน OP ที่แช่ในสารละลายแมgnีเซียมซัลเฟตเป็นเวลา 360 วัน



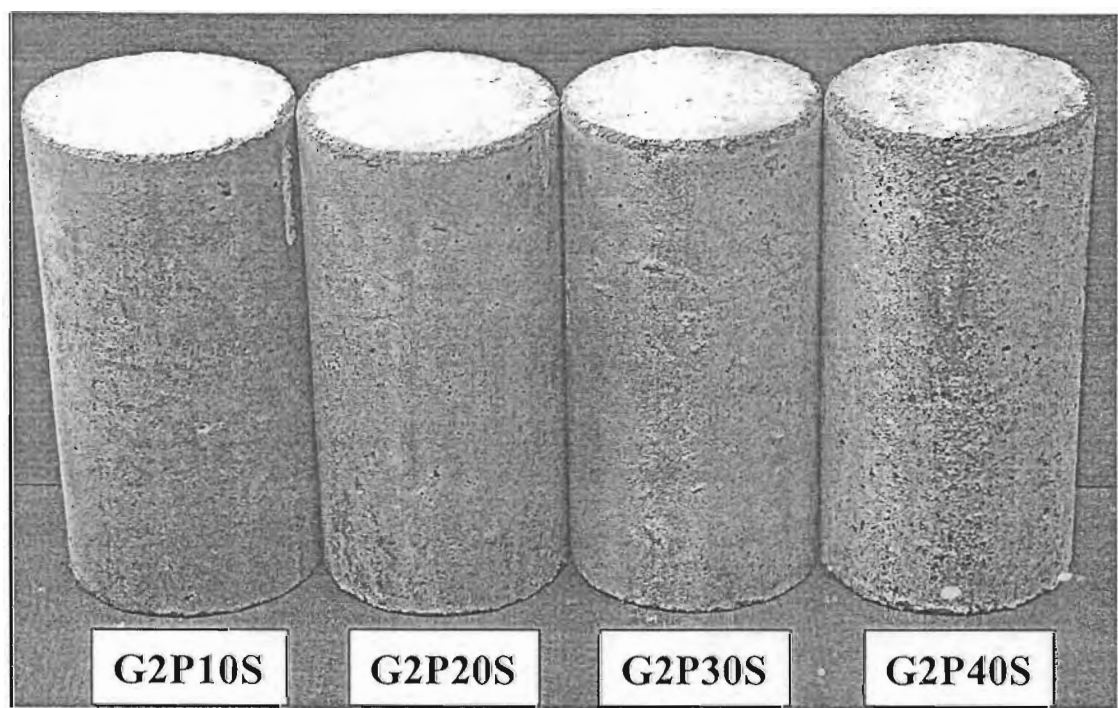
รูปที่ 4.21 ความสัมพันธ์ระหว่างกำลังอัดกับเวลาที่แช่ในสารละลายแมกนีเซียมซัลเฟตของคอนกรีตที่ผสมเด็กป้าล้มน้ำมัน G1P



รูปที่ 4.22 คอนกรีตที่ผสมเด็กป้าล้มน้ำมัน G1P ที่แช่ในสารละลายแมกนีเซียมซัลเฟตเป็นเวลา 360 วัน



รูปที่ 4.23 ความสัมพันธ์ระหว่างกำลังอัดกับเวลาที่แช่ในสารละลายแมgnีเซียมซัลเฟตของคอนกรีตที่ผสมเด็ก้าปาร์เมิร์น G2P



รูปที่ 4.24 คอนกรีตที่ผสมเด็ก้าปาร์เมิร์น G2P ที่แช่ในสารละลายแมgnีเซียมซัลเฟตเป็นเวลา 360 วัน

4.7 เปรียบเทียบกำลังอัดของคอนกรีตที่บ่มในน้ำประปาและที่แช่ในสารละลาย

แมกนีเซียมซัลเฟต

ตารางที่ 4.6 แสดงการเปรียบเทียบกำลังอัดระหว่างคอนกรีตที่บ่มในน้ำประปากับที่แช่ในสารละลาย แมกนีเซียมซัลเฟต ความเข้มข้นร้อยละ 5 โดยน้ำหนัก ในรูปของค่าผลต่างกำลังอัด (Difference of Compressive Strength) ของคอนกรีตตามสมการที่ (4.1) และค่าแฟกเตอร์เสื่อมกำลัง (Sulfate Deterioration Factor : SDF) ซึ่งเป็นค่าร้อยละของผลต่างกำลังอัดของตัวอย่างคอนกรีตที่มีส่วนผสมเดิมกันเมื่อบ่มในน้ำประปากับที่แช่ในสารละลายแมกนีเซียมซัลเฟตตามสมการที่ (4.2)

ค่าผลต่างกำลังอัดของคอนกรีต (กก/ซม²)

$$\text{Difference of Compressive Strength} = W - S \quad (4.1)$$

ค่าแฟกเตอร์เสื่อมกำลังเนื่องจากสารละลายแมกนีเซียมซัลเฟต (%)

$$\text{Sulfate Deterioration Factor : SDF} = \frac{W - S}{W} \times 100 \quad (4.2)$$

เมื่อ W = กำลังอัดของคอนกรีตที่บ่มในน้ำประปา

S = กำลังอัดของคอนกรีตที่แช่ในสารละลายแมกนีเซียมซัลเฟต

ตารางที่ 4.6 ค่าผลต่างกำลังอัดและค่าแฟกเตอร์เสื่อมกำลังเนื่องจากสารละลายนมีเซิมชัลเพต

Mixes	W/B	Slump (cm)	Difference of Comp. Str. (ksc)-(Sulfate Deterioration Factor (%))				
			60 days	90 days	180 days	270 days	360 days
CT1S	0.70	6.5	3 (0.8)	-5 (-1.3)	-8 (-2.1)	2 (0.5)	12 (3.0)
CT5S	0.70	6.5	-2 (-0.5)	-5 (-1.3)	-16 (-3.9)	-9 (-2.1)	2 (0.5)
OP10S	0.72	6.5	3 (1.1)	-8 (-2.9)	-17 (-5.4)	-22 (-7.1)	-20 (-6.3)
OP20S	0.77	6.0	3 (1.2)	-10 (-4.1)	-20 (-7.5)	-19 (-7.0)	-17 (-6.3)
OP30S	0.87	8.0	-3 (-1.7)	-2 (-1.1)	-13 (-6.7)	-16 (-8.1)	-10 (-5.0)
OP40S	0.95	8.0	-5 (-4.6)	-6 (-5.2)	-13 (-11.0)	-13 (-10.8)	-5 (-4.2)
G1P10S	0.72	8.0	3 (0.9)	-4 (-1.1)	-13 (-3.5)	-16 (-4.0)	-8 (-2.0)
G1P20S	0.73	7.5	-1 (-0.3)	-7 (-2.1)	-23 (-6.6)	-21 (-5.9)	-7 (-1.9)
G1P30S	0.73	7.0	-3 (-1.1)	-11 (-3.7)	-28 (-9.3)	-26 (-8.5)	-7 (-2.3)
G1P40S	0.74	7.0	-2 (-0.7)	-11 (-4.1)	-25 (-9.0)	-27 (-9.6)	-3 (-1.0)
G2P10S	0.68	5.5	-9 (-2.4)	-18 (-4.6)	-40 (-10.0)	-38 (-9.2)	-12 (-2.9)
G2P20S	0.70	6.0	-7 (-1.9)	-12 (-3.1)	-34 (-8.6)	-28 (-6.9)	-6 (-1.5)
G2P30S	0.71	6.0	-5 (-1.4)	-12 (-3.3)	-31 (-8.2)	-32 (-8.4)	-6 (-1.5)
G2P40S	0.72	6.0	-4 (-1.3)	-17 (-5.3)	-28 (-8.5)	-29 (-8.6)	-2 (-0.6)

หมายเหตุ : ส่วนที่แรเงาหมายถึงคอนกรีตกลุ่มนี้บ่มในน้ำประปาที่มีค่ากำลังอัดสูงกว่ากลุ่มที่เหลือในสารละลายนมีเซิมชัลเพต

4.7.1 เปรียบเทียบกำลังอัดของคอนกรีตควบคุม CT1 และ CT5

เมื่อพิจารณาการเปรียบเทียบกำลังอัดของคอนกรีตควบคุมที่ใช้ปูนซีเมนต์ปอร์ตแลนด์ประเภทที่ 1 และประเภทที่ 5 เป็นวัสดุประสานเพียงอย่างเดียวของห้องสองถุง โดยกลุ่มแรกทำการบ่มในน้ำประปา และกลุ่มที่สองแช่ในสารละลายแมกนีเซียมชัลเฟต์ ดังแสดงในรูปที่ 4.25 พบว่าที่อายุ 60 วัน กำลังอัดของคอนกรีตควบคุม CT1S และ CT5S ที่แช่ในสารละลายแมกนีเซียมชัลเฟต์มีค่าแตกต่างกันไม่นักกับคอนกรีตควบคุม CT1W และ CT5W ที่บ่มในน้ำแต่หลังจากที่อายุ 60 วันไปแล้ว กำลังอัดของคอนกรีตควบคุม CT1S และ CT5S เริ่มนิ่วสูงกว่ากลุ่มที่บ่มในน้ำ โดยที่อายุ 90 และ 180 วัน คอนกรีตควบคุม CT1S มีค่ากำลังอัดสูงกว่ากลุ่มที่บ่มในน้ำเท่ากับ 5 และ $8 \text{ กก}/\text{ซม}^2$ และเท่ากับ 5 และ $16 \text{ กก}/\text{ซม}^2$ สำหรับคอนกรีตควบคุม CT5S และเมื่ออายุการแช่ของคอนกรีตเพิ่มขึ้นเป็น 270 วัน คอนกรีตควบคุม CT1S เริ่มนิ่วกำลังอัดต่ำลง ซึ่งต่ำกว่ากลุ่มที่บ่มในน้ำเล็กน้อย และต่ำลงเรื่อยๆ ตามอายุการแช่ที่เพิ่มขึ้น ที่อายุ 270 และ 360 วัน คอนกรีตควบคุม CT1S มีกำลังอัดต่ำกว่ากลุ่มที่บ่มในน้ำเท่ากับ 2 และ $12 \text{ กก}/\text{ซม}^2$ หรือคิดเป็นการเสื่อมกำลังอัดเท่ากับร้อยละ 0.5 และ 3.0 ตามลำดับ ในขณะที่คอนกรีตควบคุม CT5S ที่อายุ 270 วัน ยังมีกำลังอัดสูงกว่ากลุ่มที่บ่มในน้ำ $9 \text{ กก}/\text{ซม}^2$ หลังจากนั้นที่อายุ 360 วัน กำลังอัดของคอนกรีตควบคุม CT5S มีค่าลดลงเพียงเล็กน้อยและยังคงมีค่าใกล้เคียงกับกลุ่มที่บ่มในน้ำ เห็นได้ว่าการแช่ในสารละลายแมกนีเซียมชัลเฟต์ทำให้คอนกรีตควบคุม CT1S มีกำลังอัดลดลงจนมีค่าต่ำกว่าคอนกรีตกลุ่มที่บ่มในน้ำและยังมีร้อยละการเสื่อมกำลังอัดที่สูงกว่าคอนกรีตควบคุม CT5S แสดงให้เห็นว่าคอนกรีตควบคุม CT5S สามารถด้านทานการทำลายเนื่องจากสารละลายแมกนีเซียมชัลเฟต์ได้ดีกว่าคอนกรีตควบคุม CT1S ซึ่งสอดคล้องกับการศึกษาที่ผ่านมาของประกาศ ทองประไพ [45] ส่วนกำลังอัดที่ลดลงของคอนกรีตควบคุม CT5S นั้น เป็นเพราะว่าแม้ปูนซีเมนต์ปอร์ตแลนด์ประเภทที่ 5 ไม่มีปริมาณ C_{3A} ที่ส่งผลต่อการกัดกร่อนของสารละลายแมกนีเซียมชัลเฟต์เลยก็ตาม แต่มีปริมาณ C_{3S} หรือมีอัตราส่วนของ C_{3S}/C_{2S} ที่ทำให้เกิด Ca(OH)_2 ดังนั้นการกัดกร่อนเนื่องจากสารละลายแมกนีเซียมชัลเฟต์จึงสามารถเกิดขึ้นได้ [16, 17, 18]

4.7.2 เปรียบเทียบกำลังอัดของคอนกรีตที่ผสมเต้าป่าล้มน้ำมัน OP

รูปที่ 4.26 แสดงการเปรียบเทียบกำลังอัดของคอนกรีตที่ผสมเต้าป่าล้มน้ำมัน OP ในอัตราส่วนการแทนที่ร้อยละ 10, 20, 30 และ 40 โดยนำหนักวัสดุประสาน โดยทำการบ่มในน้ำประปาและแช่ในสารละลายแมกนีเซียมชัลเฟต์ พบว่ากำลังอัดของคอนกรีตที่ผสมเต้าป่าล้มน้ำมัน OP ทุกอัตราส่วนผสมที่ช่วงอายุ 60 ถึง 270 วัน มีแนวโน้มการพัฒนากำลังอัดที่คล้ายกัน คือกำลังอัดของกลุ่มที่แช่ในสารละลายแมกนีเซียมชัลเฟต์มีการพัฒนาสูงขึ้นจนมีค่าสูงกว่ากลุ่มที่บ่มในน้ำ โดยที่อายุ 270 วัน คอนกรีต OP10S, OP20S, OP30S และ OP40S มีกำลังอัดสูงกว่ากลุ่มที่บ่มในน้ำเท่ากับ 22, 19, 16 และ $13 \text{ กก}/\text{ซม}^2$ ซึ่งคิดเป็นร้อยละ 7.1, 7.0, 8.1 และ 10.8 ตามลำดับ หลังจากนั้นเมื่อคอนกรีตแช่ใน

สารละลายแมกนีเซียมชัลเฟตเป็นเวลา 360 วัน พบร่วมกับองค์กรที่มีกำลังอัดคล่องเล็กน้อย นอกจგกที่การแทนที่ร้อยละ 10 เท่ากับ ที่กำลังอัดยังมีค่าเพิ่มขึ้น อย่างไรก็ตามองค์กรที่ผ่านได้ปานั้นมี OP ทุกอัตราส่วนผสมที่แข็งในสารละลายแมกนีเซียมชัลเฟตยังคงมีกำลังอัดสูงกว่าองค์กรกุ่มที่บ่มในน้ำเท่ากับ 20, 17, 10 และ 5 กก./ซม.² หรือเท่ากับร้อยละ 6.3, 6.3, 5.0 และ 4.2 สำหรับองค์กร OP10S, OP20S, OP30S และ OP40S ตามลำดับ

4.7.3 เปรียบเทียบกำลังอัดขององค์กรที่ผ่านได้ปานั้นมี G1P

ส่วนการเปรียบเทียบกำลังอัดขององค์กรที่ผ่านได้ปานั้นมี G1P ในอัตราส่วนการแทนที่ร้อยละ 10, 20, 30 และ 40 โดยน้ำหนักวัสดุประสาน เมื่อบ่มในน้ำประปาและแข็งในสารละลายแมกนีเซียมชัลเฟต แสดงในรูปที่ 4.27 พบร่วมกับองค์กรที่มีส่วนผสมเดียวกันทั้งสองกลุ่มยังคงมีแนวโน้มเช่นเดียวกับองค์กรที่ผ่านได้ปานั้นมี OP คือมีค่าแตกต่างกันไม่มากนักในช่วงอายุ 60 ถึง 90 วัน โดยกุ่มที่แข็งในสารละลายแมกนีเซียมชัลเฟตมีกำลังอัดที่สูงกว่ากุ่มที่บ่มในน้ำเพียงเล็กน้อย และที่ช่วงอายุ 180 ถึง 270 วัน กำลังอัดของกุ่มที่แข็งในสารละลายแมกนีเซียมชัลเฟตมีการพัฒนาสูงขึ้นอย่างเห็นได้ชัด โดยมีค่าสูงกว่ากุ่มที่บ่มในน้ำเท่ากับ 13, 23, 28, 25 และ 16, 21, 26, 27 กก./ซม.² หรือคิดเป็นร้อยละ 3.5, 6.6, 9.3, 9.0 และ 4.0, 5.9, 8.5, 9.6 ที่อายุ 180 และ 270 วัน สำหรับองค์กร G1P10S, G1P20S, G1P30S และ G1P40S ตามลำดับ หลังจากนั้นกำลังอัดขององค์กร กลุ่มที่แข็งในสารละลายแมกนีเซียมชัลเฟตเริ่มนีค่าลดลง โดยกำลังอัดขององค์กร G1P10S, G1P20S, G1P30S และ G1P40S ที่อายุ 360 วัน มีค่าลดลงจากที่อายุ 270 เท่ากับ 8, 14, 19 และ 24 กก./ซม.² ตามลำดับ และที่ช่วงเวลาเดียวกันนี้เมื่อเทียบกับองค์กรกุ่มที่บ่มในน้ำซึ่งกำลังอัดยังคงมีการพัฒนาเพิ่มขึ้น ค่าความแตกต่างกำลังอัดขององค์กรทั้งสองกลุ่มซึ่งมีค่าลดลง โดยที่อายุ 360 วัน องค์กร G1P10S, G1P20S, G1P30S และ G1P40S มีกำลังอัดสูงกว่ากุ่มที่บ่มในน้ำเท่ากับ 8, 7, 7 และ 3 กก./ซม.² หรือเท่ากับร้อยละ 2.0, 1.9, 2.3 และ 1.0 ตามลำดับ เนื่องได้ว่าแม้แข็งในสารละลายแมกนีเซียมชัลเฟต เป็นเวลา 360 วันแล้วก็ตาม กำลังอัดขององค์กรที่ผ่านได้ปานั้นมี G1P ในทุกอัตราการแทนที่ยังคงมีค่าสูงกว่าองค์กรกุ่มที่บ่มในน้ำประปา

4.7.4 เปรียบเทียบกำลังอัดขององค์กรที่ผ่านได้ปานั้นมี G2P

ส่วนการเปรียบเทียบกำลังอัดขององค์กรที่ผ่านได้ปานั้นมี G2P ในอัตราส่วนการแทนที่ร้อยละ 10, 20, 30 และ 40 โดยน้ำหนักวัสดุประสาน เมื่อบ่มในน้ำประปาและแข็งในสารละลายแมกนีเซียมชัลเฟต แสดงในรูปที่ 4.28 พบร่วมกับองค์กรที่ผ่านได้ปานั้นมี G2P ในทุกอัตราส่วนที่แข็งในสารละลายแมกนีเซียมชัลเฟตมีกำลังอัดสูงกว่าองค์กรกุ่มที่บ่มในน้ำตั้งแต่ที่อายุ 60 วัน โดยมีค่าสูงกว่าเท่ากับ 9, 7, 5 และ 4 กก./ซม.² สำหรับองค์กร G2P10S, G2P20S, G2P30S และ G2P40S

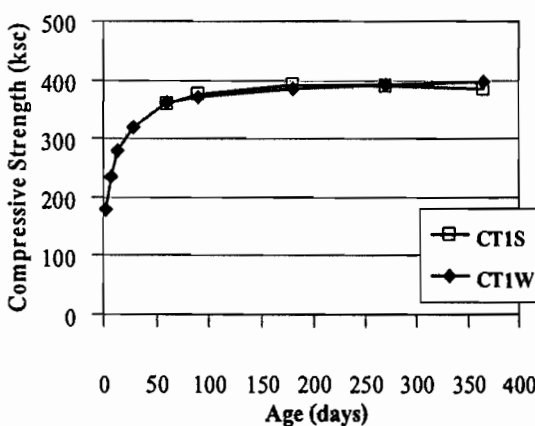
ตามลำดับ หลังจากนั้นในช่วงอายุ 90 ถึง 270 วัน ค่อนกรีตกลุ่มที่แซ่บในสารละลายน้ำมัน เชิงชัลเฟตมี การพัฒนากำลังอัดสูงขึ้นกว่ากลุ่มที่บ่มในน้ำอ่อนย่างเห็นได้ชัด โดยค่อนกรีต G2P10S, G2P20S, G2P30S และ G2P40S ที่อายุ 90 และ 180 วัน มีกำลังอัดสูงกว่าค่อนกรีตกลุ่มที่แซ่บในน้ำเท่ากับ 18, 12, 12, 17 และ 40, 34, 31, 28 กก./ซม.² หรือเท่ากับร้อยละ 4.6, 3.1, 3.3, 5.3 และ 10.0, 8.6, 8.2, 8.5 ตามลำดับ และเท่ากับ 38, 28, 32 และ 29 กก./ซม.² คิดเป็นร้อยละ 9.2, 6.9, 8.4 และ 8.6 ตามลำดับ ที่ อายุ 270 วัน ต่อมาที่อายุ 360 วัน กำลังอัดของค่อนกรีตกลุ่มที่แซ่บในสารละลายน้ำมัน เชิงชัลเฟตมีค่า ลดลงจากที่อายุ 270 วัน ค่อนข้างมากจนมีค่าใกล้เคียงกับค่อนกรีตกลุ่มที่บ่มในน้ำ โดยค่อนกรีต G2P10S, G2P20S, G2P30S และ G2P40S ยังมีกำลังอัดสูงกว่าค่อนกรีตกลุ่มที่บ่มในน้ำเท่ากับ 12, 6, 6 และ 2 กก./ซม.² หรือเท่ากับร้อยละ 2.9, 1.5, 1.5 และ 0.6 ตามลำดับ

จากการเปรียบเทียบกำลังอัดของค่อนกรีตควบคุม CT1, CT5 และค่อนกรีตที่ผสมเด้าปาล์มน้ำมัน OP, G1P และ G2P ในอัตราส่วนการแทนที่ร้อยละ 10, 20, 30 และ 40 โดยน้ำหนักวัสดุประสาน เมื่อบ่มในน้ำประปาและแซ่บในสารละลายน้ำมัน เชิงชัลเฟต ความเข้มข้นร้อยละ 5 โดยน้ำหนัก เป็นเวลา 360 วัน พบว่าค่อนกรีตที่ผสมเด้าปาล์มน้ำมันทั้ง 3 ขนาดความละเอียด และทุกการแทนที่เมื่อแซ่บในสารละลายน้ำมัน เชิงชัลเฟตนานถึง 360 วัน ยังคงมีกำลังอัด ไม่ต่ำกว่าค่อนกรีตที่มีอัตราส่วนผสม เดียว กันที่บ่มในน้ำ โดยมีค่าร้อยละการสูญเสียกำลังอัดน้อยกว่าค่อนกรีตควบคุมทั้ง 2 ประเภท แสดงให้เห็นว่าค่อนกรีตที่ผสมเด้าปาล์มน้ำมันสามารถด้านทานการกัดกร่อนเนื่องจากสารละลายน้ำมัน เชิงชัลเฟตได้ดี และเมื่อพิจารณาถึงปริมาณการแทนที่ของเด้าปาล์มน้ำมันทั้ง 3 ขนาดความละเอียดต่อการลดลงของกำลังอัด สังเกตได้ว่าการแทนที่ในอัตราส่วนที่ต่ำมีการลดลงของกำลังอัดน้อยกว่าการแทนที่ ในอัตราส่วนที่สูง ซึ่งการลดลงของกำลังอัดจะมากขึ้นตามอัตราส่วนการแทนที่ที่เพิ่มขึ้น โดยเฉพาะที่ อัตราการแทนที่สูงถึงร้อยละ 40 ที่เป็นเช่นนี้เนื่องจากความพรุนในอนุภาคของเด้าปาล์มน้ำมัน ที่ทำให้ค่อนกรีตมีอัตราส่วนน้ำต่อวัสดุประสานสูงขึ้นตามการแทนที่ที่เพิ่มขึ้น ดังนั้นค่อนกรีตที่ผสมเด้าปาล์มน้ำมันในปริมาณที่สูงจะมีการซึมผ่านของน้ำสูง [49] นอกจากนี้การแทนที่เด้าปาล์มน้ำมันในปริมาณที่สูง ปริมาณปูนซีเมนต์จะลดลงและทำให้เกิด C-S-H จากปฏิกิริยาปอชโซลานชีนแทน ซึ่ง C-S-H ที่เกิดจากปฏิกิริยาปอชโซลานมีโครงสร้างที่แข็งแรงน้อยกว่าและมีความไวต่อการทำปฏิกิริยากับแมกนีเซียมชัลเฟตมากกว่า C-S-H ที่เกิดจากปฏิกิริยาไอกเรชัน [50, 51, 52] เพราะฉะนั้นการแทนที่เด้าปาล์มน้ำมันในปริมาณที่สูงจะเกิดการกัดกร่อนเนื่องจากสารละลายน้ำมัน เชิงชัลเฟตสูงขึ้นตามไปด้วย

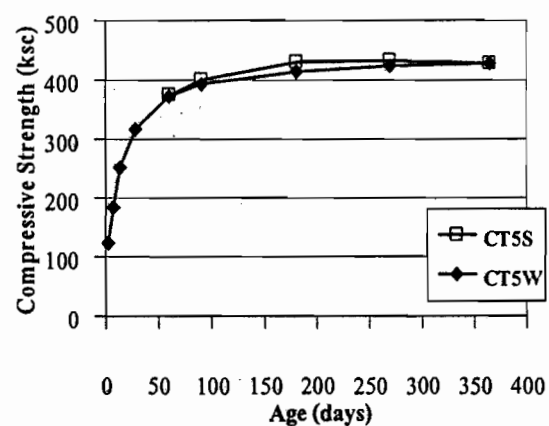
หากพิจารณาถึงขนาดความละเอียดของเด้าปาล์มน้ำมันที่มีผลต่อการลดลงของกำลังอัด พบว่า ค่อนกรีตที่ผสมเด้าปาล์มน้ำมันที่มีความละเอียดสูงมีแนวโน้มการลดลงของกำลังอัดมากกว่าค่อนกรีต

ที่ผสมเด้าปาร์มน้ำมันที่มีความละอียดต่ำเพราะว่าเด้าปาร์มน้ำมันที่มีความละอียดสูงทำให้ C-S-H จากปฏิกริยาปอชโซลานเกิดได้เร็วและมากกว่าเด้าปาร์มน้ำมันที่มีความละอียดต่ำ ดังนั้นจึงทำปฏิกริยากับแมกนีเซียมซัลเฟตได้มากขึ้น ส่งผลให้เกิด M-S-H มากขึ้นตามไปด้วย ซึ่ง M-S-H ที่เกิดขึ้นนี้เป็นสารสีขาวนุ่มที่ไม่มีคุณสมบัติในการยึดประสาน [48, 51, 53] จึงทำให้คอนกรีตมีกำลังอัดลดลงในขณะที่เด้าปาร์มน้ำมันที่ความละอียดต่ำทำปฏิกริยาปอชโซลานได้น้อย และบางส่วนอาจไม่ทำปฏิกริยาเนื่องจากมีขนาดอนุภาคใหญ่ ดังนั้นจึงทำปฏิกริยากับแมกนีเซียมซัลเฟตได้น้อย และเกิด M-S-H น้อยตามไปด้วย กำลังจึงมีค่าลดลงเพียงเล็กน้อย

สังเกตว่ากำลังอัดของคอนกรีตกลุ่มที่แข็งในสารละลายแมกนีเซียมซัลเฟตมีการพัฒนาสูงขึ้นมากจนมีค่าสูงกว่ากลุ่มที่บ่มในน้ำ ที่เป็นเช่นนี้เนื่องจากการทำปฏิกริยาของแมกนีเซียมซัลเฟต ($MgSO_4$) กับแคลเซียมไฮดรอกไซด์ ($Ca(OH)_2$) ทำให้เกิดแมกนีเซียมไฮดรอกไซด์ ($Mg(OH)_2$) หรือ Brucite และบิปซัม (Gypsum) เคลือบที่ผิวของคอนกรีต [47, 48] ซึ่ง Brucite และบิปซัมนี้จะไปอุดโพรงหรือช่องว่างภายในของคอนกรีตทำให้โครงสร้างของคอนกรีตมีความแน่นขึ้น [19, 54] นอกจากนี้ยังเกิดการขยายตัวของ Ettringite ภายในช่องว่างของคอนกรีต จึงส่งผลให้กำลังอัดของคอนกรีตในช่วงแรกมีค่าสูงขึ้น ซึ่งสอดคล้องกับตารางในภาคผนวก ๑ ที่พบว่าคอนกรีตที่แข็งในสารละลายแมกนีเซียมซัลเฟตมีน้ำหนักและความหนาแน่นเพิ่มขึ้น ซึ่งเมื่ออายุการแซ่ในสารละลายแมกนีเซียมซัลเฟตของคอนกรีตนานมากขึ้น Ettringite เกิดการเปลี่ยนแปลงปริมาตรเพิ่มมากขึ้น ทำให้เกิดแรงดันภายในจนส่งผลให้เนื้อคอนกรีตเกิดการแตกกร้าว ส่วน Brucite ทำปฏิกริยากับซิลิกาเจลเกิดเป็น M-S-H ซึ่งไม่มีคุณสมบัติในการยึดประสาน จึงส่งผลให้กำลังอัดของคอนกรีตในช่วงหลังมีค่าลดลง

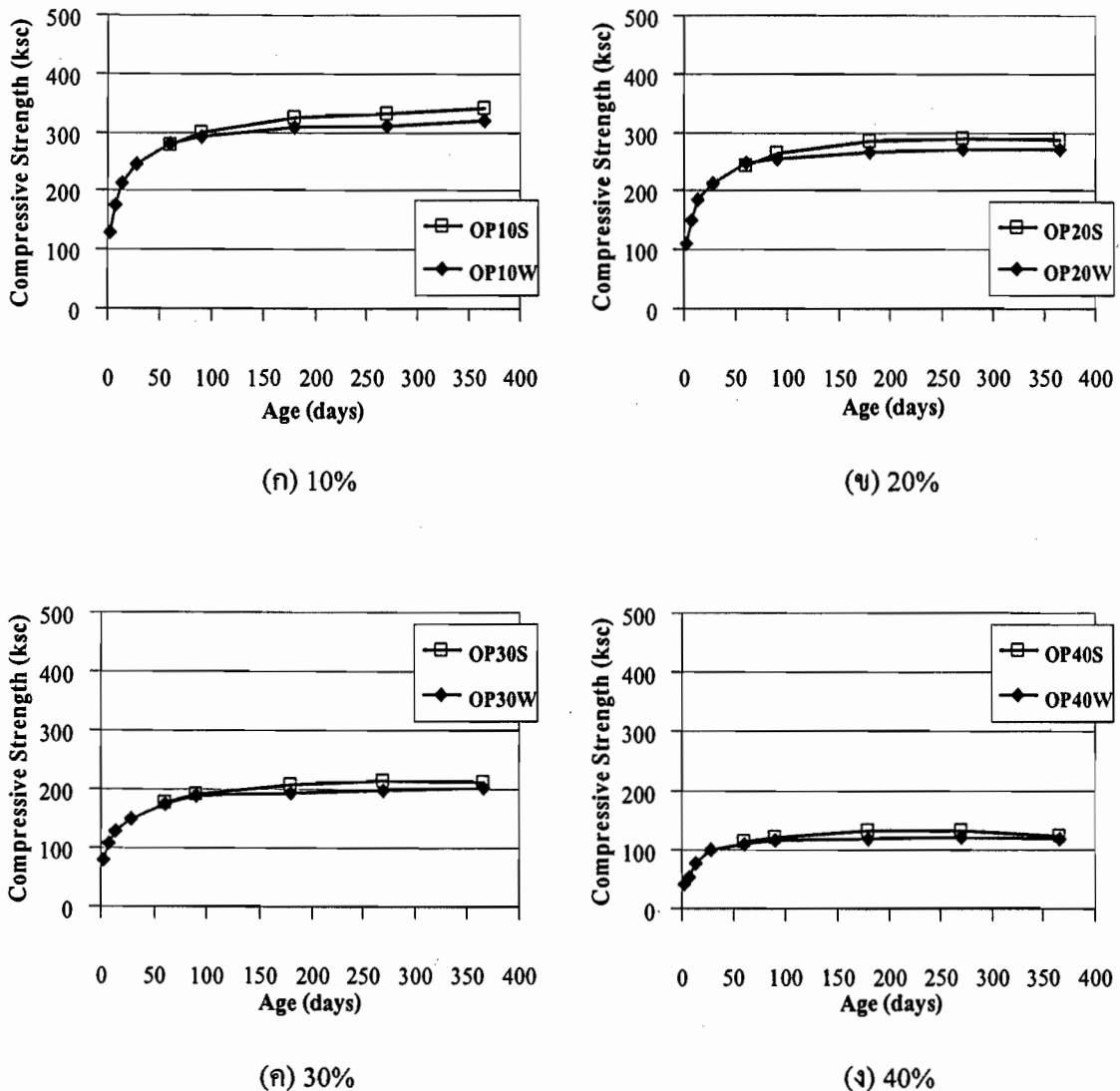


(ก) CT1

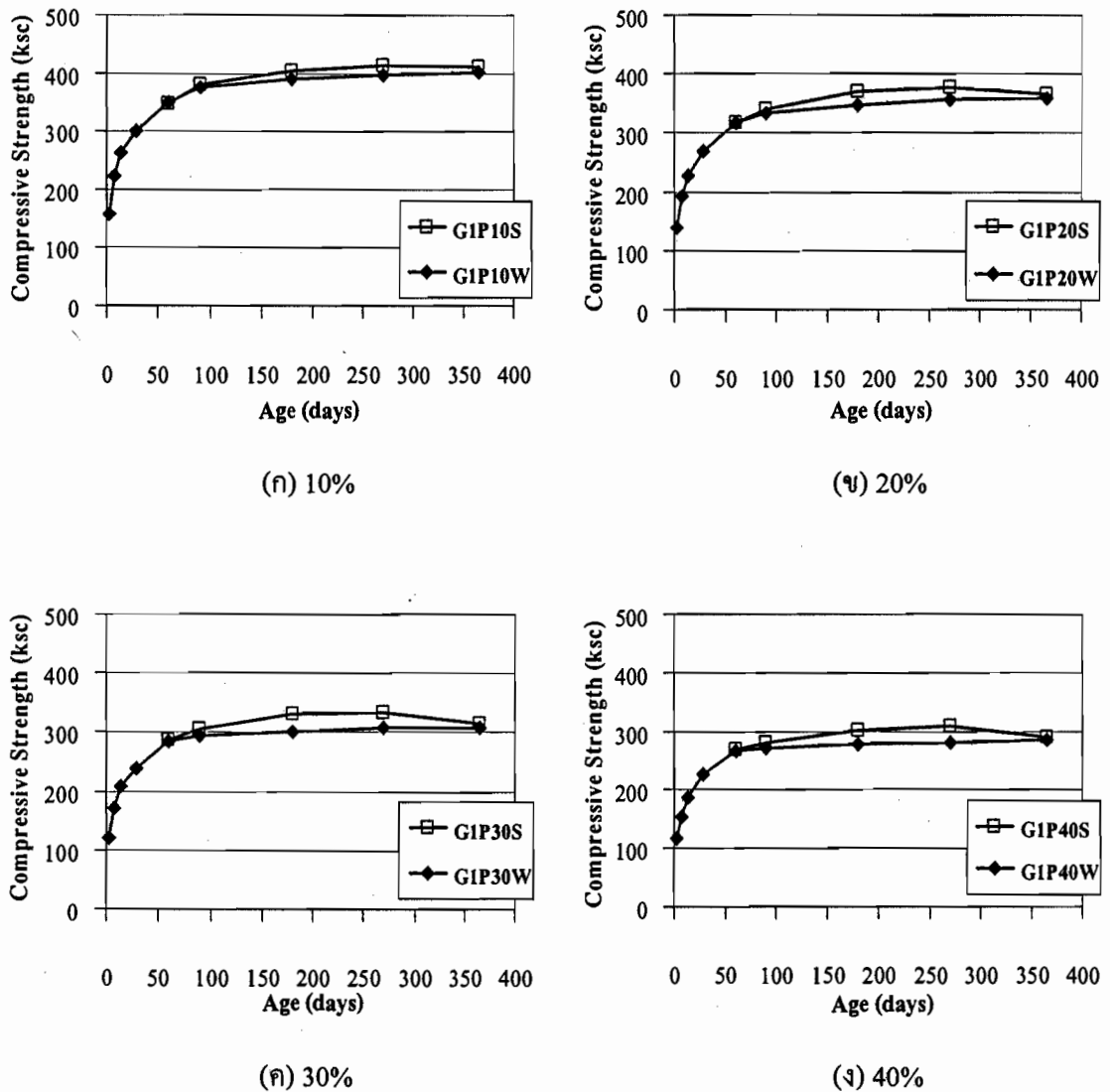


(ข) CT5

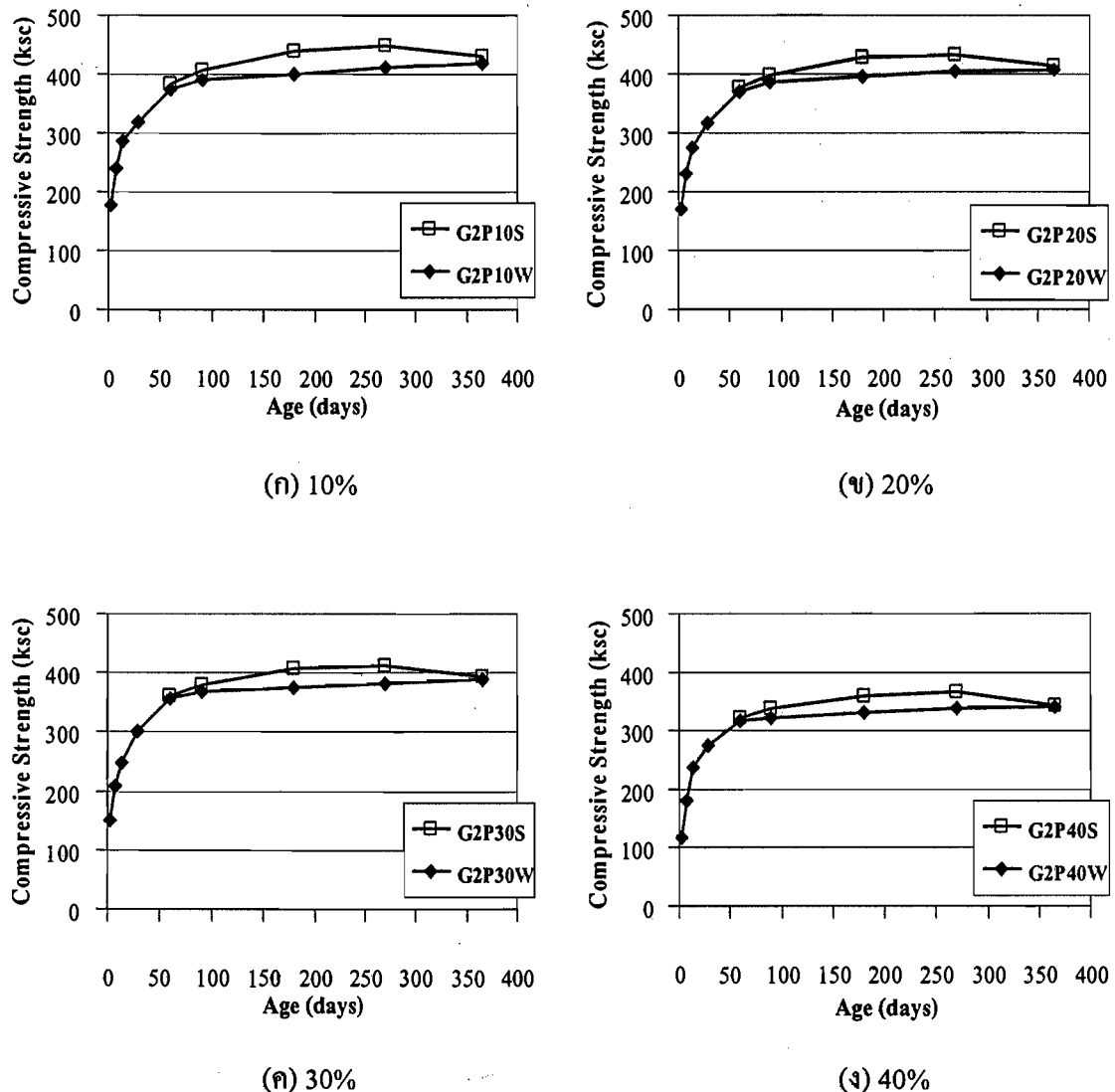
รูปที่ 4.25 เปรียบเทียบกำลังอัดของคอนกรีตควบคุม CT1 และ CT5 ที่บ่มในน้ำประปา และแซ่ในสารละลายแมกนีเซียมซัลเฟต



รูปที่ 4.26 เปรียบเทียบกำลังอัดของคอนกรีตที่ผสมเต้าป่าล้มน้ำมัน OP
ที่บ่มในน้ำประปาและแช่ในสารละลายแมกนีเซียมชัลฟ特



รูปที่ 4.27 เปรียบเทียบกำลังอัดของคอนกรีตที่ผสมเต้าป่าล้มน้ำมัน G1P
ที่บ่มในน้ำประปาและแช่ในสารละลายแมกนีเซียมชัลไฟด์



รูปที่ 4.28 เปรียบเทียบกำลังอัดของคอนกรีตที่ผสมเต้าปลาล้นน้ำมัน G2P
ที่บ่มในน้ำประปาและแช่ในสารละลายแมงกานีเชี่ยมชัลเฟต

4.8 การขยายตัวของแท่งคอนกรีต

ตารางที่ 4.7 แสดงผลการขยายตัวของแท่งคอนกรีตควบคุม CT1, CT5 และแท่งคอนกรีตที่ใช้เต้าปาล์ม น้ำมัน OP, G1P และ G2P ผสมแทนที่ปูนซีเมนต์ปอร์ตแลนด์ประเภทที่ 1 ในอัตราส่วนร้อยละ 10, 20, 30 และ 40 โดยนำหัวนักวัดศุภประสาน เมื่อแช่ในสารละลายแมกนีเซียมชัลเฟต์ ความเข้มข้นร้อยละ 5 โดยนำหัวนัก ทำการวัดค่าการขยายตัวทุกอายุ 14 วันจนถึงอายุ 364 วัน

4.8.1 การขยายตัวของแท่งคอนกรีตควบคุม CT1 และ CT5

รูปที่ 4.29 แสดงความสัมพันธ์ระหว่างการขยายตัวกับเวลาที่แช่ในสารละลายแมกนีเซียมชัลเฟต์ ของแท่งคอนกรีตควบคุม CT1 และ CT5 พบร่วมกับการขยายตัวของแท่งคอนกรีตควบคุม CT1 ในช่วงอายุ 14 ถึง 126 วัน มีค่าเท่ากับร้อยละ 0.0272 ส่วนการขยายตัวของแท่งคอนกรีตควบคุม CT5 ในช่วงอายุเดียวกันมีค่าเท่ากับร้อยละ 0.0116 จากนั้นแท่งคอนกรีตควบคุมทั้งสองยังคงมีการขยายตัวเพิ่มขึ้นอย่างต่อเนื่อง โดยที่อายุ 280 วัน แท่งคอนกรีตควบคุม CT1 และ CT5 มีค่าการขยายตัวเพิ่มเป็นร้อยละ 0.0418 และ 0.0287 ตามลำดับ และเมื่อเทียบกับร้อยละ 0.0474 และ 0.0382 ตามลำดับ เห็นได้ว่าแท่งคอนกรีตควบคุม CT1 มีการขยายตัวมากกว่าแท่งคอนกรีตควบคุม CT5 ตลอดอายุการทดสอบ ทั้งนี้เนื่องจากปูนซีเมนต์ปอร์ตแลนด์ประเภทที่ 1 มีปริมาณ C₃A สูงกว่าปูนซีเมนต์ปอร์ตแลนด์ประเภทที่ 5 จึงทำปฏิกิริยากับสารละลายแมกนีเซียมชัลเฟต์มากกว่าและส่งผลให้เกิดการขยายตัวที่สูง ซึ่งผลการทดสอบสอดคล้องกับการศึกษาที่ผ่านมาของ วีรชาติ ตั้งจริภัตร [28] ประภา ทองประไพ [45] และพิชญา ธีระมิตร [46]

นอกจากนี้ยังพบว่าแม่ปูนซีเมนต์ปอร์ตแลนด์ประเภทที่ 5 ไม่มีปริมาณ C₃A เลย แต่มีการขยายตัวเกิดขึ้น แสดงให้เห็นได้ว่า C₃A ไม่ใช่ปัจจัยหลักที่ทำให้เกิดการขยายตัวเพียงอย่างเดียว [55, 56] ซึ่งจากการศึกษาของ Gonzalez และ Irassar [57] พบร่วมกับปูนซีเมนต์ที่มีปริมาณ C₃S สูง ส่งผลให้เกิดการขยายตัวสูงกว่าปูนซีเมนต์ที่มีปริมาณ C₃S ต่ำ แม้ว่าปูนซีเมนต์ชนิดนี้จะไม่มีปริมาณ C₃A เลยก็ตาม และเมื่อพิจารณาแท่งคอนกรีตควบคุมทั้ง 2 ประเภท ในรูปที่ 4.30 พบร่วมกับคอนกรีตควบคุม CT1 และ CT5 มีคราบสีขาวของ Brucite และยิบชั่ม เคลือบอยู่ที่ผิว และเนื่องจากร้อยละการขยายตัวของแท่งคอนกรีตมีค่าไม่สูงมากนักแท่งคอนกรีตจึงยังไม่เกิดความเสียหายที่เด่นชัด มีเพียงบริเวณขอบและมุมของแท่งคอนกรีตควบคุม CT1 เท่านั้นที่เกิดการหลุดร่อนเพียงเล็กน้อย

ตารางที่ 4.7 ผลการทดสอบการขยายตัวของหินอ่อนกึ่งแข็งในสารตะลایเมมันซีเมชัลเพท ความเข้มข้นร้อยละ 5 โดยนำหน้าเป็นเวลา 364 วัน

Mixes	Expansion (10^{-4} %)												
	14 days	28 days	42 days	56 days	70 days	84 days	98 days	112 days	126 days	140 days	154 days	168 days	182 days
CT1	25	53	66	151	156	192	242	247	272	303	308	313	318
CT5	7	9	10	25	40	60	80	96	116	126	136	141	141
OP10	20	45	71	101	126	161	171	202	217	222	242	267	302
OP20	10	20	55	86	116	121	146	177	197	207	232	257	272
OP30	15	30	45	61	91	101	126	141	162	187	207	217	242
OP40	45	101	126	151	192	207	242	262	297	312	333	348	378
G1P10	15	35	60	86	111	136	156	161	187	212	237	252	287
G1P20	10	30	50	76	101	121	146	167	187	197	217	242	247
G1P30	10	30	45	66	81	96	121	146	157	182	197	207	227
G1P40	20	35	51	76	101	111	136	142	162	167	187	192	217
G2P10	10	25	45	66	81	106	126	141	171	192	202	227	257
G2P20	10	15	35	66	81	111	126	141	162	172	187	207	212
G2P30	10	20	35	50	71	91	96	121	136	156	172	177	202
G2P40	15	30	40	55	71	91	111	121	136	151	167	172	187

ตารางที่ 4.7 ผลการทดสอบการขยายตัวของยางคอนกรีตที่ใช้ในสารลดตะไบแมกนีเซียมฟลัตเพื่อความเข้มข้นรักษา 5 โตรอน้ำหนัก เป็นเวลา 364 วัน (ต่อ)

Mixes	196 days	210 days	224 days	238 days	252 days	266 days	280 days	294 days	308 days	322 days	336 days	350 days	364 days
	Expansion (10^{-4} %)												
CT1	343	343	358	383	403	408	418	444	459	459	464	464	474
CT5	191	211	216	251	267	277	287	337	337	357	382	382	382
OP10	323	353	378	383	403	428	449	454	479	489	504	534	549
OP20	298	313	333	363	378	383	404	424	449	459	484	500	515
OP30	263	298	323	338	348	364	394	409	419	419	429	449	460
OP40	408	433	438	469	494	514	524	554	580	595	625	640	645
G1P10	323	348	353	373	383	408	423	444	449	474	499	509	529
G1P20	278	298	323	348	358	363	389	414	439	444	454	474	485
G1P30	258	288	313	333	348	359	379	394	404	404	429	444	454
G1P40	258	263	273	298	318	329	339	354	369	394	409	414	425
G2P10	282	287	313	323	348	368	373	393	403	429	444	449	464
G2P20	243	258	278	293	323	334	349	364	374	394	404	424	429
G2P30	227	247	262	262	288	303	318	343	358	363	373	389	399
G2P40	217	237	242	267	278	298	303	313	328	333	348	358	363

4.8.2 การขยายตัวของแท่งคอนกรีตที่ผสมเต้าป้าล้มน้ำมัน

รูปที่ 4.31 แสดงความสัมพันธ์ระหว่างการขยายตัวกับเวลาการแข็งในสารละลายแมกนีเซียมชัลเฟตของแท่งคอนกรีตที่ผสมเต้าป้าล้มน้ำมัน OP แทนที่ปูนซีเมนต์ปอร์ตแลนด์ประเภทที่ 1 ในอัตราส่วนร้อยละ 10 ถึง 40 โดยน้ำหนักวัสดุประสาน พบร่วมแท่งคอนกรีตมีการขยายตัวอย่างต่อเนื่องในอัตราคงที่ สังเกตได้จากความชันของเส้นกราฟที่ไม่มีการเปลี่ยนแปลง โดยแท่งคอนกรีตที่ผสมเต้าป้าล้มน้ำมัน OP ในทุกอัตราส่วนผสม มีค่าการขยายตัวสูงกว่าแท่งคอนกรีตควบคุม CT5 ตลอดอายุการทดสอบ ซึ่งในช่วงแรกการแทนที่ในอัตราส่วนร้อยละ 10 ถึง 30 มีค่าการขยายตัวต่ำกว่าแท่งคอนกรีตควบคุม CT1 แต่หลังจากนั้นการแทนที่ในอัตราส่วนร้อยละ 10 และ 20 มีการขยายตัวเพิ่มขึ้นจนมีค่าสูงกว่าแท่งคอนกรีตควบคุม CT1 ที่อายุ 364 วัน ส่วนการแทนที่ร้อยละ 30 ยังคงมีค่าการขยายตัวต่ำกว่าแท่งคอนกรีตควบคุม CT1 ตลอดอายุการทดสอบ และที่การแทนที่ร้อยละ 40 เป็นอัตราส่วนผสมที่มีการขยายตัวสูงสุด โดยมีค่าการขยายตัวสูงกว่าแท่งคอนกรีตควบคุม CT1 ในทุกอายุการทดสอบ ซึ่งที่อายุ 364 วัน แท่งคอนกรีต OP10, OP20, OP30 และ OP40 มีค่าการขยายตัวเท่ากับร้อยละ 0.0549, 0.0515, 0.0460 และ 0.0645 ตามลำดับ

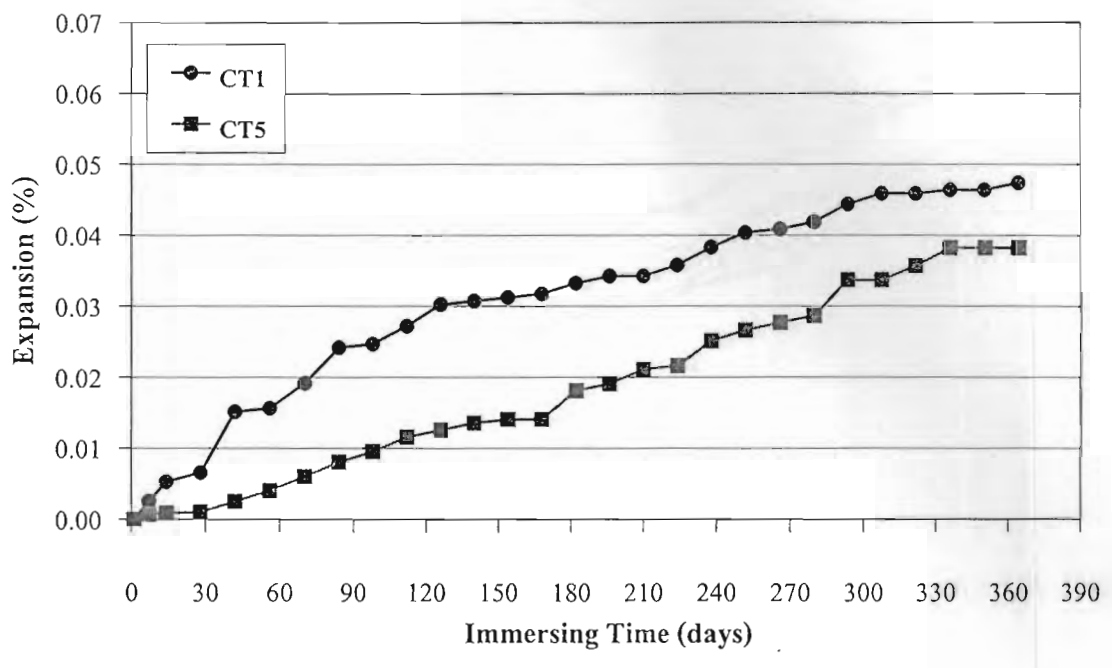
เห็นได้ว่าการแทนที่เต้าป้าล้มน้ำมัน OP ในอัตราส่วนร้อยละ 30 มีค่าการขยายตัวต่ำสุดและมีค่าน้อยกว่าแท่งคอนกรีตควบคุม CT1 ที่เป็นเช่นนี้อาจเนื่องมาจากการแทนที่เต้าป้าล้มน้ำมัน OP ในอัตราส่วนที่สูงดังกล่าวสามารถลดปริมาณปูนซีเมนต์ลงได้มาก ทำให้มีปริมาณ C₃A น้อยลง จึงลดการทำปฏิกิริยา กับสารละลายแมกนีเซียมชัลเฟต ทำให้ Ettringite ที่เป็นสาเหตุของการขยายตัว [58, 59] เกิดขึ้นน้อยลง ดังนั้นการขยายตัวจึงลดลง แต่การแทนที่ในอัตราส่วนที่สูงถึงร้อยละ 40 แม้ว่าสามารถลดปริมาณ C₃A ลงได้ แต่ทำให้คอนกรีตมีอัตราส่วนน้ำต่อวัสดุประสานสูงขึ้นอย่างมาก แท่งคอนกรีตจึงมีความพรุนสูง ส่งผลให้เกิดการซึมผ่านของน้ำสูง สารละลายแมกนีเซียมชัลเฟตจึงสามารถเข้าไปทำปฏิกิริยาได้ง่าย ซึ่งสอดคล้องกับการศึกษาที่ผ่านมาของวีรชาติ ตั้งจิรภัทร [28] ที่พบว่าแท่งมอร์ตาร์ที่ผสมเต้าป้าล้มน้ำมัน OP ร้อยละ 30 มีการขยายตัวต่ำสุด เมื่อเพิ่มการแทนที่เป็นร้อยละ 40 การขยายตัวกลับมีค่าเพิ่มขึ้น และเมื่อพิจารณาแท่งคอนกรีตที่ผสมเต้าป้าล้มน้ำมัน OP ที่แข็งในสารละลายแมกนีเซียมชัลเฟต เป็นเวลา 364 วัน ในรูปที่ 4.32 พบร่วมแท่งคอนกรีตที่ผสมเต้าป้าล้มน้ำมัน OP ทุกอัตราส่วนผสมยังไม่เกิดความเสียหาย มีเพียงกรอบสีขาวเกาะอยู่ที่ผิวไม่แตกต่างกัน

เมื่อพิจารณาการขยายตัวกับอายุการแข็งในสารละลายแมกนีเซียมชัลเฟตของแท่งคอนกรีตที่ผสมเต้าป้าล้มน้ำมัน G1P และ G2P ดังแสดงในรูปที่ 4.33 และ 4.35 ตามลำดับ พบร่วมในช่วง 240 วันแรก แท่งคอนกรีตที่ผสมเต้าป้าล้มน้ำมัน G1P และ G2P มีค่าการขยายตัวใกล้เคียงกัน โดยมีค่าต่ำกว่าแท่ง

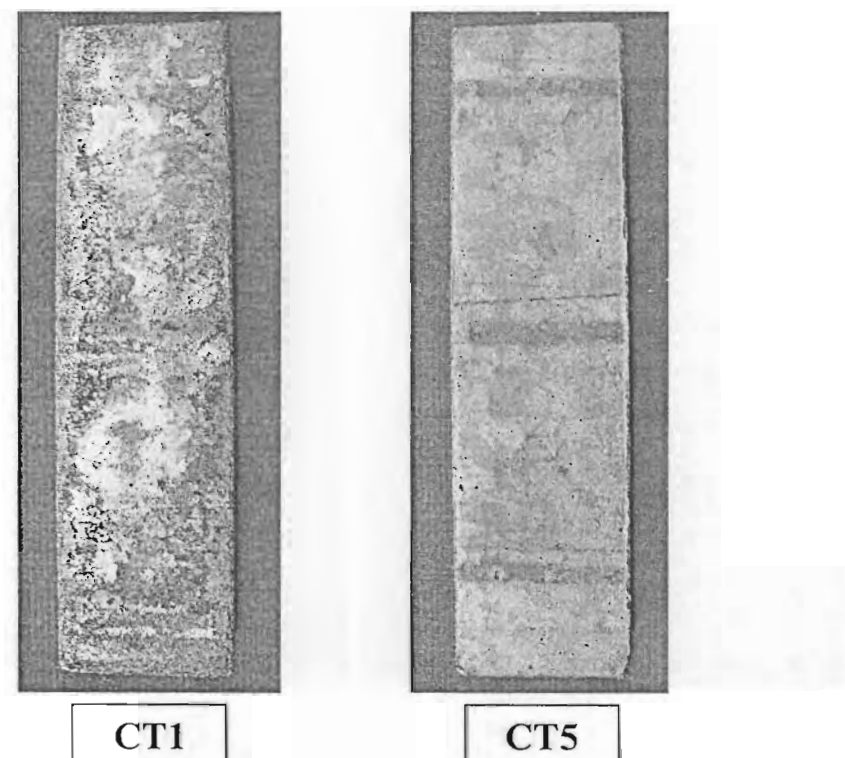
ค่อนกรีตควบคุม CT1 แต่สูงกว่าแท่งค่อนกรีตควบคุม CT5 และเมื่อแท่งค่อนกรีตแซ่ในสารละลายน้ำกันเชี่ยนชัลเฟตเป็นเวลา 364 วัน พบร้าแท่งค่อนกรีตที่ผสมเด้าปาล์มน้ำมัน G1P ในอัตราส่วนร้อยละ 10 และ 20 มีการขยายตัวมากขึ้นจนมีค่าไกล์เคียงกับแท่งค่อนกรีตควบคุม CT1 ส่วนการแทนที่ร้อยละ 30 และ 40 การขยายตัวของคงมีค่าน้อยกว่าแท่งค่อนกรีตควบคุม CT1 โดยแท่งค่อนกรีต G1P10, G1P20, G1P30 และ G1P40 ที่อายุ 364 วัน มีค่าการขยายตัวเท่ากับร้อยละ 0.0529, 0.0485, 0.0454 และ 0.0425 ตามลำดับ

ส่วนการขยายตัวของแท่งค่อนกรีตที่ผสมเด้าปาล์มน้ำมัน G2P พบร้าทุกอัตราส่วนผสมมีการขยายตัวต่ำกว่าแท่งค่อนกรีตควบคุม CT1 ซึ่งการแทนที่ร้อยละ 40 มีการขยายตัวต่ำกว่าแท่งค่อนกรีตควบคุม CT5 โดยแท่งค่อนกรีต G2P10, G2P20, G2P30 และ G2P40 ที่อายุ 364 วัน มีการขยายตัวเท่ากับร้อยละ 0.0464, 0.0429, 0.0399 และ 0.0363 ตามลำดับ และเมื่อพิจารณาแท่งค่อนกรีตที่ผสมเด้าปาล์มน้ำมัน G1P และ G2P เมื่อแซ่ในสารละลายน้ำกันเชี่ยนชัลเฟตเป็นเวลา 364 วัน ในรูปที่ 4.34 และ 4.36 ตามลำดับ สังเกตว่าแท่งค่อนกรีตที่มีการแทนที่สูงมีการขยายตัวมากกว่าแท่งค่อนกรีตที่มีการแทนที่ต่ำกว่า ส่วนความเสียหายของแท่งค่อนกรีตเกิดขึ้นเพียงเล็กน้อยที่บริเวณขอบและมุมของแท่งค่อนกรีตที่มีการแทนที่สูงเท่านั้น โดยสภาพของแท่งค่อนกรีตโดยรวมยังคงอยู่ในสภาพที่ดี เนื่องจากร้อยละการขยายตัวของแท่งค่อนกรีตมีค่าเพียงเล็กน้อย

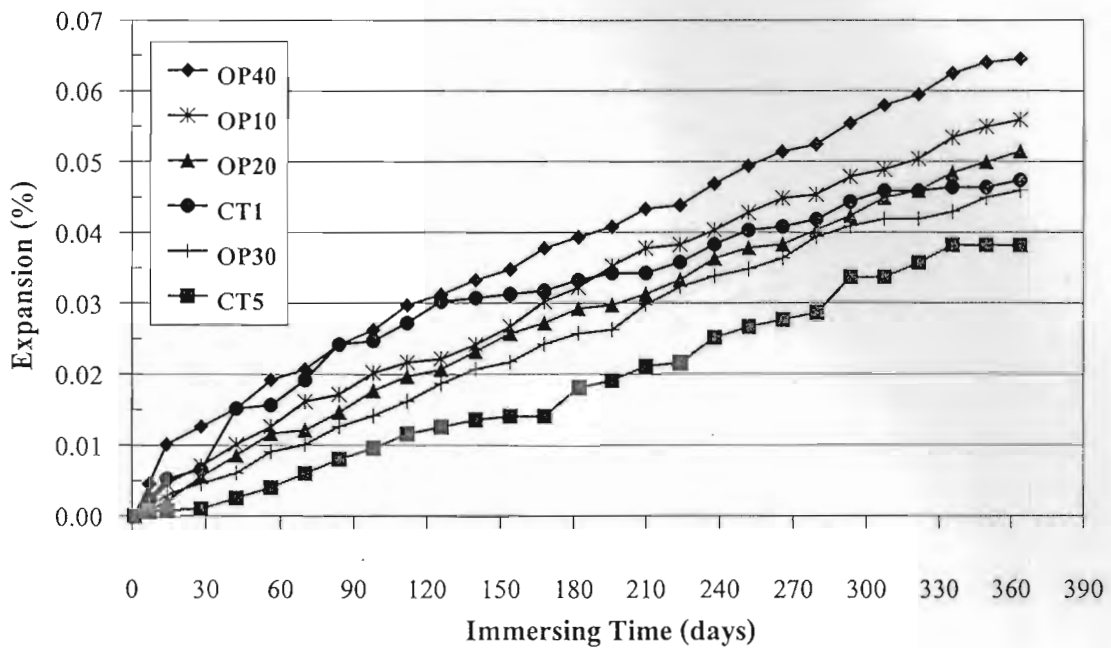
เมื่อพิจารณาเปรียบเทียบผลของการขยายตัวของค่อนกรีตที่ผสมเด้าปาล์มน้ำมันต่อการขยายตัวของแท่งค่อนกรีตเมื่อแซ่ในสารละลายน้ำกันเชี่ยนชัลเฟตเป็นเวลา 364 วัน ในรูปที่ 4.37 พบร้าเด้าปาล์มน้ำมันที่มีความละเอียดสูงทำให้ค่อนกรีตมีการขยายตัวต่ำกว่าเด้าปาล์มน้ำมันที่มีความละเอียดต่ำ และการแทนที่ในอัตราส่วนที่สูงขึ้นพบว่าการขยายตัวมีแนวโน้มลดลง โดยแท่งค่อนกรีตที่ผสมเด้าปาล์มน้ำมันก่อนบด (OP) มีเพียงการแทนที่ร้อยละ 30 เท่านั้นที่มีการขยายตัวต่ำกว่าแท่งค่อนกรีตควบคุมที่ทำด้วยปูนซีเมนต์ปอร์ตแลนด์ประเภทที่ 1 (CT1) ส่วนแท่งค่อนกรีตที่ผสมเด้าปาล์มน้ำมันขนาดละเอียดปานกลาง (G1P) ในอัตราการแทนที่ร้อยละ 30 และ 40 มีการขยายตัวต่ำกว่าแท่งค่อนกรีตควบคุมที่ทำด้วยปูนซีเมนต์ปอร์ตแลนด์ประเภทที่ 1 สำหรับแท่งค่อนกรีตที่ผสมเด้าปาล์มน้ำมันขนาดละเอียดมาก (G2P) ทุกอัตราส่วนผสม มีการขยายตัวต่ำกว่าแท่งค่อนกรีตควบคุมที่ทำด้วยปูนซีเมนต์ปอร์ตแลนด์ประเภทที่ 1 โดยที่อัตราการแทนที่ร้อยละ 30 และ 40 มีการขยายตัวไกล์เคียงและต่ำกว่าแท่งค่อนกรีตควบคุมที่ทำด้วยปูนซีเมนต์ปอร์ตแลนด์ประเภทที่ 5 (CT5) ตามลำดับ



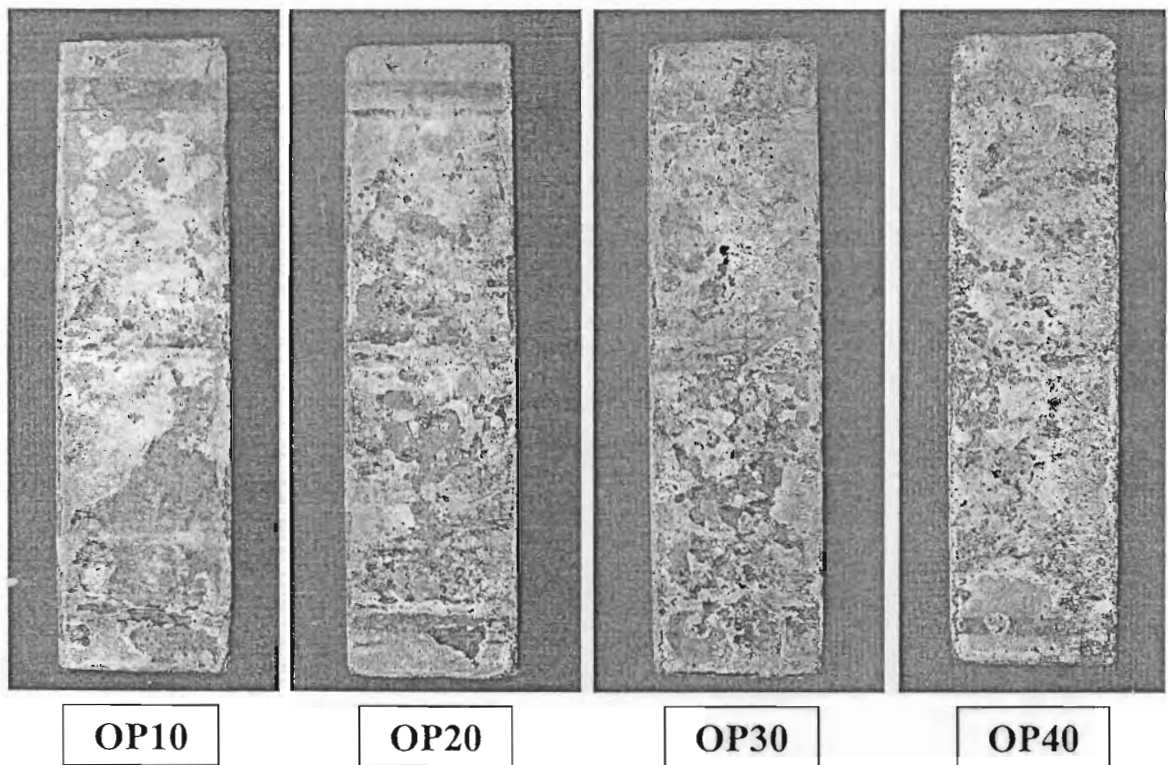
รูปที่ 4.29 ความสัมพันธ์ระหว่างการขยายตัวกับเวลาที่แช่ในสารละลายแมกนีเซียมชัลเฟตของแท่งคอนกรีตควบคุม CT1 และ CT5



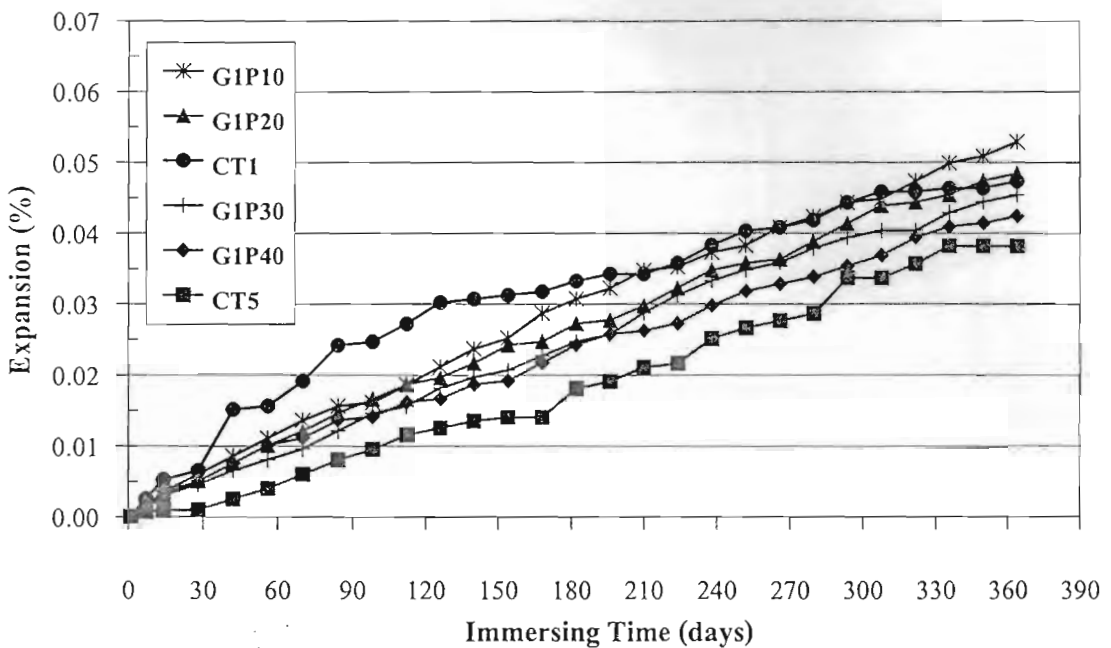
รูปที่ 4.30 แท่งคอนกรีตควบคุม CT1 และ CT5 ที่แช่ในสารละลายแมกนีเซียมชัลเฟตเป็นเวลา 364 วัน



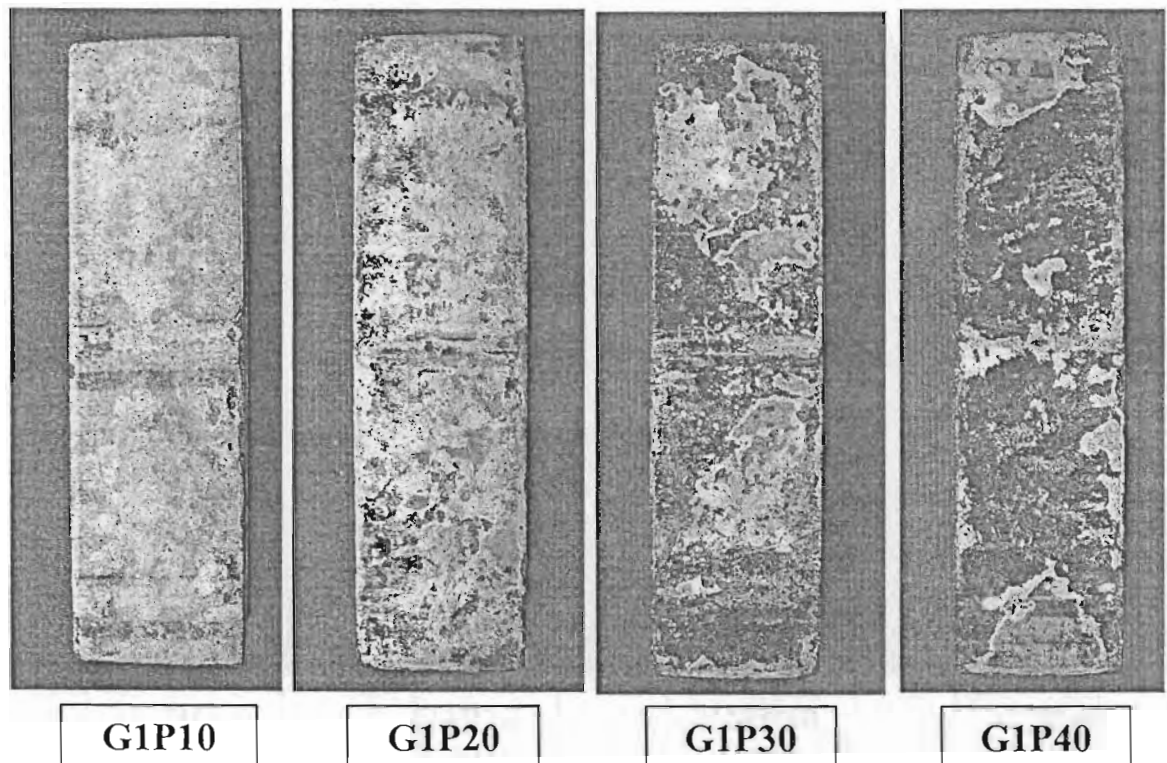
รูปที่ 4.31 ความสัมพันธ์ระหว่างการขยายตัวกับเวลาที่แช่ในสารละลายแมกนีเซียมซัลเฟตของแท่งคอนกรีตที่ผสมเด็ก้าปาร์ม่น้ำมัน OP



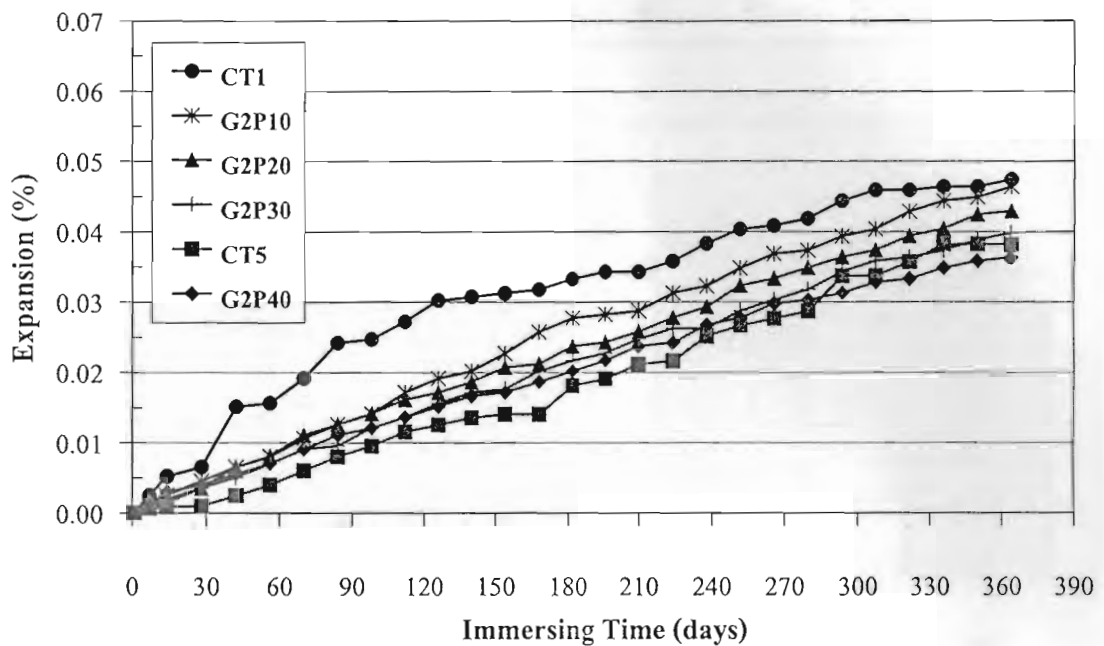
รูปที่ 4.32 แท่งคอนกรีตที่ผสมเด็ก้าปาร์ม่น้ำมัน OP ที่แช่ในสารละลายแมกนีเซียมซัลเฟตเป็นเวลา 364 วัน



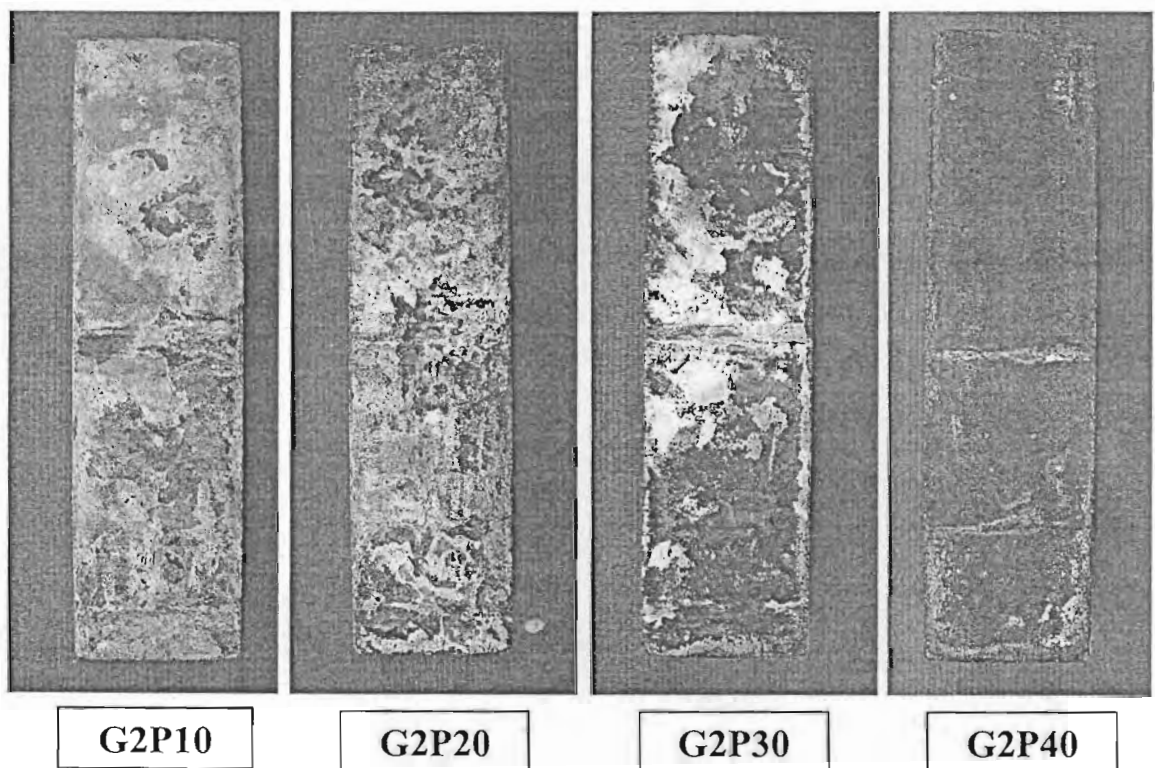
รูปที่ 4.33 ความสัมพันธ์ระหว่างการขยายตัวกับเวลาที่แช่ในสารละลายแมกนีเซียมชัลเฟตของแท่งคอนกรีตที่ผสมเดาป้าล์มน้ำมัน G1P



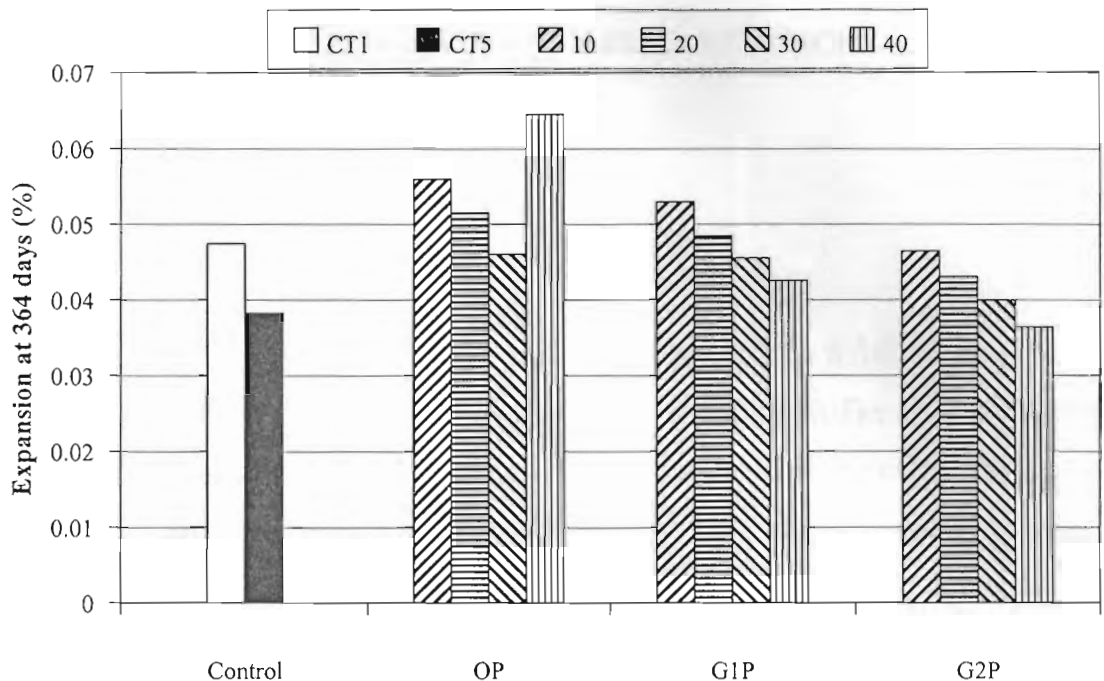
รูปที่ 4.34 แท่งคอนกรีตที่ผสมเดาป้าล์มน้ำมัน G1P ที่แช่ในสารละลายแมกนีเซียมชัลเฟตเป็นเวลา 364 วัน



รูปที่ 4.35 ความสัมพันธ์ระหว่างการขยายตัวกับเวลาที่แช่ในสารละลายแมกนีเซียมชัลเฟตของแท่งคอนกรีตที่ผสมเด็ก้าป่าลีมน้ำมัน G2P



รูปที่ 4.36 แท่งคอนกรีตที่ผสมเด็ก้าป่าลีมน้ำมัน G2P ที่แช่ในสารละลายแมกนีเซียมชัลเฟตเป็นเวลา 364 วัน



รูปที่ 4.37 เปรียบเทียบการขยายตัวของแท่งคอนกรีตควบคุมกับแท่งคอนกรีตที่ผสมถ้าปาล์มน้ำมันที่แช่ในสารละลายแมกนีเซียมซัลเฟตเป็นเวลา 364 วัน

บทที่ 5 สรุปผลการทดสอบ และข้อเสนอแนะ

5.1 สรุปผลการทดสอบ

5.1.1 การทดสอบถ้าป้าล้มน้ำมันแทนที่ในปูนซีเมนต์ปอร์ตแลนด์ประเภทที่ 1 ทำให้เวลาการก่อตัวหักระเบิดเริ่มต้นและระยะเวลาสุดท้ายของคอนกรีตนานขึ้น และนานมากยิ่งขึ้นเมื่อเพิ่มอัตราการแทนที่สูงขึ้น ส่วนการทดสอบถ้าป้าล้มน้ำมันที่มีความละเอียดสูงทำให้คอนกรีตมีระยะเวลาการก่อตัวน้อยกว่าการทดสอบถ้าป้าล้มน้ำมันที่มีความละเอียดต่ำ โดยคอนกรีตที่ทดสอบถ้าป้าล้มน้ำมันขนาดละเอียดมาก (G2P) ในอัตราส่วนร้อยละ 10 มีเวลาการก่อตัวหักระเบิดเริ่มต้นและระยะเวลาสุดท้ายใกล้เคียงกับคอนกรีตควบคุมที่ทำด้วยปูนซีเมนต์ปอร์ตแลนด์ประเภทที่ 1

5.1.2 คอนกรีตที่ทดสอบถ้าป้าล้มน้ำมันก่อนบด (OP) แทนที่ปูนซีเมนต์ปอร์ตแลนด์ประเภทที่ 1 ทุกอัตราส่วนทดสอบและทุกอายุการทดสอบ พบว่ากำลังอัดมีค่าต่ำกว่าคอนกรีตควบคุมทั้งที่บ่มในน้ำประปาและแช่ในสารละลายแมกนีเซียมชัลเฟต์ และกำลังอัดมีค่าต่ำลงมากเมื่อมีการแทนที่เพิ่มขึ้นรวมทั้งไม่สามารถลดการขยายตัวเนื่องจากการละลายแมกนีเซียมชัลเฟต์ได้ ดังนั้นถ้าป้าล้มน้ำมันก่อนบดจึงไม่เหมาะสมที่จะนำมาใช้เป็นวัสดุปูชื้อelan

5.1.3 การใช้ถ้าป้าล้มน้ำมันขนาดละเอียดปานกลาง (G1P) และขนาดละเอียดมาก (G2P) แทนที่ในปูนซีเมนต์ปอร์ตแลนด์ประเภทที่ 1 ในอัตราร้อยละ 10 และ 20 ตามลำดับ พบว่ากำลังอัดของคอนกรีตที่อายุ 90 วัน เมื่อบ่มในน้ำประปามีค่าสูงกว่าคอนกรีตควบคุมที่ทำด้วยปูนซีเมนต์ปอร์ตแลนด์ประเภทที่ 1 สำหรับกำลังอัดของคอนกรีตที่มีส่วนทดสอบเดียวกันเมื่อแช่ในสารละลายแมกนีเซียมชัลเฟต์ พบว่ามีการพัฒนากำลังอัดเพิ่มขึ้นจนถึงอายุ 270 วัน หลังจากนั้นกำลังอัดของคอนกรีตเริ่มนิ่วลดลง ซึ่งการแทนที่ถ้าป้าล้มน้ำมันทุกความละเอียดในปริมาณสูง (ร้อยละ 40) มีการลดลงของกำลังอัดค่อนข้างมาก โดยการทดสอบถ้าป้าล้มน้ำมันที่มีความละเอียดสูงมีแนวโน้มทำให้คอนกรีตถูกกัดกร่อนเนื่องจากสารละลายแมกนีเซียมชัลเฟต์สูงกว่าถ้าป้าล้มน้ำมันที่มีความละเอียดต่ำ อย่างไรก็ตามคอนกรีตที่ทดสอบถ้าป้าล้มน้ำมันขนาดละเอียดมาก (G2P) แทนที่ปูนซีเมนต์ปอร์ตแลนด์ประเภทที่ 1 ในอัตราส่วนร้อยละ 10 ยังคงมีกำลังอัดสูงกว่าคอนกรีตควบคุมที่ทำด้วยปูนซีเมนต์ปอร์ตแลนด์ประเภทที่ 5 แม้ว่าจะแช่ในสารละลายแมกนีเซียมชัลเฟต์เป็นเวลา 360 วัน

5.1.4 เถ้าป่าล์มน้ำมันที่มีความละเอียดสูงทำให้คองกรีตมีการขยายตัวต่ำกว่าเถ้าป่าล์มน้ำมันที่มีความละเอียดต่ำ และการแทนที่ปูนซีเมนต์ในอัตราส่วนที่สูงขึ้นพบว่าการขยายตัวมีแนวโน้มลดลง โดยแท่งคองกรีตที่ผสมเถ้าป่าล์มน้ำมันขนาดละเอียดปานกลาง (G1P) ในอัตราการแทนที่ร้อยละ 30 และ 40 มีการขยายตัวต่ำกว่าแท่งคองกรีตควบคุมที่ทำด้วยปูนซีเมนต์ปอร์ตแลนด์ประเภทที่ 1 เมื่อแข็งในสารละลายแมกนีเซียมชัลเฟตเป็นเวลา 364 วัน

ส่วนแท่งคองกรีตที่ผสมเถ้าป่าล์มน้ำมันขนาดละเอียดมาก (G2P) ทุกอัตราส่วนผสม (แทนที่ร้อยละ 10 ถึง 40) ที่แข็งในสารละลายแมกนีเซียมชัลเฟตเป็นเวลา 364 วัน มีการขยายตัวต่ำกว่าแท่งคองกรีตควบคุมที่ทำด้วยปูนซีเมนต์ปอร์ตแลนด์ประเภทที่ 1 โดยที่อัตราการแทนที่ร้อยละ 30 และ 40 มีการขยายตัวใกล้เคียงและต่ำกว่าแท่งคองกรีตควบคุมที่ทำด้วยปูนซีเมนต์ปอร์ตแลนด์ประเภทที่ 5 ตามลำดับ

5.1.5 การใช้เถ้าป่าล์มน้ำมันขนาดละเอียดมาก (G2P) แทนที่ปูนซีเมนต์ปอร์ตแลนด์ประเภทที่ 1 ในอัตราไม่เกินร้อยละ 20 ถือว่าเป็นอัตราส่วนที่เหมาะสม เนื่องจากมีกำลังอัดสูงกว่าคองกรีตควบคุมที่ทำด้วยปูนซีเมนต์ปอร์ตแลนด์ประเภทที่ 1 ที่บ่มในน้ำประปา โดยมีความต้านทานต่อการกัดกร่อนและการขยายตัวเนื่องจากสารละลายแมกนีเซียมชัลเฟตใกล้เคียงกับคองกรีตควบคุมที่ทำด้วยปูนซีเมนต์ปอร์ตแลนด์ประเภทที่ 5

5.2 ข้อเสนอแนะ

5.2.1 เนื่องจากเถ้าป่าล์มน้ำมันจากแต่ละแหล่งมีองค์ประกอบทางเคมีแตกต่างกัน ดังนี้จึงควรทำการศึกษาเปรียบเทียบคุณสมบัติค้านต่างๆ ของเถ้าป่าล์มน้ำมันจากหลายๆ แหล่ง เพื่อใช้เป็นแนวทางในการควบคุมคุณภาพและแนวทางในการพิจารณาเลือกใช้ต่อไป

5.2.2 จากองค์ประกอบทางเคมีของเถ้าป่าล์มน้ำมันที่ใช้ในการวิจัยนี้มี MgO และ K_2O ในปริมาณที่สูงซึ่ง MgO และ K_2O เป็นองค์ประกอบที่ส่งผลให้เกิดการสึกกร่อนและการขยายตัวเนื่องจากชัลเฟต แต่จากการทดสอบตัวอย่างคองกรีตยังไม่เกิดการสึกกร่อนและการขยายตัวที่ชัดเจนมากนักแม้แข็งในสารละลายแมกนีเซียมชัลเฟตเป็นเวลา 1 ปีแล้วก็ตาม ดังนั้นจึงควรทำการศึกษาคุณสมบัติของคองกรีตในระยะยาวเพื่อให้เห็นผลที่ชัดเจนยิ่งขึ้น

5.2.3 ในการวิจัยครั้งนี้ได้นำถ้าป้าล์มน้ำมันที่ได้จากโรงงานโดยตรงมาร่อนผ่านตะแกรงมาตรฐานเบอร์ 16 ก่อนทำการทดสอบ เพื่อแยกสิ่งเสื่อปนที่มีอนุภาคขนาดใหญ่เนื่องจากการเผาไหม้ที่ไม่สมบูรณ์ออก ดังนั้นในอนาคตควรศึกษาคุณสมบัติของถ้าป้าล์มน้ำมันส่วนที่ค้างบนตะแกรงหรือถ้าป้าล์มน้ำมันที่ได้จากโรงงานโดยไม่ต้องนำมาร่อนผ่านตะแกรง เพื่อลดขั้นตอนในกระบวนการผลิตและเป็นการใช้ถ้าป้าล์มน้ำมันให้เกิดประโยชน์สูงสุด

5.2.4 เนื่องจากอนุภาคของถ้าป้าล์มน้ำมันมีความพรุนสูง แม้ว่าทำการบดให้มีความละเอียดเพิ่มขึ้นแล้วก็ตาม ทำให้ค่อนกริตที่ผสมถ้าป้าล์มน้ำมันมีความหนาแน่นลดลง ดังนั้นจึงควรมีการศึกษาเรื่องการซึมผ่านน้ำของค่อนกริตที่ผสมถ้าป้าล์มน้ำมันด้วย

5.2.5 จากผลการวิจัยในครั้งนี้เห็นได้ว่าความละเอียดของถ้าป้าล์มน้ำมันสามารถทำให้กำลังอัดของค่อนกริตเพิ่มขึ้น ดังนั้นหากสามารถพัฒนาถ้าป้าล์มน้ำมันให้มีความละเอียดมากกว่าในการศึกษารั้งนี้ เพื่อใช้ผสมในค่อนกริต ได้ในปริมาณที่สูงขึ้น จะเป็นการนำถ้าป้าล์มน้ำมันมาใช้ประโยชน์ได้มากขึ้น

5.2.6 จากการสังเกตพบว่าตัวอย่างค่อนกริตที่ผสมถ้าป้าล์มน้ำมันที่ทำการบดให้มีความละเอียดเพิ่มขึ้นมีน้ำมันเคลือบอยู่ที่ผิว ซึ่งอาจเป็นน้ำมันที่หลงเหลืออยู่ในถ้าป้าล์มน้ำมันและอาจส่งผลต่อคุณสมบัติของค่อนกริต จึงควรมีการศึกษาน้ำมันที่หลงเหลืออยู่ในถ้าป้าล์มน้ำมันนี้ด้วย

เอกสารอ้างอิง

1. สำนักคุณภาพน้ำมันเชื้อเพลิง กรมธุรกิจพลังงาน, ดีเซลจากพืช ทางเลือกใหม่ของพลังงาน [Online], Available : <http://www.doeb.go.th/dbd/knowledge/bio-diesel2.htm> [2004, June 30].
2. สำนักงานเศรษฐกิจการเกษตร กระทรวงเกษตรและสหกรณ์, ผลพยากรณ์ปาล์มน้ำมัน ปี 2547 [Online], Available : <http://www.oae.go.th/mis/predict/forecast/Oil%20palm47.htm> [2004, July 27].
3. กรุงเทพธุรกิจ เศรษฐกิจ, “สมศักดิ์” ดันยุทธศาสตร์ปาล์มน้ำมัน เป็นพืชที่ปลูก ผลิต“ไบโอดีเซล” [Online], Available : http://www.bangkokbiznews.com/2004/06/17/eco/index.php?news=column_13318319.html [2004, June 30].
4. จักรพต กลั่นน้ำมันคง, คันบี สีนา และ ชนวัฒน์ ไชคสว่างเนตร, 2543, การศึกษาศักยภาพของ เถ้าปาล์มน้ำมันเพื่อใช้เป็นวัสดุปูอิฐโซล่า�, วิทยานิพนธ์ปริญญาวิศวกรรมศาสตรบัณฑิต สาขาวิชาวิศวกรรมโยธา คณะวิศวกรรมศาสตร์ มหาวิทยาลัยเทคโนโลยีพระจอมเกล้าธนบุรี, 59 หน้า.
5. American Society for Testing and Materials, 2001, “ASTM C 618 : Standard Specification for Coal Fly Ash and Raw or Calcined Natural Pozzolan for Use as a Mineral Admixture in Concrete”, in 2001 Annual Book of ASTM Standards, Vol. 04.02, Philadelphia, ASTM, pp. 310-313.
6. Lea, F.M., 1970, **The Chemistry of Cement and Concrete**, Edward Arnold Publishers, pp. 361, 414-423.
7. Davis, R.E., 1950, “Use of Pozzolans in Concrete”, **Journal of the American Concrete Institute**, Vol. 46, pp. 377-384.
8. Fraay, A.L.A., Bijen, J.M. and Haan, Y.M.D., 1989, “The Reaction of Fly Ash in Concrete. A Critical Examination”, **Cement and Concrete Research**, Vol. 19, pp. 235-246.

9. Hansen, T.C., 1990, "Long-Term Strength of High Fly Ash Concretes", **Cement and Concrete Research**, Vol. 20, pp. 193-196.
10. Thornton, H.T., 1987, "Acid Attack of Concrete Caused by Sulfur Bacteria Action", **Journal of the American Concrete Institute**, Vol. 75, No. 11, pp. 577-584.
11. สิริลักษณ์ จันทราธุ, 2529, "คอนกรีตในน้ำทะเล", เอกสารประกอบการบรรยาย ห้องประชุมราชบัณฑิตยสถาน เมื่อวันที่ 16 กรกฎาคม 2529, วิศวกรรมสาร, เล่มที่ 5, หน้า 37-47.
12. สมประสงค์ บุญยนิตย์, 2530, "การใช้ชัลเฟต์ต่อต้านชัลเฟต์ได้รับและได้น้ำ", วิศวกรรมสาร, เล่มที่ 3, หน้า 75-80.
13. Mather, B., 1966, "Effect of Seawater on Concrete", **Highway Research Record**, No. 113, pp. 33-42.
14. Concrete and Concrete Materials, 1975, **Concrete Manual**, U.S. Department of the Interior Bureau of Reclamation, 8th Edn, United States Government Printing Office Washington.
15. Shashiprakash, S.G. and Thomas, M.D.A., 2001, "Sulfate Resistance of Mortars Containing High-Calcium Fly Ashes and Combination of Highly Reactive Pozzolans and Fly Ash", **Proceedings of Seventh International Conference on Fly Ash, Silica Fume, Slag, and Natural Pozzolan in Concrete**, Chennai, India, pp. 221-237.
16. Al-Duraijan, S.U., Maslehuddin, M., Al-Zahrani, M.M., Sharif, A.M., Shameem, M. and Ibrahim, M., 2003, "Sulfate Resistance of Plain and Blended Cements Exposed to Varying Concentrations of Sodium Sulfate", **Cement and Concrete Composites**, Vol. 25, pp. 429-437.
17. Rasheeduzzafar, 1992, "Influence of Cement Composition on Concrete Durability", **ACI Materials Journal**, Vol. 89, pp. 574-586.

18. Irassar, E.F., Gonzalez, M.A. and Rahhal, V., 2000, "Sulphate Resistance of Type V Cement with Limestone Filler and Natural Pozzolana", **Cement and Concrete Composites**, Vol. 22, pp. 361-368.
19. Hewlett, P.C. (Ed.), 1998, **Lea's Chemistry of Cement and Concrete**, 4th ed., Arnold/Wiley, New York, p. 282, 317, 584.
20. สมาคมวิศวกรรมสถานแห่งประเทศไทย ในพระบรมราชูปถัมภ์, 2545, "มาตรฐานสำหรับอาคารคอนกรีตเสริมเหล็กโดยวิธีกำลัง", มาตรฐาน ว.ส.ท. 1008-38, พิมพ์ครั้งที่ 4, หน้า 15.
21. Tay, J.H., 1990, "Ash from Oil-Palm Waste as Concrete Material", **Journal of Material in Civil Engineering, ASCE**, Vol. 2, pp. 94-105.
22. Tay, J.H. and Show, K.Y., 1995, "Use of Ash Derived from Oil-Palm Waste Incineration as a Cement Replacement Material", **Resources, Conservation and Recycling**, Vol. 13, pp. 27-36.
23. Hussin, M.W. and Awal, A.S.M.A., 1996, "Palm Oil Fuel Ash-A Potential Pozzolanic Material in Concrete Construction", **Proceedings of the International Conference on Urban Engineering in Asian Cities in the 21st Century**, 20-23 November 1996, Bangkok, Thailand, pp. D361-D366.
24. Hussin, M.W. and Awal, A.S.M.A., 1996, "Influence of Palm Oil Fuel Ash on Strength and Durability of Concrete", **Proceedings of the 7th International Conference on the Durability of Building Materials and Components**, 19-23 May, Stockholm, Sweden, Vol. 1, pp. 291-298.
25. Awal, A.S.M.A. and Hussin, M.W., 1999, "Concrete in Marine Environment: Influence of Palm Oil Fuel Ash on Strength and Durability", **Proceedings of the Sixth Cycle; Civil and Environment Engineering Conference New Frontiers and Challenges**, Vol. 3 (Part I), 8-12 November, Bangkok, Thailand, pp. (III~49)-(III~55).

26. Ishida, T., Hussin, M.W. and Awal, A.S.M.A., 1999, "A Study on Shrinkage of Concrete Containing Palm Oil Fuel Ash", **Proceedings of the Seventh East Asia-Pacific Conference on Structural Engineering & Construction**, Vol. 2, 27-29 August 1999, Kochi, Japan, pp. 1378-1383.
27. สุรพันธ์ สุกันปรีญ์, ชринทร์ นนรักษ์ และ ชัย ชาตรพิทักษ์กุล, 2545, "การใช้ภาคแคลเซียมคาร์บอเนตและถ่านปาล์มน้ำมันในงานคอนกรีต", การประชุมใหญ่ทางวิศวกรรมประจำปี 2545, 20-23 มิถุนายน, กรุงเทพฯ, หน้า 191-199.
28. วีรชาติ ตั้งจิรภัทร, 2546, การศึกษาคำสั่งอัดของมอร์ตาร์ที่ผสมถ่านปาล์มน้ำมันและการขยายตัวของแท่งมอร์ตาร์ที่ผสมถ่านปาล์มน้ำมันและถ่านแกลูบ-เปลือกไม้, วิทยานิพนธ์ปริญญา วิศวกรรมศาสตรมหาบัณฑิต สาขาวิชาวิศวกรรมโยธา คณะวิศวกรรมศาสตร์ มหาวิทยาลัยเทคโนโลยีพระจอมเกล้าธนบุรี, 75 หน้า.
29. วันชัย สะตะ, ชัย ชาตรพิทักษ์กุล และไกรวุฒิ เกียรติโภนล, "การใช้ถ่านปาล์มน้ำมันและถ่านแกลูบ-เปลือกไม้ในการทำคอนกรีตกำลังสูง", วิศวกรรมสาร ฉบับวิจัยและพัฒนา, ปีที่ 4, ฉบับที่ 2, พ.ศ. 2546, หน้า 27-32.
30. สำนักงานมาตรฐานผลิตภัณฑ์อุตสาหกรรม, 2532, นอ. 15-2532 : ปูนซีเมนต์ปอร์ตแลนด์ปอชโซลาน, หน้า 3-16.
31. American Society for Testing and Materials, 2001, "ASTM C 188 : Standard Test Method for Density of Hydraulic Cement", in **2001 Annual Book of ASTM Standards**, Vol. 04.01, Philadelphia, ASTM, pp. 179-180.
32. American Society for Testing and Materials, 2001, "ASTM C 204 : Standard Test Method for Fineness of Hydraulic Cement by Air Permeability Apparatus", in **2001 Annual Book of ASTM Standards**, Vol. 04.01, Philadelphia, ASTM, pp. 184-191.
33. American Society for Testing and Materials, 2001, "ASTM C 430 : Standard Test Method for Fineness of Hydraulic Cement by the 45- μm (No. 325) Sieve", in **2001 Annual Book of ASTM Standards**, Vol. 04.01, Philadelphia, ASTM, pp. 243-245.

34. American Society for Testing and Materials, 2001, "ASTM C 403 : Standard Test Method for Time of Setting of Concrete Mixtures by Penetration Resistance", in **2001 Annual Book of ASTM Standards**, Vol. 04.02, Philadelphia, ASTM, pp. 222-227.
35. American Society for Testing and Materials, 2001, "ASTM C 39 : Standard Test Method for Compressive Strength of Cylindrical Concrete Specimens", in **2001 Annual Book of ASTM Standards**, Vol. 04.02, Philadelphia, ASTM, pp. 18-22.
36. American Society for Testing and Materials, 2001, "ASTM C 192 : Standard Practice for Making and Curing Concrete Test Specimens in the Laboratory", in **2001 Annual Book of ASTM Standards**, Vol. 04.02, Philadelphia, ASTM, pp. 120-127.
37. American Society for Testing and Materials, 2001, "ASTM C 143 : Standard Test Method for Slump of Hydraulic-Cement Concrete", in **2001 Annual Book of ASTM Standards**, Vol. 04.02, Philadelphia, ASTM, pp. 89-91.
38. American Society for Testing and Materials, 2001, "ASTM C 157 : Standard Test Method for Length Change of Hardened Hydraulic-Cement Mortar and Concrete", in **2001 Annual Book of ASTM Standards**, Vol. 04.02, Philadelphia, ASTM, pp. 257-260.
39. Lea, F.M., 1970, **The Chemistry of Cement and Concrete**, Edward Arnold Publishers, Great Britain, pp. 361-371.
40. Paya, J., Monzo, J., Borrachero, M.V. and Mora, P.E., 1995, "Mechanical Treatments of Fly Ashes Part I: Physico-Chemical Characterization of Ground Fly Ashes", **Cement and Concrete Research**, Vol. 25, pp. 1469-1479.
41. Jaturapitakkul, C. and Cheerarot, R., 2003, "Development of Bottom Ash as Pozzolanic Material", **Journal of Materials in Civil Engineering**, ASCE, Vol. 15, pp. 48-53.

42. American Society for Testing and Materials, 2001, "ASTM C 150 : Standard Specification for Portland Cement", in 2001 Annual Book of ASTM Standards, Vol. 04.01, Philadelphia, ASTM, pp. 149-155.
43. ชัย ชาตรุพิทักษ์กุล, จักรพันธุ์ วงศ์พา และ สุรพันธ์ ศุภันปรีษ, 2545, "การพัฒนาเด้าเกลอบ-เปลือกไม้เพื่อใช้ในงานคอนกรีต", การประชุมวิชาการวิศวกรรมโยธาแห่งชาติ ครั้งที่ 8, 23-25 ตุลาคม 2545, หน้า (MAT-163)-(MAT-172).
44. Abrams, D.A., 1918, "Design of Concrete Mixtures", Structure Materials Research Laboratory, Bulletin 1, Levis Institute, Chicago, 20 p.
45. ปราการ ทองประไพ, 2541, ผลกระทบของสารละลายแมกนีเซียมซัลเฟตต่อกำลังอัดและการขยายตัวของวัสดุชีเมนต์ชั้นแทนที่ด้วยเด้าถ่านหินจากแม่น้ำ, วิทยานิพนธ์ปริญญา วิศวกรรมศาสตรมหาบัณฑิต สาขาวิชาวิศวกรรมโยธา คณะวิศวกรรมศาสตร์ สถาบันเทคโนโลยีพระจอมเกล้าชานบุรี, 103 หน้า.
46. พิชญา ธีระมิตร, 2544, การศึกษาการขยายตัวและกำลังอัดของเด้าถ่านหินมอร์ตาร์ในสารละลายแมกนีเซียมซัลเฟต, วิทยานิพนธ์ปริญญา วิศวกรรมศาสตรมหาบัณฑิต สาขาวิชาวิศวกรรมโยธา คณะวิศวกรรมศาสตร์ มหาวิทยาลัยเทคโนโลยีพระจอมเกล้าชานบุรี, 96 หน้า.
47. Santhanam, S., Cohen, M.D. and Olek, J., 2003, "Mechanism of Sulfate Attack : A Fresh Look Part 2. Proposed Mechanisms", Cement and Concrete Research, Vol. 33, pp. 341-346.
48. Bonen, D. and Cohen, M.D., 1991, "Magnesium Sulfate Attack on Portland Cement Paste-I Microstructural Analysis", Cement and Concrete Research, Vol. 22, pp. 169-180.
49. ชัย ชาตรุพิทักษ์กุล, ไกรฤทธิ์ กีเบรติโภนด และ สมชาย ชูชีพสกุล, 2537, "การศึกษาผลกระทบของซัลเฟตต่อก้อนกรีต", การประชุมทางวิชาการคณะวิศวกรรมศาสตร์ สจด. ครั้งที่ 2, 7-8 มิถุนายน 2537, หน้า 78-95.

50. Wee, T.H., Arvind, K., Suryavanshi, K., Wong, S.F. and Rahman, A.K.M.A., 2000, "Sulfate Resistance of Concrete Containing Mineral Admixtures", **ACI Materials Journal**, Vol. 97, pp. 536-549.
51. Cohen, M.D. and Bentur, A., 1988, "Durability of Portland Cement-Silica Fume Pastes in Magnesium Sulfate and Sodium Sulfate Solutions", **ACI Materials Journal**, Vol. 85, pp. 148-157.
52. Torii, K. and Kawamura, M., 1994, "Effects of Fly Ash and Silica Fume on The Resistance of Mortar to Sulfuric Acid and Sulfate Attack", **Cement and Concrete Research**, Vol. 24, pp. 361-370.
53. Gollop, R.S. and Taylor, H.F.W., 1992, "Microstructural and Microanalytical Studies of SulFate Attack. I. Ordinary Portland Cement Paste", **Cement and Concrete Research**, Vol. 22, pp. 1027-1038.
54. Moukwa, M., 1990, "The Attack of Cement Paste by $MgSO_4$ and $MgCl_2$ from the Pore Structure Measurements", **Cement and Concrete Research**, Vol. 20, pp. 148-158.
55. Tikalsky, P.J., Roy, D., Scheetz, B. and Krize, T., 2002, "Redefining Cement Characteristics for Sulfate-Resistance Portland Cement", **Cement and Concrete Research**, Vol. 32, pp. 1239-1246.
56. Tian, B. and Cohen, M.D., 2000, "Does Gypsum Formation during Sulfate Attack on Concrete Lead to Expansion", **Cement and Concrete Research**, Vol. 30, pp. 117-123.
57. Gonzalez, M.A. and Irassar, E.F., 1997, "Ettringite Formation in Low C₃A Portland Cement Exposed to Sodium Sulfates Solution", **Cement and Concrete Research**, Vol. 27, pp. 1061-1072.
58. Cohen, M.D. and Mather, B., 1991, "Sulfate Attack on Concrete Research Needs," **ACI Materials Journal**, Vol. 88, No. 1, pp. 62-69.

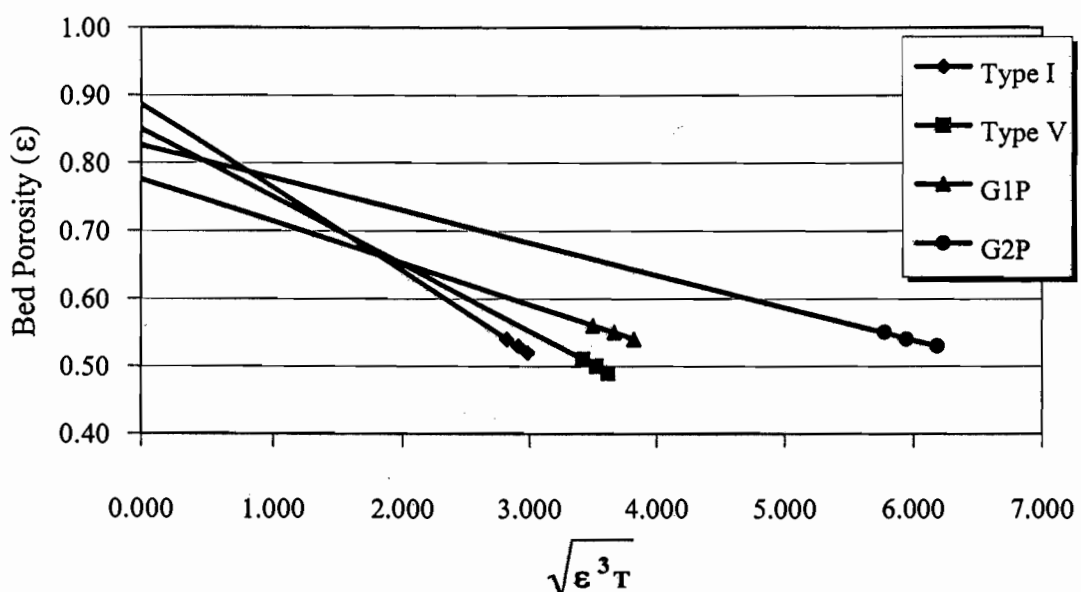
59. Teoreanu, I. and Dumitrescu, C., 1981, "Mechanisms of Controlled Expansion Cements Hardening", **Cement and Concrete Research**, Vol. 12, pp. 141-155.

ภาคผนวก ก

ตารางและรูปแสดงการคำนวณพื้นที่ผิวจำเพาะด้วยวิธี Blaine Air Permeability

ตารางที่ ก.1 ผลการทดสอบของหาพื้นที่ผิวจำเพาะด้วยบลีน Blaine Air Permeability ของปูนซีเมนต์
ปอร์ตแลนด์ประเภทที่ 1, ประเภทที่ 5 และถ้าปาล์มน้ำมัน

Sample	Specific Gravity	Bed Porosity (ϵ)	Weight (g)	Time (T) (sec)	$\sqrt{\epsilon^3 T}$	b	Surface Area (cm ² /g)	Avg. Surface Area (cm ² /g)
Standard	3.15	0.50	2.77	92.77	3.405	0.900	3,774	3,774
Cement Type I	3.14	0.52	2.65	63.29	2.983	0.886	3,626	3,630
		0.53	2.60	56.89	2.910		3,636	
		0.54	2.54	50.52	2.820		3,626	
		0.49	2.90	111.18	3.617		4,438	
Cement Type V	3.17	0.50	2.85	99.30	3.523	0.849	4,447	4,440
		0.51	2.79	87.94	3.415		4,438	
		0.54	2.00	92.78	3.822		8,377	
G1P	2.36	0.55	1.96	80.81	3.667	0.775	8,393	8,380
		0.56	1.92	69.64	3.497		8,377	
		0.53	2.11	257.04	6.186		10,472	
G2P	2.43	0.54	2.06	224.48	5.945	0.826	10,417	10,460
		0.55	2.02	200.23	5.772		10,480	



รูปที่ ก.1 การหาค่าคงที่ b ในการวัดพื้นที่ผิวจำเพาะของ Blaine ของปูนซีเมนต์ปอร์ตแลนด์
ประเภทที่ 1, ประเภทที่ 5 และถ้าปาล์มน้ำมัน

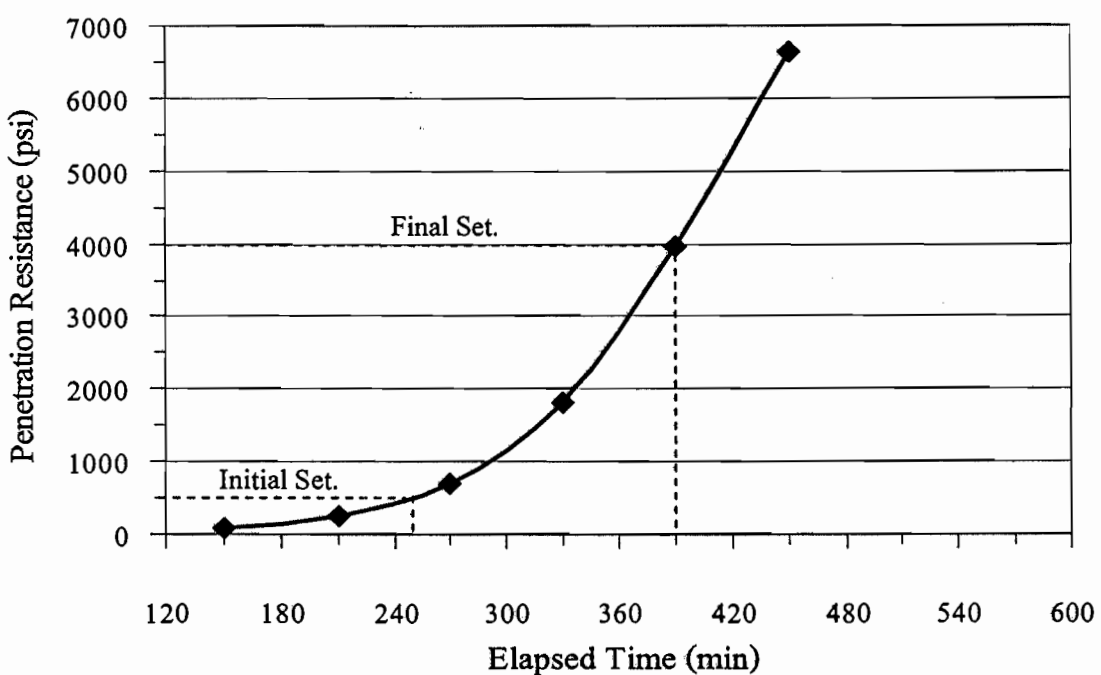
ภาคผนวก ข

ตารางแสดงรูปแสดงการทดสอบหาระยะเวลาการก่อตัวของคอนกรีต

ตารางที่ ข.1 การทดสอบหาระยะเวลาการก่อตัวของคอนกรีตควบคุม CT1

Specimen : CT1	Temp. = 24 °C
W / B = 0.70	Slump = 6.5 cm

Elapsed Time (min)	sample 1			sample 2			Average Resistance (psi)
	Bearing Area (in)	Load (lb)	Resistance (psi)	Bearing Area (in)	Load (lb)	Resistance (psi)	
150	1/2	38	76	1/2	58	116	96
210	1/2	132	264	1/2	124	248	256
270	1/4	170	680	1/10	74	740	710
330	1/20	92	1840	1/20	90	1800	1820
390	1/40	96	3840	1/40	102	4080	3960
450	1/40	156	6240	1/40	176	7040	6640
510							
570							
630							
Initial Set.	250 min			Final Set.	390 min		

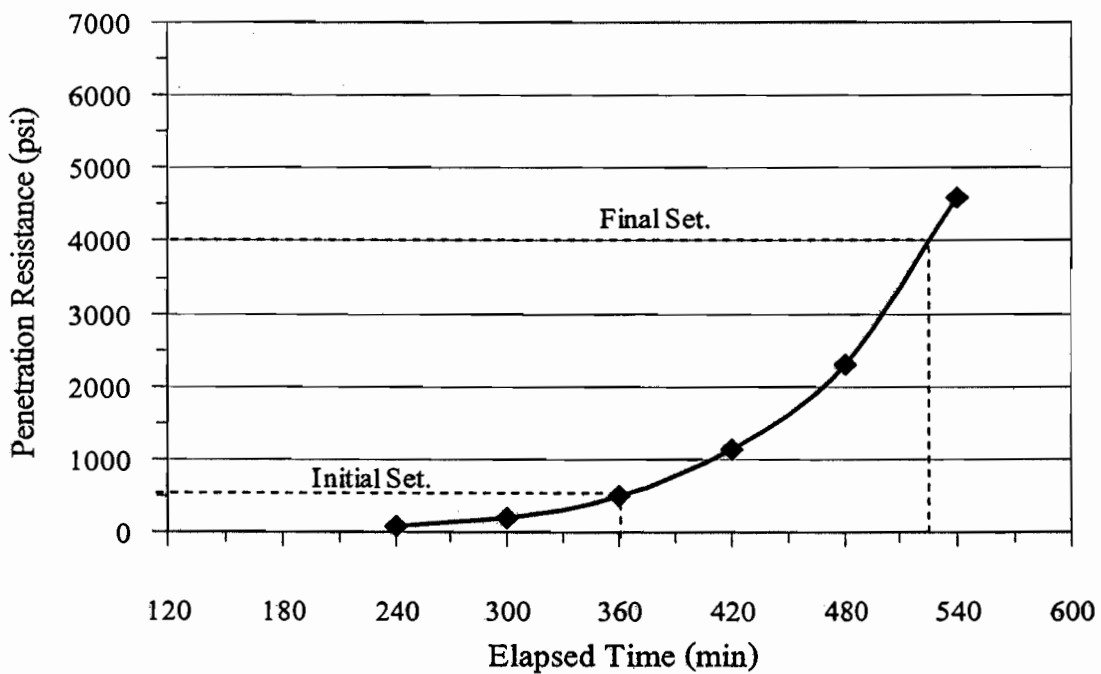


รูปที่ ข.1 ความสัมพันธ์ระหว่างแรงด้านทานกับเวลาหลังการผสมของคอนกรีตควบคุม CT1

ตารางที่ ข.2 การทดสอบหาระยะเวลาการก่อตัวของคอนกรีตควบคุม CT5

Specimen :	CT5	Temp.	=	24	$^{\circ}\text{C}$
W / B	= 0.70	Slump	=	6.5	cm

Elapsed Time (min)	sample 1			sample 2			Average Resistance (psi)
	Bearing Area (in)	Load (lb)	Resistance (psi)	Bearing Area (in)	Load (lb)	Resistance (psi)	
240	1	78	78	1	82	82	80
300	1/2	92	184	1/2	102	204	194
360	1/4	112	448	1/4	136	544	496
420	1/10	116	1160	1/10	110	1100	1130
480	1/20	110	2200	1/20	120	2400	2300
540	1/40	128	5120	1/40	102	4080	4600
600							
660							
730							
Initial Set.	360 min		Final Set.	525 min			

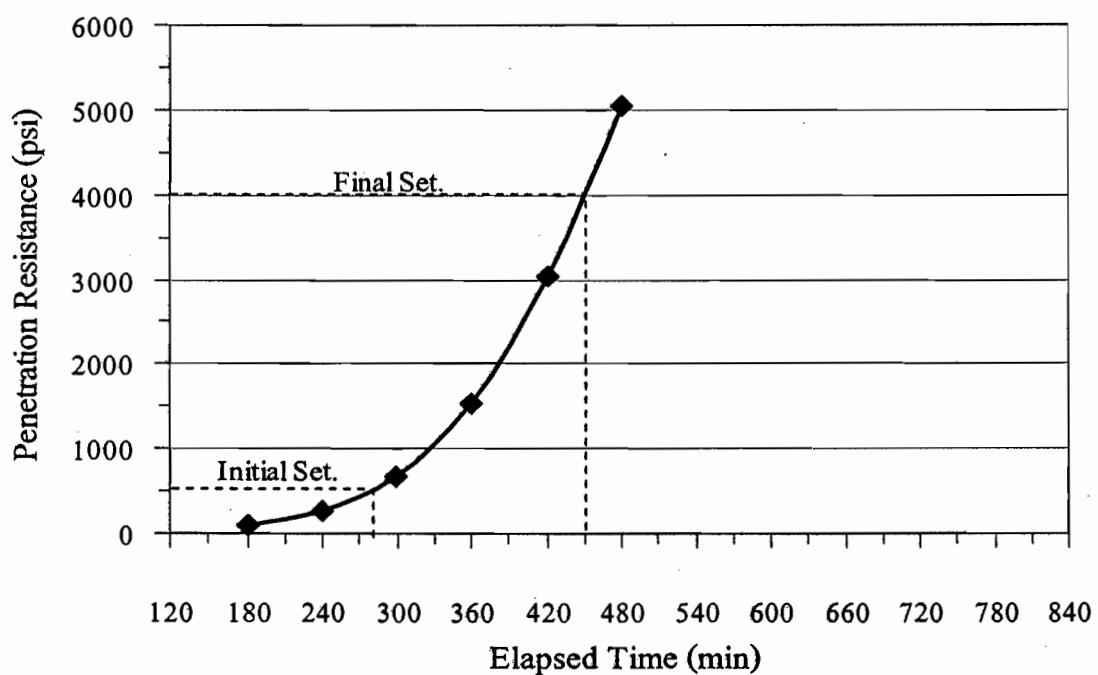


รูปที่ ข.2 ความสัมพันธ์ระหว่างแรงด้านทานกับเวลาหลังการผสมของคอนกรีตควบคุม CT5

ตารางที่ ข.3 การทดสอบหาระยะเวลาการก่อตัวของคอนกรีต OP10

Specimen :	OP10	Temp.	=	24	°C
W / B	= 0.72	Slump	=	6.5	cm

Elapsed Time (min)	sample 1			sample 2			Average Resistance (psi)
	Bearing Area (in)	Load (lb)	Resistance (psi)	Bearing Area (in)	Load (lb)	Resistance (psi)	
180	1	82	82	1	100	100	91
240	1/2	126	252	1/2	142	284	268
300	1/4	160	640	1/4	174	696	668
360	1/10	140	1400	1/10	165	1650	1525
420	1/20	154	3080	1/20	150	3000	3040
480	1/40	128	5120	1/40	124	4960	5040
540							
600							
660							
Initial Set.	280 min			Final Set.	450 min		

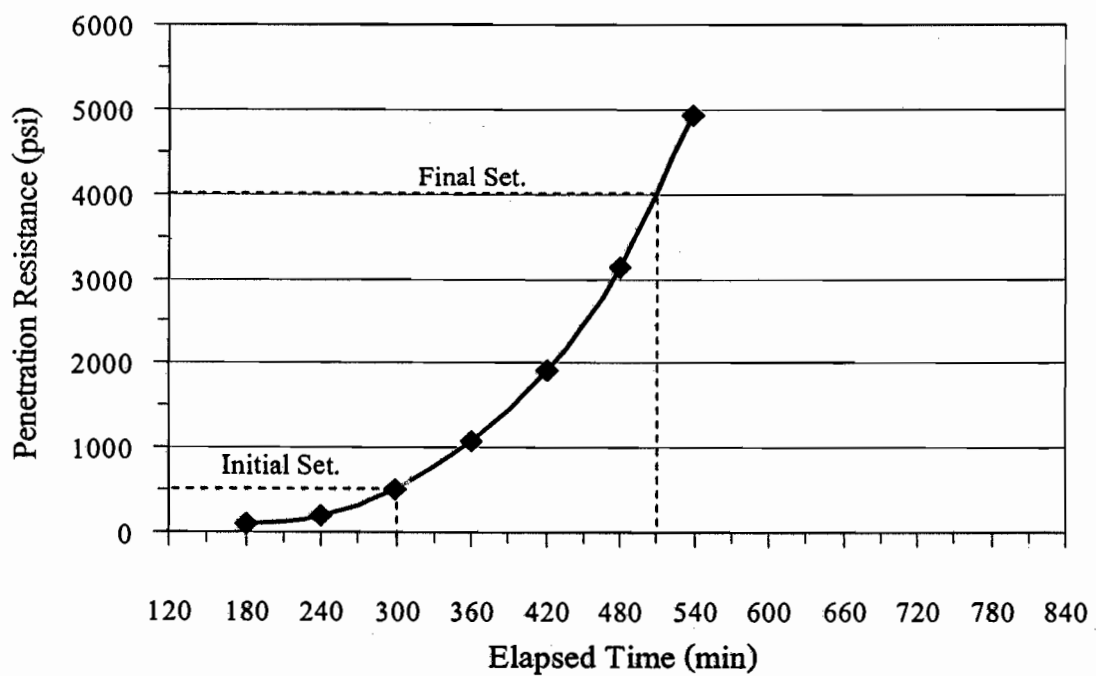


รูปที่ ข.3 ความสัมพันธ์ระหว่างแรงต้านทานกับเวลาหลังการผสมของคอนกรีต OP10

ตารางที่ บ.4 การทดสอบหาระยะเวลาการก่อตัวของคอนกรีต OP20

Specimen :	OP20	Temp.	=	24	$^{\circ}\text{C}$
W / B	= 0.77	Slump	=	6.0	cm

Elapsed Time (min)	sample 1			sample 2			Average Resistance (psi)
	Bearing Area (in)	Load (lb)	Resistance (psi)	Bearing Area (in)	Load (lb)	Resistance (psi)	
180	1	90	90	1	84	84	87
240	1/2	94	188	1/2	96	192	190
300	1/4	126	504	1/4	122	488	496
360	1/10	110	1100	1/10	104	1040	1070
420	1/20	100	2000	1/20	92	1840	1920
480	1/40	75	3000	1/40	82	3280	3140
540	1/40	126	5040	1/40	120	4800	4920
600							
660							
Initial Set.	300 min			Final Set.	510 min		

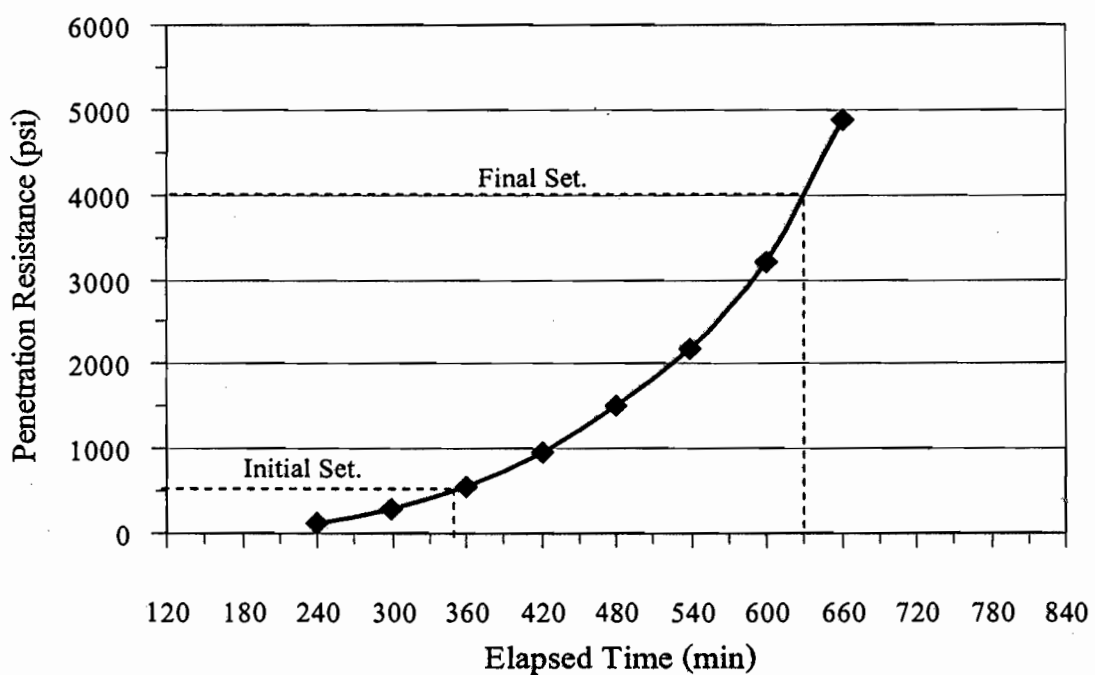


รูปที่ บ.4 ความสัมพันธ์ระหว่างแรงต้านทานกับเวลาหลังการผสมของคอนกรีต OP20

ตารางที่ ข.5 การทดสอบหาระยะเวลาการก่อตัวของคอนกรีต OP30

Specimen :	OP30	Temp.	=	24	$^{\circ}\text{C}$
W / B	= 0.87	Slump	=	8.0	cm

Elapsed Time (min)	sample 1			sample 2			Average Resistance (psi)
	Bearing Area (in)	Load (lb)	Resistance (psi)	Bearing Area (in)	Load (lb)	Resistance (psi)	
240	1	120	120	1	118	118	119
300	1/2	128	256	1/2	152	304	280
360	1/4	140	560	1/4	134	536	548
420	1/10	90	900	1/10	100	1000	950
480	1/20	70	1400	1/20	80	1600	1500
540	1/20	104	2080	1/20	114	2280	2180
600	1/20	146	2920	1/20	174	3480	3200
660	1/40	122	4880	1/40	122	4880	4880
720							
Initial Set.	350 min			Final Set.	630 min		

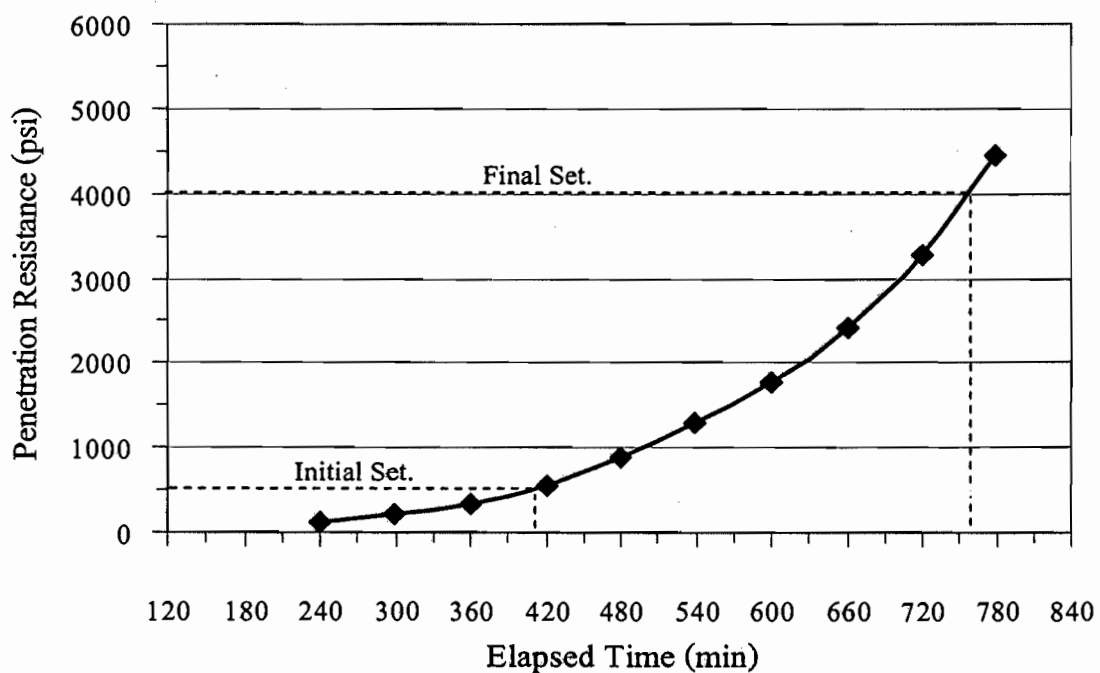


รูปที่ ข.5 ความสัมพันธ์ระหว่างแรงต้านทานกับเวลาหลังการผสมของคอนกรีต OP30

ตารางที่ ข.6 การทดสอบหาระยะเวลาการก่อตัวของคอนกรีต OP40

Specimen :	OP40	Temp.	=	24	$^{\circ}\text{C}$
W / B	= 0.95	Slump	=	8.0	cm

Elapsed Time (min)	sample 1			sample 2			Average Resistance (psi)
	Bearing Area (in)	Load (lb)	Resistance (psi)	Bearing Area (in)	Load (lb)	Resistance (psi)	
240	1	104	104	1	112	112	108
300	1/2	106	212	1/2	116	232	222
360	1/4	82	328	1/4	90	360	344
420	1/10	56	560	1/10	52	520	540
480	1/20	46	920	1/20	42	840	880
540	1/20	62	1240	1/20	67	1340	1290
600	1/20	86	1720	1/20	90	1800	1760
660	1/20	122	2440	1/20	120	2400	2420
720	1/40	84	3360	1/40	80	3200	3280
780	1/40	108	4320	1/40	114	4560	4440
Initial Set.	410 min			Final Set.	760 min		

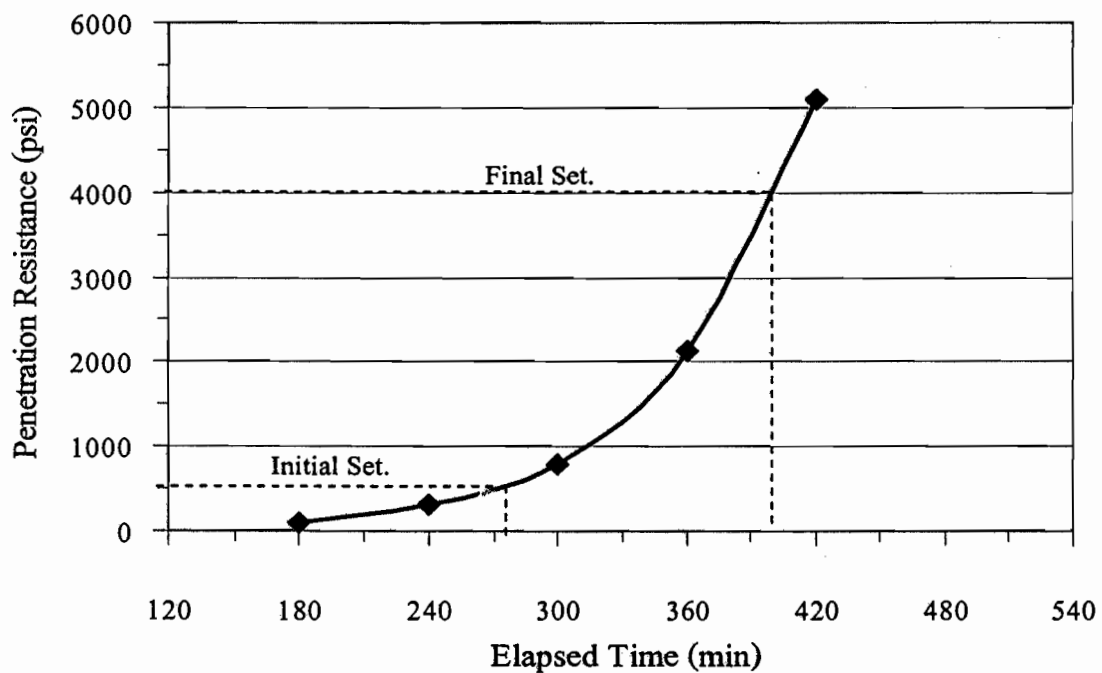


รูปที่ ข.6 ความสัมพันธ์ระหว่างแรงด้านทานกับเวลาหลังการผสมของคอนกรีต OP40

ตารางที่ ข.7 การทดสอบหาระยะเวลาการก่อตัวของคอนกรีต G1P10

Specimen :	G1P10	Temp.	=	24	$^{\circ}\text{C}$
W / B	= 0.72	Slump	=	8.0	cm

Elapsed Time (min)	sample 1			sample 2			Average Resistance (psi)
	Bearing Area (in)	Load (lb)	Resistance (psi)	Bearing Area (in)	Load (lb)	Resistance (psi)	
180	1	80	80	1	96	96	88
240	1/2	154	308	1/2	148	296	302
300	1/4	198	792	1/4	200	800	796
360	1/20	112	2240	1/20	100	2000	2120
420	1/40	135	5400	1/40	120	4800	5100
480							
540							
600							
660							
Initial Set.	275 min			Final Set.	400 min		

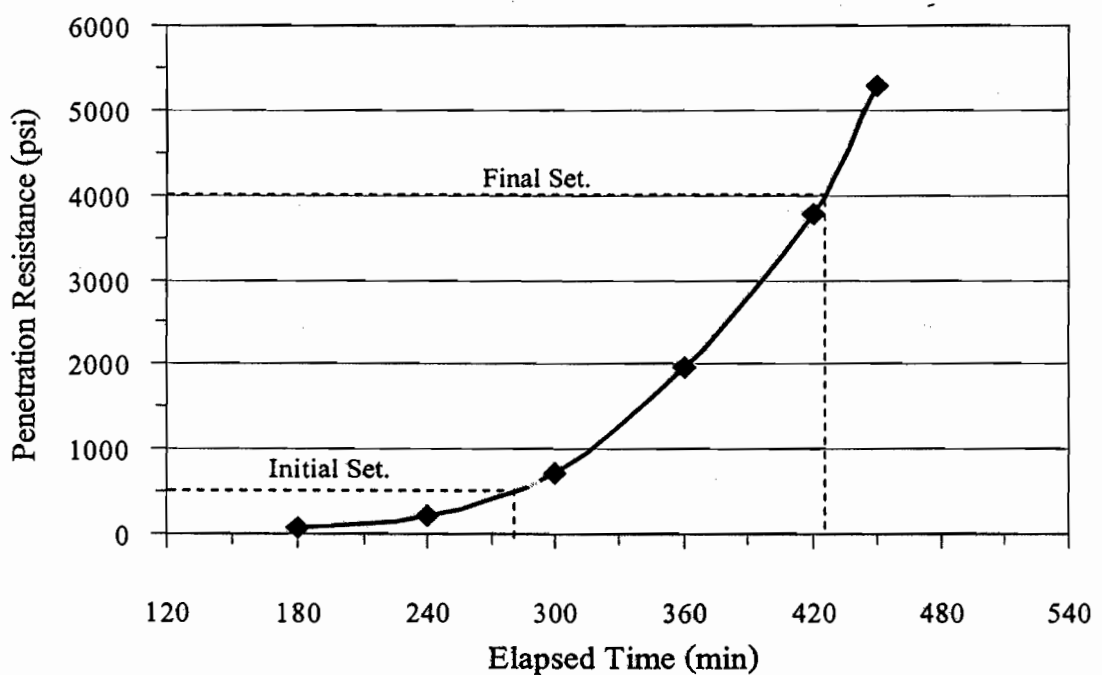


รูปที่ ข.7 ความสัมพันธ์ระหว่างแรงด้านทานกับเวลาหลังการผสานของคอนกรีต G1P10

ตารางที่ ข.8 การทดสอบหาระยะเวลาการก่อตัวของคอนกรีต G1P20

Specimen :	G1P20	Temp.	=	24	$^{\circ}\text{C}$
W / B	= 0.73	Slump	=	7.5	cm

Elapsed Time (min)	sample 1			sample 2			Average Resistance (psi)
	Bearing Area (in)	Load (lb)	Resistance (psi)	Bearing Area (in)	Load (lb)	Resistance (psi)	
180	1	80	80	1	80	80	80
240	1/2	110	220	1/2	110	220	220
300	1/4	182	728	1/4	180	720	724
360	1/10	192	1920	1/10	200	2000	1960
420	1/20	185	3700	1/20	192	3840	3770
450	1/40	122	4880	1/40	142	5680	5280
510							
570							
630							
Initial Set.	280 min			Final Set.	425 min		

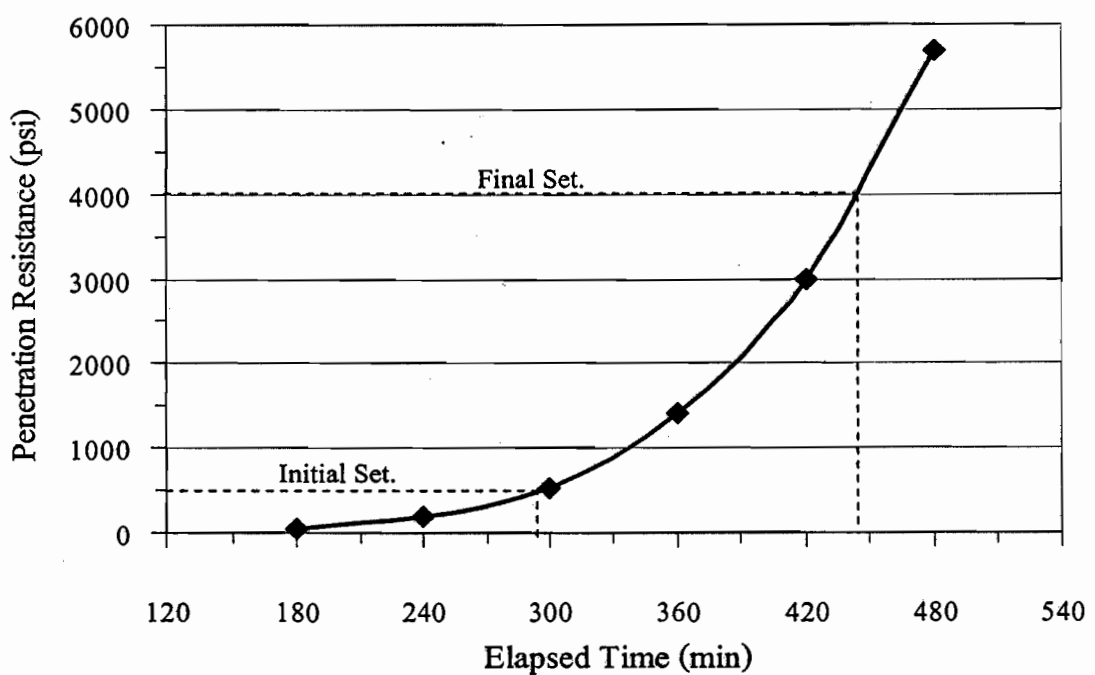


รูปที่ ข.8 ความสัมพันธ์ระหว่างแรงด้านทานกับเวลาหลังการผสมของคอนกรีต G1P20

ตารางที่ ข.9 การทดสอบหาระยะเวลาการก่อตัวของคอนกรีต G1P30

Specimen :	G1P30	Temp.	=	24	$^{\circ}\text{C}$
W / B	= 0.73	Slump	=	7.0	cm

Elapsed Time (min)	sample 1			sample 2			Average Resistance (psi)
	Bearing Area (in)	Load (lb)	Resistance (psi)	Bearing Area (in)	Load (lb)	Resistance (psi)	
180	1	48	48	1	62	62	55
240	1/2	98	196	1/2	88	176	186
300	1/4	130	520	1/4	138	552	536
360	1/10	144	1440	1/10	138	1380	1410
420	1/20	144	2880	1/20	154	3080	2980
480	1/40	144	5760	1/40	140	5600	5680
540							
600							
660							
Initial Set.	295 min			Final Set.	445 min		

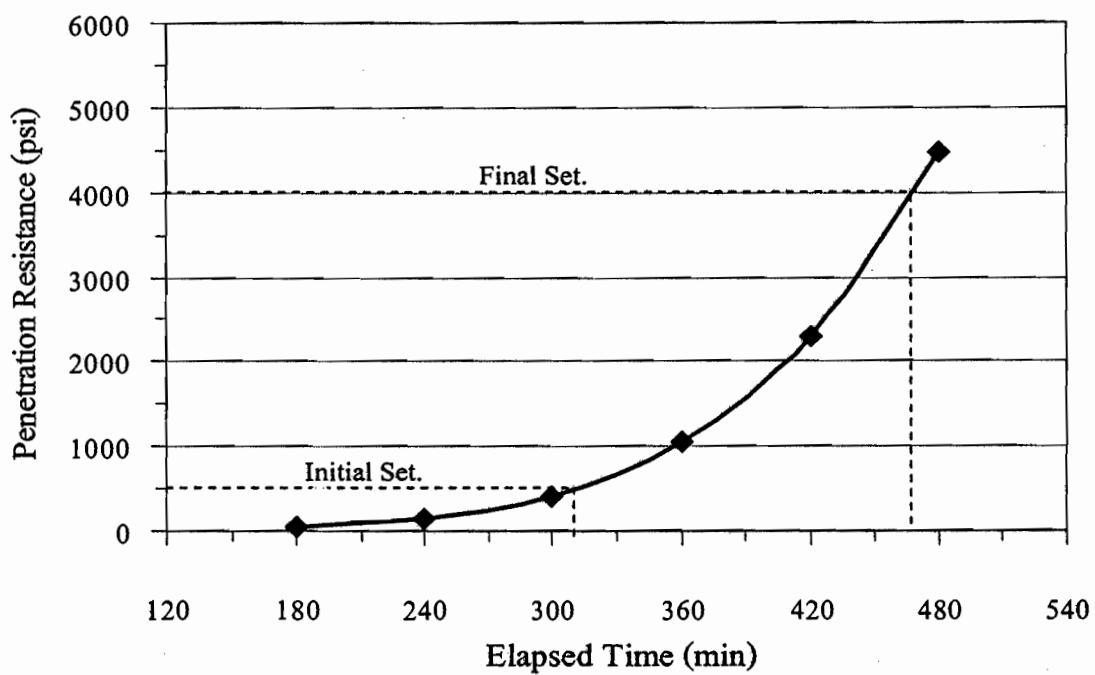


รูปที่ ข.9 ความสัมพันธ์ระหว่างแรงด้านทานกับเวลาหลังการผสมของคอนกรีต G1P30

ตารางที่ ข.10 การทดสอบหาระยะเวลาการก่อตัวของคอนกรีต G1P40

Specimen :	G1P40	Temp.	=	24	$^{\circ}\text{C}$
W / B	= 0.74	Slump	=	7.0	cm

Elapsed Time (min)	sample 1			sample 2			Average Resistance (psi)
	Bearing Area (in)	Load (lb)	Resistance (psi)	Bearing Area (in)	Load (lb)	Resistance (psi)	
180	1	38	38	1	52	52	45
240	1	152	152	1	156	156	154
300	1/2	198	396	1/2	200	400	398
360	1/10	110	1100	1/10	100	1000	1050
420	1/20	118	2360	1/20	112	2240	2300
480	1/40	102	4080	1/40	122	4880	4480
540							
600							
660							
Initial Set.	310 min			Final Set.	465 min		

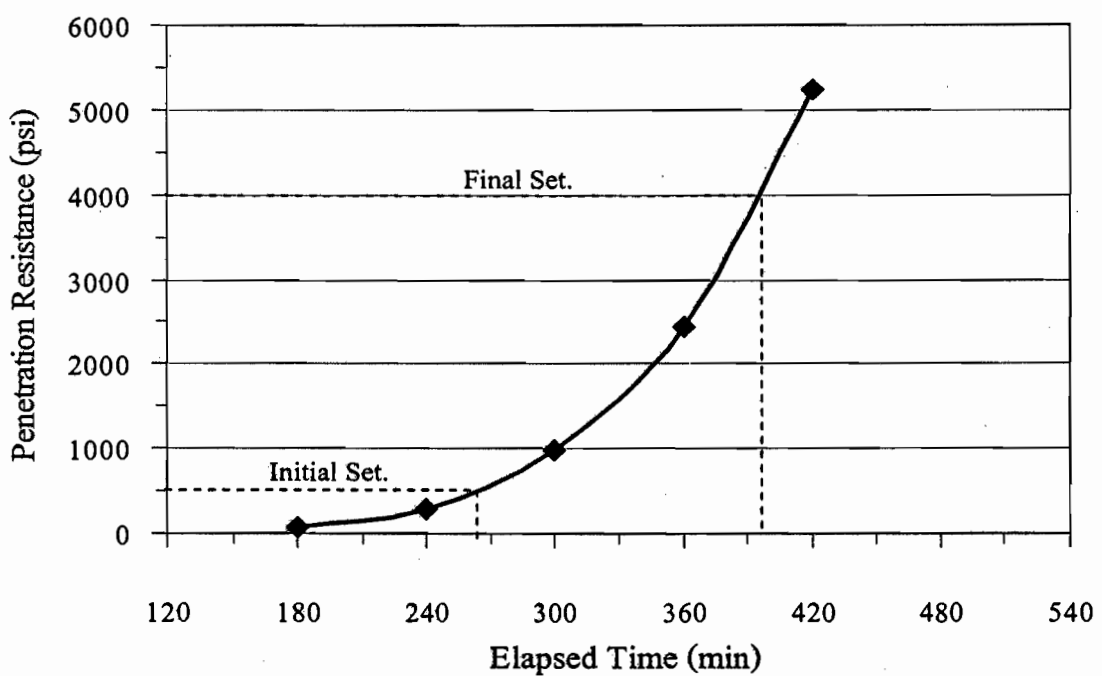


รูปที่ ข.10 ความสัมพันธ์ระหว่างแรงด้านทานกับเวลาหลังการผสมของคอนกรีต G1P40

ตารางที่ ข.11 การทดสอบหาระยะเวลาการก่อตัวของคอนกรีต G2P10

Specimen :	G2P10	Temp.	=	24	$^{\circ}\text{C}$
W / B	= 0.68	Slump	=	5.5	cm

Elapsed Time (min)	sample 1			sample 2			Average Resistance (psi)
	Bearing Area (in)	Load (lb)	Resistance (psi)	Bearing Area (in)	Load (lb)	Resistance (psi)	
180	1	68	68	1	92	92	80
240	1/2	128	256	1/2	162	324	290
300	1/10	94	940	1/10	104	1040	990
360	1/20	134	2680	1/20	110	2200	2440
420	1/40	112	4480	1/40	150	6000	5240
480							
540							
600							
660							
Initial Set.	265 min			Final Set.	395 min		

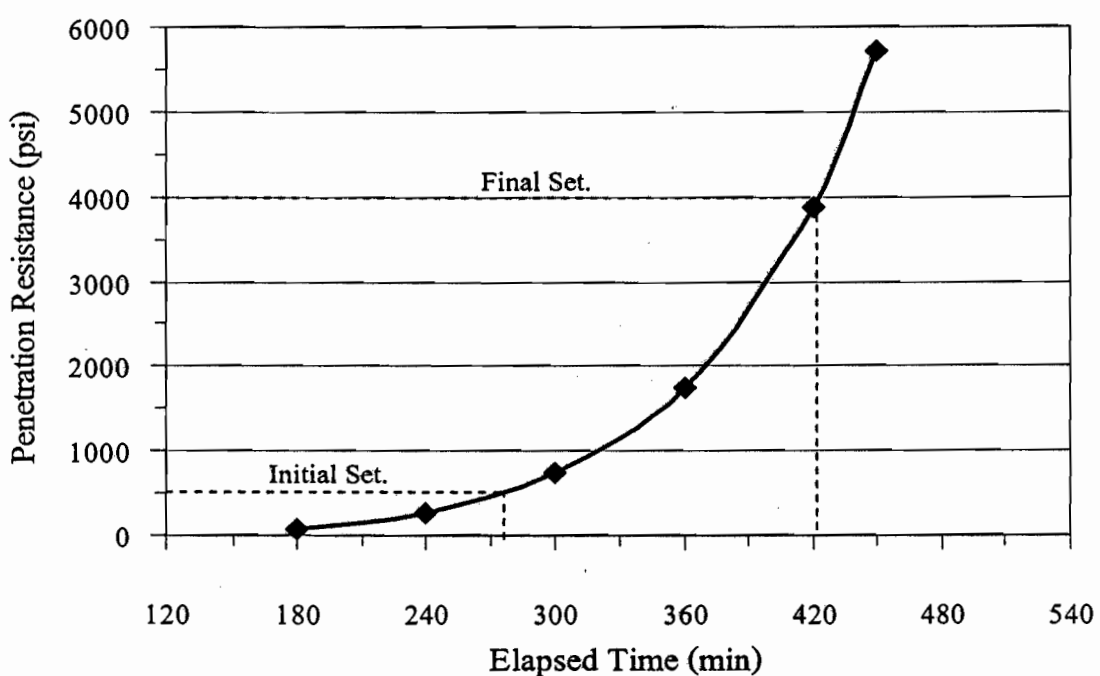


รูปที่ ข.11 ความสัมพันธ์ระหว่างแรงด้านทานกับเวลาหลังการผสมของคอนกรีต G2P10

ตารางที่ ข.12 การทดสอบหาระยะเวลาการก่อตัวของคอนกรีต G2P20

Specimen :	G2P20	Temp.	=	24	$^{\circ}\text{C}$
W / B	= 0.70	Slump	=	6.0	cm

Elapsed Time (min)	sample 1			sample 2			Average Resistance (psi)
	Bearing Area (in)	Load (lb)	Resistance (psi)	Bearing Area (in)	Load (lb)	Resistance (psi)	
180	1	72	72	1	54	54	63
240	1/2	118	236	1/2	142	284	260
300	1/4	182	728	1/4	184	736	732
360	1/10	172	1720	1/10	178	1780	1750
420	1/20	192	3840	1/20	195	3900	3870
450	1/40	142	5680	1/40	144	5760	5720
480							
510							
540							
Initial Set.	275 min			Final Set.	420 min		

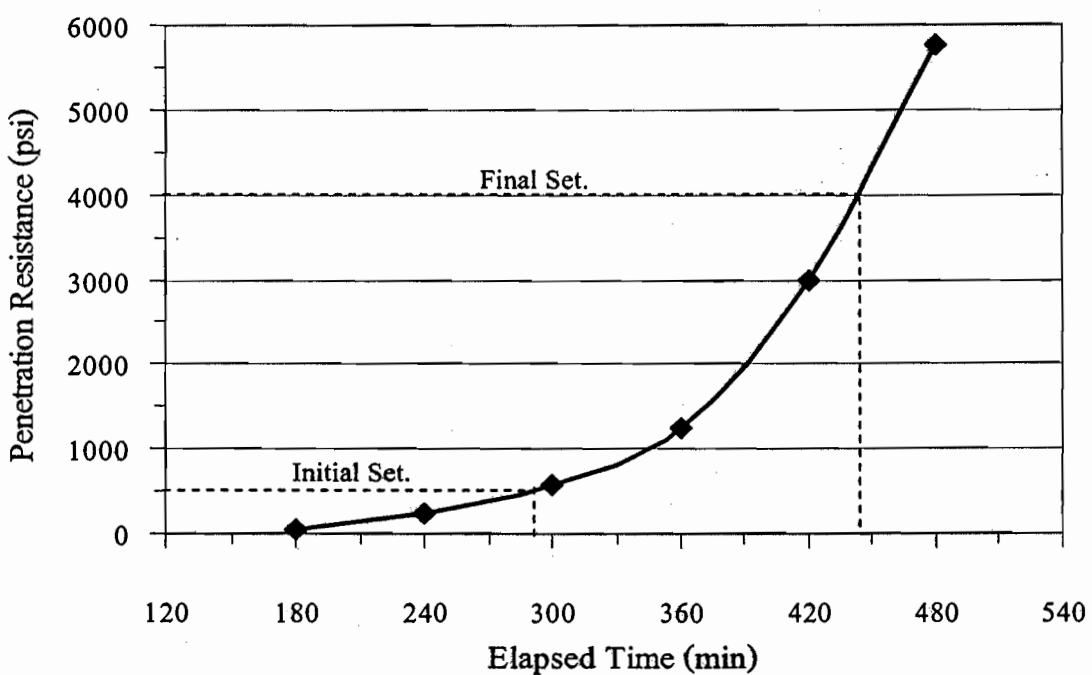


รูปที่ ข.12 ความสัมพันธ์ระหว่างแรงด้านทานกับเวลาหลังการผสมของคอนกรีต G2P20

ตารางที่ บ.13 การทดสอบหาระยะเวลาการก่อตัวของคอนกรีต G2P30

Specimen :	G2P30	Temp.	=	24	$^{\circ}\text{C}$
W / B	= 0.71	Slump	=	6.0	cm

Elapsed Time (min)	sample 1			sample 2			Average Resistance (psi)
	Bearing Area (in)	Load (lb)	Resistance (psi)	Bearing Area (in)	Load (lb)	Resistance (psi)	
180	1	64	64	1	40	40	52
240	1/2	125	250	1/2	120	240	245
300	1/4	146	584	1/4	138	552	568
360	1/10	122	1220	1/10	126	1260	1240
420	1/20	144	2880	1/20	154	3080	2980
480	1/40	140	5600	1/40	148	5920	5760
510							
540							
570							
Initial Set.	290 min			Final Set.	445 min		

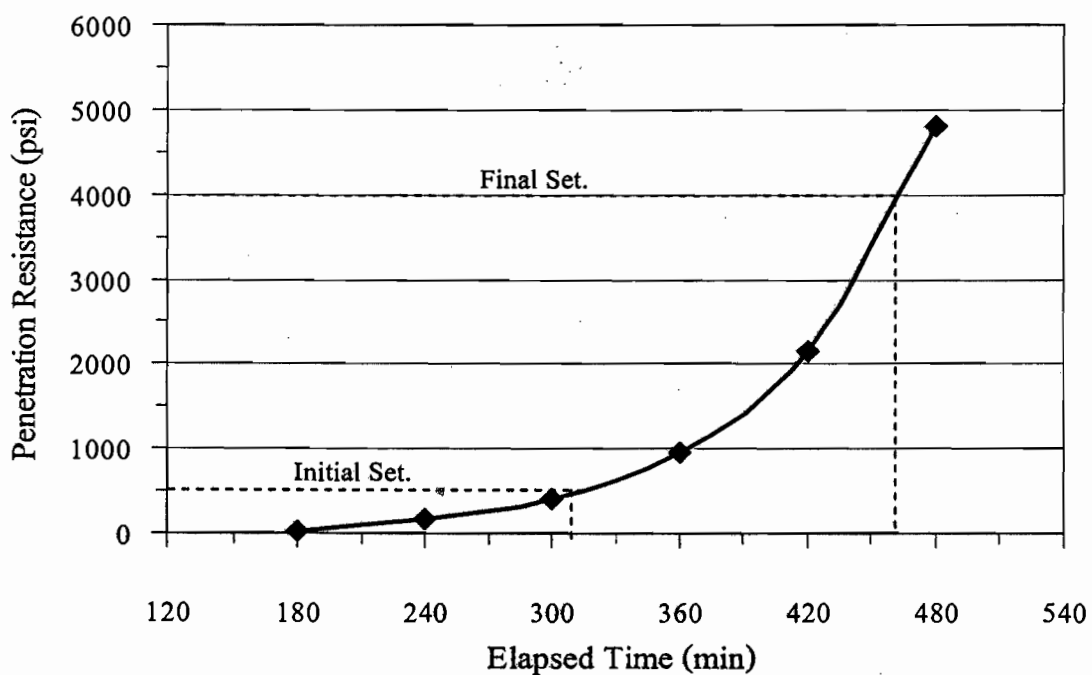


รูปที่ บ.13 ความสัมพันธ์ระหว่างแรงด้านท่านกับเวลาหลังการผสมของคอนกรีต G2P30

ตารางที่ ช.14 การทดสอบหาระยะเวลาการก่อตัวของคอนกรีต G2P40

Specimen :	G2P40	Temp.	=	24	$^{\circ}\text{C}$
W / B	= 0.72	Slump	=	6.0	cm

Elapsed Time (min)	sample 1			sample 2			Average Resistance (psi)
	Bearing Area (in)	Load (lb)	Resistance (psi)	Bearing Area (in)	Load (lb)	Resistance (psi)	
180	1	12	12	1	22	22	17
240	1	134	134	1	192	192	163
300	1/2	200	400	1/2	198	396	398
360	1/10	98	980	1/10	94	940	960
420	1/20	100	2000	1/20	114	2280	2140
480	1/40	116	4640	1/40	124	4960	4800
510							
540							
570							
Initial Set.	310 min			Final Set.	460 min		



รูปที่ ช.14 ความสัมพันธ์ระหว่างแรงด้านทานกับเวลาหลังการผสมของคอนกรีต G2P40

ภาคผนวก ค
ผลการทดสอบกำลังขัดของคอนกรีต

ตารางที่ ค.1 ผลการทดสอบกำลังอัดของคอนกรีตควบคุม CT1W ที่บ่อบนในน้ำประปา

Specimen : CT1W						Date of Casting : 21 / 07 / 2003				
W / B = 0.70						Slump = 6.5 cm				
Age (days)	Test Date	No.	Weight (kg)	Dimension (cm)		Density (kg/m ³)	Area (cm ²)	Load (kN)	Stress (ksc)	Average (ksc)
				Diameter	Height					
3	24/07/2003	1	3.780	10.00	19.80	2432	78.50	136.6	177.38	178.12
		2	3.730	10.00	19.90	2388	78.50	138.0	179.20	
		3	3.760	10.00	20.00	2395	78.50	136.9	177.77	
7	28/07/2003	1	3.710	10.05	19.60	2387	79.29	176.7	227.18	235.35
		2	3.720	9.90	20.20	2394	76.94	183.8	243.52	
		3	3.740	10.40	20.30	2170	84.91	177.9	213.58	
14	04/08/2003	1	3.660	9.94	20.00	2359	77.56	199.7	262.46	280.18
		2	3.660	9.95	20.04	2350	77.72	206.6	270.99	
		3	3.670	10.00	20.10	2326	78.50	215.7	280.10	
28	18/08/2003	1	3.700	9.97	20.08	2361	78.03	245.8	321.11	319.24
		2	3.730	9.97	20.09	2379	78.03	239.9	313.40	
		3	3.790	10.02	20.25	2375	78.81	249.9	323.22	
60	19/09/2003	1	3.700	10.03	20.05	2337	78.97	285.6	368.65	362.13
		2	3.730	9.95	20.13	2384	77.72	258.4	338.93	
		3	3.730	9.95	20.25	2370	77.72	288.8	378.80	
90	19/10/2003	1	3.700	10.00	20.23	2330	78.50	275.4	357.62	370.79
		2	3.700	10.00	20.17	2337	78.50	285.6	370.87	
		3	3.700	10.04	20.20	2315	79.13	298.0	383.89	
180	17/01/2004	1	3.680	10.05	19.96	2325	79.29	299.6	385.19	385.18
		2	3.760	10.09	20.14	2336	79.92	309.6	394.89	
		3	3.720	10.07	20.10	2325	79.60	293.2	375.46	
270	16/04/2004	1	3.750	10.00	20.17	2368	78.50	299.2	388.53	392.38
		2	3.760	10.00	20.30	2360	78.50	302.3	392.55	
		3	3.730	10.00	20.20	2352	78.50	305.0	396.06	
360	15/07/2004	1	3.730	9.98	20.10	2373	78.19	308.0	401.56	397.45
		2	3.740	9.97	20.06	2389	78.03	302.3	394.92	
		3	3.790	10.04	20.10	2383	79.129	307.3	395.87	

ตารางที่ ก.2 ผลการทดสอบค่าลังอัดของคอนกรีตควบคุม CT5W ที่ปั้นในน้ำประปา

Specimen : CT5W					Date of Casting : 22 / 07 / 2003					
W / B = 0.70					Slump = 6.5 cm					
Age (days)	Test Date	No.	Weight (kg)	Dimension (cm)		Density (kg/m ³)	Area (cm ²)	Load (kN)	Stress (ksc)	Average (ksc)
				Diameter	Height					
3	25/07/2003	1	3.699	9.96	20.10	2362	77.91	88.5	115.79	122.27
		2	3.697	10.00	20.00	2354	78.54	94.4	122.52	
		3	3.715	10.10	20.20	2295	80.12	101.0	128.50	
7	29/07/2003	1	3.666	9.98	20.02	2341	78.23	137.6	179.31	183.20
		2	3.669	9.97	20.17	2330	78.07	144.5	188.68	
		3	3.676	10.01	20.19	2314	78.70	140.2	181.60	
14	05/08/2003	1	3.699	9.99	20.13	2344	78.38	198.3	257.89	251.70
		2	3.714	10.02	20.27	2324	78.85	189.9	245.49	
		3	3.715	10.05	20.06	2335	79.33	195.9	251.73	
28	19/08/2003	1	3.724	10.00	20.21	2346	78.54	249.0	323.18	316.11
		2	3.725	10.09	20.13	2314	79.96	242.4	309.02	
		3	3.728	10.06	20.15	2328	79.49	246.5	316.13	
60	20/09/2003	1	3.743	9.99	20.30	2352	78.38	283.6	368.82	372.63
		2	3.734	9.94	20.30	2370	77.60	286.6	376.48	
		3	3.760	9.99	20.50	2340	78.38	286.5	372.59	
90	20/10/2003	1	3.749	10.01	20.40	2335	78.70	322.7	418.00	393.92
		2	3.758	10.10	20.20	2322	80.12	297.4	378.39	
		3	3.777	10.12	20.20	2325	80.44	304.1	385.39	
180	18/01/2004	1	3.700	10.01	20.07	2343	78.70	319.8	414.24	414.82
		2	3.704	10.01	20.10	2342	78.70	320.8	415.53	
		3	3.704	10.00	20.10	2346	78.54	319.5	414.68	
270	17/04/2004	1	3.655	9.99	20.10	2320	78.38	318.6	414.34	422.80
		2	3.655	9.98	20.02	2334	78.23	319.5	416.34	
		3	3.687	10.02	20.08	2329	78.85	338.6	437.72	
360	16/07/2004	1	3.709	10.00	20.00	2361	78.54	340.1	441.42	429.04
		2	3.711	10.00	20.00	2362	78.54	323.6	420.00	
		3	3.748	10.00	20.00	2386	78.54	328.0	425.71	

ตารางที่ ค.3 ผลการทดสอบกำลังอัดของคอนกรีต OP10W ที่บ่มในน้ำประปา

Specimen : OP10W					Date of Casting : 24 / 07 / 2003					
W / B = 0.72					Slump = 6.5 cm					
Age (days)	Test Date	No.	Weight (kg)	Dimension (cm)		Density (kg/m ³)	Area (cm ²)	Load (kN)	Stress (ksc)	Average (ksc)
				Diameter	Height					
3	27/07/2003	1	3.677	10.00	20.02	2339	78.54	99.0	128.49	127.49
		2	3.681	9.98	20.06	2346	78.23	98.3	128.10	
		3	3.682	9.99	20.00	2349	78.38	96.8	125.89	
7	31/07/2003	1	3.734	10.05	20.06	2347	79.33	134.1	172.32	174.58
		2	3.735	10.01	20.22	2347	78.70	137.4	177.98	
		3	3.736	10.04	20.05	2354	79.17	134.7	173.44	
14	07/08/2003	1	3.767	10.05	20.30	2339	79.33	156.2	200.72	213.54
		2	3.771	10.02	20.25	2362	78.85	172.6	223.12	
		3	3.774	10.08	20.18	2344	79.80	169.7	216.77	
28	21/08/2003	1	3.690	10.03	19.99	2336	79.01	190.0	245.13	245.13
		2	3.693	9.99	20.07	2348	78.38	198.3	257.89	
		3	3.709	10.02	19.94	2359	78.85	204.9	264.88	
60	22/09/2003	1	3.724	10.00	20.10	2359	78.54	213.5	277.10	281.39
		2	3.744	10.04	20.10	2353	79.17	217.2	279.66	
		3	3.753	10.06	20.00	2361	79.49	224.1	287.40	
90	22/10/2003	1	3.709	10.01	20.07	2348	78.70	225.0	291.44	291.57
		2	3.710	10.00	20.10	2350	78.54	219.9	285.41	
		3	3.726	10.00	20.30	2337	78.54	229.5	297.87	
180	20/01/2004	1	3.753	10.03	20.20	2351	79.01	241.3	311.31	308.24
		2	3.757	10.05	20.01	2367	79.33	237.5	305.19	
		3	3.755	10.03	20.10	2364	79.01	238.9	308.22	
270	19/04/2004	1	3.731	10.06	20.08	2338	79.49	234.2	300.35	310.39
		2	3.731	10.00	20.13	2360	78.54	241.3	313.18	
		3	3.732	10.03	20.04	2357	79.01	246.2	317.63	
360	18/07/2004	1	3.702	10.00	20.00	2357	78.54	251.8	326.81	320.49
		2	3.708	10.00	20.00	2361	78.54	246.1	319.41	
		3	3.714	10.00	20.00	2364	78.54	242.9	315.26	

ตารางที่ ค.4 ผลการทดสอบกำลังอัดของคอนกรีต OP20W ที่บ่มในน้ำประปา

Specimen : OP20W					Date of Casting : 30 / 07 / 2003					
W / B = 0.77					Slump = 6.0 cm					
Age (days)	Test Date	No.	Weight (kg)	Dimension (cm)		Density (kg/m ³)	Area (cm ²)	Load (kN)	Stress (ksc)	Average (ksc)
				Diameter	Height					
3	02/08/2003	1	3.624	10.02	20.08	2289	78.85	88.3	114.15	109.36
		2	3.624	9.98	20.15	2299	78.23	79.6	103.73	
		3	3.625	10.04	20.00	2289	79.17	85.6	110.22	
7	06/08/2003	1	3.646	10.01	20.24	2289	78.70	115.8	150.00	150.00
		2	3.646	10.01	20.20	2294	78.70	130.3	168.78	
		3	3.648	10.01	20.20	2295	78.70	130.6	169.17	
14	13/08/2003	1	3.696	10.02	20.44	2293	78.85	149.3	193.00	184.50
		2	3.700	10.04	20.31	2301	79.17	139.9	180.13	
		3	3.704	10.03	20.24	2316	79.01	139.8	180.36	
28	27/08/2003	1	3.620	10.00	20.19	2283	78.54	176.3	228.82	212.47
		2	3.631	10.01	20.15	2290	78.70	179.0	231.86	
		3	3.639	10.00	20.22	2291	78.54	163.7	212.47	
60	28/09/2003	1	3.650	10.00	20.20	2301	78.54	174.2	226.09	246.87
		2	3.655	10.02	20.20	2295	78.85	194.2	251.05	
		3	3.667	10.01	20.10	2318	78.70	203.4	263.47	
90	28/10/2003	1	3.590	10.00	20.07	2277	78.54	196.3	254.78	254.65
		2	3.603	10.01	20.05	2283	78.70	196.6	254.66	
		3	3.612	9.99	20.16	2286	78.38	195.7	254.51	
180	26/01/2004	1	3.641	10.01	20.14	2297	78.70	207.4	268.65	266.13
		2	3.643	10.02	20.13	2295	78.85	205.7	265.91	
		3	3.645	10.02	20.15	2294	78.85	204.1	263.84	
270	25/04/2004	1	3.625	9.99	20.03	2309	78.38	211.3	274.80	269.57
		2	3.632	10.03	20.07	2290	79.01	206.5	266.42	
		3	3.658	9.99	20.14	2317	78.38	205.7	267.51	
360	24/07/2004	1	3.652	10.00	20.00	2325	78.54	206.0	267.37	269.70
		2	3.673	10.00	20.00	2338	78.54	207.2	268.92	
		3	3.680	10.00	20.00	2343	78.54	210.2	272.82	

ตารางที่ ค.5 ผลการทดสอบกำลังอัดของคอนกรีต OP30W ที่บ่มในน้ำประปา

Specimen : OP30W						Date of Casting : 04 / 08 / 2003				
W / B = 0.87						Slump = 8.0 cm				
Age (days)	Test Date	No.	Weight (kg)	Dimension (cm)		Density (kg/m ³)	Area (cm ²)	Load (kN)	Stress (ksc)	Average (ksc)
				Diameter	Height					
3	07/08/2003	1	3.572	9.97	20.10	2276	78.07	56.1	73.25	80.21
		2	3.572	9.97	20.13	2273	78.07	63.2	82.52	
		3	3.579	9.97	20.00	2292	78.07	65.0	84.87	
7	11/08/2003	1	3.583	10.00	20.05	2275	78.54	78.7	102.14	107.64
		2	3.604	10.00	20.12	2281	78.54	81.1	105.26	
		3	3.605	10.00	20.12	2281	78.54	89.0	115.51	
14	18/08/2003	1	3.604	9.98	20.18	2283	78.23	92.9	121.06	127.00
		2	3.605	9.97	20.23	2283	78.07	93.0	121.43	
		3	3.607	9.99	20.21	2277	78.38	106.5	138.50	
28	01/09/2003	1	3.634	10.00	20.10	2302	78.54	119.4	154.97	150.14
		2	3.636	10.00	20.20	2292	78.54	116.0	150.56	
		3	3.646	9.98	20.20	2307	78.23	111.2	144.91	
60	03/10/2003	1	3.660	10.10	20.25	2256	80.12	134.4	171.00	174.42
		2	3.627	10.00	20.17	2290	78.54	134.9	175.09	
		3	3.657	10.00	20.30	2294	78.54	136.5	177.16	
90	02/11/2003	1	3.606	9.97	20.20	2287	78.07	143.6	187.50	187.85
		2	3.615	10.02	20.10	2281	78.85	145.2	187.70	
		3	3.617	10.01	20.10	2287	78.70	145.4	188.34	
180	31/01/2004	1	3.631	10.02	20.06	2295	78.85	150.6	194.68	193.26
		2	3.632	10.03	20.27	2268	79.01	143.5	185.14	
		3	3.635	10.05	20.14	2275	79.33	155.6	199.95	
270	30/04/2004	1	3.613	10.01	20.15	2278	78.70	150.5	194.94	197.43
		2	3.62	10.04	19.96	2291	79.17	156.4	201.38	
		3	3.625	10.00	20.18	2287	78.54	151.0	195.98	
360	30/07/2004	1	3.673	10.00	20.00	2338	78.54	156.2	202.73	202.17
		2	3.688	10.00	20.00	2348	78.54	155.7	202.08	
		3	3.693	10.00	20.00	2351	78.54	155.4	201.69	

ตารางที่ ค.6 ผลการทดสอบกำลังอัดของคอนกรีต OP40W ที่ปั่นในน้ำประปา

Specimen : OP40W						Date of Casting : 07 / 08 / 2003				
W / B = 0.95						Slump = 8.0 cm				
Age (days)	Test Date	No.	Weight (kg)	Dimension (cm)		Density (kg/m ³)	Area (cm ²)	Load (kN)	Stress (ksc)	Average (ksc)
				Diameter	Height					
3	10/08/2003	1	3.554	10.02	20.08	2245	78.85	32.6	42.14	42.00
		2	3.555	10.01	20.16	2241	78.70	32.6	42.23	
		3	3.557	10.02	20.17	2236	78.85	32.2	41.63	
7	14/08/2003	1	3.540	10.00	20.19	2232	78.54	45.0	58.41	54.16
		2	3.543	10.01	20.16	2233	78.70	44.7	57.90	
		3	3.545	10.03	20.16	2226	79.01	35.8	46.19	
14	21/08/2003	1	3.542	10.02	20.07	2238	78.85	58.9	76.14	75.89
		2	3.549	10.02	20.27	2220	78.85	59.3	76.66	
		3	3.554	10.01	20.09	2248	78.70	57.8	74.87	
28	04/09/2003	1	3.624	10.00	20.30	2273	78.54	78.5	101.89	99.09
		2	3.631	10.00	20.40	2266	78.54	78.3	101.63	
		3	3.635	10.10	20.10	2257	80.12	73.7	93.77	
60	06/10/2003	1	3.530	10.00	20.10	2236	78.54	78.5	101.89	107.68
		2	3.532	10.01	20.00	2244	78.70	77.8	100.77	
		3	3.538	9.97	20.10	2255	78.07	92.2	120.39	
90	05/11/2003	1	3.514	9.99	20.00	2242	78.38	93.0	120.95	115.17
		2	3.516	10.00	20.00	2238	78.54	82.9	107.60	
		3	3.517	10.01	20.10	2223	78.70	90.3	116.97	
180	03/02/2004	1	3.570	10.01	20.24	2241	78.70	98.2	127.20	118.34
		2	3.572	10.02	20.20	2243	78.85	90.4	116.86	
		3	3.575	10.00	20.20	2253	78.54	85.5	110.97	
270	03/05/2004	1	3.555	10.01	20.07	2251	78.70	94.8	122.80	119.77
		2	3.562	10.01	20.13	2248	78.70	89.7	116.19	
		3	3.575	10.08	20.00	2240	79.80	94.2	120.33	
360	01/08/2004	1	3.517	10.02	20.00	2230	78.85	91.1	117.77	118.45
		2	3.54	10.02	20.14	2229	78.85	96.2	124.36	
		3	3.565	10.05	20.14	2231	79.327	88.1	113.21	

ตารางที่ ค.7 ผลการทดสอบกำลังอัดของคอนกรีต G1P10W ที่บ่มในน้ำประปา

Specimen : G1P10W					Date of Casting : 09 / 08 / 2003					
W / B = 0.72					Slump = 8.0 cm					
Age (days)	Test Date	No.	Weight (kg)	Dimension (cm)		Density (kg/m ³)	Area (cm ²)	Load (kN)	Stress (ksc)	Average (ksc)
				Diameter	Height					
3	12/08/2003	1	3.727	10.00	20.08	2363	78.54	121.2	157.31	157.59
		2	3.728	10.03	20.07	2351	79.01	125.8	162.30	
		3	3.728	10.00	20.20	2350	78.54	118.0	153.15	
7	16/08/2003	1	3.743	10.02	20.08	2364	78.85	170.9	220.93	224.22
		2	3.744	10.01	20.12	2365	78.70	172.1	222.92	
		3	3.750	10.04	20.24	2340	79.17	177.7	228.80	
14	23/08/2003	1	3.767	10.00	20.25	2369	78.54	213.4	276.97	264.34
		2	3.762	10.05	20.16	2352	79.33	204.2	262.40	
		3	3.775	10.05	20.23	2352	79.33	197.4	253.66	
28	06/09/2003	1	3.701	10.00	20.00	2356	78.54	254.0	329.67	300.55
		2	3.713	10.00	20.20	2340	78.54	215.0	279.05	
		3	3.716	10.00	20.20	2342	78.54	225.7	292.94	
60	08/10/2003	1	3.731	10.06	20.10	2335	79.49	279.6	358.58	349.99
		2	3.733	10.03	20.20	2339	79.01	267.2	344.73	
		3	3.735	10.03	20.10	2352	79.01	268.7	346.66	
90	07/11/2003	1	3.757	10.01	20.10	2375	78.70	291.9	378.10	375.58
		2	3.759	10.03	20.20	2355	79.01	298.6	385.24	
		3	3.76	10.00	20.20	2370	78.54	280.0	363.41	
180	05/02/2004	1	3.740	9.99	21.14	2257	78.38	315.8	410.70	389.82
		2	3.744	10.00	20.27	2352	78.54	286.8	372.24	
		3	3.745	10.00	20.15	2366	78.54	297.8	386.51	
270	05/05/2004	1	3.687	10.04	20.02	2326	79.17	306.1	394.13	396.78
		2	3.71	10.03	19.93	2356	79.01	309.6	399.43	
		3	3.723	9.98	20.20	2356	78.23	274.50	357.70	
360	03/08/2004	1	3.77	9.99	20.16	2386	78.38	308.9	401.72	401.67
		2	3.722	10.03	19.99	2357	79.01	314.2	405.36	
		3	3.718	10.00	20.14	2350	78.54	306.6	397.94	

หมายเหตุ : ส่วนที่แรเงาไม่นำมาหาค่าเฉลี่ย

ตารางที่ ค.8 ผลการทดสอบกำลังอัดของคอนกรีต G1P20W ที่ปั้นในน้ำประปา

Specimen : G1P20W						Date of Casting : 12 / 08 / 2003				
W / B = 0.73						Slump = 7.5 cm				
Age (days)	Test Date	No.	Weight (kg)	Dimension (cm)		Density (kg/m ³)	Area (cm ²)	Load (kN)	Stress (ksc)	Average (ksc)
				Diameter	Height					
3	14/08/2003	1	3.743	10.01	20.13	2363	78.70	108.3	140.28	139.73
		2	3.744	10.00	20.31	2347	78.54	110.0	142.77	
		3	3.746	10.00	20.23	2358	78.54	104.9	136.15	
7	19/08/2003	1	3.751	9.99	20.12	2378	78.38	147.0	191.17	191.31
		2	3.752	10.00	20.25	2359	78.54	147.1	190.92	
		3	3.753	10.01	20.10	2373	78.70	148.1	191.84	
14	26/08/2003	1	3.730	10.00	20.09	2364	78.54	158.8	206.11	225.89
		2	3.731	10.03	20.08	2352	79.01	205.4	265.00	
		3	3.733	10.02	20.07	2359	78.85	159.8	206.58	
28	09/09/2003	1	3.714	10.00	20.12	2350	78.54	199.5	258.93	269.26
		2	3.725	9.98	20.07	2373	78.23	206.2	268.70	
		3	3.735	9.95	20.03	2398	77.76	213.7	280.16	
60	11/10/2003	1	3.775	10.02	20.20	2370	78.85	257.4	332.75	316.49
		2	3.780	10.08	20.20	2345	79.80	245.1	313.09	
		3	3.799	10.08	20.20	2357	79.80	237.7	303.63	
90	10/11/2003	1	3.730	9.98	20.20	2361	78.23	256.0	333.60	334.18
		2	3.734	10.00	20.20	2354	78.54	256.4	332.78	
		3	3.735	10.00	20.20	2354	78.54	259.0	336.16	
180	08/02/2004	1	3.724	10.00	20.16	2352	78.54	270.8	351.47	346.76
		2	3.766	10.02	20.27	2356	78.85	270.8	350.07	
		3	3.767	10.00	20.30	2363	78.54	261.0	338.75	
270	08/05/2004	1	3.716	10.00	20.00	2366	78.54	271.7	352.64	356.12
		2	3.724	10.03	20.08	2347	79.01	285.4	368.21	
		3	3.738	10.04	20.22	2335	79.17	269.9	347.52	
360	06/08/2004	1	3.737	9.98	20.14	2372	78.23	296.1	385.85	358.55
		2	3.775	10.03	20.05	2383	79.01	256.1	330.41	
		3	3.766	10.00	20.24	2369	78.54	276.9	359.39	

ตารางที่ ค.9 ผลการทดสอบกำลังอัดของคอนกรีต G1P30W ที่บ่มในน้ำประปา

Specimen : G1P30W						Date of Casting : 14 / 08 / 2003				
W / B = 0.73						Slump = 7.0 cm				
Age (days)	Test Date	No.	Weight (kg)	Dimension (cm)		Density (kg/m ³)	Area (cm ²)	Load (kN)	Stress (ksc)	Average (ksc)
				Diameter	Height					
3	17/08/2003	1	3.683	10.00	20.04	2340	78.54	93.7	121.61	120.66
		2	3.683	9.97	20.07	2351	78.07	92.2	120.39	
		3	3.687	10.02	20.04	2333	78.85	92.8	119.96	
7	21/08/2003	1	3.741	10.05	20.06	2351	79.33	138.7	178.23	172.07
		2	3.746	10.06	20.15	2339	79.49	139.1	178.39	
		3	3.748	10.05	20.20	2339	79.33	124.2	159.60	
14	28/08/2003	1	3.673	10.00	19.90	2350	78.54	160.6	208.44	208.53
		2	3.680	10.00	20.10	2331	78.54	157.7	204.68	
		3	3.683	10.00	20.00	2345	78.54	163.7	212.47	
28	11/09/2003	1	3.657	10.02	20.00	2319	78.85	178.1	230.23	237.86
		2	3.667	9.99	20.10	2328	78.38	188.7	245.40	
		3	3.692	10.01	20.10	2334	78.70	183.7	237.95	
60	13/10/2003	1	3.750	10.06	20.10	2347	79.49	211.9	271.75	285.30
		2	3.755	10.01	20.30	2350	78.70	220.7	285.87	
		3	3.773	10.03	20.40	2341	79.01	231.2	298.28	
90	12/11/2003	1	3.662	9.99	20.00	2336	78.38	250.3	325.51	294.90
		2	3.664	10.02	20.00	2323	78.85	215.7	278.84	
		3	3.665	10.00	20.00	2333	78.54	216.0	280.35	
180	10/02/2004	1	3.682	10.01	20.14	2323	78.70	234.1	303.23	302.08
		2	3.721	10.00	20.22	2343	78.54	229.6	298.00	
		3	3.700	10.00	20.00	2355	78.54	235.0	305.01	
270	10/05/2004	1	3.715	10.03	20.19	2329	79.01	236.4	304.99	306.77
		2	3.727	10.06	20.11	2332	79.49	237.6	304.71	
		3	3.730	10.01	20.17	2350	78.70	239.8	310.61	
360	08/08/2004	1	3.716	9.99	20.11	2357	78.38	223.5	290.66	308.23
		2	3.729	10.00	20.15	2356	78.54	262.0	340.05	
		3	3.766	10.02	19.94	2395	78.854	227.4	293.97	

ตารางที่ ค.10 ผลการทดสอบกำลังอัดของคอนกรีต G1P40W ที่บ่มในน้ำประปา

Specimen : G1P40W						Date of Casting : 16 / 08 / 2003				
W / B = 0.74						Slump = 7.0 cm				
Age (days)	Test Date	No.	Weight (kg)	Dimension (cm)		Density (kg/m ³)	Area (cm ²)	Load (kN)	Stress (ksc)	Average (ksc)
				Diameter	Height					
3	19/08/2003	1	3.689	10.00	20.05	2343	78.54	92.7	120.32	117.62
		2	3.692	10.00	20.05	2345	78.54	92.4	119.93	
		3	3.693	9.99	20.10	2344	78.38	86.6	112.62	
7	23/08/2003	1	3.722	10.02	20.08	2351	78.85	127.7	165.08	154.77
		2	3.728	10.03	20.14	2343	79.01	110.3	142.30	
		3	3.737	10.02	20.22	2344	78.85	121.4	156.94	
14	30/08/2003	1	3.740	10.00	20.10	2369	78.54	136.5	177.16	187.11
		2	3.742	10.00	20.10	2370	78.54	143.8	186.64	
		3	3.744	10.00	20.10	2372	78.54	152.2	197.54	
28	12/09/2003	1	3.681	10.03	20.00	2329	79.01	167.1	215.58	226.27
		2	3.682	10.00	20.10	2332	78.54	175.6	227.91	
		3	3.686	10.00	20.00	2347	78.54	181.3	235.31	
60	15/10/2003	1	3.704	10.00	20.20	2335	78.54	205.7	266.98	266.92
		2	3.711	10.07	20.10	2318	79.64	204.1	261.23	
		3	3.715	10.00	20.20	2342	78.54	210.0	272.56	
90	14/11/2003	1	3.637	10.02	19.90	2318	78.85	204.4	264.23	270.33
		2	3.637	10.01	19.80	2334	78.70	213.3	276.29	
		3	3.640	10.00	20.00	2317	78.54	208.4	270.48	
180	12/02/2004	1	3.711	10.02	20.20	2330	78.85	209.7	271.08	276.75
		2	3.752	10.11	20.21	2313	80.28	216.0	274.28	
		3	3.755	10.00	20.30	2355	78.54	219.5	284.89	
270	12/05/2004	1	3.668	10.00	20.11	2322	78.54	216.1	280.48	280.59
		2	3.694	10.05	20.14	2312	79.33	213.8	274.74	
		3	3.696	10.05	20.01	2328	79.33	223.0	286.56	
360	10/08/2004	1	3.692	9.95	20.10	2362	77.76	210.8	276.35	285.60
		2	3.706	10.04	20.11	2328	79.17	223.9	288.29	
		3	3.706	9.98	20.20	2345	78.226	224.2	292.16	

ตารางที่ ค.11 ผลการทดสอบกำลังอัดของคอนกรีต G2P10W ที่บ่มในน้ำประปา

Specimen : G2P10W					Date of Casting : 19 / 08 / 2003					
W / B = 0.68					Slump = 5.5 cm					
Age (days)	Test Date	No.	Weight (kg)	Dimension (cm)		Density (kg/m ³)	Area (cm ²)	Load (kN)	Stress (ksc)	Average (ksc)
				Diameter	Height					
3	22/08/2003	1	3.752	10.00	20.14	2372	78.54	138.7	180.02	176.49
		2	3.753	10.03	20.08	2366	79.01	130.0	167.72	
		3	3.753	10.01	20.20	2361	78.70	140.3	181.73	
7	26/08/2003	1	3.744	10.02	20.16	2355	78.85	184.6	238.64	238.88
		2	3.746	10.00	20.18	2364	78.54	183.7	238.42	
		3	3.747	10.03	20.09	2361	79.01	185.7	239.58	
14	02/09/2003	1	3.680	10.00	20.10	2331	78.54	214.7	278.66	284.80
		2	3.684	10.00	20.20	2322	78.54	223.8	290.47	
		3	3.687	10.00	20.10	2336	78.54	219.8	285.28	
28	16/09/2003	1	3.693	10.01	20.00	2346	78.70	252.1	326.55	318.92
		2	3.711	9.98	20.12	2358	78.23	237.7	309.75	
		3	3.718	10.04	19.96	2353	79.17	248.9	320.48	
60	18/10/2003	1	3.730	10.05	20.04	2346	79.33	309.0	397.07	374.41
		2	3.743	10.00	20.13	2367	78.54	270.4	350.95	
		3	3.745	10.04	20.09	2355	79.17	291.4	375.20	
90	17/11/2003	1	3.782	10.06	20.28	2346	79.49	297.3	381.28	389.91
		2	3.786	10.06	20.20	2358	79.49	310.6	398.33	
		3	3.788	10.05	20.25	2358	79.33	303.6	390.13	
180	15/02/2004	1	3.754	10.02	20.36	2338	78.85	306.4	396.09	400.38
		2	3.757	10.01	20.30	2352	78.70	309.7	401.16	
		3	3.759	10.00	20.30	2358	78.54	311.2	403.91	
270	15/05/2004	1	3.722	10.04	19.99	2352	79.17	319.6	411.51	410.91
		2	3.737	10.02	20.16	2351	78.85	312.4	403.85	
		3	3.748	10.03	20.10	2360	79.01	323.5	417.36	
360	13/08/2004	1	3.714	9.99	20.05	2363	78.38	329.8	428.90	418.68
		2	3.721	10.01	20.08	2355	78.70	323.4	418.90	
		3	3.731	10.02	20.12	2352	78.854	315.8	408.24	

ตารางที่ ค.12 ผลการทดสอบกำลังอัดของคอนกรีต G2P20W ที่บ่มในน้ำประปา

Specimen : G2P20W					Date of Casting : 21 / 08 / 2003					
W / B = 0.70					Slump = 6.0 cm					
Age (days)	Test Date	No.	Weight (kg)	Dimension (cm)		Density (kg/m ³)	Area (cm ²)	Load (kN)	Stress (ksc)	Average (ksc)
				Diameter	Height					
3	24/08/2003	1	3.718	10.00	20.04	2362	78.54	124.4	161.46	170.37
		2	3.719	9.98	20.09	2366	78.23	127.6	166.28	
		3	3.723	9.99	20.15	2357	78.38	141.0	183.37	
7	28/08/2003	1	3.749	10.00	20.10	2375	78.54	178.1	231.16	229.81
		2	3.755	10.00	20.20	2367	78.54	172.3	223.63	
		3	3.757	10.00	20.10	2380	78.54	180.8	234.66	
14	04/09/2003	1	3.742	10.00	20.10	2370	78.54	219.5	284.89	275.28
		2	3.744	10.00	20.10	2372	78.54	205.4	266.59	
		3	3.747	10.00	20.10	2374	78.54	211.4	274.38	
28	18/09/2003	1	3.776	10.02	20.30	2359	78.85	252.9	326.93	315.51
		2	3.785	10.05	20.10	2374	79.33	240.8	309.43	
		3	3.788	10.04	20.30	2357	79.17	240.9	310.18	
60	20/10/2003	1	3.781	10.07	20.10	2362	79.64	288.5	369.26	369.97
		2	3.782	10.07	20.15	2357	79.64	296.7	379.75	
		3	3.786	10.04	20.30	2356	79.17	280.3	360.91	
90	19/11/2003	1	3.694	10.02	19.97	2346	78.85	285.6	369.20	386.31
		2	3.697	10.02	20.05	2338	78.85	311.5	402.68	
		3	3.699	10.00	20.10	2343	78.54	298.2	387.03	
180	17/02/2004	1	3.712	10.01	20.00	2358	78.70	289.1	374.47	395.05
		2	3.716	10.00	20.21	2341	78.54	312.7	405.85	
		3	3.718	10.00	20.10	2355	78.54	311.9	404.81	
270	17/05/2004	1	3.724	10.01	19.99	2367	78.70	322.6	417.87	405.23
		2	3.734	10.00	20.20	2354	78.54	301.6	391.45	
		3	3.796	10.13	20.20	2332	80.60	321.3	406.38	
360	15/08/2004	1	3.763	10.01	20.09	2380	78.70	303.8	393.51	407.78
		2	3.773	10.02	20.15	2375	78.85	330.9	427.76	
		3	3.802	10.06	20.22	2366	79.485	313.5	402.05	

ตารางที่ ค.13 ผลการทดสอบกำลังอัดของคอนกรีต G2P30W ที่บ่มในน้ำประปา

Specimen : G2P30W					Date of Casting : 23 / 08 / 2003					
W / B = 0.71			Slump = 6.0 cm							
Age (days)	Test Date	No.	Weight (kg)	Dimension (cm)		Density (kg/m ³)	Area (cm ²)	Load (kN)	Stress (ksc)	Average (ksc)
				Diameter	Height					
3	26/ 8/2003	1	3.727	10.03	19.95	2364	79.01	113.1	145.92	150.22
		2	3.728	10.00	20.09	2363	78.54	109.1	141.60	
		3	3.728	10.00	20.12	2359	78.54	125.7	163.15	
7	30/08/2003	1	3.706	10.00	20.10	2348	78.54	165.0	214.15	208.88
		2	3.709	10.00	20.00	2361	78.54	152.4	197.80	
		3	3.714	10.00	20.10	2353	78.54	165.4	214.67	
14	06/09/2003	1	3.711	10.00	20.00	2362	78.54	198.2	257.24	247.60
		2	3.721	10.00	20.20	2345	78.54	183.6	238.29	
		3	3.722	10.00	20.00	2369	78.54	190.5	247.25	
28	20/09/2003	1	3.683	10.00	20.10	2333	78.54	232.7	302.02	301.20
		2	3.695	10.04	19.95	2339	79.17	252.5	325.11	
		3	3.705	10.00	20.10	2347	78.54	213.0	276.45	
60	22/10/2003	1	3.738	10.02	20.10	2358	78.85	281.5	363.90	355.94
		2	3.744	10.02	20.16	2355	78.85	271.7	351.23	
		3	3.747	10.06	20.04	2352	79.49	275.0	352.68	
90	21/11/2003	1	3.757	10.02	20.06	2375	78.85	285.2	368.68	367.75
		2	3.759	10.10	20.17	2326	80.12	251.00	319.35	
		3	3.761	10.10	20.20	2324	80.12	288.3	366.81	
180	19/02/2004	1	3.698	10.03	20.09	2330	79.01	285.9	368.85	375.57
		2	3.705	10.00	20.08	2349	78.54	289.4	375.61	
		3	3.707	10.01	20.10	2344	78.70	295.1	382.25	
270	19/05/2004	1	3.729	10.03	20.20	2336	79.01	295.7	381.50	380.70
		2	3.775	10.01	20.24	2370	78.70	292.3	378.62	
		3	3.789	10.02	20.23	2375	78.85	295.5	382.00	
360	17/08/2004	1	3.707	10.01	19.96	2360	78.70	306.5	397.01	387.84
		2	3.718	10.00	20.03	2363	78.54	296.5	384.83	
		3	3.742	9.98	20.06	2385	78.226	292.9	381.68	

หมายเหตุ : ส่วนที่แรเงาไม่เข้ามาหาค่าเฉลี่ย

ตารางที่ ค.14 ผลการทดสอบกำลังอัดของคอนกรีต G2P40W ที่ปั่นในน้ำประปา

Specimen : G2P40W					Date of Casting : 26 / 08 / 2003					
W / B = 0.72					Slump = 6.0 cm					
Age (days)	Test Date	No.	Weight (kg)	Dimension (cm)		Density (kg/m ³)	Area (cm ²)	Load (kN)	Stress (ksc)	Average (ksc)
				Diameter	Height					
3	29/08/2003	1	3.707	10.00	20.00	2360	78.54	94.8	123.04	117.37
		2	3.707	10.00	20.00	2360	78.54	87.8	113.96	
		3	3.711	10.00	20.10	2351	78.54	88.7	115.12	
7	02/09/2003	1	3.763	10.00	20.30	2360	78.54	135.1	175.35	181.84
		2	3.770	10.00	20.20	2376	78.54	139.0	180.41	
		3	3.774	10.00	20.20	2379	78.54	146.2	189.75	
14	09/09/2003	1	3.699	9.98	20.20	2341	78.23	183.7	239.38	237.21
		2	3.700	10.02	20.13	2331	78.85	180.4	233.21	
		3	3.711	9.99	20.18	2346	78.38	183.8	239.03	
28	23/09/2003	1	3.731	10.02	20.20	2342	78.85	209.2	270.44	275.41
		2	3.741	10.03	20.20	2344	79.01	212.7	274.41	
		3	3.745	10.06	20.20	2332	79.49	219.4	281.37	
60	25/10/2003	1	3.726	10.03	20.09	2347	79.01	252.1	325.25	316.85
		2	3.730	10.00	20.10	2363	78.54	256.3	332.65	
		3	3.730	10.04	20.16	2337	79.17	227.3	292.67	
90	24/11/2003	1	3.708	10.00	20.03	2357	78.54	245.5	318.63	321.58
		2	3.709	10.02	20.17	2332	78.85	248.8	321.63	
		3	3.710	10.05	20.15	2321	79.33	252.5	324.47	
180	22/02/2004	1	3.724	10.04	20.10	2340	79.17	256.1	329.75	329.68
		2	3.788	10.09	20.24	2341	79.96	256.9	327.51	
		3	3.750	10.05	20.16	2345	79.33	258.2	331.79	
270	22/05/2004	1	3.694	10.03	20.00	2338	79.01	250.0	322.54	337.07
		2	3.778	10.07	20.26	2341	79.64	272.5	348.78	
		3	3.853	10.15	20.31	2345	80.91	269.8	339.90	
360	20/08/2004	1	3.737	10.03	20.11	2352	79.01	273.9	353.37	340.03
		2	3.761	10.03	20.18	2359	79.01	262.8	339.05	
		3	3.773	10.06	20.27	2342	79.485	255.5	327.67	

ตารางที่ ก.15 ผลการทดสอบกำลังอัดขององค์กรีดความถ่วง CT1S ที่ใช้ในการทดสอบตัวอย่างน้ำซึ่งมีค่าความถ่วงซึ่งเท่ากับ 5 ไดบันช์หนัก

Specimen : CT1S			Date of Casting : 21 / 07 / 2003			W / B = 0.70			Slump = 6.5 cm					
Age (days)	Test Date	No. . .	Weight (kg)			Dimension (cm)			Density (kg/m ³)	Area (cm ²)	Load (kg)	Load (ksc)	Stress (ksc)	Average (ksc)
			Initial Test	Test	Change (%)	Diameter	Height							
60	19/09/2003	1	3.720	3.779	1.6	10.02	20.15	2341	78.85	268.9	27411	347.61	358.70	
		2	3.760	3.812	1.4	10.05	20.30	2335	79.33	279.8	28522	359.55		
		3	3.810	3.894	2.2	10.02	20.08	2406	78.85	285.4	29093	368.94		
90	19/10/2003	1	3.650	3.703	1.5	9.98	19.83	2354	78.19	288.1	29368	375.62	375.59	
		2	3.730	3.791	1.6	10.02	19.99	2368	78.81	289.9	29551	374.95		
		3	3.770	3.835	1.7	10.00	20.22	2375	78.50	289.7	29531	376.19		
180	17/01/2004	1	3.710	3.757	1.3	9.97	19.97	2381	78.03	300.7	30652	392.83	392.83	
		2	3.760	3.809	1.3	10.05	20.18	2350	79.29	309.5	31549	397.91		
		3	3.770	3.820	1.3	10.00	20.10	2389	78.50	298.6	30438	387.75		
270	16/04/2004	1	3.690	3.750	1.6	10.00	20.10	2339	78.50	302.2	30805	392.42	389.57	
		2	3.750	3.810	1.6	10.00	20.18	2367	78.50	303.9	30979	394.63		
		3	3.760	3.830	1.9	10.00	20.34	2355	78.50	293.9	29959	381.65		
360	15/07/2004	1	3.710	3.773	1.7	10.10	20.10	2305	80.08	298.4	30418	379.85	385.37	
		2	3.730	3.809	2.1	10.09	20.13	2319	79.92	304.9	31081	388.90		
		3	3.750	3.823	1.9	10.09	20.05	2340	79.92	303.7	30958	387.37		

ตารางที่ ค.16 ผลการทดสอบกำลังอัดของคอนกรีต CT55 ภายใต้ในสภาวะถดถอยตามแบบนิรเมชันเพื่อทดสอบความแข็งเหินรักษาคงทน 5 ໂຄນ້າຫັນກ

Specimen : CT55			Date of Casting : 22 / 07 / 2003			W/B = 0.70	Slump = 6.5 cm
-----------------	--	--	----------------------------------	--	--	------------	----------------

Age (days)	Test Date	No.	Weight (kg)			Dimension (cm)		Density (kg/m ³)	Area (cm ²)	Load (kg)	Load (ksc)	Stress (ksc)	Average (ksc)
			Initial	Test	Change (%)	Diameter	Height						
60	20/09/2003	1	3.727	3.773	1.2	10.00	20.20	2349	78.54	289.6	29521	375.87	374.54
		2	3.745	3.801	1.5	10.00	20.30	2349	78.54	296.0	30173	384.18	
		3	3.804	3.881	2.0	10.15	20.30	2316	80.91	288.6	29419	363.58	
90	20/10/2003	1	3.681	3.755	2.0	10.03	20.10	2318	79.01	310.6	31662	400.72	399.19
		2	3.598	3.678	2.2	10.01	19.80	2309	78.70	310.6	31662	402.32	
		3	3.713	3.779	1.8	10.02	20.20	2331	78.85	305.2	31111	394.54	
180	18/01/2004	1	3.687	3.754	1.8	10.01	20.04	2338	78.70	332.7	33914	430.95	431.39
		2	3.674	3.726	1.4	10.00	20.05	2333	78.54	332.6	33904	431.68	
		3	3.675	3.735	1.6	10.00	20.00	2340	78.54	332.5	33894	431.55	
270	17/04/2004	1	3.692	3.756	1.7	10.00	20.18	2329	78.54	324.3	33058	420.91	431.69
		2	3.694	3.735	1.1	10.00	20.10	2340	78.54	344.4	35107	447.00	
		3	3.703	3.748	1.2	10.03	20.14	2327	79.01	331.1	33751	427.17	
360	16/07/2004	1	3.707	3.792	2.3	10.00	20.00	2360	78.54	339.5	34608	440.64	426.71
		2	3.718	3.807	2.4	10.00	20.00	2367	78.54	317.6	32375	412.21	
		3	3.712	3.797	2.3	10.00	20.00	2363	78.54	329.2	33558	427.27	

ตารางที่ ก.17 ผลการทดสอบกำลังอัดของคอนกรีต OP10S เมื่อยกชั่วน้ำในสภาวะแม่น้ำซึ่งมีรัศมีลด ความเร็วเข้มข้นร้อยละ 5 โดยนำหาน้ำ

Specimen : OP10S		Date of Casting : 24 / 07 / 2003		W / B = 0.72		Slump = 6.5 cm				
Age (days)	Test Date	No.	Weight (kg)	Dimension (cm)		Density	Area	Load	Stress	Average
			Initial Test	Change (%)	Diameter Height	(kg/m ³)	(cm ²)	(kg)	(ksc)	(ksc)
60 22/09/2003	1	3.709	3.745	1.0	10.00 20.10	2349	78.54	217.4	22161	282.16
	2	3.716	3.751	0.9	10.02 20.20	2333	78.85	212.0	21611	274.06
	3	3.724	3.754	0.8	10.02 20.10	2350	78.85	215.5	21967	278.58
90 22/10/2003	1	3.749	3.778	0.8	10.06 20.15	2341	79.49	231.1	23558	296.38
	2	3.753	3.786	0.9	10.05 20.20	2342	79.33	236.9	24149	304.42
	3	3.729	3.757	0.8	10.02 20.22	2339	78.85	232.4	23690	300.43
180 20/01/2004	1	3.726	3.769	1.2	10.02 20.06	2356	78.85	251.3	25617	324.86
	2	3.727	3.770	1.2	10.00 20.10	2361	78.54	245.9	25066	319.15
	3	3.730	3.774	1.2	10.02 20.02	2363	78.85	255.6	26055	330.42
270 19/04/2004	1	3.732	3.741	0.2	9.99 20.24	2352	78.38	255.2	26014	331.89
	2	3.734	3.740	0.2	10.02 20.09	2357	78.85	255.9	26086	330.81
	3	3.735	3.743	0.2	10.00 20.17	2358	78.54	256.5	26147	332.91
360 18/07/2004	1	3.716	3.749	0.9	10.00 20.00	2366	78.54	264.8	26993	343.68
	2	3.717	3.748	0.8	10.00 20.00	2366	78.54	258.3	26330	335.25
	3	3.715	3.745	0.8	10.00 20.00	2365	78.54	263.3	26840	341.74

ตารางที่ ค.18 ผลการทดสอบกำลังอัดของคอนกรีต OP20S เมื่อยกหามาระลายเมกนีซีเมิร์ชสเปษเชล ความเข้มข้นร้อยละ 5 โดยหน้าแน่น

Specimen : OP20S			Date of Casting : 30 / 07 / 2003			W / B = 0.77	Slump = 6.0 cm				
Age (days)	Test Date	No.	Initial Weight (kg)	Test Weight (kg)	Change (%)	Dimension (cm)	Density (kg/m ³)	Area (cm ²)	Load (kg)	Load (ksc)	Average (ksc)
60	28/09/2003	1	3.631	3.694	1.7	10.00	20.20	2289	78.54	185.3	18889
		2	3.644	3.711	1.8	10.03	20.20	2283	79.01	192.2	19592
		3	3.672	3.733	1.7	10.04	20.10	2308	79.17	189.4	19307
90	28/10/2003	1	3.686	3.738	1.4	10.06	20.25	2290	79.49	207.2	21121
		2	3.690	3.749	1.6	10.00	20.23	2322	78.54	204.8	20877
		3	3.691	3.746	1.5	10.05	20.16	2308	79.33	205.6	20958
180	26/01/2004	1	3.650	3.706	1.5	10.01	20.14	2303	78.70	214.2	21835
		2	3.651	3.713	1.7	10.00	20.14	2308	78.54	220.1	22436
		3	3.653	3.715	1.7	10.00	20.10	2314	78.54	227.0	23140
270	25/04/2004	1	3.651	3.712	1.7	10.04	20.10	2294	79.17	224.8	22915
		2	3.660	3.720	1.6	10.01	20.25	2297	78.70	225.3	22966
		3	3.662	3.715	1.4	10.02	20.14	2306	78.85	222.0	22630
360	19/07/2004	1	3.614	3.657	1.2	10.00	20.00	2301	78.54	222.6	22691
		2	3.624	3.669	1.2	10.00	20.00	2307	78.54	225.5	22987
		3	3.624	3.666	1.2	10.00	20.00	2307	78.54	216.3	22049

ตารางที่ ค.19 ผลการทดสอบกำลังอัดของคอนกรีต OP30S เมื่อแข็งในสภาวะแมกนีเตรียมชั้นทดสอบ ความเป็นชื้นร้อยละ 5 โดยน้ำหนัก

Specimen : OP30S			Date of Casting : 04 / 08 / 2003			W / B = 0.87			Slump = 8.0 cm							
Age (days)	Test Date	No.	Weight (kg)			Dimension (cm)			Density			Area	Load	Load	Stress	Average (ksc)
			Initial	Test	Change (%)	Diameter	Height	(kg/m ³)	(cm ²)	(kN)	(kg)	(kN)	(kg)	(ksc)		
60	03/10/2003	1	3.629	3.663	0.9	10.04	19.94	2299	79.17	140.1	14281	180.39	176.92			
		2	3.659	3.697	1.0	10.09	20.43	2240	79.96	131.7	13425	167.90				
		3	3.681	3.724	1.2	10.00	20.45	2292	78.54	140.6	14332	182.48				
90	02/11/2003	1	3.614	3.659	1.2	10.01	20.20	2273	78.70	143.9	14669	186.39	189.69			
		2	3.616	3.662	1.3	10.04	20.10	2272	79.17	147.1	14995	189.40				
		3	3.624	3.665	1.1	10.03	20.00	2293	79.01	149.8	15270	193.26				
180	31/01/2004	1	3.618	3.672	1.5	10.00	20.31	2268	78.54	166.8	17003	216.49	206.38			
		2	3.624	3.675	1.4	10.04	20.10	2277	79.17	159.3	16239	205.11				
		3	3.620	3.671	1.4	10.00	20.10	2293	78.54	152.2	15515	197.54				
270	30/04/2004	1	3.639	3.683	1.2	10.05	20.30	2260	79.33	171.8	17513	220.77	213.32			
		2	3.652	3.687	1.0	10.03	20.24	2284	79.01	163.7	16687	211.20				
		3	3.657	3.699	1.1	10.02	20.15	2302	78.85	160.9	16402	208.00				
360	30/07/2004	1	3.616	3.649	0.9	10.00	20.00	2302	78.54	157.2	16024	204.03	212.34			
		2	3.634	3.671	1.0	10.00	20.00	2313	78.54	166.2	16942	215.71				
		3	3.636	3.669	0.9	10.00	20.00	2315	78.54	167.4	17064	217.27				

ตารางที่ ก.20 ผลการทดสอบของคอนกรีต OP40S เมื่อ放进ส่วนผสมแกนซีเรียมซึ่งมีผลต่อความเข้มข้นรั้นของ OP40S โดยนำหานัก

Specimen : OP40S			Date of Casting : 07 / 08 / 2003			W / B = 0.95	Slump = 8.0 cm
------------------	--	--	----------------------------------	--	--	--------------	----------------

Age (days)	Test Date	No.	Weight (kg)		Dimension (cm)		Density (kg/m ³)	Area (cm ²)	Load (kg)	Stress (ksc)	Average (ksc)
			Initial	Test	Change (%)	Diameter					
60 06/10/2003	1	3.532	3.572	1.1	9.99	20.20	2231	78.38	90.2	9195	117.31
	2	3.533	3.577	1.2	10.03	20.00	2236	79.01	90.2	9195	116.37
	3	3.534	3.563	0.8	10.00	20.10	2239	78.54	81.1	8267	105.26
90 05/11/2003	1	3.550	3.595	1.3	10.04	20.00	2242	79.17	91.4	9317	117.68
	2	3.553	3.596	1.2	10.03	20.20	2226	79.01	94.8	9664	122.31
	3	3.553	3.598	1.3	10.06	20.10	2224	79.49	95.1	9694	121.96
180 03/02/2004	1	3.526	3.570	1.2	10.03	20.09	2221	79.01	100.3	10224	129.40
	2	3.529	3.591	1.8	10.00	20.20	2224	78.54	102.4	10438	132.90
	3	3.529	3.585	1.6	10.00	20.10	2235	78.54	101.2	10316	131.22
270 03/05/2004	1	3.485	3.538	1.5	10.02	20.10	2199	78.85	100.6	10255	130.05
	2	3.518	3.556	1.1	10.03	20.01	2225	79.01	105.3	10734	135.85
	3	3.526	3.583	1.6	10.00	20.14	2229	78.54	101.4	10336	131.61
360 01/08/2004	1	3.500	3.571	2.0	10.00	20.07	2220	78.54	95.6	9745	124.08
	2	3.550	3.621	2.0	10.05	19.98	2240	79.33	97.8	9969	125.67
	3	3.554	3.608	1.5	10.01	20.18	2238	78.70	93.1	9490	120.59

ตารางที่ ก.21 ผลการทดสอบกำลังอัดของคอนกรีต G1P10S เมื่อแข็งในสภาวะแบบนีซึ่งมีค่าพารามิเตอร์ ความชื้นที่น้ำร้อยละ 5 โดยนำหนัก

Specimen : G1P10S			Date of Casting : 09 / 08 / 2003	W / B = 0.72	Slump = 8.0 cm	Average				
Age (days)	Test Date	No.	Weight (kg)		Dimension (cm)	Density (kg/m ³)	Area (cm ²)	Load (kg)	Load (ksc)	Average (ksc)
			Initial Test	Change (%)	Diameter Height					
60	08/10/2003	1	3.742	3.801	1.6	10.04	20.20	2340	79.17	277.9
		2	3.742	3.812	1.9	10.00	20.20	2359	78.54	267.2
		3	3.667	3.743	2.1	10.00	20.10	2323	78.54	259.6
90	07/11/2003	1	3.699	3.762	1.7	10.00	20.00	2355	78.54	295.4
		2	3.748	3.816	1.8	10.04	20.10	2355	79.17	293.2
		3	3.720	3.785	1.7	10.00	20.00	2368	78.54	30112
180	05/02/2004	1	3.721	3.792	1.9	10.07	20.11	2323	79.64	315.1
		2	3.726	3.795	1.9	10.02	20.23	2336	78.85	303.6
		3	3.727	3.795	1.8	10.00	20.10	2361	78.54	318.7
270	05/05/2004	1	3.684	3.750	1.8	10.00	20.19	2323	78.54	314.9
		2	3.694	3.759	1.8	10.02	20.08	2333	78.85	321.0
		3	3.695	3.761	1.8	10.03	20.03	2335	79.01	322.4
360	03/08/2004	1	3.702	3.767	1.8	9.98	20.15	2349	78.23	310.5
		2	3.709	3.763	1.5	9.97	20.04	2371	78.07	318.8
		3	3.760	3.816	1.5	9.99	20.22	2372	78.38	315.0

ตารางที่ ค.22 ผลการทดสอบบ่อก่อตั้งอัดข่องตอนกาว G1P20S เมื่อแข็งในสภาวะถาวรตามค่าใช้เม็ดสีซีเมนต์สีเหลือง ความถ่วงปูนร้อยละ 5 โดยนำหัวน้ำ

Specimen : G1P20S			Date of Casting : 12 / 08 / 2003	W / B = 0.73	Slump = 7.5 cm
Age					

(days)	Test Date	No.	Weight (kg)			Dimension (cm)	Density (kg/m ³)	Area (cm ²)	Load (kg)	Load (ksc)	Stress (ksc)	Average
			Initial	Test	Change (%)							
60	11/10/2003	1	3.721	3.760	1.0	10.01	20.20	2341	78.70	251.4	25627	325.64
		2	3.724	3.771	1.3	10.03	20.10	2345	79.01	241.0	24567	310.93
		3	3.727	3.768	1.1	10.00	20.10	2361	78.54	241.3	24597	313.18
90	10/11/2003	1	3.741	3.790	1.3	10.01	20.20	2353	78.70	262.9	26799	340.54
		2	3.764	3.814	1.3	10.04	20.10	2365	79.17	263.3	26840	339.02
		3	3.75	3.800	1.3	10.00	20.15	2370	78.54	265.6	27074	344.72
180	08/02/2004	1	3.706	3.752	1.2	10.00	20.19	2337	78.54	288.9	29450	374.96
		2	3.778	3.826	1.3	10.05	20.34	2341	79.33	289.4	29501	371.88
		3	3.779	3.830	1.3	10.00	20.15	2388	78.54	278.7	28410	361.72
270	08/05/2004	1	3.701	3.755	1.5	10.02	20.22	2321	78.85	292.7	29837	378.38
		2	3.711	3.761	1.3	10.00	20.15	2345	78.54	291.0	29664	377.69
		3	3.747	3.805	1.5	10.02	20.29	2342	78.85	290.3	29592	375.28
360	06/08/2004	1	3.767	3.819	1.4	10.00	20.26	2367	78.54	275.5	28084	357.57
		2	3.793	3.845	1.4	10.00	20.24	2386	78.54	281.9	28736	365.88
		3	3.798	3.861	1.7	10.03	20.26	2373	79.01	291.2	29684	375.69

ตารางที่ ก.23 ผลการทดสอบกำลังอัดของคอนกรีต G1P30S 4 เดือนในสภาวะตราชญ์และความชื้นร้อยละ 5 โดยนำเข้าห้อง

Specimen : G1P30S		Date of Casting : 14 / 08 / 2003	W / B = 0.73	Slump = 7.0 cm
-------------------	--	----------------------------------	--------------	----------------

Age (days)	Test Date	No.	Weight (kg)			Dimension (cm)	Density (kg/m ³)	Area (cm ²)	Load (kg)	Load (kg)	Stress (ksc)	Average (ksc)
			Initial Test	Change (%)	Diameter							
60	13/10/2003	1	3.731	3.785	1.4	10.04	20.10	2345	79.17	227.3	23170	292.67
		2	3.735	3.795	1.6	10.03	20.40	2317	79.01	223.4	22773	288.22
		3	3.736	3.792	1.5	10.02	20.20	2345	78.85	220.0	22426	284.40
90	12/11/2003	1	3.659	3.715	1.5	10.04	20.00	2311	79.17	236.1	24067	304.00
		2	3.678	3.730	1.4	10.06	20.10	2302	79.49	240.2	24485	308.05
		3	3.666	3.720	1.5	10.05	20.00	2311	79.33	238.4	24302	306.35
180	10/02/2004	1	3.651	3.713	1.7	10.03	19.94	2317	79.01	262.0	26707	338.02
		2	3.722	3.783	1.6	10.04	20.03	2347	79.17	250.6	25545	322.67
		3	3.715	3.778	1.7	10.00	20.00	2365	78.54	254.1	25902	329.80
270	10/05/2004	1	3.691	3.751	1.6	10.03	20.06	2329	79.01	254.5	25943	328.34
		2	3.715	3.780	1.7	10.00	20.17	2345	78.54	259.8	26483	337.19
		3	3.715	3.773	1.6	10.04	20.05	2340	79.17	259.6	26463	334.26
360	08/08/2004	1	3.717	3.778	1.6	9.98	20.12	2362	78.23	231.6	23609	301.80
		2	3.730	3.794	1.7	10.04	20.20	2332	79.17	248.6	25341	320.09
		3	3.760	3.806	1.2	10.03	20.06	2372	79.01	251.3	25617	324.21

ตารางที่ ค.24 ผลการทดสอบก่อตัวด้วยองค์ความนิ่น G1P40S เมื่อยกในสภาวะตราชุมชน้ำร้อนและ ความชื้นที่ 5 ไดบ์หน้างอก

Specimen : G1P40S			Date of Casting : 16 / 08 / 2003			W / B = 0.74			Slump = 7.0 cm					
Age (days)	Test Date	No.	Weight (kg)			Dimension (cm)			Density (kg/m ³)	Area (cm ²)	Load (kg)	Load (ksc)	Stress (ksc)	Average (ksc)
			Initial Test	Test	Change (%)	Diameter	Height	(kg/m ³)						
60	15/10/2003	1	3.703	3.745	1.1	10.08	20.00	2320	79.80	207.3	21131	264.80	268.62	
		2	3.704	3.740	1.0	10.02	20.20	2325	78.85	192.6	19633	248.98		
		3	3.705	3.744	1.1	10.05	20.10	2324	79.33	227.3	23170	292.08		
90	14/11/2003	1	3.680	3.720	1.1	10.00	20.10	2331	78.54	214.5	21865	278.40	280.79	
		2	3.681	3.718	1.0	10.02	20.00	2334	78.85	218.8	22304	282.85		
		3	3.685	3.722	1.0	10.00	20.00	2346	78.54	216.6	22080	281.13		
180	12/02/2004	1	3.643	3.684	1.1	10.03	19.97	2309	79.01	234.9	23945	303.06	301.89	
		2	3.710	3.750	1.1	10.03	20.21	2323	79.01	234.5	23904	302.54		
		3	3.715	3.755	1.1	10.00	20.28	2332	78.54	231.2	23568	300.07		
270	12/05/2004	1	3.645	3.689	1.2	9.99	20.13	2310	78.38	237.7	24230	309.13	307.98	
		2	3.666	3.710	1.2	10.00	19.95	2340	78.54	236.3	24088	306.69		
		3	3.669	3.722	1.4	10.00	20.06	2329	78.54	237.4	24200	308.12		
360	10/08/2004	1	3.677	3.721	1.2	9.99	19.91	2356	78.38	221.8	22610	288.45	289.11	
		2	3.679	3.722	1.2	10.01	19.99	2339	78.70	218.7	22294	283.28		
		3	3.691	3.736	1.2	9.99	20.02	2352	78.38	227.3	23170	295.60		

ตารางที่ ค.25 ผลการทดสอบก่อสร้างห้องทดลอง G2P10S เมื่อยกขึ้นตามลำดับของวันที่ ความถ่วงซึ่งร้อยละ 5 โภนหนัก

Specimen : G2P10S Date of Casting : 19 / 08 / 2003			W/B = 0.68	Slump = 5.5 cm
--	--	--	------------	----------------

Age (days)	Test Date	No.	Weight (kg)			Dimension (cm)	Density (kg/m ³)	Area (cm ²)	Load (kg)	Load (ksc)	Stress (ksc)	Average (ksc)
			Initial	Test	Change (%)							
60	18/10/2003	1	3.728	3.780	1.4	10.00	20.10	2362	78.54	298.7	30449	387.68
		2	3.760	3.806	1.2	10.04	20.13	2359	79.17	294.3	30000	378.93
		3	3.785	3.838	1.4	10.11	20.27	2326	80.28	301.3	30714	382.59
90	17/11/2003	1	3.736	3.799	1.7	10.00	20.26	2348	78.54	314.5	32059	408.19
		2	3.776	3.829	1.4	10.06	20.01	2374	79.49	324.3	33058	415.90
		3	3.755	3.815	1.6	10.00	20.10	2379	78.54	308.6	31458	400.53
180	15/02/2004	1	3.739	3.803	1.7	10.02	19.97	2374	78.85	340.5	34709	440.17
		2	3.804	3.866	1.6	10.07	20.13	2373	79.64	356.8	36371	456.67
		3	3.750	3.815	1.7	10.00	20.00	2387	78.54	326.4	33272	423.63
270	15/05/2004	1	3.718	3.788	1.9	10.00	20.20	2344	78.54	342.1	34873	444.01
		2	3.719	3.773	1.5	10.05	20.05	2338	79.33	356.0	36290	457.47
		3	3.740	3.798	1.6	10.03	20.10	2355	79.01	346.2	35291	446.65
360	13/08/2004	1	3.744	3.817	1.9	10.00	20.12	2369	78.54	298.8	30459	387.81
		2	3.759	3.815	1.5	10.03	20.00	2379	79.01	335.3	34179	432.59
		3	3.766	3.829	1.7	10.04	20.02	2376	79.17	334.2	34067	430.31

หมายเหตุ : ส่วนที่เรียกว่า "มั่นคงมาก" คือถ้า

ตารางที่ ค.26 ผลการทดสอบกำลังอัดของคอนกรีต G2P20S เมื่อแข็งในสถานะและลายแมกนีติซึ่มชี้เพลท ความหนื้นปูนร้อยละ 5 โดยผู้งานนัก

Specimen : G2P20S			Date of Casting : 21 / 08 / 2003			W/B = 0.70			Slump = 6.0 cm				
Age (days)	Test Date	No.	Weight (kg)			Dimension (cm)			Density (kg/m ³)	Area (cm ²)	Load (kg)	Stress (ksc)	Average (ksc)
			Initial Test	Change (%)	Diameter	Height							
60	20/10/2003	1	3.758	3.800	1.1	10.03	20.20	2355	79.01	292.5	29817	377.37	
		2	3.766	3.803	1.0	10.04	20.10	2367	79.17	301.1	30693	387.69	376.61
		3	3.849	3.898	1.3	10.13	20.20	2364	80.60	288.4	29399	364.77	
90	19/11/2003	1	3.703	3.745	1.1	10.00	20.03	2354	78.54	301.6	30744	391.45	
		2	3.734	3.777	1.2	10.03	20.14	2347	79.01	312.9	31896	403.69	397.59
		3	3.740	3.783	1.1	10.03	20.10	2355	79.01	308.2	31417	397.62	
180	17/02/2004	1	3.727	3.777	1.3	10.02	20.12	2349	78.85	330.0	33639	426.60	
		2	3.768	3.809	1.1	10.04	20.26	2349	79.17	335.1	34159	431.47	429.21
		3	3.745	3.795	1.3	10.02	20.20	2351	78.85	332.3	33874	429.57	
270	17/05/2004	1	3.681	3.726	1.2	10.03	19.77	2356	79.01	335.2	34169	432.46	
		2	3.713	3.777	1.7	10.05	20.12	2326	79.33	339.6	34618	436.39	433.07
		3	3.732	3.773	1.1	10.02	20.10	2355	78.85	332.9	33935	430.35	
360	15/08/2004	1	3.737	3.786	1.3	9.98	19.99	2390	78.23	319.8	32599	416.73	
		2	3.781	3.821	1.1	10.01	20.15	2384	78.70	314.5	32059	407.37	413.98
		3	3.807	3.855	1.3	10.04	20.00	2404	79.17	324.5	33078	417.82	

ตารางที่ ก.27 ผลการทดสอบของคอนกรีต G2P30S เมื่อยกขึ้นในตาระถะตามแบบนี้ซึ่งมีค่าพื้นที่ฐานเท่าๆ กัน ความชื้นเท่าๆ กัน รีดอัตรา 5 โดยน้ำหนัก

Specimen : G2P30S			Date of Casting : 23 / 08 / 2003	W / B = 0.71	Slump = 6.0 cm
Age (days)	Test Date	No.	Weight (kg)	Dimension (cm)	
			Initial Test	Change (%)	Diameter Height (kg/m ³) (cm ²) (kg) (ksc) (ksc)
60 22/10/2003	1	3.703	3.754	1.4	9.98 20.14 2350 78.23 287.8 29337 375.03
	2	3.707	3.759	1.4	10.02 19.96 2355 78.85 278.6 28400 360.15
	3	3.771	3.814	1.1	10.08 20.10 2351 79.80 272.2 27747 347.70
90 21/11/2003	1	3.707	3.761	1.5	10.02 20.25 2322 78.85 279.7 28512 361.57
	2	3.717	3.769	1.4	10.02 20.04 2352 78.85 308.8 31478 399.19
	3	3.711	3.763	1.4	10.01 20.10 2346 78.70 293.2 29888 379.78
180 19/02/2004	1	3.683	3.733	1.4	10.02 19.96 2340 78.85 309.2 31519 399.71
	2	3.718	3.772	1.5	10.01 20.13 2347 78.70 319.8 32599 414.24
	3	3.705	3.755	1.3	10.00 20.00 2359 78.54 313.3 31937 406.63
270 19/05/2004	1	3.691	3.737	1.2	10.04 19.89 2344 79.17 319.5 32569 411.38
	2	3.728	3.773	1.2	10.03 20.10 2347 79.01 315.2 32130 406.65
	3	3.756	3.815	1.6	10.08 20.13 2338 79.80 328.8 33517 420.00
360 17/08/2004	1	3.762	3.808	1.2	10.04 20.10 2364 79.17 304.8 31070 392.45
	2	3.786	3.832	1.2	10.04 20.19 2369 79.17 298.5 30428 384.34
	3	3.787	3.836	1.3	10.00 20.27 2379 78.54 313.1 31916 406.37

ตารางที่ ค.28 ผลการทดสอบกำลังอัดของคอนกรีต G2P40S เมื่อยกเข้าในสภาวะถาวรแบบน้ำซึ่งมีชีวภาพ ความถ่วงศูนย์กลางและ ร โดยน้ำหนัก

Specimen : G2P40S			Date of Casting : 26 / 08 / 2003			W / B =	0.72	Slump =	6.0 cm		
Age (days)	Test Date	No.	Initial Test	Weight (kg)	Change (%)	Dimension (cm)	Density (kg/m ³)	Area (cm ²)	Load (kg)	Load Stress (ksc)	Average (ksc)
60 25/10/2003	1	3.715	3.753	1.0	10.01	20.14	2344	78.70	244.6	24934	316.83
	2	3.716	3.744	0.8	10.03	20.06	2345	79.01	248.8	25362	320.99
	3	3.766	3.791	0.7	10.03	20.30	2348	79.01	252.4	25729	325.63
90 24/11/2003	1	3.742	3.750	0.2	10.00	20.25	2353	78.54	253.5	25841	329.02
	2	3.747	3.771	0.6	10.09	20.14	2327	79.96	273.8	27910	349.05
	3	3.745	3.765	0.5	10.03	20.10	2358	79.01	263.2	26830	339.57
180 22/02/2004	1	3.742	3.780	1.0	10.02	20.34	2333	78.85	281.9	28736	364.42
	2	3.754	3.788	0.9	10.06	20.21	2337	79.49	277.3	28267	355.63
	3	3.755	3.789	0.9	10.03	20.20	2353	79.01	273.7	27900	353.11
270 22/05/2004	1	3.628	3.668	1.1	9.98	19.93	2327	78.23	278.1	28349	362.39
	2	3.672	3.715	1.2	10.02	20.08	2319	78.85	286.1	29164	369.85
	3	3.701	3.735	0.9	10.05	20.00	2333	79.33	285.7	29123	367.13
360 20/08/2004	1	3.725	3.757	0.9	10.01	20.23	2340	78.70	265.4	27054	343.77
	2	3.725	3.752	0.7	10.02	20.09	2351	78.85	254.5	25943	329.00
	3	3.744	3.770	0.7	10.02	20.07	2366	78.85	274.2	27951	354.46

ภาคผนวก ง

ผลการทดสอบการขยายตัวของเท่งคอนกรีต
ที่แข็งในสารละลายนามนีเชีบมชัลเฟต ความเข้มข้นร้อยละ 5 โดยนำหนัก

ตารางที่ 4.1 การขยายตัวของแท่งคอนกรีตความถ่วง CT1

Specimen : CT1	Date of Casting : 21 / 07 / 2003	$G_1 = 9.8425$	in
W / B = 0.70	Slump = 6.5 cm	$G_2 = 9.8425$	in

Age (days)	L_x (in)		Diff. Length (in)		Expansion (%)		Average (%)
	No.1	No.2	No.1	No.2	No.1	No.2	
1 (L_i)	11.6563	11.7119	0.0000	0.0000	0.0000	0.0000	0.0000
7	11.6565	11.7121	0.0002	0.0002	0.0025	0.0025	0.0025
14	11.6568	11.7124	0.0005	0.0005	0.0055	0.0050	0.0053
28	11.6570	11.7125	0.0007	0.0006	0.0071	0.0060	0.0066
42	11.6580	11.7132	0.0017	0.0013	0.0172	0.0131	0.0151
56	11.6582	11.7131	0.0019	0.0012	0.0192	0.0121	0.0156
70	11.6584	11.7136	0.0021	0.0017	0.0212	0.0171	0.0192
84	11.6587	11.7143	0.0024	0.0024	0.0242	0.0242	0.0242
98	11.6589	11.7142	0.0026	0.0023	0.0262	0.0232	0.0247
112	11.6593	11.7143	0.0030	0.0024	0.0303	0.0242	0.0272
126	11.6597	11.7145	0.0034	0.0026	0.0343	0.0262	0.0303
140	11.6597	11.7146	0.0034	0.0027	0.0343	0.0272	0.0308
154	11.6600	11.7144	0.0037	0.0025	0.0374	0.0252	0.0313
168	11.6600	11.7145	0.0037	0.0026	0.0374	0.0262	0.0318
182	11.6600	11.7148	0.0037	0.0029	0.0374	0.0292	0.0333
196	11.6600	11.7150	0.0037	0.0031	0.0374	0.0312	0.0343
210	11.6599	11.7151	0.0036	0.0032	0.0363	0.0322	0.0343
224	11.6601	11.7152	0.0038	0.0033	0.0384	0.0332	0.0358
238	11.6603	11.7155	0.0040	0.0036	0.0404	0.0363	0.0383
252	11.6605	11.7157	0.0042	0.0038	0.0424	0.0383	0.0403
266	11.6606	11.7157	0.0043	0.0038	0.0434	0.0383	0.0408
280	11.6607	11.7158	0.0044	0.0039	0.0444	0.0393	0.0418
294	11.6610	11.7160	0.0047	0.0041	0.0474	0.0413	0.0444
308	11.6611	11.7162	0.0048	0.0043	0.0485	0.0433	0.0459
322	11.6611	11.7162	0.0048	0.0043	0.0485	0.0433	0.0459
336	11.6612	11.7162	0.0049	0.0043	0.0495	0.0433	0.0464
350	11.6612	11.7162	0.0049	0.0043	0.0495	0.0433	0.0464
364	11.6613	11.7163	0.0050	0.0044	0.0505	0.0443	0.0474

ตารางที่ ๔.๒ การขยายตัวของแท่งคอนกรีตควบคุม CT5

Specimen : CT5	Date of Casting : 22 / 07 / 2003	$G_1 = 9.9882$	in
W / B = 0.70	Slump = 6.5 cm	$G_2 = 9.9055$	in

Age (days)	L_x (in)		Diff. Length (in)		Expansion (%)		Average (%)
	No.1	No.2	No.1	No.2	No.1	No.2	
1 (L_i)	11.6811	11.7384	0.0000	0.0000	0.0000	0.0000	0.0000
7	11.6811	11.7385	0.0001	0.0001	0.0007	0.0007	0.0007
14	11.6812	11.7385	0.0001	0.0001	0.0009	0.0009	0.0009
28	11.6812	11.7385	0.0001	0.0001	0.0010	0.0010	0.0010
42	11.6814	11.7386	0.0003	0.0002	0.0030	0.0020	0.0025
56	11.6816	11.7387	0.0005	0.0003	0.0050	0.0030	0.0040
70	11.6818	11.7389	0.0007	0.0005	0.0070	0.0050	0.0060
84	11.6820	11.7391	0.0009	0.0007	0.0090	0.0071	0.0080
98	11.6821	11.7393	0.0010	0.0009	0.0100	0.0091	0.0095
112	11.6823	11.7395	0.0012	0.0011	0.0120	0.0111	0.0116
126	11.6824	11.7396	0.0013	0.0012	0.0130	0.0121	0.0126
140	11.6825	11.7397	0.0014	0.0013	0.0140	0.0131	0.0136
154	11.6826	11.7397	0.0015	0.0013	0.0150	0.0131	0.0141
168	11.6826	11.7397	0.0015	0.0013	0.0150	0.0131	0.0141
182	11.6829	11.7402	0.0018	0.0018	0.0180	0.0182	0.0181
196	11.6830	11.7403	0.0019	0.0019	0.0190	0.0192	0.0191
210	11.6830	11.7407	0.0019	0.0023	0.0190	0.0232	0.0211
224	11.6830	11.7408	0.0019	0.0024	0.0190	0.0242	0.0216
238	11.6834	11.7411	0.0023	0.0027	0.0230	0.0273	0.0251
252	11.6835	11.7413	0.0024	0.0029	0.0240	0.0293	0.0267
266	11.6836	11.7414	0.0025	0.0030	0.0250	0.0303	0.0277
280	11.6837	11.7415	0.0026	0.0031	0.0260	0.0313	0.0287
294	11.6841	11.7421	0.0030	0.0037	0.0300	0.0374	0.0337
308	11.6841	11.7421	0.0030	0.0037	0.0300	0.0374	0.0337
322	11.6843	11.7423	0.0032	0.0039	0.0320	0.0394	0.0357
336	11.6846	11.7425	0.0035	0.0041	0.0350	0.0414	0.0382
350	11.6846	11.7425	0.0035	0.0041	0.0350	0.0414	0.0382
364	11.6846	11.7425	0.0035	0.0041	0.0350	0.0414	0.0382

ตารางที่ ๔.๓ การขยายตัวของแท่งคอนกรีต OP10

Specimen : OP10	Date of Casting : 24 / 07 / 2003	$G_1 = 9.9213$ in
W / B = 0.72	Slump = 6.5 cm	$G_2 = 9.9213$ in

Age (days)	L_x (in)		Diff. Length (in)		Expansion (%)		Average (%)
	No.1	No.2	No.1	No.2	No.1	No.2	
1 (L_i)	11.6787	11.7428	0.0000	0.0000	0.0000	0.0000	0.0000
7	11.6789	11.7430	0.0002	0.0002	0.0020	0.0020	0.0020
14	11.6792	11.7432	0.0005	0.0004	0.0050	0.0040	0.0045
28	11.6794	11.7435	0.0007	0.0007	0.0071	0.0071	0.0071
42	11.6797	11.7438	0.0010	0.0010	0.0101	0.0101	0.0101
56	11.6800	11.7440	0.0013	0.0012	0.0131	0.0121	0.0126
70	11.6804	11.7443	0.0017	0.0015	0.0171	0.0151	0.0161
84	11.6805	11.7444	0.0018	0.0016	0.0181	0.0161	0.0171
98	11.6808	11.7447	0.0021	0.0019	0.0212	0.0192	0.0202
112	11.6810	11.7448	0.0023	0.0020	0.0232	0.0202	0.0217
126	11.6810	11.7449	0.0023	0.0021	0.0232	0.0212	0.0222
140	11.6812	11.7451	0.0025	0.0023	0.0252	0.0232	0.0242
154	11.6814	11.7454	0.0027	0.0026	0.0272	0.0262	0.0267
168	11.6817	11.7458	0.0030	0.0030	0.0302	0.0302	0.0302
182	11.6819	11.7460	0.0032	0.0032	0.0323	0.0323	0.0323
196	11.6823	11.7462	0.0036	0.0034	0.0363	0.0343	0.0353
210	11.6826	11.7464	0.0039	0.0036	0.0393	0.0363	0.0378
224	11.6827	11.7464	0.0040	0.0036	0.0403	0.0363	0.0383
238	11.6829	11.7466	0.0042	0.0038	0.0423	0.0383	0.0403
252	11.6829	11.7471	0.0042	0.0043	0.0423	0.0433	0.0428
266	11.6831	11.7473	0.0044	0.0045	0.0443	0.0454	0.0449
280	11.6832	11.7473	0.0045	0.0045	0.0454	0.0454	0.0454
294	11.6835	11.7475	0.0048	0.0047	0.0484	0.0474	0.0479
308	11.6837	11.7475	0.0050	0.0047	0.0504	0.0474	0.0489
322	11.6838	11.7477	0.0051	0.0049	0.0514	0.0494	0.0504
336	11.6841	11.7480	0.0054	0.0052	0.0544	0.0524	0.0534
350	11.6843	11.7481	0.0056	0.0053	0.0564	0.0534	0.0549
364	11.6845	11.7481	0.0058	0.0053	0.0585	0.0534	0.0559

ตารางที่ 4.4 การขยายตัวของแท่งคอนกรีต OP20

Specimen : OP20	Date of Casting : 30 / 07 / 2003	$G_1 = 9.9016$ in
W / B = 0.77	Slump = 6.0 cm	$G_2 = 9.9173$ in

Age (days)	L_x (in)		Diff. Length (in)		Expansion (%)		Average (%)
	No.1	No.2	No.1	No.2	No.1	No.2	
1 (L_i)	11.7035	11.7603	0.0000	0.0000	0.0000	0.0000	0.0000
7	11.7036	11.7604	0.0001	0.0001	0.0010	0.0010	0.0010
14	11.7037	11.7605	0.0002	0.0002	0.0020	0.0020	0.0020
28	11.7040	11.7609	0.0005	0.0006	0.0050	0.0061	0.0055
42	11.7043	11.7612	0.0008	0.0009	0.0081	0.0091	0.0086
56	11.7047	11.7614	0.0012	0.0011	0.0121	0.0111	0.0116
70	11.7047	11.7615	0.0012	0.0012	0.0121	0.0121	0.0121
84	11.7050	11.7617	0.0015	0.0014	0.0151	0.0141	0.0146
98	11.7052	11.7621	0.0017	0.0018	0.0172	0.0182	0.0177
112	11.7053	11.7624	0.0018	0.0021	0.0182	0.0212	0.0197
126	11.7053	11.7626	0.0018	0.0023	0.0182	0.0232	0.0207
140	11.7055	11.7629	0.0020	0.0026	0.0202	0.0262	0.0232
154	11.7057	11.7632	0.0022	0.0029	0.0222	0.0292	0.0257
168	11.7058	11.7634	0.0023	0.0031	0.0232	0.0313	0.0272
182	11.7060	11.7636	0.0025	0.0033	0.0252	0.0333	0.0293
196	11.7060	11.7637	0.0025	0.0034	0.0252	0.0343	0.0298
210	11.7062	11.7638	0.0027	0.0035	0.0273	0.0353	0.0313
224	11.7064	11.7640	0.0029	0.0037	0.0293	0.0373	0.0333
238	11.7068	11.7642	0.0033	0.0039	0.0333	0.0393	0.0363
252	11.7070	11.7643	0.0035	0.0040	0.0353	0.0403	0.0378
266	11.7071	11.7643	0.0036	0.0040	0.0364	0.0403	0.0383
280	11.7074	11.7644	0.0039	0.0041	0.0394	0.0413	0.0404
294	11.7076	11.7646	0.0041	0.0043	0.0414	0.0434	0.0424
308	11.7079	11.7648	0.0044	0.0045	0.0444	0.0454	0.0449
322	11.7080	11.7649	0.0045	0.0046	0.0454	0.0464	0.0459
336	11.7082	11.7652	0.0047	0.0049	0.0475	0.0494	0.0484
350	11.7083	11.7654	0.0048	0.0051	0.0485	0.0514	0.0500
364	11.7085	11.7655	0.0050	0.0052	0.0505	0.0524	0.0515

ตารางที่ ๔.๕ การขยายตัวของแท่งคอนกรีต OP30

Specimen : OP30	Date of Casting : 04 / 08 / 2003	$G_1 = 9.8819$ in
W / B = 0.87	Slump = 7.0 cm	$G_2 = 9.9213$ in

Age (days)	L_x (in)		Diff. Length (in)		Expansion (%)		Average (%)
	No.1	No.2	No.1	No.2	No.1	No.2	
1 (L_i)	11.6683	11.7584	0.0000	0.0000	0.0000	0.0000	0.0000
7	11.6685	11.7585	0.0002	0.0001	0.0020	0.0010	0.0015
14	11.6686	11.7587	0.0003	0.0003	0.0030	0.0030	0.0030
28	11.6688	11.7588	0.0005	0.0004	0.0051	0.0040	0.0045
42	11.6688	11.7591	0.0005	0.0007	0.0051	0.0071	0.0061
56	11.6691	11.7594	0.0008	0.0010	0.0081	0.0101	0.0091
70	11.6692	11.7595	0.0009	0.0011	0.0091	0.0111	0.0101
84	11.6693	11.7599	0.0010	0.0015	0.0101	0.0151	0.0126
98	11.6696	11.7599	0.0013	0.0015	0.0132	0.0151	0.0141
112	11.6698	11.7601	0.0015	0.0017	0.0152	0.0171	0.0162
126	11.6700	11.7604	0.0017	0.0020	0.0172	0.0202	0.0187
140	11.6702	11.7606	0.0019	0.0022	0.0192	0.0222	0.0207
154	11.6702	11.7608	0.0019	0.0024	0.0192	0.0242	0.0217
168	11.6705	11.7610	0.0022	0.0026	0.0223	0.0262	0.0242
182	11.6707	11.7611	0.0024	0.0027	0.0243	0.0272	0.0258
196	11.6707	11.7612	0.0024	0.0028	0.0243	0.0282	0.0263
210	11.6711	11.7615	0.0028	0.0031	0.0283	0.0312	0.0298
224	11.6714	11.7617	0.0031	0.0033	0.0314	0.0333	0.0323
238	11.6715	11.7619	0.0032	0.0035	0.0324	0.0353	0.0338
252	11.6717	11.7619	0.0034	0.0035	0.0344	0.0353	0.0348
266	11.6718	11.7621	0.0035	0.0037	0.0354	0.0373	0.0364
280	11.6722	11.7623	0.0039	0.0039	0.0395	0.0393	0.0394
294	11.6724	11.7624	0.0041	0.0040	0.0415	0.0403	0.0409
308	11.6725	11.7625	0.0042	0.0041	0.0425	0.0413	0.0419
322	11.6725	11.7625	0.0042	0.0041	0.0425	0.0413	0.0419
336	11.6726	11.7626	0.0043	0.0042	0.0435	0.0423	0.0429
350	11.6728	11.7628	0.0045	0.0044	0.0455	0.0443	0.0449
364	11.6729	11.7629	0.0046	0.0045	0.0465	0.0454	0.0460

ตารางที่ ๔.๖ การขยายตัวของเท่งคอนกรีต OP40

Specimen : OP40	Date of Casting : 07 / 08 / 2003	$G_1 = 9.9213$ in
W / B = 0.95	Slump = 8.0 cm	$G_2 = 9.9213$ in

Age (days)	L_x (in)		Diff. Length (in)		Expansion (%)		Average (%)
	No.1	No.2	No.1	No.2	No.1	No.2	
1 (L_i)	11.7053	11.7619	0.0000	0.0000	0.0000	0.0000	0.0000
7	11.7056	11.7625	0.0003	0.0006	0.0030	0.0060	0.0045
14	11.7061	11.7631	0.0008	0.0012	0.0081	0.0121	0.0101
28	11.7062	11.7635	0.0009	0.0016	0.0091	0.0161	0.0126
42	11.7064	11.7638	0.0011	0.0019	0.0111	0.0192	0.0151
56	11.7067	11.7643	0.0014	0.0024	0.0141	0.0242	0.0192
70	11.7070	11.7643	0.0017	0.0024	0.0171	0.0242	0.0207
84	11.7074	11.7646	0.0021	0.0027	0.0212	0.0272	0.0242
98	11.7077	11.7647	0.0024	0.0028	0.0242	0.0282	0.0262
112	11.7081	11.7650	0.0028	0.0031	0.0282	0.0312	0.0297
126	11.7082	11.7652	0.0029	0.0033	0.0292	0.0333	0.0312
140	11.7084	11.7654	0.0031	0.0035	0.0312	0.0353	0.0333
154	11.7087	11.7654	0.0034	0.0035	0.0343	0.0353	0.0348
168	11.7089	11.7658	0.0036	0.0039	0.0363	0.0393	0.0378
182	11.7090	11.7660	0.0037	0.0041	0.0373	0.0413	0.0393
196	11.7092	11.7661	0.0039	0.0042	0.0393	0.0423	0.0408
210	11.7095	11.7663	0.0042	0.0044	0.0423	0.0443	0.0433
224	11.7096	11.7663	0.0043	0.0044	0.0433	0.0443	0.0438
238	11.7099	11.7666	0.0046	0.0047	0.0464	0.0474	0.0469
252	11.7101	11.7669	0.0048	0.0050	0.0484	0.0504	0.0494
266	11.7103	11.7671	0.0050	0.0052	0.0504	0.0524	0.0514
280	11.7103	11.7673	0.0050	0.0054	0.0504	0.0544	0.0524
294	11.7106	11.7676	0.0053	0.0057	0.0534	0.0575	0.0554
308	11.7108	11.7679	0.0055	0.0060	0.0554	0.0605	0.0580
322	11.7109	11.7681	0.0056	0.0062	0.0564	0.0625	0.0595
336	11.7112	11.7684	0.0059	0.0065	0.0595	0.0655	0.0625
350	11.7114	11.7685	0.0061	0.0066	0.0615	0.0665	0.0640
364	11.7115	11.7685	0.0062	0.0066	0.0625	0.0665	0.0645

ตารางที่ ๔.๗ การขยายตัวของเท่งคอนกรีต G1P10

Specimen : G1P10	Date of Casting : 09 / 08 / 2003	$G_1 = 9.9173$ in
W / B = 0.72	Slump = 8.0 cm	$G_2 = 9.9213$ in

Age (days)	L_x (in)		Diff. Length (in)		Expansion (%)		Average (%)
	No.1	No.2	No.1	No.2	No.1	No.2	
1 (L_i)	11.6823	11.7424	0.0000	0.0000	0.0000	0.0000	0.0000
7	11.6825	11.7425	0.0002	0.0001	0.0020	0.0010	0.0015
14	11.6827	11.7427	0.0004	0.0003	0.0040	0.0030	0.0035
28	11.6829	11.7430	0.0006	0.0006	0.0061	0.0060	0.0060
42	11.6832	11.7432	0.0009	0.0008	0.0091	0.0081	0.0086
56	11.6835	11.7434	0.0012	0.0010	0.0121	0.0101	0.0111
70	11.6837	11.7437	0.0014	0.0013	0.0141	0.0131	0.0136
84	11.6839	11.7439	0.0016	0.0015	0.0161	0.0151	0.0156
98	11.6839	11.7440	0.0016	0.0016	0.0161	0.0161	0.0161
112	11.6841	11.7443	0.0018	0.0019	0.0182	0.0192	0.0187
126	11.6844	11.7445	0.0021	0.0021	0.0212	0.0212	0.0212
140	11.6847	11.7447	0.0024	0.0023	0.0242	0.0232	0.0237
154	11.6849	11.7448	0.0026	0.0024	0.0262	0.0242	0.0252
168	11.6852	11.7452	0.0029	0.0028	0.0292	0.0282	0.0287
182	11.6854	11.7454	0.0031	0.0030	0.0313	0.0302	0.0307
196	11.6855	11.7456	0.0032	0.0032	0.0323	0.0323	0.0323
210	11.6857	11.7459	0.0034	0.0035	0.0343	0.0353	0.0348
224	11.6857	11.7460	0.0034	0.0036	0.0343	0.0363	0.0353
238	11.6859	11.7462	0.0036	0.0038	0.0363	0.0383	0.0373
252	11.6860	11.7463	0.0037	0.0039	0.0373	0.0393	0.0383
266	11.6863	11.7465	0.0040	0.0041	0.0403	0.0413	0.0408
280	11.6865	11.7466	0.0042	0.0042	0.0424	0.0423	0.0423
294	11.6867	11.7468	0.0044	0.0044	0.0444	0.0443	0.0444
308	11.6868	11.7468	0.0045	0.0044	0.0454	0.0443	0.0449
322	11.6871	11.7470	0.0048	0.0046	0.0484	0.0464	0.0474
336	11.6873	11.7473	0.0050	0.0049	0.0504	0.0494	0.0499
350	11.6874	11.7474	0.0051	0.0050	0.0514	0.0504	0.0509
364	11.6876	11.7476	0.0053	0.0052	0.0534	0.0524	0.0529

ตารางที่ ง.8 การขยายตัวของแท่งคอนกรีต G1P20

Specimen : G1P20	Date of Casting : 12 / 08 / 2003	$G_1 = 9.8937$ in
W / B = 0.73	Slump = 7.5 cm	$G_2 = 9.9213$ in

Age (days)	L_x (in)		Diff. Length (in)		Expansion (%)		Average (%)
	No.1	No.2	No.1	No.2	No.1	No.2	
1 (L_i)	11.6757	11.7323	0.0000	0.0000	0.0000	0.0000	0.0000
7	11.6758	11.7324	0.0001	0.0001	0.0010	0.0010	0.0010
14	11.6760	11.7326	0.0003	0.0003	0.0030	0.0030	0.0030
28	11.6762	11.7328	0.0005	0.0005	0.0051	0.0050	0.0050
42	11.6764	11.7331	0.0007	0.0008	0.0071	0.0081	0.0076
56	11.6767	11.7333	0.0010	0.0010	0.0101	0.0101	0.0101
70	11.6769	11.7335	0.0012	0.0012	0.0121	0.0121	0.0121
84	11.6772	11.7337	0.0015	0.0014	0.0152	0.0141	0.0146
98	11.6774	11.7339	0.0017	0.0016	0.0172	0.0161	0.0167
112	11.6776	11.7341	0.0019	0.0018	0.0192	0.0181	0.0187
126	11.6776	11.7343	0.0019	0.0020	0.0192	0.0202	0.0197
140	11.6778	11.7345	0.0021	0.0022	0.0212	0.0222	0.0217
154	11.6780	11.7348	0.0023	0.0025	0.0232	0.0252	0.0242
168	11.6780	11.7349	0.0023	0.0026	0.0232	0.0262	0.0247
182	11.6782	11.7352	0.0025	0.0029	0.0253	0.0292	0.0272
196	11.6782	11.7353	0.0025	0.0030	0.0253	0.0302	0.0278
210	11.6784	11.7355	0.0027	0.0032	0.0273	0.0323	0.0298
224	11.6787	11.7357	0.0030	0.0034	0.0303	0.0343	0.0323
238	11.6790	11.7359	0.0033	0.0036	0.0334	0.0363	0.0348
252	11.6792	11.7359	0.0035	0.0036	0.0354	0.0363	0.0358
266	11.6793	11.7359	0.0036	0.0036	0.0364	0.0363	0.0363
280	11.6796	11.7361	0.0039	0.0038	0.0394	0.0383	0.0389
294	11.6799	11.7363	0.0042	0.0040	0.0425	0.0403	0.0414
308	11.6802	11.7365	0.0045	0.0042	0.0455	0.0423	0.0439
322	11.6802	11.7366	0.0045	0.0043	0.0455	0.0433	0.0444
336	11.6804	11.7366	0.0047	0.0043	0.0475	0.0433	0.0454
350	11.6806	11.7368	0.0049	0.0045	0.0495	0.0454	0.0474
364	11.6808	11.7368	0.0051	0.0045	0.0515	0.0454	0.0485

ตารางที่ 4.9 การขยายตัวของเท่งคอนกรีต G1P30

Specimen : G1P30	Date of Casting : 14 / 08 / 2003	$G_1 = 9.8819$ in
W / B = 0.73	Slump = 7.0 cm	$G_2 = 9.9213$ in

Age (days)	L_x (in)		Diff. Length (in)		Expansion (%)		Average (%)
	No.1	No.2	No.1	No.2	No.1	No.2	
1 (L_i)	11.6697	11.7688	0.0000	0.0000	0.0000	0.0000	0.0000
7	11.6698	11.7689	0.0001	0.0001	0.0010	0.0010	0.0010
14	11.6700	11.7691	0.0003	0.0003	0.0030	0.0030	0.0030
28	11.6702	11.7692	0.0005	0.0004	0.0051	0.0040	0.0045
42	11.6704	11.7694	0.0007	0.0006	0.0071	0.0060	0.0066
56	11.6705	11.7696	0.0008	0.0008	0.0081	0.0081	0.0081
70	11.6707	11.7697	0.0010	0.0009	0.0101	0.0091	0.0096
84	11.6709	11.7700	0.0012	0.0012	0.0121	0.0121	0.0121
98	11.6712	11.7702	0.0015	0.0014	0.0152	0.0141	0.0146
112	11.6713	11.7703	0.0016	0.0015	0.0162	0.0151	0.0157
126	11.6715	11.7706	0.0018	0.0018	0.0182	0.0181	0.0182
140	11.6716	11.7708	0.0019	0.0020	0.0192	0.0202	0.0197
154	11.6716	11.7710	0.0019	0.0022	0.0192	0.0222	0.0207
168	11.6718	11.7712	0.0021	0.0024	0.0213	0.0242	0.0227
182	11.6720	11.7714	0.0023	0.0026	0.0233	0.0262	0.0247
196	11.6721	11.7715	0.0024	0.0027	0.0243	0.0272	0.0258
210	11.6724	11.7718	0.0027	0.0030	0.0273	0.0302	0.0288
224	11.6727	11.7720	0.0030	0.0032	0.0304	0.0323	0.0313
238	11.6729	11.7722	0.0032	0.0034	0.0324	0.0343	0.0333
252	11.6731	11.7723	0.0034	0.0035	0.0344	0.0353	0.0348
266	11.6732	11.7724	0.0035	0.0036	0.0354	0.0363	0.0359
280	11.6734	11.7726	0.0037	0.0038	0.0374	0.0383	0.0379
294	11.6736	11.7727	0.0039	0.0039	0.0395	0.0393	0.0394
308	11.6737	11.7728	0.0040	0.0040	0.0405	0.0403	0.0404
322	11.6737	11.7728	0.0040	0.0040	0.0405	0.0403	0.0404
336	11.6740	11.7730	0.0043	0.0042	0.0435	0.0423	0.0429
350	11.6742	11.7731	0.0045	0.0043	0.0455	0.0433	0.0444
364	11.6743	11.7732	0.0046	0.0044	0.0465	0.0443	0.0454

ตารางที่ 4.10 การขยายตัวของแท่งคอนกรีต G1P40

Specimen : G1P40	Date of Casting : 16 / 08 / 2003	$G_1 = 9.8819$	in
W / B = 0.74	Slump = 7.0 cm	$G_2 = 9.9016$	in

Age (days)	L_x (in)		Diff. Length (in)		Expansion (%)		Average (%)
	No.1	No.2	No.1	No.2	No.1	No.2	
1 (L_i)	11.7822	11.7162	0.0000	0.0000	0.0000	0.0000	0.0000
7	11.7824	11.7164	0.0002	0.0002	0.0020	0.0020	0.0020
14	11.7826	11.7165	0.0004	0.0003	0.0040	0.0030	0.0035
28	11.7827	11.7167	0.0005	0.0005	0.0051	0.0050	0.0051
42	11.7830	11.7169	0.0008	0.0007	0.0081	0.0071	0.0076
56	11.7833	11.7171	0.0011	0.0009	0.0111	0.0091	0.0101
70	11.7835	11.7171	0.0013	0.0009	0.0132	0.0091	0.0111
84	11.7837	11.7174	0.0015	0.0012	0.0152	0.0121	0.0136
98	11.7837	11.7175	0.0015	0.0013	0.0152	0.0131	0.0142
112	11.7839	11.7177	0.0017	0.0015	0.0172	0.0151	0.0162
126	11.7839	11.7178	0.0017	0.0016	0.0172	0.0162	0.0167
140	11.7841	11.7180	0.0019	0.0018	0.0192	0.0182	0.0187
154	11.7842	11.7180	0.0020	0.0018	0.0202	0.0182	0.0192
168	11.7844	11.7183	0.0022	0.0021	0.0223	0.0212	0.0217
182	11.7846	11.7186	0.0024	0.0024	0.0243	0.0242	0.0243
196	11.7848	11.7187	0.0026	0.0025	0.0263	0.0252	0.0258
210	11.7849	11.7187	0.0027	0.0025	0.0273	0.0252	0.0263
224	11.7850	11.7188	0.0028	0.0026	0.0283	0.0263	0.0273
238	11.7852	11.7191	0.0030	0.0029	0.0304	0.0293	0.0298
252	11.7854	11.7193	0.0032	0.0031	0.0324	0.0313	0.0318
266	11.7855	11.7194	0.0033	0.0032	0.0334	0.0323	0.0329
280	11.7855	11.7196	0.0033	0.0034	0.0334	0.0343	0.0339
294	11.7856	11.7198	0.0034	0.0036	0.0344	0.0364	0.0354
308	11.7858	11.7199	0.0036	0.0037	0.0364	0.0374	0.0369
322	11.7861	11.7201	0.0039	0.0039	0.0395	0.0394	0.0394
336	11.7863	11.7202	0.0041	0.0040	0.0415	0.0404	0.0409
350	11.7864	11.7202	0.0042	0.0040	0.0425	0.0404	0.0414
364	11.7865	11.7203	0.0043	0.0041	0.0435	0.0414	0.0425

ตารางที่ ๑.๑๑ การขยายตัวของแท่งคอนกรีต G2P10

Specimen : G2P10 W / B = 0.68	Date of Casting : 19 / 08 / 2003 Slump = 5.5 cm	$G_1 = 9.9055$ in $G_2 = 9.9213$ in
----------------------------------	--	--

Age (days)	L_x (in)		Diff. Length (in)		Expansion (%)		Average (%)
	No.1	No.2	No.1	No.2	No.1	No.2	
1 (L_i)	11.7236	11.7630	0.0000	0.0000	0.0000	0.0000	0.0000
7	11.7237	11.7631	0.0001	0.0001	0.0010	0.0010	0.0010
14	11.7239	11.7632	0.0003	0.0002	0.0030	0.0020	0.0025
28	11.7241	11.7634	0.0005	0.0004	0.0050	0.0040	0.0045
42	11.7243	11.7636	0.0007	0.0006	0.0071	0.0060	0.0066
56	11.7244	11.7638	0.0008	0.0008	0.0081	0.0081	0.0081
70	11.7246	11.7641	0.0010	0.0011	0.0101	0.0111	0.0106
84	11.7248	11.7643	0.0012	0.0013	0.0121	0.0131	0.0126
98	11.7249	11.7645	0.0013	0.0015	0.0131	0.0151	0.0141
112	11.7252	11.7648	0.0016	0.0018	0.0162	0.0181	0.0171
126	11.7254	11.7650	0.0018	0.0020	0.0182	0.0202	0.0192
140	11.7255	11.7651	0.0019	0.0021	0.0192	0.0212	0.0202
154	11.7258	11.7653	0.0022	0.0023	0.0222	0.0232	0.0227
168	11.7261	11.7656	0.0025	0.0026	0.0252	0.0262	0.0257
182	11.7263	11.7658	0.0027	0.0028	0.0273	0.0282	0.0277
196	11.7263	11.7659	0.0027	0.0029	0.0273	0.0292	0.0282
210	11.7263	11.7660	0.0027	0.0030	0.0273	0.0302	0.0287
224	11.7266	11.7662	0.0030	0.0032	0.0303	0.0323	0.0313
238	11.7267	11.7663	0.0031	0.0033	0.0313	0.0333	0.0323
252	11.7270	11.7665	0.0034	0.0035	0.0343	0.0353	0.0348
266	11.7272	11.7667	0.0036	0.0037	0.0363	0.0373	0.0368
280	11.7273	11.7667	0.0037	0.0037	0.0374	0.0373	0.0373
294	11.7275	11.7669	0.0039	0.0039	0.0394	0.0393	0.0393
308	11.7276	11.7670	0.0040	0.0040	0.0404	0.0403	0.0403
322	11.7279	11.7672	0.0043	0.0042	0.0434	0.0423	0.0429
336	11.7281	11.7673	0.0045	0.0043	0.0454	0.0433	0.0444
350	11.7282	11.7673	0.0046	0.0043	0.0464	0.0433	0.0449
364	11.7283	11.7675	0.0047	0.0045	0.0474	0.0454	0.0464

ตารางที่ ๔.12 การขยายตัวของแท่งคอนกรีต G2P20

Specimen : G2P20	Date of Casting : 21 / 08 / 2003	$G_1 = 9.9213$	in
W / B = 0.70	Slump = 6.0 cm	$G_2 = 9.8701$	in

Age (days)	L_x (in)		Diff. Length (in)		Expansion (%)		Average (%)
	No.1	No.2	No.1	No.2	No.1	No.2	
1 (L_i)	11.7537	11.6847	0.0000	0.0000	0.0000	0.0000	0.0000
7	11.7538	11.6848	0.0001	0.0001	0.0010	0.0010	0.0010
14	11.7539	11.6848	0.0002	0.0001	0.0020	0.0010	0.0015
28	11.7541	11.6850	0.0004	0.0003	0.0040	0.0030	0.0035
42	11.7544	11.6853	0.0007	0.0006	0.0071	0.0061	0.0066
56	11.7546	11.6854	0.0009	0.0007	0.0091	0.0071	0.0081
70	11.7549	11.6857	0.0012	0.0010	0.0121	0.0101	0.0111
84	11.7551	11.6858	0.0014	0.0011	0.0141	0.0111	0.0126
98	11.7553	11.6859	0.0016	0.0012	0.0161	0.0122	0.0141
112	11.7555	11.6861	0.0018	0.0014	0.0181	0.0142	0.0162
126	11.7556	11.6862	0.0019	0.0015	0.0192	0.0152	0.0172
140	11.7557	11.6864	0.0020	0.0017	0.0202	0.0172	0.0187
154	11.7559	11.6866	0.0022	0.0019	0.0222	0.0193	0.0207
168	11.7559	11.6867	0.0022	0.0020	0.0222	0.0203	0.0212
182	11.7561	11.6870	0.0024	0.0023	0.0242	0.0233	0.0237
196	11.7561	11.6871	0.0024	0.0024	0.0242	0.0243	0.0243
210	11.7562	11.6873	0.0025	0.0026	0.0252	0.0263	0.0258
224	11.7564	11.6875	0.0027	0.0028	0.0272	0.0284	0.0278
238	11.7565	11.6877	0.0028	0.0030	0.0282	0.0304	0.0293
252	11.7568	11.6880	0.0031	0.0033	0.0312	0.0334	0.0323
266	11.7569	11.6881	0.0032	0.0034	0.0323	0.0344	0.0334
280	11.7571	11.6882	0.0034	0.0035	0.0343	0.0355	0.0349
294	11.7573	11.6883	0.0036	0.0036	0.0363	0.0365	0.0364
308	11.7574	11.6884	0.0037	0.0037	0.0373	0.0375	0.0374
322	11.7576	11.6886	0.0039	0.0039	0.0393	0.0395	0.0394
336	11.7577	11.6887	0.0040	0.0040	0.0403	0.0405	0.0404
350	11.7579	11.6889	0.0042	0.0042	0.0423	0.0426	0.0424
364	11.7579	11.6890	0.0042	0.0043	0.0423	0.0436	0.0429

ตารางที่ 4.13 การขยายตัวของแท่งคอนกรีต G2P30

Specimen : G2P30	Date of Casting : 23 / 08 / 2003	$G_1 = 9.8976$ in
W / B = 0.71	Slump = 6.0 cm	$G_2 = 9.9213$ in

Age (days)	L_x (in)		Diff. Length (in)		Expansion (%)		Average (%)
	No.1	No.2	No.1	No.2	No.1	No.2	
1 (L_i)	11.8512	11.6741	0.0000	0.0000	0.0000	0.0000	0.0000
7	11.8513	11.6742	0.0001	0.0001	0.0010	0.0010	0.0010
14	11.8514	11.6743	0.0002	0.0002	0.0020	0.0020	0.0020
28	11.8516	11.6744	0.0004	0.0003	0.0040	0.0030	0.0035
42	11.8517	11.6746	0.0005	0.0005	0.0051	0.0050	0.0050
56	11.8519	11.6748	0.0007	0.0007	0.0071	0.0071	0.0071
70	11.8521	11.6750	0.0009	0.0009	0.0091	0.0091	0.0091
84	11.8521	11.6751	0.0009	0.0010	0.0091	0.0101	0.0096
98	11.8523	11.6754	0.0011	0.0013	0.0111	0.0131	0.0121
112	11.8525	11.6755	0.0013	0.0014	0.0131	0.0141	0.0136
126	11.8527	11.6757	0.0015	0.0016	0.0152	0.0161	0.0156
140	11.8528	11.6759	0.0016	0.0018	0.0162	0.0181	0.0172
154	11.8528	11.6760	0.0016	0.0019	0.0162	0.0192	0.0177
168	11.8530	11.6763	0.0018	0.0022	0.0182	0.0222	0.0202
182	11.8531	11.6765	0.0019	0.0024	0.0192	0.0242	0.0217
196	11.8532	11.6766	0.0020	0.0025	0.0202	0.0252	0.0227
210	11.8534	11.6768	0.0022	0.0027	0.0222	0.0272	0.0247
224	11.8535	11.6770	0.0023	0.0029	0.0232	0.0292	0.0262
238	11.8535	11.6770	0.0023	0.0029	0.0232	0.0292	0.0262
252	11.8538	11.6772	0.0026	0.0031	0.0263	0.0312	0.0288
266	11.8540	11.6773	0.0028	0.0032	0.0283	0.0323	0.0303
280	11.8541	11.6775	0.0029	0.0034	0.0293	0.0343	0.0318
294	11.8543	11.6778	0.0031	0.0037	0.0313	0.0373	0.0343
308	11.8545	11.6779	0.0033	0.0038	0.0333	0.0383	0.0358
322	11.8546	11.6779	0.0034	0.0038	0.0344	0.0383	0.0363
336	11.8547	11.6780	0.0035	0.0039	0.0354	0.0393	0.0373
350	11.8549	11.6781	0.0037	0.0040	0.0374	0.0403	0.0389
364	11.8550	11.6782	0.0038	0.0041	0.0384	0.0413	0.0399

ตารางที่ ๔.14 การขยายตัวของแท่งคอนกรีต G2P40

Specimen : G2P40	Date of Casting : 26 / 08 / 2003	$G_1 = 9.8976$ in
W / B = 0.72	Slump = 6.0 cm	$G_2 = 9.9213$ in

Age (days)	L_x (in)		Diff. Length (in)		Expansion (%)		Average (%)
	No.1	No.2	No.1	No.2	No.1	No.2	
1 (L_i)	11.7242	11.7631	0.0000	0.0000	0.0000	0.0000	0.0000
7	11.7243	11.7633	0.0001	0.0002	0.0010	0.0020	0.0015
14	11.7245	11.7634	0.0003	0.0003	0.0030	0.0030	0.0030
28	11.7246	11.7635	0.0004	0.0004	0.0040	0.0040	0.0040
42	11.7247	11.7637	0.0005	0.0006	0.0051	0.0060	0.0055
56	11.7249	11.7638	0.0007	0.0007	0.0071	0.0071	0.0071
70	11.7251	11.7640	0.0009	0.0009	0.0091	0.0091	0.0091
84	11.7253	11.7642	0.0011	0.0011	0.0111	0.0111	0.0111
98	11.7255	11.7642	0.0013	0.0011	0.0131	0.0111	0.0121
112	11.7257	11.7643	0.0015	0.0012	0.0152	0.0121	0.0136
126	11.7259	11.7644	0.0017	0.0013	0.0172	0.0131	0.0151
140	11.7260	11.7646	0.0018	0.0015	0.0182	0.0151	0.0167
154	11.7261	11.7646	0.0019	0.0015	0.0192	0.0151	0.0172
168	11.7263	11.7647	0.0021	0.0016	0.0212	0.0161	0.0187
182	11.7264	11.7649	0.0022	0.0018	0.0222	0.0181	0.0202
196	11.7266	11.7650	0.0024	0.0019	0.0242	0.0192	0.0217
210	11.7268	11.7652	0.0026	0.0021	0.0263	0.0212	0.0237
224	11.7269	11.7652	0.0027	0.0021	0.0273	0.0212	0.0242
238	11.7271	11.7655	0.0029	0.0024	0.0293	0.0242	0.0267
252	11.7272	11.7656	0.0030	0.0025	0.0303	0.0252	0.0278
266	11.7274	11.7658	0.0032	0.0027	0.0323	0.0272	0.0298
280	11.7274	11.7659	0.0032	0.0028	0.0323	0.0282	0.0303
294	11.7275	11.7660	0.0033	0.0029	0.0333	0.0292	0.0313
308	11.7276	11.7662	0.0034	0.0031	0.0344	0.0312	0.0328
322	11.7277	11.7662	0.0035	0.0031	0.0354	0.0312	0.0333
336	11.7279	11.7663	0.0037	0.0032	0.0374	0.0323	0.0348
350	11.7280	11.7664	0.0038	0.0033	0.0384	0.0333	0.0358
364	11.7281	11.7664	0.0039	0.0033	0.0394	0.0333	0.0363

ประวัติผู้วิจัย

ชื่อ - สกุล

นายธิรศิทธิ์ แซ่ติง

วัน เดือน ปีเกิด

12 มิถุนายน 2522

ประวัติการศึกษา

ระดับอาชีวศึกษา

ประกาศนียบัตรวิชาชีพชั้นสูง สาขาวิชาช่างเทคโนโลยีโยธา
สถาบันเทคโนโลยีพระจอมเกล้าพระนครเหนือ พ.ศ. 2542

ระดับปริญญาตรี

วิศวกรรมศาสตรบัณฑิต สาขาวิชาวิศวกรรมโยธา

ระดับปริญญาโท

วิศวกรรมศาสตรมหาบัณฑิต สาขาวิชาวิศวกรรมโยธา

มหาวิทยาลัยเทคโนโลยีราชมงคลบูรี พ.ศ. 2547

ทุนการศึกษาหรือทุนวิจัย

ทุนสนับสนุนการวิจัยจากสำนักงานกองทุนสนับสนุนการ
วิจัย (สกว.) ภายใต้โครงการทุนวิจัยองค์ความรู้ใหม่ที่เป็น[†]
พื้นฐานต่อการพัฒนา (ฤดูเมษีวิจัย สกว.) ประจำปี 2545

ผลงานที่ได้รับการตีพิมพ์

ธิรศิทธิ์ แซ่ติง, วิรชาติ ตึ้งจิรภัทร, ชัย ชาตรพิทักษ์กุล และ[†]
ไกรฤทธิ์ กีบรติก่อนล, 2547, “การพัฒนาถearnปัลมน้ำมันเพื่อ[†]
ใช้เป็นวัสดุปูอชโฉลามในงานคอนกรีต”, เอกสารประกอบ
การประชุมวิชาการคอนกรีตแห่งชาติ ครั้งที่ 2, 26-27 ตุลาคม
2547, โรงแรมเชียงใหม่พลาซ่า จ. เชียงใหม่, หน้า 17-22.

ณัฐพงศ์ mgr, ธิรศิทธิ์ แซ่ติง และรัญพลด สมนา, 2547,
“ความคงทนของคอนกรีตผสมถearnถ่านหินและวัสดุปูอชโฉลาม
ในสภาพแวดล้อมต่าง ๆ”, เอกสารประกอบการสัมมนา
วิชาการเรื่องการนำถearnถ่านหินในประเทศไทยมาใช้ในงาน
คอนกรีต ครั้งที่ 2, 28 เมษายน 2547, มหาวิทยาลัยเทคโนโลยี
พระจอมเกล้าธนบูรี, หน้า 83-107.

มหาวิทยาลัยเทคโนโลยีพระจอมเกล้าธนบุรี
ข้อตกลงว่าด้วยการโอนสิทธิ์วิทยานิพนธ์

วันที่ 22 เดือน พฤษภาคม พ.ศ. 2547

ข้าพเจ้า (นาย/นางสาว)

ธิรศิทธิ์ แซ่ดึง

รหัสประจำตัว 45400307

เป็นนักศึกษาของมหาวิทยาลัยเทคโนโลยีพระจอมเกล้าธนบุรี ระดับปริญญา ๑ โท อ.เอก
หลักสูตรวิศวกรรมศาสตร์มหาบัณฑิต สาขาวิชาชีวกรรมโยธา คณะวิศวกรรมศาสตร์
อยู่บ้านเลขที่ 118/23 ตรอก/ซอย 2 ถนน สุขุมวิท
ตำบล/แขวง ท่าคล้อ อำเภอ เมือง จังหวัด ชุมพร
รหัสไปรษณีย์ 86000 ขอโอนสิทธิ์วิทยานิพนธ์ให้ไว้กับมหาวิทยาลัยเทคโนโลยีพระจอมเกล้าธนบุรี
โดยมี รศ.ดร.เอก ไชยสวัสดิ์ ตำแหน่ง คณบดีคณะวิศวกรรมศาสตร์
เป็นผู้รับโอนสิทธิ์และมีข้อตกลงดังนี้

1. ข้าพเจ้าได้จัดทำวิทยานิพนธ์เรื่อง การศึกษาคุณสมบัติของคอนกรีตที่ผสมเจ้าปานน้ำมัน ซึ่งอยู่ในความคุ้มครอง รศ.ดร.ชัย ชาตรพิทักษ์กุล ตามมาตรา 14 แห่ง พ.ร.บ. คุ้มครองสิทธิ์ พ.ศ. 2537 และฉีดว่าเป็นส่วนหนึ่งของการศึกษาตามหลักสูตรของมหาวิทยาลัยเทคโนโลยีพระจอมเกล้าธนบุรี

2. ข้าพเจ้าตกลงโอนสิทธิ์จากผลงานทั้งหมดที่เกิดขึ้นจากการสร้างสรรค์ของข้าพเจ้าในวิทยานิพนธ์ให้กับมหาวิทยาลัยเทคโนโลยีพระจอมเกล้าธนบุรี ตลอดอายุแห่งการคุ้มครองสิทธิ์ตามมาตรา 23 แห่งพระราชบัญญัติสิทธิ์ พ.ศ. 2537 ตั้งแต่วันที่ได้รับอนุญาตโครงสร้างวิทยานิพนธ์จากมหาวิทยาลัย

3. ในการถือที่ข้าพเจ้าประสารจะนำวิทยานิพนธ์ไปใช้ในการเผยแพร่ในสื่อใด ๆ ก็ตาม ข้าพเจ้าจะต้องระบุว่าวิทยานิพนธ์เป็นผลงานของมหาวิทยาลัยเทคโนโลยีพระจอมเกล้าธนบุรีทุกๆ ครั้งที่มีการเผยแพร่

4. ในกรณีที่ข้าพเจ้าประสงค์จะนำวิทยานิพนธ์ไปเผยแพร่ หรืออนุญาตให้ผู้อื่นทำเช่นหรือคัดแปลง หรือเผยแพร่ต่อสาธารณะชนหรือทำการอื่นใด ตามมาตรา 27, มาตรา 28, มาตรา 29 และมาตรา 30 แห่งพระราชบัญญัติสิทธิ์ พ.ศ. 2537 โดยมีค่าตอบแทนในเงื่อนไข ข้าพเจ้าจะกระทำได้เมื่อได้รับความยินยอมเป็นลายลักษณ์อักษรจากมหาวิทยาลัยเทคโนโลยีพระจอมเกล้าธนบุรี

ลงชื่อ

ป.ร.ส.

ผู้โอนสิทธิ์

(นายธิรศิทธิ์ แซ่ดึง)

ลงชื่อ

ken Soe

ผู้รับโอนสิทธิ์

(รศ.ดร.เอก ไชยสวัสดิ์)

ลงชื่อ

พ.ย.

พยาน

(รศ.ดร.ชัย ชาตรพิทักษ์กุล)

ลงชื่อ

ส.

พยาน

(ผศ.ดร.ธวัชชัย เหล่าศิริวงศ์ท่อง)